

วิทยานิพนธ์ฉบับนี้เป็นงานวิจัยที่เกิดจากการค้นคว้าและวิจัย ขณะที่ข้าพเจ้าศึกษาอยู่ในคณะ
วิศวกรรมศาสตร์ มหาวิทยาลัยเทคโนโลยีราชมงคลธัญบุรี ดังนั้นงานวิจัยในวิทยานิพนธ์ฉบับนี้ถือเป็น
ลิขสิทธิ์ของมหาวิทยาลัยเทคโนโลยีราชมงคลธัญบุรี และข้อความต่าง ๆ ในวิทยานิพนธ์ฉบับนี้ ข้าพเจ้า
ขอรับรองว่าไม่มีการคัดลอกหรือนำงานวิจัยของผู้อื่นมานำเสนอในชื่อของข้าพเจ้า

This thesis consists of research materials conducted at the Faculty of
Engineering, Rajamangala University of Technology Thanyaburi and hence the copyright
owner. I hereby certify that the thesis does not contain any forms of plagiarism.

(นายมานะชัย สุวรรณ)



ผลของจุดต้านทานการหมุนต่อพฤติกรรมการแอ่นตัวมากของอีลาสติคคา
ที่มีความยาวส่วนโค้งแปรเปลี่ยนได้ภายใต้แรงกระทำแบบจุด

EFFECT OF ROTATIONAL SPRING JOINT ON LARGE DEFLECTION
BEHAVIOR OF VARIABLE - ARC - LENGTH ELASTICA
SUBJECTED TO POINT LOAD

มานะชัย สุวรรณ

วิทยานิพนธ์นี้เป็นส่วนหนึ่งของการศึกษาตามหลักสูตร
ปริญญาวิศวกรรมศาสตรมหาบัณฑิต สาขาวิชาวิศวกรรมโยธา
คณะวิศวกรรมศาสตร์
มหาวิทยาลัยเทคโนโลยีราชมงคลธัญบุรี
ปีการศึกษา 2562
ลิขสิทธิ์ของมหาวิทยาลัยเทคโนโลยีราชมงคลธัญบุรี

ผลของจุดด้านทานการหมุนต่อพฤติกรรมการแอ่นตัวมากของอิลาสติคคา
ที่มีความยาวส่วนโค้งแปรเปลี่ยนได้ภายใต้แรงกระทำแบบจุด

มานะชัย สุวรรณ

วิทยานิพนธ์นี้เป็นส่วนหนึ่งของการศึกษาตามหลักสูตร
ปริญญาวิศวกรรมศาสตรมหาบัณฑิต สาขาวิชาวิศวกรรมโยธา
คณะวิศวกรรมศาสตร์
มหาวิทยาลัยเทคโนโลยีราชมงคลธัญบุรี
ปีการศึกษา 2562
ลิขสิทธิ์ของมหาวิทยาลัยเทคโนโลยีราชมงคลธัญบุรี

หัวข้อวิทยานิพนธ์

ผลของจุดต้านทานการหมุนต่อพฤติกรรมการแอ่นตัวมากของอิลาสติคคาที่มี
ความยาวส่วนโค้งแปรเปลี่ยนได้ภายใต้แรงกระทำแบบจุด

Effect of Rotational Spring Joint on Large Deflection Behavior of
Variable – Arc – Length Elastica Subjected to Point Load

ชื่อ – นามสกุล

นายมานะชัย สุวรรณ

สาขาวิชา

วิศวกรรมโยธา

อาจารย์ที่ปรึกษา

ผู้ช่วยศาสตราจารย์บุญชัย ผึ้งไผ่งาม, ปร.ด.

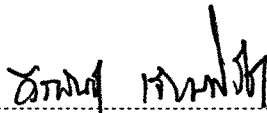
ปีการศึกษา

2562

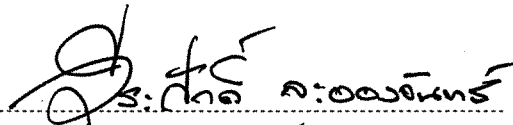
คณะกรรมการสอบวิทยานิพนธ์



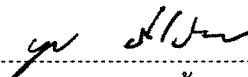
..... ประธานกรรมการ
(ผู้ช่วยศาสตราจารย์กำธรเกียรติ มุสิเกต, Ph.D.)



..... กรรมการ
(ผู้ช่วยศาสตราจารย์วีรพันธุ์ เจียมมีปรีชา, ปร.ด.)




..... กรรมการ
(ผู้ช่วยศาสตราจารย์ระศักดิ์ ละออจันท์, Dr.-Ing.)



..... กรรมการ
(ผู้ช่วยศาสตราจารย์บุญชัย ผึ้งไผ่งาม, ปร.ด.)

คณะวิศวกรรมศาสตร์ มหาวิทยาลัยเทคโนโลยีราชมงคลธัญบุรี อนุมัติวิทยานิพนธ์ฉบับนี้เป็น
ส่วนหนึ่งของการศึกษาตามหลักสูตรปริญญาวิทยาศาสตรบัณฑิต



..... คณบดีคณะวิศวกรรมศาสตร์
(ผู้ช่วยศาสตราจารย์ศิวกร อ่างทอง, Ph.D.)

วันที่ 11 เดือน ตุลาคม พ.ศ. 2562

หัวข้อวิทยานิพนธ์	ผลของจุดต้านทานการหมุนต่อพฤติกรรมการแอ่นตัวมากของอิลาสติกคาที่มี ความยาวส่วนโค้งแปรเปลี่ยนได้ภายใต้แรงกระทำแบบจุด
ชื่อ - นามสกุล	นายมานะชัย สุวรรณ
สาขาวิชา	วิศวกรรมโยธา
อาจารย์ที่ปรึกษา	ผู้ช่วยศาสตราจารย์บุญชัย ผึ้งไผ่งาม, ปร.ด.
ปีการศึกษา	2562

บทคัดย่อ

วิทยานิพนธ์ฉบับนี้เกี่ยวข้องกับการศึกษาผลของจุดต้านทานการหมุนต่อพฤติกรรมการแอ่นตัวมากของอิลาสติกคาที่มีความยาวส่วนโค้งแปรเปลี่ยนได้ภายใต้แรงกระทำแบบจุดในแนวตั้ง โดยที่จุดต้านทานการหมุนแบบสปริงอยู่ภายในช่วงของอิลาสติกคา ณ ตำแหน่งใด ๆ โดยที่ปลายด้านหนึ่งของอิลาสติกคาถูกรองรับด้วยจุดรองรับที่หมุนได้อย่างอิสระ ส่วนที่ปลายอีกด้านหนึ่งวางพาดอยู่บนจุดรองรับที่เลื่อนได้โดยไร้แรงเสียดทาน

การศึกษาในครั้งนี้ จะทำการวิเคราะห์ตำแหน่งของจุดต้านทานการหมุนแบบสปริงแทนด้วยสัญลักษณ์ของ α ตำแหน่งของแรงที่กระทำแทนด้วยสัญลักษณ์ของ β ทั้งหมด 3 กรณี คือ $\alpha < \beta$, $\alpha = \beta$ และ $\alpha > \beta$ โดยกำหนดค่า $\bar{K} = 1, 10$ และ 100 และเมื่ออิลาสติกคาเกิดการเสียรูปความยาวส่วนโค้งทั้งหมดของอิลาสติกคามีค่าไม่คงที่ โดยที่จุดต้านทานการหมุนแบบสปริงจะทำหน้าที่ส่งถ่ายโมเมนต์ตัดตามความสัมพันธ์ของ $\bar{M} = \bar{K}\Delta\theta$ สมการครอบคลุมของปัญหาจะประกอบด้วยสมการสมดุล ความสัมพันธ์ระหว่างความโค้งและโมเมนต์ และความสัมพันธ์ของรูปร่างทางเรขาคณิต เพื่อให้ได้ผลลัพธ์เชิงตัวเลข งานวิจัยนี้ได้ใช้วิธียิงเป้าโดยการอินทิเกรตเชิงตัวเลขกับระบบสมการอนุพันธ์ ซึ่งภายหลังจากการอินทิเกรตผลลัพธ์ที่ได้ต้องสอดคล้องกับเงื่อนไขของปัญหา มิฉะนั้นแล้วกระบวนการกระทำซ้ำของนิวตัน - ราฟสัน จะถูกนำมาใช้เพื่อปรับแก้ตัวแปรที่ไม่ทราบค่า

ผลการศึกษาพบว่าแรงกระทำและความยาวส่วนโค้งของอิลาสติกคามีค่าที่เพิ่มขึ้นอย่างต่อเนื่องและมีพฤติกรรมเป็นแบบสมมูลแบบมีเสถียรภาพเท่านั้น ในกรณีที่ตำแหน่งของแรงกระทำมีตำแหน่งเข้าใกล้ปลายอิลาสติกคา ผลจากการยึดรั้งของจุดรองรับส่งผลทำให้ความชันของกราฟมีค่าที่สูงขึ้น (ดังนั้นสตีเฟนของอิลาสติกคามีค่าสูงขึ้นด้วย) โดยสาเหตุที่เป็นเช่นนี้เนื่องจากเกิดการดึงรั้งขึ้นเมื่อเพิ่มค่าสตีเฟนของสปริงทำให้พฤติกรรมของอิลาสติกคามีค่าเข้าใกล้กับอิลาสติกคาที่มีความยาวต่อเนื่องกันและผลจากการทดลองอย่างง่ายแสดงให้เห็นว่าผลที่ได้จากการทฤษฎีและการทดลองมีความสอดคล้องกันเป็นอย่างดี

คำสำคัญ: อิลาสติกคาที่มีความยาวส่วนโค้งแปรเปลี่ยนได้ การแอ่นตัวมาก ระเบียบวิธียิงเป้า

Thesis Title	Effect of Rotational Spring Joint on Large Deflection Behavior of Variable - Arc - Length Elastica Subjected to Point Load
Name - Surname	Mr. Manachai Suwan
Program	Civil Engineering
Thesis Advisor	Assistant Professor Boonchai Phungpaigam, Ph.D.
Academic Year	2019

ABSTRACT

This thesis aimed to investigate the effect of rotational spring joint on the large deflection behavior of variable - arc - length elastica subjected to a point load in the vertical direction. The rotational spring joint was located with the span - length of the elastica. One end of the elastica was attached on a hinged support while another end was placed on the frictionless roller support where the length of the elastica could be slid through this support.

In this study, three cases of the relationship between the position of the spring joint α and the loading β would be analyzed. They were $\alpha < \beta$, $\alpha = \beta$, and $\alpha > \beta$ where the stiffness of the spring joint \bar{K} was assigned by the values of 1, 10, and 100. In the deformed state, the total arc - length of the elastica was varied and the rotational spring joint carried the bending moment in the form of $\bar{M} = \bar{K}\Delta\theta$. The governing differential equations consisted of equilibrium equations, moment - curvature relation, and geometric relations. For obtaining the numerical results, the shooting method was employed in this study. The numerical integration was performed on the system of differential equations. After the integration, the constraint conditions needed to be satisfied. Otherwise, the Newton - Raphson iterative scheme would be applied to correct the unknown variables.

From the results, it was found that the relationship between force and total arc - length increases monotonically and only stable equilibrium could be observed. For the cases of the point load located near the supports, the result of the strained support caused the higher slope of the load deflection curves (and hence the stiffness of the elastica). When the stiffness of the spring joint was increased, the behavior of the elastica converged to the behavior of the single VAL elastica. From the simple experiment, it indicated that the theoretical and experimental results were in good agreement.

Keywords: variable - arc - length elastica, large deflections, shooting method

กิตติกรรมประกาศ

วิทยานิพนธ์ฉบับนี้จะสำเร็จลุล่วงไปไม่ได้หากไม่ได้รับความกรุณา และความอนุเคราะห์เป็นอย่างดียิ่งจากผู้ช่วยศาสตราจารย์ ดร.บุญชัย ผึ้งไผ่งาม อาจารย์ที่ปรึกษา ที่ท่านได้กรุณาเสียสละเวลาให้คำปรึกษา คำแนะนำ และให้ข้อเสนอแนะในการปรับปรุงแก้ไขข้อบกพร่องต่าง ๆ ตลอดจนติดตามความก้าวหน้าในการจัดทำวิทยานิพนธ์ครั้งนี้อย่างใกล้ชิดด้วยดีตลอดมา นับตั้งแต่เริ่มต้นจนกระทั่งวิทยานิพนธ์เสร็จเรียบร้อยสมบูรณ์ ผู้วิจัยขอกราบขอบพระคุณเป็นอย่างสูงมา ณ ที่นี้

ขอขอบพระคุณ ผู้ช่วยศาสตราจารย์ ดร.กำธรเกียรติ มุสิเกต ประธานกรรมการฯและผู้ช่วยศาสตราจารย์ ดร.วีระศักดิ์ ละอองจันทร์ กรรมการฯ ที่ได้ให้ความกรุณาในการแก้ไขข้อบกพร่องต่าง ๆ ของงานวิจัย รวมทั้งเสียสละเวลามาเป็นคณะกรรมการในการสอบวิทยานิพนธ์ และขอขอบพระคุณ ผู้ช่วยศาสตราจารย์ ดร.วีรพันธุ์ เจียมมีปรีชา กรรมการผู้ทรงคุณวุฒิภายนอก จากคณะวิศวกรรมศาสตร์ และสถาปัตยกรรมศาสตร์ มหาวิทยาลัยเทคโนโลยีราชมงคลธัญบุรี ที่กรุณาให้เกียรติเสียสละเวลามาร่วมเป็นคณะกรรมการในการสอบวิทยานิพนธ์ และให้คำแนะนำในด้านต่าง ๆ อันเป็นประโยชน์แก่งานวิจัยนี้

ขอขอบพระคุณ องค์การบริหารส่วนจังหวัดสมุทรสงคราม กรมส่งเสริมการปกครองท้องถิ่น กระทรวงมหาดไทย ที่ได้พิจารณาคัดเลือกให้เป็นผู้ได้รับทุนการศึกษาในครั้งนี้

ขอขอบพระคุณ บริษัท เอ.เอน.เอส. ซุปเปอร์สปริง จำกัด ที่ให้การสนับสนุนชุดอุปกรณ์สำหรับใช้ในการทดสอบตัวอย่าง

สุดท้ายนี้ ผู้วิจัยขอกราบขอบพระคุณครูบาอาจารย์ทุก ๆ ท่าน เพื่อนสนิทมิตรสหายและทุกคนในครอบครัว ที่คอยให้การสนับสนุนและเป็นกำลังใจด้วยดีในการจัดทำวิทยานิพนธ์ตลอดระยะเวลาที่ผ่านมา ซึ่งประโยชน์อันใดที่ได้จากวิทยานิพนธ์ฉบับนี้ย่อมถือเป็นผลที่เกิดจากความกรุณาของท่านทั้งหลาย ผู้วิจัยหวังเป็นอย่างยิ่งว่าวิทยานิพนธ์ฉบับนี้จะประโยชน์สำหรับผู้สนใจศึกษางานวิจัยทางด้านนี้ และหากวิทยานิพนธ์ฉบับนี้ขาดตกบกพร่อง หรือไม่มีความสมบูรณ์ประการใด ผู้วิจัยขอกราบขออภัยมา ณ โอกาสนี้ด้วย

มานะชัย สุวรรณ

สารบัญ

	หน้า
บทคัดย่อภาษาไทย.....	(3)
บทคัดย่อภาษาอังกฤษ.....	(4)
กิตติกรรมประกาศ.....	(5)
สารบัญ.....	(6)
สารบัญตาราง.....	(8)
สารบัญรูป.....	(9)
บทที่ 1 บทนำ.....	17
1.1 ความเป็นมาและความสำคัญของปัญหา.....	17
1.2 วัตถุประสงค์ของการวิจัย.....	19
1.3 สมมติฐานที่ใช้ในการวิเคราะห์.....	19
1.4 ขอบเขตของการวิจัย.....	19
1.5 ขั้นตอนการวิจัย.....	20
1.6 ประโยชน์ที่คาดว่าจะได้รับ.....	20
บทที่ 2 เอกสารและงานวิจัยที่เกี่ยวข้อง.....	21
2.1 งานวิจัยที่เกี่ยวข้อง.....	21
2.2 สมการการโค้งตัวมากในกรณีที่วัสดุเป็นแบบเชิงเส้น.....	25
บทที่ 3 วิธีดำเนินการวิจัย.....	29
3.1 ความสัมพันธ์ระหว่างความเค้นและความเครียด.....	29
3.2 แบบจำลองของปัญหา.....	29
3.3 กระบวนการคำนวณปัญหา.....	42
3.4 การทดสอบอิลาสติกคาตัวอย่าง.....	47
บทที่ 4 ผลการศึกษาและการวิเคราะห์.....	50
4.1 ผลการศึกษาในกรณีที่ 1 ($\alpha < \beta$).....	50
4.2 ผลการศึกษาในกรณีที่ 2 ($\alpha = \beta$).....	60
4.3 ผลการศึกษาในกรณีที่ 3 ($\alpha > \beta$).....	69
บทที่ 5 สรุปผลการศึกษาและข้อเสนอแนะ.....	79
5.1 พฤติกรรมการอ่อนตัวและเสถียรภาพของอิลาสติกคาในกรณีที่ 1 ระยะเวลา $\alpha < \beta$...	79
5.2 พฤติกรรมการอ่อนตัวและเสถียรภาพของอิลาสติกคาในกรณีที่ 2 ระยะเวลา $\alpha = \beta$...	80
5.3 พฤติกรรมการอ่อนตัวและเสถียรภาพของอิลาสติกคาในกรณีที่ 3 ระยะเวลา $\alpha > \beta$...	80
5.4 ข้อเสนอแนะของการทำวิจัยต่อไปในอนาคต.....	81
บรรณานุกรม.....	82

สารบัญ (ต่อ)

	หน้า
ภาคผนวก.....	84
ภาคผนวก ก แบบจำลองของอีลาสติคคาที่มีความยาวต่อเนื่องกัน (Single VAL Elastica).....	85
ภาคผนวก ข ระเบียบวิธีรุงเง - คุตตา (Runge - Kutta Method).....	89
ภาคผนวก ค ระเบียบวิธีนิวตัน - ราฟสัน.....	91
ภาคผนวก ง ระเบียบวิธีการยิงเป้า (Shooting Method).....	94
ภาคผนวก จ การทดสอบหาค่าสตีเฟนสของสปริง.....	97
ภาคผนวก ฉ ตัวอย่างโปรแกรมการคำนวณ.....	101
ภาคผนวก ช ผลการคำนวณเชิงตัวเลข.....	113
ภาคผนวก ซ ผลงานตีพิมพ์เผยแพร่.....	165
ประวัติผู้เขียน.....	178



สารบัญตาราง

	หน้า
ตารางที่ 4.1 ความสัมพันธ์ระหว่าง $\bar{S}_t, \bar{P}, \theta_B, \bar{x}_C, \bar{y}_C, \bar{x}^*, \theta_A, \Delta\theta$ ในกรณีที่ 1 ($\alpha < \beta$) โดยพิจารณาค่าคงที่ $\alpha=0.25$ ค่า $\beta=0.35$ ค่า $\bar{K}=1, 10$ และ 100 และ Single VAL Elastica.....	51
ตารางที่ 4.2 ความสัมพันธ์ระหว่าง $\bar{S}_t, \bar{P}, \theta_B, \bar{x}_C, \bar{y}_C, \bar{x}^*, \theta_A, \Delta\theta$ ในกรณีที่ 1 ($\alpha < \beta$) โดยพิจารณาค่าคงที่ $\alpha=0.50$ ค่า $\beta=0.60$ ค่า $\bar{K}=1, 10$ และ 100 และ Single VAL Elastica.....	52
ตารางที่ 4.3 ความสัมพันธ์ระหว่าง $\bar{S}_t, \bar{P}, \theta_B, \bar{x}_C, \bar{y}_C, \bar{x}^*, \theta_A, \Delta\theta$ ในกรณีที่ 1 ($\alpha < \beta$) โดยพิจารณาค่าคงที่ $\alpha=0.75$ ค่า $\beta=0.85$ ค่า $\bar{K}=1, 10$ และ 100 และ Single VAL Elastica.....	53
ตารางที่ 4.4 ความสัมพันธ์ระหว่าง $\bar{S}_t, \bar{P}, \theta_B, \bar{x}^*, \bar{y}^*, \theta_A, \Delta\theta$ ในกรณีที่ 2 ($\alpha = \beta$) โดยพิจารณาค่าคงที่ $\alpha=0.25$ ค่า $\bar{K}=1, 10$ และ 100 และ Single VAL Elastica.....	60
ตารางที่ 4.5 ความสัมพันธ์ระหว่าง $\bar{S}_t, \bar{P}, \theta_B, \bar{x}^*, \bar{y}^*, \theta_A, \Delta\theta$ ในกรณีที่ 2 ($\alpha = \beta$) โดยพิจารณาค่าคงที่ $\alpha=0.50$ ค่า $\bar{K}=1, 10$ และ 100 และ Single VAL Elastica.....	61
ตารางที่ 4.6 ความสัมพันธ์ระหว่าง $\bar{S}_t, \bar{P}, \theta_B, \bar{x}^*, \bar{y}^*, \theta_A, \Delta\theta$ ในกรณีที่ 2 ($\alpha = \beta$) โดยพิจารณาค่าคงที่ $\alpha=0.75$ ค่า $\bar{K}=1, 10$ และ 100 และ Single VAL Elastica.....	62
ตารางที่ 4.7 ความสัมพันธ์ระหว่าง $\bar{S}_t, \bar{P}, \theta_B, \bar{x}_D, \bar{y}_D, \bar{x}^*, \theta_A, \Delta\theta$ ในกรณีที่ 3 ($\alpha > \beta$) โดยพิจารณาค่าคงที่ $\alpha=0.25$ ค่า $\beta=0.15$ ค่า $\bar{K}=1, 10$ และ 100 และ Single VAL Elastica.....	70
ตารางที่ 4.8 ความสัมพันธ์ระหว่าง $\bar{S}_t, \bar{P}, \theta_B, \bar{x}_D, \bar{y}_D, \bar{x}^*, \theta_A, \Delta\theta$ ในกรณีที่ 3 ($\alpha > \beta$) โดยพิจารณาค่าคงที่ $\alpha=0.50$ ค่า $\beta=0.35$ ค่า $\bar{K}=1, 10$ และ 100 และ Single VAL Elastica.....	71
ตารางที่ 4.9 ความสัมพันธ์ระหว่าง $\bar{S}_t, \bar{P}, \theta_B, \bar{x}_D, \bar{y}_D, \bar{x}^*, \theta_A, \Delta\theta$ ในกรณีที่ 3 ($\alpha > \beta$) โดยพิจารณาค่าคงที่ $\alpha=0.75$ ค่า $\beta=0.50$ ค่า $\bar{K}=1, 10$ และ 100 และ Single VAL Elastica.....	72

สารบัญรูป

	หน้า
รูปที่ 1.1 ตัวอย่างของการประยุกต์ใช้กับงานท่อส่งน้ำมันและก๊าซธรรมชาติ.....	17
รูปที่ 2.1 ความสัมพันธ์ของเส้นโค้งยืดหยุ่นและโมเมนต์ดัดของอิลาสติคคา.....	26
รูปที่ 2.2 รูปร่างของอิลาสติคคาเมื่อเกิดการเสียรูป (ลักษณะการโก่งตัวของอิลาสติคคา).....	26
รูปที่ 2.3 รูปร่างและพฤติกรรมของสปริงหมุนเมื่อมีแรงกระทำ (สมดุลที่จุด C) (ก) ภาพถ่ายสปริงต้านทานการหมุนที่ใช้ในการทดลอง (ข) ภาพวาดแบบจำลองของสปริงหมุน.....	28
รูปที่ 3.1 รูปร่างของอิลาสติคคาที่มีความยาวส่วนโค้งแปรเปลี่ยนได้ในสภาวะก่อนการเสียรูป กรณีที่ 1 ($\alpha < \beta$)	30
รูปที่ 3.2 รูปร่างของอิลาสติคคาที่มีความยาวส่วนโค้งแปรเปลี่ยนได้ในสภาวะหลังการเสียรูป กรณีที่ 1 ($\alpha < \beta$)	31
รูปที่ 3.3 ผังอิสระของชิ้นส่วนย่อยของอิลาสติคคาในกรณีที่ 1 ระยะเวลา $\alpha < \beta$ ในช่วงพิจารณาที่ $0 \leq s \leq \alpha L$	31
รูปที่ 3.4 ผังอิสระของชิ้นส่วนย่อยของอิลาสติคคาในกรณีที่ 1 ระยะเวลา $\alpha < \beta$ (ก) ในช่วงพิจารณาที่ $\alpha L \leq s \leq \beta L$ และ (ข) ในช่วงพิจารณาที่ $\beta L \leq s \leq S_t$	33
รูปที่ 3.5 พฤติกรรมหลังการโก่งเดาะของอิลาสติคคาจากแรงเฉือน.....	34
รูปที่ 3.6 รูปร่างการโก่งเดาะของอิลาสติคคาที่มีความยาวส่วนโค้งแปรเปลี่ยนได้ที่มีจุดต้านทาน การหมุนแบบสปริงอยู่ภายใน.....	35
รูปที่ 3.7 รูปร่างของอิลาสติคคาที่มีความยาวส่วนโค้งแปรเปลี่ยนได้ในสภาวะก่อนการเสียรูป กรณีที่ 2 ($\alpha = \beta$)	36
รูปที่ 3.8 รูปร่างของอิลาสติคคาที่มีความยาวส่วนโค้งแปรเปลี่ยนได้ในสภาวะหลังการเสียรูป กรณีที่ 2 ($\alpha = \beta$)	36
รูปที่ 3.9 ผังอิสระของชิ้นส่วนย่อยของอิลาสติคคาในกรณีที่ 2 ระยะเวลา $\alpha = \beta$ (ก) ในช่วงพิจารณาที่ $0 \leq s \leq (\alpha L, \beta L)$ และ (ข) ในช่วงพิจารณาที่ $\alpha L, \beta L \leq s \leq S_t$	37
รูปที่ 3.10 รูปร่างของอิลาสติคคาที่มีความยาวส่วนโค้งแปรเปลี่ยนได้ในสภาวะก่อนการเสียรูป กรณีที่ 3 ($\alpha > \beta$).....	38
รูปที่ 3.11 รูปร่างของอิลาสติคคาที่มีความยาวส่วนโค้งแปรเปลี่ยนได้ในสภาวะหลังการเสียรูป กรณีที่ 3 ($\alpha > \beta$).....	39

สารบัญรูป (ต่อ)

	หน้า
รูปที่ 3.12 ผังอิสระของชิ้นส่วนย่อยของอิลาสติคคาในกรณีที่ 3 ระยะ $\alpha > \beta$ (ก) ในช่วงพิจารณาที่ $0 \leq s \leq \beta L$, (ข) ในช่วงพิจารณาที่ $\beta L \leq s \leq \alpha L$ และ (ค) ในช่วงพิจารณาที่ $\alpha L \leq s \leq S_f$	39
รูปที่ 3.13 ขั้นตอนการคำนวณของโปรแกรม MATLAB ในกรณีที่ 1 ($\alpha < \beta$)	44
รูปที่ 3.14 ขั้นตอนการคำนวณของโปรแกรม MATLAB ในกรณีที่ 2 ($\alpha = \beta$)	45
รูปที่ 3.15 ขั้นตอนการคำนวณของโปรแกรม MATLAB ในกรณีที่ 3 ($\alpha > \beta$)	46
รูปที่ 3.16 การจับยึดแผ่นโพลีคาร์บอเนตทั้งสองด้านของการทดสอบ (โดยที่จุด A จำลองเป็น จุดรองรับแบบข้อหมุน และที่จุด B จำลองเป็นจุดรองรับแบบไร้แรงเสียดทาน).....	48
รูปที่ 3.17 แบบจำลองจุด C (สปริงต้านทานการหมุนที่ใช้ในการทดลอง).....	48
รูปที่ 3.18 ลักษณะการแอ่นตัวของอิลาสติคคาตัวอย่างที่จำลองจากวัสดุแผ่นโพลีคาร์บอเนต....	49
รูปที่ 3.19 การวัดค่าการโก่งตัวของอิลาสติคคาตัวอย่างที่จำลองจากวัสดุแผ่นโพลีคาร์บอเนต ด้วยโปรแกรม AutoCAD.....	49
รูปที่ 4.1 ความสัมพันธ์ระหว่างแรงกระทำ \bar{P} กับความยาวส่วนโค้ง \bar{S}_f กรณีที่ 1 ($\alpha < \beta$) เมื่อค่า $\alpha = 0.25$, $\beta = 0.35$ และ $\bar{K} = 1, 10, 100, 2.15$ Single VAL Elastica	55
รูปที่ 4.2 ความสัมพันธ์ระหว่างแรงกระทำ \bar{P} กับความยาวส่วนโค้ง \bar{S}_f กรณีที่ 1 ($\alpha < \beta$) เมื่อค่า $\alpha = 0.50$, $\beta = 0.60$ และ $\bar{K} = 1, 10, 100, 2.15$ Single VAL Elastica	55
รูปที่ 4.3 ความสัมพันธ์ระหว่างแรงกระทำ \bar{P} กับความยาวส่วนโค้ง \bar{S}_f กรณีที่ 1 ($\alpha < \beta$) เมื่อค่า $\alpha = 0.75$, $\beta = 0.85$ และ $\bar{K} = 1, 10, 100, 2.15$ Single VAL Elastica	56
รูปที่ 4.4 ความสัมพันธ์ระหว่างแรงกระทำ \bar{P} กับความยาวส่วนโค้ง \bar{S}_f กรณีที่ 1 ($\alpha < \beta$) เมื่อค่า $\alpha = 0.25$, $\beta = 0.35$, $\alpha = 0.50$, $\beta = 0.60$, $\alpha = 0.75$, $\beta = 0.85$ และ $\bar{K} = 1, 10, 100, 2.15$, Single VAL Elastica	56
รูปที่ 4.5 รูปร่างการแอ่นตัวของอิลาสติคคากรณีที่ 1 ($\alpha < \beta$) เมื่อขนาดของแรงกระทำ $\bar{P} = 35.00$ ค่า $\alpha = 0.25$, $\beta = 0.35$ และ $\bar{K} = 1, 10, 100, 2.15$, Single VAL Elastica	57
รูปที่ 4.6 รูปร่างการแอ่นตัวของอิลาสติคคากรณีที่ 1 ($\alpha < \beta$) เมื่อขนาดของแรงกระทำ $\bar{P} = 80.00$ ค่า $\alpha = 0.50$, $\beta = 0.60$ และ $\bar{K} = 1, 10, 100, 2.15$, Single VAL Elastica	58

สารบัญรูป (ต่อ)

	หน้า
รูปที่ 4.7 รูปร่างการแอ่นตัวของอิลาสติกคากรณีที่ 1 ($\alpha < \beta$) เมื่อขนาดของแรงกระทำ $\bar{P}=25.00$ ค่า $\alpha=0.75$, $\beta=0.85$ และ $\bar{K}=1, 10, 100, 2.15$, Single VAL Elastica.....	59
รูปที่ 4.8 ความสัมพันธ์ระหว่างแรงกระทำ \bar{P} กับความยาวส่วนโค้ง \bar{S}_f กรณีที่ 2 ($\alpha = \beta$) เมื่อค่า $\alpha=0.25$ และ $\bar{K}=1, 10, 100, 2.15$, Single VAL Elastica.....	64
รูปที่ 4.9 ความสัมพันธ์ระหว่างแรงกระทำ \bar{P} กับความยาวส่วนโค้ง \bar{S}_f กรณีที่ 2 ($\alpha = \beta$) เมื่อค่า $\alpha=0.50$ และ $\bar{K}=1, 10, 100, 2.15$, Single VAL Elastica.....	64
รูปที่ 4.10 ความสัมพันธ์ระหว่างแรงกระทำ \bar{P} กับความยาวส่วนโค้ง \bar{S}_f กรณีที่ 2 ($\alpha = \beta$) เมื่อค่า $\alpha=0.75$ และ $\bar{K}=1, 10, 100, 2.15$, Single VAL Elastica.....	65
รูปที่ 4.11 ความสัมพันธ์ระหว่างแรงกระทำ \bar{P} กับความยาวส่วนโค้ง \bar{S}_f กรณีที่ 2 ($\alpha = \beta$) เมื่อค่า $\alpha=0.25, 0.50, 0.75$ และ $\bar{K}=1, 10, 100, 2.15$, Single VAL Elastica.....	65
รูปที่ 4.12 รูปร่างการแอ่นตัวของอิลาสติกคากรณีที่ 2 ($\alpha = \beta$) เมื่อขนาดของแรงกระทำ $\bar{P}=85.00$ ค่า $\alpha=0.25$ และ $\bar{K}=1, 10, 100, 2.15$, Single VAL Elastica.....	66
รูปที่ 4.13 รูปร่างการแอ่นตัวของอิลาสติกคากรณีที่ 2 ($\alpha = \beta$) เมื่อขนาดของแรงกระทำ $\bar{P}=85.00$ ค่า $\alpha=0.50$ และ $\bar{K}=1, 10, 100, 2.15$, Single VAL Elastica.....	67
รูปที่ 4.14 รูปร่างการแอ่นตัวของอิลาสติกคากรณีที่ 2 ($\alpha = \beta$) เมื่อขนาดของแรงกระทำ $\bar{P}=85.00$ ค่า $\alpha=0.75$ และ $\bar{K}=1, 10, 100, 2.15$, Single VAL Elastica.....	68
รูปที่ 4.15 ความสัมพันธ์ระหว่างแรงกระทำ \bar{P} กับความยาวส่วนโค้ง \bar{S}_f กรณีที่ 3 ($\alpha > \beta$) เมื่อค่า $\alpha=0.25$, $\beta=0.15$ และ $\bar{K}=1, 10, 100, 2.15$, Single VAL Elastica..	74
รูปที่ 4.16 ความสัมพันธ์ระหว่างแรงกระทำ \bar{P} กับความยาวส่วนโค้ง \bar{S}_f กรณีที่ 3 ($\alpha > \beta$) เมื่อค่า $\alpha=0.50$, $\beta=0.35$ และ $\bar{K}=1, 10, 100, 2.15$, Single VAL Elastica..	74
รูปที่ 4.17 ความสัมพันธ์ระหว่างแรงกระทำ \bar{P} กับความยาวส่วนโค้ง \bar{S}_f กรณีที่ 3 ($\alpha > \beta$) เมื่อค่า $\alpha=0.75$, $\beta=0.50$ และ $\bar{K}=1, 10, 100, 2.15$, Single VAL Elastica..	75
รูปที่ 4.18 ความสัมพันธ์ระหว่างแรงกระทำ \bar{P} กับความยาวส่วนโค้ง \bar{S}_f กรณีที่ 3 ($\alpha > \beta$) เมื่อค่า $\alpha=0.25$, $\beta=0.15$, $\alpha=0.50$, $\beta=0.35$, $\alpha=0.75$, $\beta=0.50$ และ $\bar{K}=1, 10, 100, 2.15$, Single VAL Elastica.....	75
รูปที่ 4.19 รูปร่างการแอ่นตัวของอิลาสติกคากรณีที่ 3 ($\alpha > \beta$) เมื่อขนาดของแรงกระทำ $\bar{P}=400.00$ ค่า $\alpha=0.75$, $\beta=0.85$ และ $\bar{K}=1, 10, 100, 2.15$, Single VAL Elastica.....	76

สารบัญรูป (ต่อ)

	หน้า
รูปที่ 4.20 รูปร่างการแอนตัวของอิลาสติคคาร์ณีที่ 3 ($\alpha > \beta$) เมื่อขนาดของแรงกระทำ $\bar{P} = 300.00$ ค่า $\alpha = 0.50$, $\beta = 0.35$ และ $\bar{K} = 1, 10, 100, 2.15$, Single VAL Elastica.....	77
รูปที่ 4.21 รูปร่างการแอนตัวของอิลาสติคคาร์ณีที่ 3 ($\alpha > \beta$) เมื่อขนาดของแรงกระทำ $\bar{P} = 140.00$ ค่า $\alpha = 0.75$, $\beta = 0.50$ และ $\bar{K} = 1, 10, 100, 2.15$, Single VAL Elastica.....	78



คำอธิบายสัญลักษณ์และคำย่อ

<i>A</i>	ตัวกำกับล่างแสดงตำแหน่งจุดรองรับแบบข้อหมุน	
<i>B</i>	ตัวกำกับล่างแสดงตำแหน่งจุดรองรับแบบไร้แรงเสียดทาน	
<i>C</i>	{ ตัวกำกับล่างแสดงตำแหน่งจุดต้านทานการหมุนแบบสปริง ในกรณีที่ $\alpha < \beta$ ตัวกำกับล่างแสดงตำแหน่งจุดต้านทานการหมุนแบบสปริง และตำแหน่งของแรงกระทำ ในกรณีที่ $\alpha = \beta$	
		ตัวกำกับล่างแสดงตำแหน่งของแรงกระทำ ในกรณีที่ $\alpha > \beta$
<i>D</i>	{ ตัวกำกับล่างแสดงตำแหน่งของแรงกระทำ ในกรณีที่ $\alpha < \beta$ ตัวกำกับล่างแสดงตำแหน่งจุดต้านทานการหมุนแบบสปริง ในกรณีที่ $\alpha > \beta$	
<i>E</i>	โมดูลัสความยืดหยุ่น	
<i>I</i>	โมเมนต์ของความเฉื่อย	
<i>P</i>	แรงกระทำแบบจุด กระทำในแนวตั้งอยู่เสมอโดยไม่มีการติดตามการเสีรูปร่าง	
<i>L</i>	ความยาวช่วงของอีลาสติคคา	
α	{ ค่าคงที่สัดส่วนความยาวส่วนโค้งของอีลาสติคคา ที่แสดงตำแหน่งของจุดต้านทานการหมุนแบบสปริง ในกรณีที่ $\alpha < \beta$ ค่าคงที่สัดส่วนความยาวส่วนโค้งของอีลาสติคคา ที่แสดงตำแหน่งของจุดต้านทานการหมุนแบบสปริงและตำแหน่งของแรงกระทำ ในกรณีที่ $\alpha = \beta$ ค่าคงที่สัดส่วนความยาวส่วนโค้งของอีลาสติคคา ที่แสดงตำแหน่งของจุดต้านทานการหมุนแบบสปริง ในกรณีที่ $\alpha > \beta$	
		{ ค่าคงที่สัดส่วนความยาวส่วนโค้งของอีลาสติคคา ที่แสดงตำแหน่งของแรงกระทำในกรณีที่ $\alpha < \beta$ ค่าคงที่สัดส่วนความยาวส่วนโค้งของอีลาสติคคา ที่แสดงตำแหน่งของจุดต้านทานการหมุนแบบสปริงและตำแหน่งของแรงกระทำ ในกรณีที่ $\alpha = \beta$ ค่าคงที่สัดส่วนความยาวส่วนโค้งของอีลาสติคคา ที่แสดงตำแหน่งของแรงกระทำในกรณีที่ $\alpha > \beta$
β		
θ	มุมหมุนของอีลาสติคคา	
H_A	แรงในแนวราบที่จุด <i>A</i>	
Q_A	แรงในแนวตั้งที่จุด <i>A</i>	
R_B	แรงในแนวตั้งที่จุด <i>B</i>	
<i>M</i>	โมเมนต์ดัด	
<i>N</i>	แรงตามแนวแกน	

คำอธิบายสัญลักษณ์และคำย่อ (ต่อ)

V	แรงเฉือน ณ ตำแหน่งใด ๆ ของอิลาสติกคา
$\Delta\theta$	ค่าความแตกต่างของมุม ณ ตำแหน่งของสปริงที่จุด C
x	ระยะตามแนวราบของอิลาสติกคา
y	ระยะตามแนวตั้งของอิลาสติกคา
x^*	ระยะจากจุดรองรับ A ถึงจุดที่แรงกระทำตามแนวราบของอิลาสติกคา
y^*	ระยะจากจุดรองรับ A ถึงจุดที่แรงกระทำตามแนวตั้งของอิลาสติกคา
x_C	ระยะจากจุดรองรับ A ถึงจุดตำแหน่งการหมุนแบบสปริงตามแนวราบของอิลาสติกคา ในกรณีที่ $\alpha < \beta$
y_C	ระยะจากจุดรองรับ A ถึงจุดตำแหน่งการหมุนแบบสปริงตามแนวตั้งของอิลาสติกคา ในกรณีที่ $\alpha < \beta$
x_D	ระยะจากจุดรองรับ A ถึงจุดตำแหน่งการหมุนแบบสปริงตามแนวราบของอิลาสติกคา ในกรณีที่ $\alpha > \beta$
y_D	ระยะจากจุดรองรับ A ถึงจุดตำแหน่งการหมุนแบบสปริงตามแนวตั้งของอิลาสติกคา ในกรณีที่ $\alpha > \beta$
s	ความยาวส่วนโค้งของอิลาสติกคา
S_t	ความยาวส่วนโค้งทั้งหมดของอิลาสติกคา
K	ค่าสติเฟเนสของสปริง
\bar{x}	ระยะตามแนวราบของอิลาสติกคาแบบไร้หน่วย $[\bar{x} = \frac{x}{L}]$
\bar{y}	ระยะตามแนวตั้งของอิลาสติกคาแบบไร้หน่วย $[\bar{y} = \frac{y}{L}]$
\bar{x}^*	ระยะจากจุดรองรับ A ถึงจุดที่แรงกระทำตามแนวราบของอิลาสติกคาแบบไร้หน่วย $[\bar{x}^* = \frac{x^*}{L}]$
\bar{y}^*	ระยะจากจุดรองรับ A ถึงจุดที่แรงกระทำตามแนวตั้งของอิลาสติกคาแบบไร้หน่วย $[\bar{y}^* = \frac{y^*}{L}]$
\bar{x}_C	ระยะจากจุดรองรับ A ถึงจุดตำแหน่งการหมุนแบบสปริงตามแนวราบของอิลาสติกคาแบบไร้หน่วย ในกรณีที่ $\alpha < \beta$ $[\bar{x}_C = \frac{x_C}{L}]$
\bar{y}_C	ระยะจากจุดรองรับ A ถึงจุดตำแหน่งการหมุนแบบสปริงตามแนวตั้งของอิลาสติกคาแบบไร้หน่วย ในกรณีที่ $\alpha < \beta$ $[\bar{y}_C = \frac{y_C}{L}]$

คำอธิบายสัญลักษณ์และคำย่อ (ต่อ)

\bar{x}_D	ระยะจากจุดรองรับ A ถึงจุดต้านทานการหมุนแบบสปริงตามแนวราบของ ของอิลาสติกคาแบบไร้หน่วย ในกรณีที่ $\alpha > \beta$ $\left[\bar{x}_D = \frac{x_D}{L} \right]$
\bar{y}_D	ระยะจากจุดรองรับ A ถึงจุดต้านทานการหมุนแบบสปริงตามแนวตั้ง ของอิลาสติกคาแบบไร้หน่วย ในกรณีที่ $\alpha > \beta$ $\left[\bar{y}_D = \frac{y_D}{L} \right]$
\bar{s}	ความยาวส่วนโค้งของอิลาสติกคาแบบไร้หน่วย $\left[\bar{s} = \frac{s}{L} \right]$
\bar{S}_t	ความยาวส่วนโค้งทั้งหมดของอิลาสติกคาแบบไร้หน่วย $\left[\bar{S}_t = \frac{S_t}{L} \right]$
\bar{P}	แรงกระทำแบบจุด กระทำในแนวตั้งอยู่เสมอโดยไม่มี การติดตามการเสียรูป แบบไร้หน่วย $\left[\bar{P} = \frac{PL^2}{EI} \right]$
\bar{M}	โมเมนต์ดัดแบบไร้หน่วย $\left[\bar{M} = \frac{ML}{EI} \right]$
\bar{I}	โมเมนต์ของความเฉื่อยแบบไร้หน่วย $\left[\bar{I} = \frac{I}{L^4} \right]$
\bar{K}	ค่าสติเฟเนสของสปริงแบบไร้หน่วย $\left[\bar{K} = \frac{KL}{EI} \right]$

คำอธิบายสัญลักษณ์และคำย่อ (ต่อ)

Arc - Length	ความยาวส่วนโค้ง
Boundary Condition	เงื่อนไขขอบเขต
Critical Load	น้ำหนักบรรทุกวิกฤติ
Differential Equation	สมการอนุพันธ์
Elastica	อีลาสติกา
Elliptic Function	อีลิปติกฟังก์ชัน
Elliptic - Integral Method	วิธีอีลิปติกอินทิกรัล
Equilibrium	สมดุล
Euler - Bernoulli	ทฤษฎีของออยเลอร์ - แบร์นูลลี
Finite Element Method	วิธีไฟไนต์เอลิเมนต์
Flexural Rigidity	ความแข็งแรงของวัสดุต่อการดัด
Flowchart	แผนผังแสดงขั้นตอนของการทำงาน
Free - Body Diagram	ไดอะแกรมของชิ้นส่วนอิสระ
Geometric Relation	ความสัมพันธ์ทางเรขาคณิต
Governing Equation	สมการครอบคลุมของปัญหา
Homogenous Material	วัสดุที่เป็นเนื้อเดียวกัน
Instability	ความไร้เสถียรภาพ
Isotropic	คุณสมบัติของวัสดุ (E) ที่เท่ากันทุกทิศทาง
Large Deflection	การโก่งตัวมาก
Newton - Raphson Method	วิธีนิวตัน - ราฟสัน
Polycarbonate Sheet	แผ่นโพลีคาร์บอเนต
Runge - Kutta Method	วิธีรุ่งเง - คัตตา
Shooting Method	วิธียิงเป้า
Stable Equilibrium	สมดุลแบบมีเสถียรภาพ
Static	สถิตศาสตร์
Strain	ความเครียด
Stress	ความเค้น
Stiffness	ความต้านทานของวัสดุ
Tolerance	ความคลาดเคลื่อน
Total - Arc - Length	ความยาวส่วนโค้งทั้งหมด
Unstable Equilibrium	สมดุลแบบไร้เสถียรภาพ
Variable - Arc - Length Elastica	อีลาสติกาที่มีความยาวส่วนโค้งแปรเปลี่ยนได้

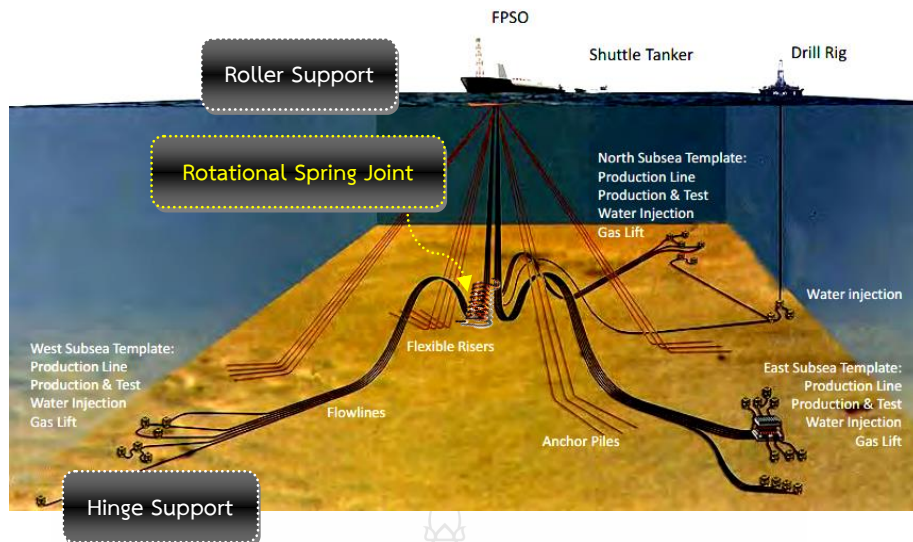
บทที่ 1

บทนำ

ในบทนี้จะกล่าวถึงความเป็นมาและความสำคัญของปัญหา วัตถุประสงค์ สมมติฐาน ขอบเขต ขั้นตอน และประโยชน์ของงานวิจัยชิ้นนี้ โดยที่งานวิจัยนี้เป็นการนำเอาลักษณะของโครงสร้างที่มีความซับซ้อนมาก เช่นท่อลำเลียงของไหล (Pipeline) ซึ่งพบได้บ่อยในอุตสาหกรรมขุดเจาะน้ำมัน มาทำการจำลองพฤติกรรมการแอ่นตัวมากในสถานะที่อาจพบได้ อาทิเช่นในงานวิจัยนี้ได้คำนึงถึงการแอ่นตัวมากภายใต้สภาวะที่ท่อลำเลียงของไหลเกิดการหักงอ ซึ่งได้จำลองจุดที่หักงอเป็นจุดต้านทานการหมุนแบบสปริง (Rotational Spring Joint) แต่อย่างไรก็ตามเนื่องจากการจำลองดังกล่าวเป็นการจำลองโมเดลทางคณิตศาสตร์จึงจำเป็นต้องตัดทอนตัวแปรบางประเภทออกไปเพื่อให้สามารถคำนวณได้ง่าย ซึ่งได้กล่าวถึงในสมมติฐานของงานวิจัย และเพื่อยืนยันผลในเชิงทฤษฎีงานวิจัยนี้ได้ทำการทดลองอย่างง่ายขึ้นเพื่อเปรียบเทียบกับผลการคำนวณ ส่วนรายละเอียดต่าง ๆ ในบทนี้จะได้กล่าวถึงต่อไปดังนี้

1.1 ความเป็นมาและความสำคัญของปัญหา

การขนส่งน้ำมันและก๊าซธรรมชาติในระยะเริ่มแรกนั้น สามารถทำได้ครั้งละปริมาณไม่มากนัก ส่วนใหญ่จะใช้วิธีการบรรจุลงในภาชนะขนาดเล็กก่อน หลังจากนั้นจึงขนส่งลำเลียงด้วยรถยนต์ เรือ และรถไฟที่ใช้บรรทุกสินค้าทั่วไป ต่อมาด้วยวิวัฒนาการทางด้านคมนาคมและประกอบกับความต้องการใช้น้ำมันและก๊าซธรรมชาติที่เพิ่มสูงขึ้น จึงได้มีการคิดค้นออกแบบกระบวนการขนส่งที่สามารถลำเลียงน้ำมันและก๊าซธรรมชาติในแต่ละครั้งได้ในปริมาณมาก ๆ (Bulk) โดยไม่ต้องบรรจุลงในภาชนะขนาดเล็กก่อน มีกระบวนการขนส่งลำเลียงอยู่ 4 ประเภทหลัก ๆ แต่กระบวนการขนส่งน้ำมันและก๊าซธรรมชาติจากหลุมผลิตไปยังสถานีชายฝั่งหรือโรงกลั่นที่มีประสิทธิภาพและสะดวกที่สุดคือการขนส่งลำเลียงทางท่อ (Pipeline) แต่การขนส่งลำเลียงด้วยกระบวนการดังกล่าวอาจเกิดความเสียหาย หรือเกิดการหักงอได้จากเหตุการณ์ต่าง ๆ เช่น แผ่นดินไหว สมอเรือเกี่ยวลาก ซึ่งในบริเวณที่ท่อเกิดการเสียหายหรือหักงอนั้นสามารถจำลองให้เป็นจุดต้านทานการหมุนแบบสปริงที่อยู่ภายในช่วงของอีลาสติคคา ณ ตำแหน่งใด ๆ โดยที่จุดต้านทานการหมุนแบบสปริงทำหน้าที่ส่งถ่ายโมเมนต์ตัดตามความสัมพันธ์ $M = K\Delta\theta$ โดยจำลองให้ด้านที่มีจุดรองรับแบบยึดหมุนซึ่งเปรียบเทียบกับปลายของท่อส่งด้านที่ยึดติดกับแท่นที่ขุดเจาะใต้ทะเล และด้านจุดรองรับแบบไร้แรงเสียดทานเปรียบเสมือนแท่นผลิตที่อยู่บนเรือเดินสมุทรซึ่งอยู่ที่ระดับผิวน้ำที่สามารถเลื่อนได้ทำให้ความยาวส่วนโค้งแปรเปลี่ยนได้



รูปที่ 1.1 ตัวอย่างของการประยุกต์ใช้กับงานท่อส่งน้ำมันและก๊าซธรรมชาติ (<http://energyclaims.net>)

สำหรับงานวิจัยนี้ นำเสนอการศึกษา ผลของจุดยึดที่ฝังภายในต่อพฤติกรรมการแอ่นตัวมากของอิลาสติกคาที่มีความยาวส่วนโค้งแปรเปลี่ยนได้ภายใต้แรงกระทำแบบจุด ณ ตำแหน่งใด ๆ และมีจุดต้านทานการหมุนแบบสปริงอยู่ในช่วงของอิลาสติกคา ณ ตำแหน่งใด ๆ โดยที่ปลายด้านหนึ่งของอิลาสติกคาถูกรองรับด้วยจุดรองรับที่หมุนได้อย่างอิสระ ส่วนที่ปลายอีกด้านหนึ่งวางพาดอยู่บนจุดรองรับที่เลื่อนได้โดยไร้แรงเสียดทาน ในงานวิจัยนี้จะทำการวิเคราะห์ตำแหน่งของจุดต้านทานการหมุนแบบสปริงแทนด้วยสัญลักษณ์ของ α ตำแหน่งของแรงที่กระทำแทนด้วยสัญลักษณ์ของ β ทั้งหมด 3 กรณี คือ กรณีที่ระยะ $\alpha < \beta$, $\alpha = \beta$ และ $\alpha > \beta$ โดยทำการเปลี่ยนค่าสติฟเนส (K) ของสปริงเพื่อให้เกิดความต้านทานที่หลากหลาย โดยกำหนดค่า $\bar{K} = 1, 10$ และ 100 และเมื่ออิลาสติกคาเกิดการเสียรูปความยาวส่วนโค้งทั้งหมดของอิลาสติกคามีค่าไม่คงที่ โดยที่จุดต้านทานการหมุนแบบสปริงจะทำหน้าที่ส่งถ่ายโมเมนต์ตัดตามความสัมพันธ์ของ $M = K\Delta\theta$ ชุดสมการอนุพันธ์ครอบคลุมของปัญหาประกอบไปด้วยความสัมพันธ์ระหว่างโมเมนต์ตัดและความโค้ง ซึ่งพิจารณาผลของจุดต้านทานการหมุนแบบสปริงโดยอาศัยหลักของการสมดุลและความสัมพันธ์ของรูปร่างของอิลาสติกคา ในงานวิจัยนี้จะทำการหาคำตอบโดยใช้ระเบียบวิธียิงเป้า (Shooting Method) ซึ่งเป็นวิธีเชิงตัวเลข โดยระบบสมการทั้งหมดจะถูกอินทิเกรตด้วยระเบียบวิธีรุ่งเง - คุตตา (Runge - Kutta Method) ให้สอดคล้องกับเงื่อนไขขอบเขตที่ปลายทั้งสองด้าน และสอดคล้องกับเงื่อนไขของสมการสมดุลที่จุดต้านทานการหมุนแบบสปริง

งานวิจัยนี้จะนำผลที่ได้จากคำนวณทางทฤษฎีของอิลาสติกคาที่มีความยาวส่วนโค้งแปรเปลี่ยนได้ภายใต้แรงกระทำแบบจุดกระทำ ณ ตำแหน่งใด ๆ และมีจุดต้านทานการหมุนแบบสปริงอยู่ในช่วงของอิลาสติกคา ณ ตำแหน่งใด ๆ ไปเปรียบเทียบกับผลการคำนวณที่ได้จากทฤษฎีกรณีศึกษาอิลาสติกคาที่มีความยาวต่อเนื่องกัน พร้อมทั้งนำไปเปรียบเทียบกับผลการทดสอบตัวอย่างกรณีวัสดุเป็นแบบเชิงเส้นโดยใช้วัสดุเป็นแผ่นโพลีคาร์บอนเนต (Polycarbonate Sheet) ซึ่งในการทดสอบตัวอย่างนั้นจะทำให้เห็นภาพของพฤติกรรมของโครงสร้างในลักษณะเช่นนี้ได้ชัดเจนมากขึ้น และยังเป็นการยืนยันความถูกต้องของผลการคำนวณที่ได้จากทางทฤษฎี

1.2 วัตถุประสงค์ของการวิจัย

- 1.2.1 เพื่อวิเคราะห์และหาคำตอบของปัญหาการแอ่นตัวมากของอิลาสติคคา
- 1.2.2 เพื่อศึกษาพฤติกรรมการแอ่นตัวมากของอิลาสติคคาที่มีความยาวส่วนโค้งแปรเปลี่ยนได้ภายใต้แรงกระทำแบบจุดที่มีจุดต้านทานการหมุนอยู่ภายในช่วงความยาวของอิลาสติคคา
- 1.2.3 เพื่อหาค่าน้ำหนักบรรทุกวิกฤติ (ถ้ามี) ของอิลาสติคคาที่มีความยาวส่วนโค้งแปรเปลี่ยนได้ภายใต้แรงกระทำแบบจุดที่มีจุดต้านทานการหมุนอยู่ภายในช่วงความยาวของอิลาสติคคา
- 1.2.4 เพื่อเปรียบเทียบผลลัพธ์ทางทฤษฎีกับผลจากการทดสอบตัวอย่างกรณีทีวัสดุเป็นแบบเชิงเส้นโดยใช้วัสดุแผ่นโพลีคาร์บอเนต (Polycarbonate Sheet)

1.3 สมมติฐานในการวิเคราะห์

สมมติฐานที่ใช้ในการวิเคราะห์ปัญหาผลของจุดต้านทานการหมุนต่อพฤติกรรมการแอ่นตัวมากของอิลาสติคคาที่มีความยาวส่วนโค้งแปรเปลี่ยนได้ภายใต้แรงกระทำแบบจุด มีดังนี้

- 1.3.1 วัสดุของอิลาสติคคาสมาเสมอเป็นเนื้อเดียวกัน (Homogenous Material) มีคุณสมบัติทางกายภาพเหมือนกันในทุกทิศทาง (Isotropic) ตลอดความยาวของอิลาสติคคา
- 1.3.2 อิลาสติคคาไม่มีการยืดหรือหดตัวตามแนวแกนเมื่อรับแรง
- 1.3.3 แรงที่กระทำต่ออิลาสติคคาจะกระทำในแนวตั้งอยู่เสมอโดยไม่มี การติดตามการเสียรูป
- 1.3.4 การแอ่นตัวของอิลาสติคคามีค่ามากในขณะที่ความเครียดมีค่าน้อย
- 1.3.5 คุณสมบัติของวัสดุมีลักษณะเป็นเชิงเส้นตามกฎความสัมพันธ์ของฮุก (Hooke's Law)
- 1.3.6 ไม่พิจารณาผลอันเนื่องมาจากการเสียรูปเนื่องจากแรงเฉือน (Shear Deformation)

1.4 ขอบเขตของการวิจัย

- 1.4.1 แบบจำลองของงานวิจัยนี้เป็นอิลาสติคคาช่วงเดียวที่มีความยาวส่วนโค้งแปรเปลี่ยนได้ซึ่งมีจุดยึดรั้งภายในโดยสามารถจำลองให้เป็นจุดต้านทานการหมุนแบบสปริงได้
- 1.4.2 วัสดุเป็นแบบเชิงเส้น สมการความสัมพันธ์ระหว่างความเค้นและความเครียดอยู่ในรูปของ $\sigma = E\varepsilon$ โดยที่ค่า E คือ ค่าโมดูลัสความยืดหยุ่น
- 1.4.3 การทดสอบตัวอย่างโดยใช้วัสดุที่เป็นแผ่นโพลีคาร์บอเนต (Polycarbonate Sheet) ซึ่งเป็นวัสดุที่มีความยืดหยุ่นตัวดีแม้จะเกิดการเสียรูปมากก็ตาม
- 1.4.4 การทดสอบตัวอย่างจะใช้สปริงต้านทานการหมุนที่มีค่าสติฟเนส $\bar{K} = 2.15$

1.5 ขั้นตอนการวิจัย

งานวิจัยนี้ จะทำการวิเคราะห์ผลของจุดต้านทานการหมุนต่อพฤติกรรมการแอ่นตัวมากของอิลาสติกคาที่มีความยาวส่วนโค้งแปรเปลี่ยนได้ภายใต้แรงกระทำแบบจุด การแก้สมการครอบคลุมของปัญหาด้วยวิธียิงเป้าร่วมกับเทคนิคการอินทิกรัลเชิงตัวเลขแบบรุงเง - คุดตา โดยที่แบบจำลองของปัญหามีขั้นตอนการศึกษา คือ

- 1.5.1 ศึกษาคุณสมบัติของวัสดุที่เป็นเชิงเส้น
- 1.5.2 ศึกษางานวิจัยที่เกี่ยวข้อง
- 1.5.3 ศึกษาทฤษฎีการเสีรูปมากของอิลาสติกคา
- 1.5.4 ศึกษาระเบียบวิธียิงเป้า (Shooting Method) และการอินทิเกรตเชิงตัวเลขด้วยระเบียบวิธีรุงเง - คุดตา (Runge - Kutta Method)
- 1.5.5 เขียนสมการครอบคลุมของปัญหา (Governing Equation) และกำหนดขอบเขตเงื่อนไขที่เหมาะสมในการหาคำตอบ (Boundary Condition)
- 1.5.6 เขียนโปรแกรมและหาคำตอบเชิงตัวเลขด้วยโปรแกรม MATLAB
- 1.5.7 เตรียมการทดสอบวัสดุอิลาสติกคาตัวอย่างและอุปกรณ์สำหรับใช้ทำการทดสอบ ซึ่งวัสดุที่ใช้ทำอิลาสติกคาตัวอย่างในงานวิจัยนี้จะใช้แผ่นโพลีคาร์บอเนต (Polycarbonate Sheet) ขนาดกว้าง 50 มม. ยาว 1,600 มม.หนา 2 มม. มีค่าโมดูลัสความยืดหยุ่นของวัสดุเท่ากับ 20,525 กก./ซม².
- 1.5.8 เปรียบเทียบผลการคำนวณเชิงตัวเลขที่ได้จากโปรแกรม MATLAB กับผลที่ได้จากการทดสอบอิลาสติกคาตัวอย่าง
- 1.5.9 สรุปผลการศึกษา

1.6 ประโยชน์ที่คาดว่าจะได้รับ

- 1.6.1 ทราบถึงพฤติกรรมการแอ่นตัวมากของอิลาสติกคาที่มีความยาวส่วนโค้งแปรเปลี่ยนได้ภายใต้แรงกระทำแบบจุดที่มีจุดต้านทานการหมุนอยู่ภายในช่วงความยาวของอิลาสติกคา
- 1.6.2 ทราบผลเปรียบเทียบพฤติกรรมของการแอ่นตัวของอิลาสติกคาที่ได้จากการคำนวณทางทฤษฎีกับการแอ่นตัวของอิลาสติกคาที่ได้จากการทดลอง

บทที่ 2

เอกสารและงานวิจัยที่เกี่ยวข้อง

ในการศึกษางานวิจัยที่เกี่ยวข้องกับการศึกษาผลของจุดต้านทานการต่อพฤติกรรมการณ์แอนตัวมากของอิลาสติคคาที่มีความยาวส่วนโค้งแปรเปลี่ยนได้ภายใต้แรงกระทำแบบจุดซึ่งจะกล่าวถึงต่อไปในบทนี้ ได้จำแนกงานวิจัยที่เกี่ยวข้องออกเป็นสองประเภทคือ อิลาสติคคาที่รับแรงตามแนวขวางซึ่งทำหน้าที่เป็นคานที่สามารถแอนตัวได้มาก และอิลาสติคคาที่รับแรงตามแนวแกนซึ่งทำหน้าที่เป็นเสาที่สามารถโค้งตัวได้มาก หลังจากนั้นจะกล่าวถึงทฤษฎีพื้นฐานที่เกี่ยวข้องซึ่งในที่นี้คือทฤษฎีอิลาสติคคานั่นเองและพฤติกรรมการณ์ถ่ายโมเมนต์ดัดของสปริงหมุนได้กล่าวถึงในบทนี้เช่นกัน

2.1 งานวิจัยที่เกี่ยวข้อง

ในอดีตที่ผ่านมางานวิจัยที่เกี่ยวข้องกับการแอนตัวมากของอิลาสติคคาและปัญหาทางอิลาสติคคา ได้มีผู้ทำการศึกษาเอาไว้เป็นจำนวนมาก โดยแบ่งไปตามลักษณะของโครงสร้างที่ผูกน้ำหนักบรรทุกกระทำ และสามารถแบ่งย่อยออกเป็นกลุ่มต่าง ๆ คือ การศึกษาเกี่ยวกับการแอนตัวของอิลาสติคคา การศึกษาและวิเคราะห์ถึงพฤติกรรมก่อนและหลังการโก่งเดาะของอิลาสติคคา ดังนี้

2.1.1 การศึกษาพฤติกรรมการณ์แอนตัวของอิลาสติคคาที่มีความยาวส่วนโค้งแปรเปลี่ยนได้

ในกรณีที่แรงกระทำมีทิศทางกระทำในแนวขวางกับทิศทางการวางตัวของอิลาสติคคา พฤติกรรมของอิลาสติคคามีลักษณะเป็นอิลาสติคคาวางบนจุดรองรับ และแรงกระทำในรูปแบบต่าง ๆ ซึ่งโดยส่วนมากจะพบน้ำหนักบรรทุกทุกวิถีเมื่ออิลาสติคคาแอนตัวไปได้ในระดับหนึ่ง โดยงานวิจัยที่เกี่ยวข้องกับอิลาสติคคาในลักษณะนี้ได้แก่

สุรพันธ์ บุญเจริญ [1] ได้ทำการศึกษารววิเคราะห์การแอนตัวของอิลาสติคคาโดยวิธีอิลิปติกอินทิกรัล ซึ่งปลายข้างหนึ่งของอิลาสติคคามีจุดรองรับแบบข้อหมุน ส่วนปลายอีกข้างหนึ่งมีจุดรองรับไร้แรงเสียดทานและอิลาสติคคาสามารถเคลื่อนผ่านได้อย่างอิสระ โดยแบ่งการวิเคราะห์ออกเป็น 3 วิธี คือ กรณีแรงกระทำที่จุดกึ่งกลาง กรณีโมเมนต์ดัดกระทำที่จุดรองรับแบบข้อหมุน และกรณีโมเมนต์ดัดกระทำทั้งสองปลาย ผลจากการวิเคราะห์ทั้ง 3 กรณีเมื่อเปรียบเทียบกับวิธีการวิเคราะห์แบบไฟไนท์-เอเลเมนต์พบว่าสอดคล้องกันเป็นอย่างดี

Chucheepsakul และคณะ [2] ได้ทำการศึกษารววิเคราะห์การแอนตัวของอิลาสติคคาที่มีความยาวส่วนโค้งแปรเปลี่ยนได้ ภายใต้โมเมนต์ดัดที่มีทิศทางตรงข้ามกันกระทำที่ปลายอิลาสติคคาทั้งสองด้าน โดยจะพิจารณาการแอนตัวของอิลาสติคคาตามการเปลี่ยนแปลงของโมเมนต์ดัดที่ปลายอิลาสติคคาทั้งสอง ซึ่งจุดรองรับด้านหนึ่งเป็นแบบข้อหมุนอิสระส่วนอีกด้านหนึ่งเป็นจุดรองรับแบบไร้แรงเสียดทาน สำหรับกระบวนการวิเคราะห์และหาคำตอบของบทความนี้มี 2 วิธี คือ ใช้ระเบียบวิธีการเชิงตัวเลขด้วยวิธีการยิงเป้า และการหาคำตอบแบบแม่นยำตรงด้วยวิธีอิลิปติกอินทิกรัล ผลที่ได้จากการศึกษาในครั้งนี้ปรากฏว่าทั้งสองวิธีมีค่าที่ใกล้เคียงกันมาก

Chucheepsakul และคณะ [3] ได้ทำการศึกษาการแอ่นตัวมากของอิลาสติคาคาที่มีความยาวส่วนโค้งแปรเปลี่ยนได้ภายใต้โมเมนต์ดัดกระทำที่ปลายอิลาสติคาคา โดยอิลาสติคาคาด้านหนึ่งเป็นแบบหมุนอิสระ ส่วนอีกด้านหนึ่งเป็นจุดรองรับแบบไร้แรงเสียดทาน โดยใช้วิธีไฟไนต์เอลิเมนต์และวิธีอีลิปติกอินทิกรัลในการวิเคราะห์หาค่าตอบ ซึ่งทั้งสองวิธีนี้ใช้สำหรับหาค่าการแอ่นตัว, ค่าความยาวส่วนโค้ง, ค่าโมเมนต์และค่ามุมที่เปลี่ยนแปลงที่จุดรองรับ ซึ่งผลที่ได้จากการศึกษาในครั้งนี้ปรากฏว่าทั้งสองวิธีมีค่าที่ใกล้เคียงกันมาก และผลจากการวิเคราะห์ด้วยวิธีอีลิปติกอินทิกรัลพบว่าค่าโมเมนต์ค่าหนึ่งจะสามารถเกิดสภาวะสมดุลได้สองรูปแบบ คือ สภาวะสมดุลแบบมีเสถียรภาพและแบบไม่มีเสถียรภาพ

จิระพงษ์ เทพพิทักษ์ [4] ได้ทำการศึกษาการวิเคราะห์การแอ่นตัวมากของอิลาสติคาคาที่มีความยาวส่วนโค้งของอิลาสติคาคามีค่าไม่คงที่ ปลายข้างหนึ่งของอิลาสติคาคาเป็นจุดรองรับแบบข้อหมุน ส่วนปลายอีกข้างหนึ่งพาดอยู่บนจุดรองรับไร้แรงเสียดทาน เมื่อเกิดการแอ่นตัวมากปลายอิลาสติคาคาข้างนี้สามารถเคลื่อนผ่านจุดรองรับได้อย่างอิสระ นำหน้าบทสรุปที่กระทำบนอิลาสติคาคาแบ่งออกเป็น 4 กรณี คือ กรณีนำหน้าบทสรุปทุกแบบจุดกระทำที่ตำแหน่งใด ๆ กรณีโมเมนต์ดัดกระทำทั้งสองปลายในทิศทางตรงกันข้าม กรณีโมเมนต์ดัดกระทำทั้งสองปลายในทิศทางตรงกันข้ามและมีนำหน้าบทสรุปทุกแบบจุดกระทำที่ตำแหน่งใด ๆ และกรณีโมเมนต์ดัดกระทำทั้งสองปลายในทิศทางเดียวกัน ซึ่งทำการแก้ปัญหาด้วยวิธีอีลิปติกอินทิกรัล และจากการวิเคราะห์อิลาสติคาคาเมื่ออยู่ภายใต้หน้าบทสรุปดังกล่าวข้างต้นสามารถหาค่านำหน้าบทสรุปทุกวิถี และตำแหน่งสมดุลสถิตย์แบบเสถียรภาพและแบบไร้เสถียรภาพของอิลาสติคาคาได้

Wang และคณะ [5] ได้ทำการศึกษาการแอ่นตัวมากของอิลาสติคาคาที่มีความยาวส่วนโค้งแปรเปลี่ยนได้ภายใต้หน้าบทสรุปทุกแบบจุดกระทำ ณ ตำแหน่งใด ๆ ตามแนวแกนราบของอิลาสติคาคา โดยที่อิลาสติคาคามีจุดรองรับด้านหนึ่งเป็นแบบยึดหมุนด้วยสปริงต้านทางการหมุน ส่วนอีกด้านหนึ่งเป็นจุดรองรับแบบไร้แรงเสียดทาน โดยทำการวิเคราะห์และหาค่าตอบของค่าการแอ่นตัว, ค่าโมเมนต์ และค่าของมุมที่เปลี่ยนแปลงที่จุดรองรับด้วยวิธีการยิงเป้าและวิธีอีลิปติกอินทิกรัล ซึ่งผลที่ได้จากสองวิธีดังกล่าวมีค่าที่ใกล้เคียงกันมาก

ทินกร มนต์ประภัสสร [6] ได้ทำการศึกษาการวิเคราะห์การแอ่นตัวมากของอิลาสติคาคาที่มีความยาวส่วนโค้งแปรเปลี่ยนได้ โดยคำนึงถึงผลของการยึดรั้งและความเสียดทานของที่รองรับและผลของแรงเฉือน ในงานวิจัยดังกล่าวทำการศึกษาสภาวะการรับแรง 3 กรณี คือ กรณีโมเมนต์ดัดกระทำทั้งสองปลายในทิศทางตรงกันข้าม กรณีโมเมนต์ดัดกระทำทั้งสองปลายในทิศทางเดียวกัน และกรณีนำหน้าบทสรุปทุกแบบจุดกระทำที่ตำแหน่งใด ๆ โดยอิลาสติคาคาทั้ง 3 ประเภทนี้มีจุดรองรับแบบข้อหมุนยึดด้วยสปริงต้านการหมุนแบบยึดหมุนเชิงเส้นที่ปลายข้างหนึ่ง ส่วนปลายของอิลาสติคาคาอีกข้างหนึ่งพาดอยู่บนจุดรองรับแบบมีแรงเสียดทาน สำหรับวิธีที่ผู้ทำการศึกษานำมาใช้วิเคราะห์และหาค่าตอบมี 2 วิธี คือ วิธีการยิงเป้าและวิธีอีลิปติกอินทิกรัล

Chuchepsakul และคณะ [7] ได้ทำการศึกษาการแอ่นตัวมากของอิลาสติกคาที่มีความยาวส่วนโค้งแปรเปลี่ยนได้ ภายใต้โมเมนต์ดัดกระทำที่ปลายอิลาสติกคาในทิศทางเดียวกัน โดยหาคำตอบด้วยวิธีการยิงเป้าและวิธีอิลิปติกอินทิกรัล จากผลการวิเคราะห์พบว่าเมื่อค่าสัดส่วนระหว่างโมเมนต์ดัดที่ปลายพาดผ่านจุดรองรับแบบไร้แรงเสียดทาน β มีค่าเพิ่มขึ้นค่าโมเมนต์วิกฤตก็จะมีค่าเพิ่มขึ้น

บุญชัย ผึ้งไผ่งาม [8] ได้ทำการศึกษาการแอ่นตัวมากของอิลาสติกคาที่มีความยาวส่วนโค้งแปรเปลี่ยนได้ภายใต้น้ำหนักบรรทุกทุกเอียงที่มีการเปลี่ยนแปลงทิศทางตามการเสีรูปของอิลาสติกคา โดยที่ปลายด้านหนึ่งของอิลาสติกคาเป็นจุดรองรับแบบหมุน ในขณะที่ปลายอีกด้านหนึ่งของอิลาสติกคายอมให้มีการเคลื่อนที่ได้อย่างอิสระบนจุดรองรับแบบไร้แรงเสียดทาน เมื่อเกิดการเสีรูปความยาวส่วนโค้งทั้งหมดของอิลาสติกคามีค่าที่ไม่คงที่ โดยหาคำตอบด้วยวิธีอิลิปติกอินทิกรัลและวิธีการยิงเป้า ซึ่งทั้งสองวิธีให้ผลที่ใกล้เคียงกันมาก

กอบร์ชัย ศิริตระกูลมั่งคั่ง [9] ได้ศึกษาการหาคำตอบทางไฟไนต์เอลิเมนต์ของอิลาสติกคาที่มีความยาวส่วนโค้งแปรเปลี่ยนได้โดยใช้ระบบพิกัดลากรานจ์ โดยนำเสนอวิธีการวิเคราะห์การแอ่นตัวมากของอิลาสติกคาที่มีสมบัติอ่อนตัว อิลาสติกคาที่วิเคราะห์แบ่งได้เป็น 2 ประเภท คือ อิลาสติกคาช่วงเดียวที่ศึกษา 2 กรณี คือ อิลาสติกคาช่วงเดียวที่ตัดผ่านที่รองรับแบบไร้แรงเสียดทาน และอิลาสติกคาช่วงเดียวที่ตัดผ่านที่รองรับแบบข้อหมุนยึดด้วยสปริงต้านการหมุน ส่วนอิลาสติกคาประเภทที่สองนั้นเป็น อิลาสติกคายื่นที่มีจุดรองรับด้านหนึ่งเป็นแบบยึดแน่น ส่วนปลายอิลาสติกคาอีกด้านหนึ่งเป็นแบบอิสระ ตำแหน่งจุดรองรับของอิลาสติกคาจะกำหนดด้วยระบบพิกัดลากรานจ์ ระยะระหว่างจุดรองรับคือความยาวช่วงของอิลาสติกคาซึ่งมีค่าคงที่ แต่ความยาวส่วนโค้งแปรเปลี่ยนได้อิลาสติกคาจะถูกกระทำด้วยน้ำหนักบรรทุกทุกแบบจุด หรือน้ำหนักบรรทุกทุกแบบแผ่กระจายสม่ำเสมอ หรือโมเมนต์ดัดกระทำที่ปลายทั้งสองข้าง หรือน้ำหนักบรรทุกทุกแบบผสม แล้วหาสมการสมดุลของอิลาสติกคาที่ถูกกระทำด้วยน้ำหนักบรรทุกทุกแบบต่าง ๆ การแก้ปัญหาในการวิจัยนี้ใช้ วิธีการทางไฟไนต์เอลิเมนต์และใช้วิธีการกระทำซ้ำของนิวตัน - ราฟสัน (Newton - Raphson) เพื่อหาคำตอบของสมการไร้เชิงเส้น ผลการวิเคราะห์ที่ได้จากงานวิจัยนี้ ได้นำมาตรวจสอบและเปรียบเทียบกับการวิเคราะห์ทางไฟไนต์เอลิเมนต์ของอิลาสติกคาที่มีความยาวส่วนโค้งแปรเปลี่ยนได้โดยใช้ระบบพิกัดออยเลอร์พบว่ามีความถูกต้องใกล้เคียงกันสามารถเชื่อถือได้

นฤพนธ์ ศิลาภากุล [10] ได้ศึกษาการแอ่นตัวมากของอิลาสติกคาที่ทำจากวัสดุแบบไม่เป็นเชิงเส้น โดยทำการศึกษาสภาวะการรับแรงอยู่ 3 ประเภท คือ น้ำหนักบรรทุกกระทำแบบจุดกระทำที่ตำแหน่งใด ๆ ในแนวตั้งฉากกับแนวราบไม่เปลี่ยนแปลงตามการเสีรูป น้ำหนักบรรทุกกระทำแบบแรงอัดที่ปลายอิลาสติกคา มีทิศทางเปลี่ยนแปลงตามการเสีรูป และน้ำหนักบรรทุกกระทำที่เป็นแรงอัดกระทำที่ปลายอิลาสติกคาไม่เปลี่ยนแปลงตามการเสีรูปโดยหาคำตอบด้วยวิธียิงเป้า จากผลการวิเคราะห์พบว่าอิลาสติกคาที่มีค่าคงที่ของวัสดุประเภทลูตวิก (n) ที่มีค่ามากอิลาสติกคาจะเกิดการแอ่นตัวมากกว่าอิลาสติกคาที่มีค่าคงที่ของวัสดุประเภทลูตวิก (n) ที่มีค่าน้อยเมื่อพิจารณาที่ค่าน้ำหนักบรรทุกที่เท่ากันและแบบจำลองเดียวกัน

Phungpaingam และคณะ [11] ได้ศึกษาการแอ่นตัวมากของอิลาสติคอย่างง่ายที่มีความยาวส่วนโค้งแปรเปลี่ยนได้ภายใต้น้ำหนักบรรทุกทุกที่เปลี่ยนแปลงตามการเสียรูปของอิลาสติค โดยการหาค่าตอบด้วยวิธียิงเป้าและวิธีอิลิปติกอินทิกรัล จากผลการวิเคราะห์พบว่าค่าโมเมนต์ดัดสูงสุดมีค่าเท่ากับ 8.422

Pulngern และคณะ [12] ได้ศึกษาการแอ่นตัวของอิลาสติคที่มีความยาวส่วนโค้งแปรเปลี่ยนได้ภายใต้น้ำหนักตัวเองกระจายอย่างสม่ำเสมอ โดยการหาค่าตอบมีทั้งหมด 3 วิธี คือ วิธีไฟไนต์เอลิเมนต์ วิธีการยิงเป้า และทฤษฎีของอิลาสติคแบบเชิงเส้น จากผลการวิเคราะห์พบว่าวิธีไฟไนต์เอลิเมนต์และวิธีการยิงเป้ามีการแอ่นตัวที่จุดกึ่งกลางอิลาสติคมากกว่าค่าที่ได้จากทฤษฎีของอิลาสติคแบบเชิงเส้นเมื่อพิจารณาค่าน้ำหนักบรรทุกตัวเองกระจายอย่างสม่ำเสมอตั้งแต่ 2.0 ขึ้นไป

Athisakul และ Chuchepsakul [13] ได้ศึกษาการแอ่นตัวมากของอิลาสติคที่มีความยาวส่วนโค้งแปรเปลี่ยนได้ภายใต้น้ำหนักบรรทุกตัวเองกระจายอย่างสม่ำเสมอ และทำการหาค่าตอบด้วยวิธีไฟไนต์เอลิเมนต์และวิธีการยิงเป้า จากการวิเคราะห์ผลพบว่าการยกหรือลดระดับของจตุรรองรับมีผลต่อค่าน้ำหนักตัวเองกระจายอย่างสม่ำเสมอ เมื่อยกระดับจตุรรองรับแบบไร้แรงเสียดทานค่าน้ำหนักตัวเองกระจายอย่างสม่ำเสมอ ณ สภาวะวิกฤติจะมีค่าเพิ่มขึ้น และหากลดระดับจตุรรองรับแบบไร้แรงเสียดทานค่าน้ำหนักตัวเองกระจายอย่างสม่ำเสมอ ณ สภาวะวิกฤติจะมีค่าลดลง

กฤษณะชัย จันทรวง [14] ได้ทำการศึกษาการวิเคราะห์การแอ่นตัวมากของอิลาสติคที่มีความยาวส่วนโค้งแปรเปลี่ยนได้วัสดุมีคุณสมบัติแบบไม่เป็นเชิงเส้น ภายใต้น้ำหนักบรรทุกทุกแบบต่าง ๆ อิลาสติคามีจตุรรองรับเป็นจุดยึดหมุนที่ปลายข้างหนึ่ง ส่วนปลายอิลาสติคอีกข้างจะพาดผ่านจตุรรองรับที่ไม่มีแรงเสียดทาน ความยาวช่วงของอิลาสติคจะคงที่ ส่วนความยาวส่วนโค้งของอิลาสติคจะแปรเปลี่ยนตามน้ำหนักที่กระทำต่ออิลาสติค การศึกษาในครั้งนี้พิจารณาน้ำหนักบรรทุกที่กระทำต่ออิลาสติค 3 ลักษณะ คือภายใต้น้ำหนักบรรทุกตัวเองกระจายอย่างสม่ำเสมอ ภายใต้โมเมนต์ดัดที่มีทิศทางการดัดตรงข้ามกัน และภายใต้โมเมนต์ดัดที่มีทิศทางการดัดทางเดียวกัน โดยใช้ระเบียบวิธีการยิงเป้าในการหาค่าตอบเชิงตัวเลข

2.1.2 พฤติกรรมหลังการโก่งเดาะของอิลาสติคที่รับแรงตามแนวแกน

ในกรณีที่มีแรงกระทำอัดตามแนวแกนของอิลาสติค พฤติกรรมของอิลาสติคจะมีลักษณะที่คล้ายเสา ซึ่งจะเกิดการโก่งเดาะก่อน เมื่อเกิดการโก่งเดาะแล้วพฤติกรรมหลังการโก่งเดาะได้ถูกศึกษาในงานวิจัยต่าง ๆ ดังนี้

สุนทร เกียรติคงศักดิ์ [15] ได้ทำการศึกษาถึงพฤติกรรมหลังการโก่งเดาะของอิลาสติคอย่างง่ายได้สภาพการยึดรั้งที่ปลาย โดยที่ปลายทั้งสองข้างหมุนได้ตามเงื่อนไขของจตุรรองรับซึ่งกำหนดแรงอัดเข้ากระทำที่ปลายของอิลาสติค และวิเคราะห์ปัญหาโดยใช้โปรแกรม ABAQUS ซึ่งเป็นโปรแกรมที่สร้างขึ้นโดยใช้ระเบียบวิธีไฟไนต์เอลิเมนต์ และนำผลที่ได้ไปตรวจสอบกับผลที่ได้จากวิธีการยิงเป้า

ณัฐภูมิ พิชัยยุทธ์ [16] ได้ศึกษาพฤติกรรมการโก่งเดาะของอิลาสติกคาที่มีความยาวส่วนโค้งแปรเปลี่ยนได้ โดยมีจุดหมุนแบบสปริงอยู่ภายในช่วงความยาวของอิลาสติกคา โดยปลายด้านหนึ่งวางพาดอยู่บนจุดรองรับแบบหมุนและที่ปลายอีกด้านหนึ่งวางอยู่บนจุดรองรับแบบสลีฟ ทำการหาคำตอบด้วยวิธีการยิงเป้าและเปรียบเทียบรูปร่างของอิลาสติกคาที่ได้จากการคำนวณกับการทดลอง ผลที่ได้มีความสอดคล้องกันเป็นอย่างดี

Phungpaingam และ Chuchepsakul [17] ได้เสนอผลเฉลยในรูปแบบปิดของพฤติกรรมหลังการโก่งเดาะของอิลาสติกคาที่มีจุดหมุนแบบสปริงอยู่ภายในช่วงความยาวของอิลาสติกคา ได้พบว่าเมื่อค่าสตีเฟนสของสปริงหมุนมีค่าเป็นศูนย์รูปร่างของอิลาสติกคาภายหลังการโก่งเดาะมีถึงสามรูปแบบที่แตกต่างกันและพบการโก่งเดาะลำดับที่สอง

จากการที่ได้ศึกษางานวิจัยที่เกี่ยวข้องทั้งหมดพบว่าการศึกษาพฤติกรรมของอิลาสติกคาที่มีจุดต่อภายในช่วงความยาวของอิลาสติกคามีการศึกษาค่อนข้างน้อย และจุดต่อภายในช่วงความยาวของอิลาสติกคาอาจเกิดขึ้นได้เนื่องจากความไม่สมบูรณ์ในการถ่ายโมเมนต์ภายใน เช่นการเกิดการแตกร้าวในบริเวณจุดดังกล่าว เป็นต้น ซึ่งในงานวิจัยนี้ได้พิจารณาจุดต่อที่มีลักษณะเป็นสปริงแบบหมุนเพื่อศึกษาพฤติกรรมของอิลาสติกคาเมื่อจุดต่อสปริงหมุนมีสภาพความต้านทานการหมุน (Stiffness) ที่แตกต่างกัน

2.2 สมการการโก่งตัวมากในกรณีที่วัสดุเป็นแบบเชิงเส้น

ทฤษฎีการแอ่นตัวซึ่งโดยทั่วไปจะพิจารณาภายใต้ข้อจำกัดการแอ่นตัวที่มีค่าน้อยเป็นที่รู้จักกันในชื่อสมการของออยเลอร์และเบอร์นูลลี (Euler - Bernoulli) $d^2y/dx^2 = M / EI$ เมื่อพิจารณาการแอ่นตัวมากจึงจำเป็นต้องพิจารณาสมการที่เหมาะสม โดยเรียกทฤษฎีดังกล่าวว่าทฤษฎีอิลาสติกคา (Elastica Theory) ซึ่งสามารถเขียนสมการอนุพันธ์ที่อธิบายถึงความสัมพันธ์ระหว่างการแอ่นตัวต่อแรงที่กระทำ (ในรูปของโมเมนต์ดัด) ได้ดังนี้

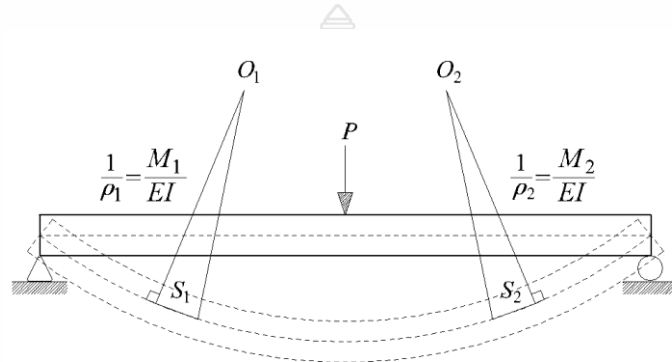
$$\frac{d\theta}{ds} = \frac{M}{EI} = \frac{1}{\rho} \quad (2.1)$$

เมื่อ

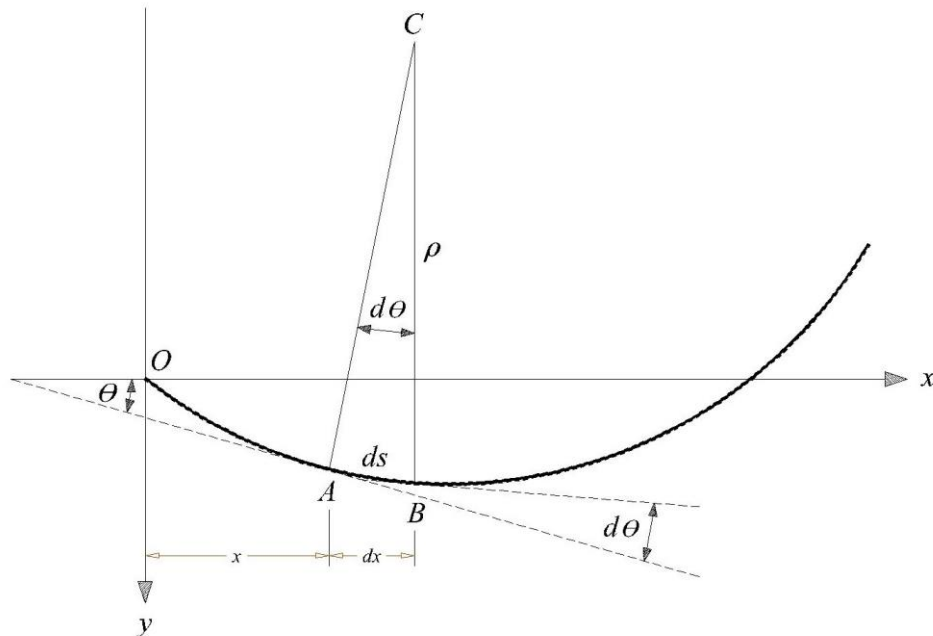
- M คือ โมเมนต์ดัด
- I คือ โมเมนต์ของความเฉื่อย
- E คือ ค่าโมดูลัสความยืดหยุ่น
- ρ คือ รัศมีความโค้งของระนาบสะเทินของอิลาสติกคา

สำหรับอิลาสติกคาที่มีค่า M เปลี่ยนไปตามความยาวของอิลาสติกคายังคงถือว่าสมการข้างต้นใช้ได้สำหรับทุกส่วนของอิลาสติกคา โดยที่ ρ จะเปลี่ยนไปตามค่าของ M ของแต่ละหน้าตัด อิลาสติกคาดังแสดงในรูปที่ 2.1 รัศมีความโค้งของส่วน S_1 และ S_2 จะมีค่าเท่ากับ $1/\rho_1 = M_1/EI$ และ $1/\rho_2 = M_2/EI$ ตามลำดับ

ซึ่งเส้นโค้งของระนาบสะเทินของอิลาสติกคา ที่เปลี่ยนรูปไปจากเส้นตรงเดิมก่อนการรับน้ำหนักบรรทุกนี้เรียกว่า “เส้นโค้งยึดหยุ่นหรือเส้นโค้ง” ของอิลาสติกคา ดังรูปที่ 2.1



รูปที่ 2.1 ความสัมพันธ์ของเส้นโค้งยึดหยุ่นและโมเมนต์ตัดของอิลาสติกคา



รูปที่ 2.2 รูปร่างของอิลาสติกคาเมื่อเกิดการเสียรูป (ลักษณะการโค้งตัวของอิลาสติกคา)

พิจารณาเส้นโค้งยืดหยุ่นของอิลาสติกคาใด ๆ ในรูปที่ 2.2 โดยสมมติให้ระนาบสะท้อนของอิลาสติกคาก่อนรับน้ำหนักบรรทุกทุกเป็นแกน x และแกน y มีค่าเป็นบวกในทิศทางลงและ ds เป็นส่วนเล็ก ๆ บนเส้นโค้งยืดหยุ่นซึ่งมีปลายด้านซ้ายห่างจากจุด O เป็นระยะ x และมีความยาวตามแนวแกน $x = dx$

โดยถือว่า ds เป็นส่วนโค้งของวงกลมที่มีรัศมีความโค้ง ρ จุดศูนย์กลางที่ C และมุม ds ทำกับจุดศูนย์กลางเท่ากับ $d\theta$ เท่ากับมุมที่เส้นสัมผัสที่ปลายทั้งสอง (A และ B) ของ ds ตัดกัน ถ้า θ_A, θ_B เท่ากับมุมที่เส้นสัมผัสของเส้นโค้งยืดหยุ่นที่ A และ B (ทำกับแกน x) ตามลำดับ จึงเรียก θ_A และ θ_B ว่าความลาด (Slope) ของอิลาสติกคาที่จุด A และ B

เมื่อ $\theta_{AB} = d\theta =$ มุมที่เปลี่ยนไป หรือความลาดที่เปลี่ยนไประหว่างจุด A และ B ของอิลาสติกคา ดังนั้นจากรูปที่ 2.2 จะได้สมการ

$$ds = \rho d\theta \quad (2.2)$$

หรือจัดรูปสมการใหม่เป็น

$$\frac{d\theta}{ds} = \frac{1}{\rho} \quad (2.3)$$

และจากสมการความโค้งได้จากหลักทางคณิตศาสตร์

$$\frac{1}{\rho} = \frac{\frac{d^2y}{dx^2}}{\left[1 + \left(\frac{dy}{dx}\right)^2\right]^{3/2}} \quad (2.4)$$

โดยสมมติให้อิลาสติกคารับแรงในช่วงยืดหยุ่นมีการโก่งตัวน้อยมาก (ระยะโก่งมีค่าน้อยมากเมื่อเทียบกับความยาวของอิลาสติกคา) ดังนั้น ค่า dy/dx จะมีค่าน้อย และค่า $(dy/dx)^2$ ยังมีค่าน้อยเมื่อเทียบกับ 1 ทำให้สามารถละทิ้งเทอมกำลังสองได้

ดังนั้น ทำให้สมการที่ (2.4) กลายเป็นสมการอนุพันธ์แบบเชิงเส้นซึ่งเรียกว่าสมการออยเลอร์แบร์นูลลี (Euler - Bernoulli) ดังนี้

$$\frac{1}{\rho} = \frac{M}{EI} = \frac{d^2y}{dx^2} \quad (2.5)$$

จากรูปที่ 2.2 เมื่อพิจารณาชิ้นส่วนเล็ก ๆ จะได้ความสัมพันธ์ทางเรขาคณิตของชิ้นส่วน ds ดังนี้

$$\frac{dx}{ds} = \cos \theta \quad (2.6ก)$$

$$\frac{dy}{ds} = \sin \theta \quad (2.6ข)$$

โดยที่

dx คือ ระยะทางในแนวแกนราบของชิ้นส่วนเล็ก ๆ ของอิลาสติกคา

dy คือ ระยะการแอ่นตัวของชิ้นส่วนเล็ก ๆ ของอิลาสติกคา

ds คือ ความยาวส่วนโค้งของชิ้นส่วนเล็ก ๆ ของอิลาสติกคา

ดังนั้น สมการที่ (2.1), (2.6ก) และ (2.6ข) ประกอบกันเป็นสมการครอบคลุมปัญหาสำหรับอิลาสติกคา ซึ่งใช้อธิบายการแอ่นตัวของอิลาสติกคาที่จุดใดจุดหนึ่งเท่านั้น หากต้องการทราบถึงพฤติกรรมโดยรวมของอิลาสติกคาต้องอินทิเกรตสมการที่ (2.1), (2.6ก) และ (2.6ข) ให้สอดคล้องกับเงื่อนไขขอบเขตของปัญหา ซึ่งในงานวิจัยนี้ใช้วิธีการอินทิเกรตเชิงตัวเลขเพื่อให้สะดวกต่อการคำนวณ

ในงานวิจัยนี้ ได้พิจารณาถึงผลกระทบของสปริงต้านทานการหมุนที่อยู่ภายในช่วงความยาวของอิลาสติกคา ดังนั้นการพิจารณาพฤติกรรมการถ่ายโมเมนต์ตัดของสปริงหมุนจึงจำเป็นอย่างยิ่ง จากรูปที่ 2.3 ความสัมพันธ์ระหว่างโมเมนต์ตัดและผลต่างของมุมที่จุดต้านทานการหมุนแบบสปริงที่เป็นเชิงเส้นแสดงในสมการดังนี้

$$M = K\Delta\theta \quad (2.7)$$

โดยที่

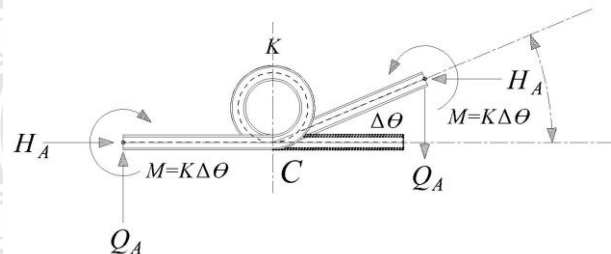
M คือ โมเมนต์ตัดของสปริงหมุน

K คือ ค่าสติฟเนสของสปริง

$\Delta\theta$ คือ ค่าความแตกต่างของมุม ณ ตำแหน่งสปริง (จุด C)



(ก)



(ข)

รูปที่ 2.3 รูปร่างและพฤติกรรมของสปริงหมุนเมื่อมีแรงกระทำ (สมดุลที่จุด C) (ก) ภาพถ่ายสปริงต้านทานการหมุนที่ใช้ในการทดลอง (ข) ภาพวาดแบบจำลองของสปริงหมุน

ในรูป 2.3 (ก) เป็นสปริงต้านทานการหมุนที่ใช้ในการทดลอง ซึ่งจำเป็นต้องทราบค่าสติฟเนสของสปริงก่อน ดังนั้นจึงได้ทำการทดลองหาค่าสติฟเนสของสปริงหมุนซึ่งจะกล่าวต่อไปในบทที่ 4

บทที่ 3 วิธีดำเนินการวิจัย

ผลลัพธ์ในงานวิจัยนี้ได้มาจากสองส่วนด้วยกันคือ ผลลัพธ์เชิงตัวเลขที่ได้มาจากทฤษฎีการแอ่นตัวมากของอิลาสติกคา และผลการทดลองอย่างง่ายเพื่อเปรียบเทียบรูปร่างของอิลาสติกคาที่เกิดขึ้น โดยผลการคำนวณทางทฤษฎีนั้นอาศัยสมการสมดุลของอิลาสติกคา ความสัมพันธ์ระหว่างความโค้งและโมเมนต์ และความสัมพันธ์ของรูปร่างทางเรขาคณิต ซึ่งทั้งสามส่วนนี้ประกอบกันเป็นสมการครอบคลุมปัญหา ซึ่งเป็นระบบสมการอนุพันธ์ที่ไร้เชิงเส้นที่กำหนดพฤติกรรมของอิลาสติกคาเพียงจุดเล็ก ๆ เท่านั้นหากต้องการทราบถึงพฤติกรรมโดยรวมทั้งหมดจำเป็นต้องมีการอินทิเกรต ซึ่งในงานวิจัยนี้ใช้วิธีการอินทิเกรตเชิงตัวเลข ภายหลังจากการอินทิเกรตแล้วเงื่อนไขที่ปลายทั้งสองด้านและเงื่อนไขบริเวณจุดหมุนต้องสอดคล้องกับปัญหาที่ตั้งขึ้น ผลการคำนวณที่ได้จะถูกนำมาเรียบเรียงและนำเสนอในรูปแบบของความสัมพันธ์ของพารามิเตอร์ที่สนใจเช่น ความสัมพันธ์ระหว่างแรงและการเคลื่อนตัว และรูปร่างสมดุล เป็นต้น ในงานวิจัยนี้ได้จำลองสถานการณ์ของจุดหมุนและแรงกระทำไว้ด้วยกันสามรูปแบบคือ แรงที่กระทำอยู่ทางด้านซ้ายมือของจุดหมุน แรงที่กระทำอยู่ด้านขวามือของจุดหมุน และแรงที่กระทำอยู่ตรงกับจุดหมุน ผลลัพธ์ของทั้งสามรูปแบบจะนำไปวิเคราะห์และเปรียบเทียบรูปร่างของอิลาสติกคากับการทดลองอย่างง่ายในบทต่อไป

3.1 ความสัมพันธ์ระหว่างความเค้นและความเครียด

สมการของโมเมนต์และความโค้งได้จากความสัมพันธ์ระหว่างความเค้นและความเครียด โดยคุณสมบัติของวัสดุเป็นไปตามกฎความสัมพันธ์ของฮุก (Hooke's law) ดังนี้

$$\sigma = E\varepsilon \quad (3.1)$$

เมื่อ

σ คือ ความเค้น
 ε คือ ความเครียด
 E คือ ค่าโมดูลัสความยืดหยุ่น

3.2 แบบจำลองของปัญหา

โครงสร้างที่ทำการศึกษาในครั้งนี้ มีลักษณะเป็นอิลาสติกคาช่วงเดียวที่มีความยาวส่วนโค้งแปรเปลี่ยนได้ และมีค่าความแข็งแรงของวัสดุต่อการดัด (Flexural Rigidity) เท่ากับ EI ปลายด้านหนึ่งของอิลาสติกคาวางอยู่บนจุดรองรับแบบข้อหมุน (ที่จุด A) ส่วนที่ปลายของอิลาสติกคาอีกด้านหนึ่งวางพาดอยู่บนจุดรองรับแบบไร้แรงเสียดทาน (ที่จุด B) และเมื่ออิลาสติกคาเกิดการแอ่นตัวมากปลายของ อิลาสติกคาด้านนี้สามารถเคลื่อนผ่านจุดรองรับได้อย่างอิสระ จุดรองรับทั้งสองมีระยะห่างกันเท่ากับ L และในอิลาสติกคามีจุดด้านทานการหมุนแบบสปริงอยู่ภายใน (ที่จุด C ในกรณีนี้ $\alpha < \beta$)

และที่จุด D ในกรณีที่ $\alpha > \beta$) ซึ่งมีระยะห่างจากจุดรองรับ A เป็นระยะเท่ากับ αL ใด ๆ และบน อีลาสติคามีแรงแบบจุด (P) กระทำซึ่งมีระยะห่างจากจุดรองรับ A เป็นระยะเท่ากับ βL และเมื่อ อีลาสติคเกิดการเสียรูปที่ปลายด้าน A และ B อีลาสติคคาหมุนไปเป็นมุม θ_A และ θ_B ตามลำดับ โดยที่มุมเหล่านี้วัดเทียบกับแนวราบ หลังจากการเสียรูปตำแหน่งของจุดด้านการหมุนแบบสปริงจะ เปลี่ยนจากตำแหน่ง $(\alpha L, 0)$ มาเป็น $(x_C, y_C$ และ $x_D, y_D)$ และตำแหน่งของแรงกระทำจะ เปลี่ยนจากตำแหน่ง $(\beta L, 0)$ มาเป็น (x^*, y^*) โดยตำแหน่งที่เปลี่ยนไปเหล่านี้วัดจากปลายด้าน A ตามแนวราบและแนวตั้ง

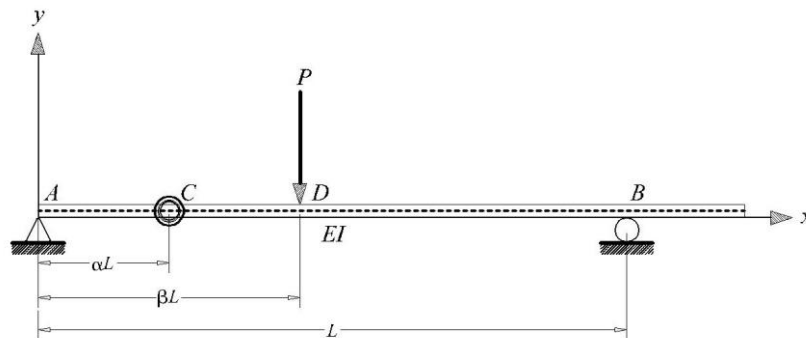
ในงานวิจัยนี้จะทำการวิเคราะห์ตำแหน่งของจุดด้านการหมุนแบบสปริง (α) และ ตำแหน่งของแรงที่กระทำ (β) ทั้งหมด 3 กรณี ดังนี้คือ

1. กรณีที่ระยะ $\alpha < \beta$
2. กรณีที่ระยะ $\alpha = \beta$
3. กรณีที่ระยะ $\alpha > \beta$

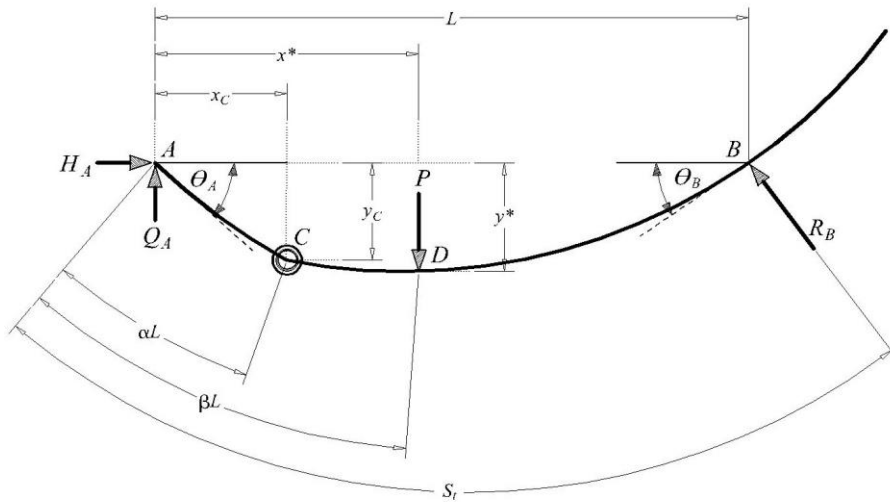
โดยที่ทั้ง 3 กรณีจะทำการเปลี่ยนค่าสติเฟนส (K) ของสปริงเท่ากับ 1, 10 และ 100 เพื่อให้เกิดความ ต่างกันที่แตกต่างกัน

3.2.1 ลักษณะแบบจำลองของอีลาสติคในกรณีที่ 1

ในกรณีที่ 1 เป็นกรณีที่ตำแหน่งของแรงกระทำอยู่ทางด้านขวามือของจุดด้านการหมุน แบบสปริงดังแสดงในรูปที่ 3.1 และ 3.2 ซึ่งทำให้มีโมเมนต์ตัด 3 ช่วงด้วยกันคือ $M_1^{(1)}$, $M_2^{(1)}$, $M_3^{(1)}$ ซึ่งสอดคล้องกับช่วง AC , CD และ DB ตามลำดับ



รูปที่ 3.1 รูปร่างของอีลาสติคที่มีความยาวส่วนโค้งแปรเปลี่ยนได้ในสภาวะก่อนการเสียรูป กรณีที่ 1 ($\alpha < \beta$)



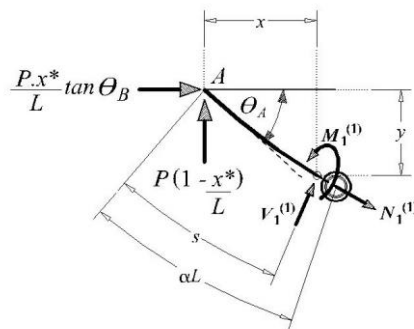
รูปที่ 3.2 รูปร่างของอิลาสติกคาที่มีความยาวส่วนโค้งแปรเปลี่ยนได้ในสภาวะหลังการเสียรูป
กรณีที่ 1 ($\alpha < \beta$)

จากรูปที่ 3.1 และ 3.2 ใช้สมการสภาวะสมดุลคำนวณหาแรงปฏิกิริยาที่จุดรองรับได้ ดังนี้

$$R_B = \frac{P \cdot x^*}{L \cos \theta_B} \quad (3.2)$$

$$H_A = \frac{P \cdot x^*}{L} \cdot \tan \theta_B \quad (3.3)$$

$$Q_A = P \left(1 - \frac{x^*}{L} \right) \quad (3.4)$$



รูปที่ 3.3 ผังอิสระของชิ้นส่วนย่อยของอิลาสติกคาในกรณีที่ 1 ระยะ $\alpha < \beta$ ในช่วงพิจารณาที่
 $0 \leq s \leq \alpha L$

เมื่อพิจารณาผังอิสระของชิ้นส่วนย่อยของอิลาสติกคาจากรูปที่ 3.3 สามารถเขียนสมการสมดุลของโมเมนต์ตัดในช่วง AC หรือ $M_1^{(1)}$ ได้ดังนี้

$$M_1^{(1)} = \left(\frac{P \cdot x^*}{L} \cdot \tan \theta_B \cdot y \right) + \left(\left(P \left(1 - \frac{x^*}{L} \right) \right) \cdot x \right) \quad (3.5)$$

จากสมการความสัมพันธ์ระหว่างโมเมนต์กับความโค้งของอิลาสติกคาและความสัมพันธ์ทางเรขาคณิตในสมการที่ (2.1) เมื่อนำสมการที่ (3.5) แทนค่าลงไปจะได้

$$\frac{d\theta}{ds} = \frac{M_1^{(1)}}{EI} = \frac{1}{EI} \left[\left(\frac{P \cdot x^*}{L} \cdot \tan \theta_B \cdot y \right) + \left(\left(P \left(1 - \frac{x^*}{L} \right) \right) \cdot x \right) \right] \quad (3.6)$$

ดังนั้น จะได้สมการที่ (3.6) (2.6ก) และ (2.6ข) เป็นสมการครอบคลุมปัญหา (Governing Equation) ซึ่งสามารถเขียนสมการดังกล่าวให้อยู่ในรูปไร้มิติได้ ดังนี้

$$\frac{d\theta}{d\bar{s}} = \left[\bar{P} \cdot \bar{x}^* \cdot \tan \theta_B \cdot \bar{y} + \bar{P} \cdot (1 - \bar{x}^*) \cdot \bar{x} \right] \quad (3.7ก)$$

$$\frac{d\bar{x}}{d\bar{s}} = \cos \theta \quad (3.7ข)$$

$$\frac{d\bar{y}}{d\bar{s}} = \sin \theta \quad (3.7ค)$$

โดยที่ตัวแปรต่าง ๆ ในระบบสมการอนุพันธ์ที่ได้จะต้องถูกเขียนให้อยู่ในรูปของตัวแปรหน่วยเพื่อให้ง่ายต่อการหาคำตอบเชิงตัวเลขด้วยระเบียบวิธีการยิงเป้า ดังนี้

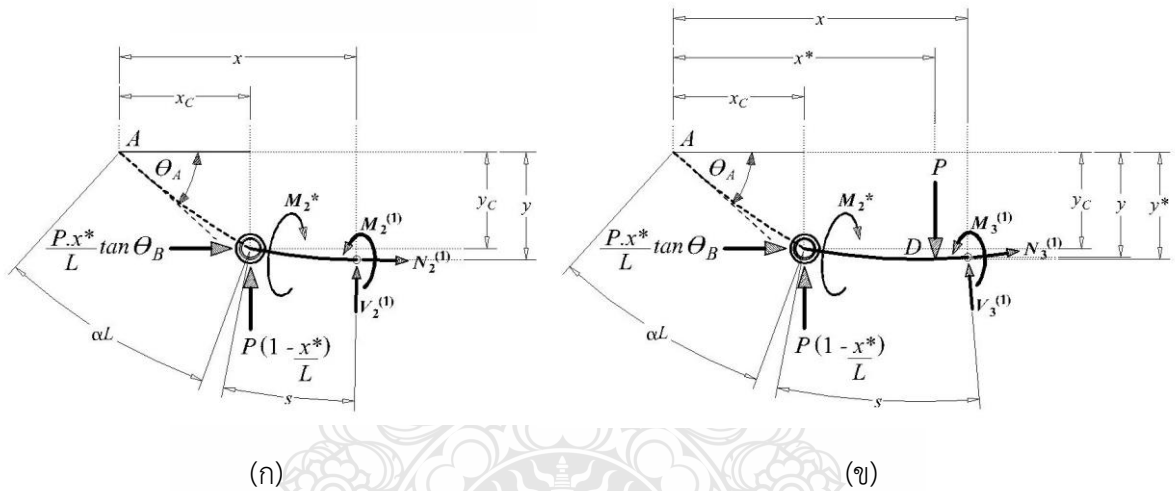
$$\bar{x} = \frac{x}{L}; \quad \bar{y} = \frac{y}{L}; \quad \bar{x}_C = \frac{x_C}{L}; \quad \bar{y}_C = \frac{y_C}{L}; \quad \bar{x}_D = \frac{x_D}{L}; \quad \bar{y}_D = \frac{y_D}{L}; \quad \bar{x}^* = \frac{x^*}{L}; \quad \bar{y}^* = \frac{y^*}{L}$$

$$\bar{s} = \frac{s}{L}; \quad \bar{S}_t = \frac{S_t}{L}; \quad \bar{P} = \frac{PL^2}{EI}; \quad \bar{I} = \frac{I}{L^4}; \quad \bar{M} = \frac{ML}{EI}; \quad \bar{K} = \frac{KL}{EI}$$

โดยที่

- x = ระยะตามแนวราบ
- y = ระยะตามแนวตั้ง
- x^* = ระยะจากจุด A ถึงจุดที่แรงกระทำตามแนวราบ
- y^* = ระยะจากจุด A ถึงจุดที่แรงกระทำตามแนวตั้ง
- x_C = ระยะจากจุด A ถึงจุดตัดแกนการหมุนแบบสปริงตามแนวราบ

- y_C = ระยะจากจุด A ถึงจุดตัดทันทนาการหมุนแบบสปริงตามแนวตั้ง
 x_D = ระยะจากจุด A ถึงจุดตัดทันทนาการหมุนแบบสปริงตามแนวราบ
 y_D = ระยะจากจุด A ถึงจุดตัดทันทนาการหมุนแบบสปริงตามแนวตั้ง
 P = แรงกระทำตามแนวดิ่ง
 s = ความยาวส่วนโค้งของอีลาสติคคา
 S_t = ความยาวส่วนโค้งทั้งหมด
 L = ความยาวช่วงของอีลาสติคคา
 K = ค่าสติเฟนสของสปริง
 EI = ความแข็งแกร่งต่อการดัดของอีลาสติคคา



รูปที่ 3.4 ผังอิสระของชิ้นส่วนย่อยของอีลาสติคคาในกรณีที่ 1 ระยะ $\alpha < \beta$

(ก) ในช่วงพิจารณาที่ $\alpha L \leq s \leq \beta L$ และ (ข) ในช่วงพิจารณาที่ $\beta L \leq s \leq S_t$

พิจารณาผังอิสระของชิ้นส่วนย่อยของอีลาสติคคาจากรูปที่ 3.4(ก) สามารถเขียนสมการสมดุลของโมเมนต์ดัดในช่วง CD หรือ $M_2^{(1)}$ ได้ดังนี้

$$M_2^{(1)} = \left(\frac{P \cdot x^*}{L} \cdot \tan \theta_B \cdot (y - y_C) \right) + \left(\left(P \left(1 - \frac{x^*}{L} \right) \right) \cdot (x - x_C) \right) + K \Delta \theta \quad (3.8)$$

โดยที่ $K \Delta \theta$ เป็นโมเมนต์ดัดจากจุดตัดทันทนาการหมุนแบบสปริง จากสมการความสัมพันธ์ระหว่างโมเมนต์กับความโค้งของอีลาสติคคาและความสัมพันธ์ทางเรขาคณิตในสมการที่ (2.1) เมื่อนำสมการที่ (3.8) แทนค่าลงไปจะได้

$$\frac{d\theta}{ds} = \frac{M_2^{(1)}}{EI} = \frac{1}{EI} \left[\left(\frac{P \cdot x^*}{L} \cdot \tan \theta_B \cdot (y - y_C) \right) + \left(\left(P \left(1 - \frac{x^*}{L} \right) \right) \cdot (x - x_C) \right) + K \Delta \theta \right] \quad (3.9)$$

ดังนั้น จะได้สมการที่ (3.9) (2.6ก) และ (2.6ข) เป็นสมการครอบคลุมปัญหา (Governing Equation) ซึ่งสามารถเขียนสมการที่ (3.9) ให้อยู่ในรูปไร้หน่วยได้ ดังนี้

$$\frac{d\theta}{ds} = \left[\bar{P} \cdot \bar{x}^* \cdot \tan \theta_B \cdot (\bar{y} - \bar{y}_C) + \bar{P} \cdot (1 - \bar{x}^*) \cdot (\bar{x} - \bar{x}_C) + \bar{K} \Delta \theta \right] \quad (3.10)$$

พิจารณาฝั่งอิสระของชิ้นส่วนย่อยของอิลาสติกคาจากรูปที่ 3.4(ข) สามารถเขียนสมการสมดุลของโมเมนต์ตัดในช่วง DB หรือ $M_3^{(1)}$ ได้ดังนี้

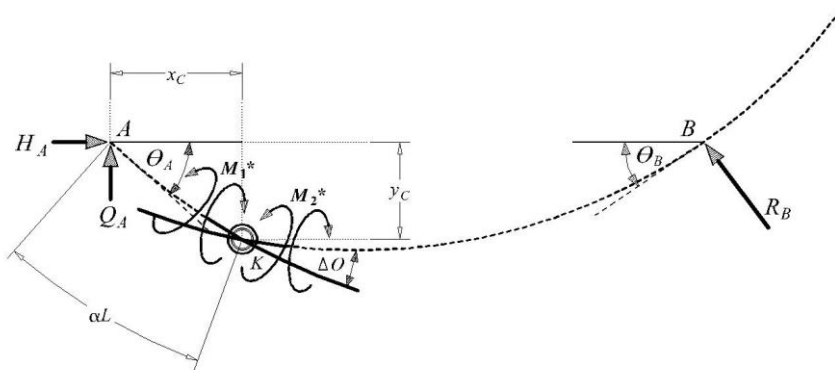
$$M_3^{(1)} = \left(\frac{P \cdot x^*}{L} \cdot \tan \theta_B \cdot (y - y_C) \right) + \left(\left(P \left(1 - \frac{x^*}{L} \right) \right) \cdot (x - x_C) \right) - P(x - x^*) + K \Delta \theta \quad (3.11)$$

จากสมการความสัมพันธ์ระหว่างโมเมนต์กับความโค้งของอิลาสติกคาและความสัมพันธ์ทางเรขาคณิตในสมการที่ (2.1) เมื่อนำสมการที่ (3.11) แทนค่าลงไปจะได้

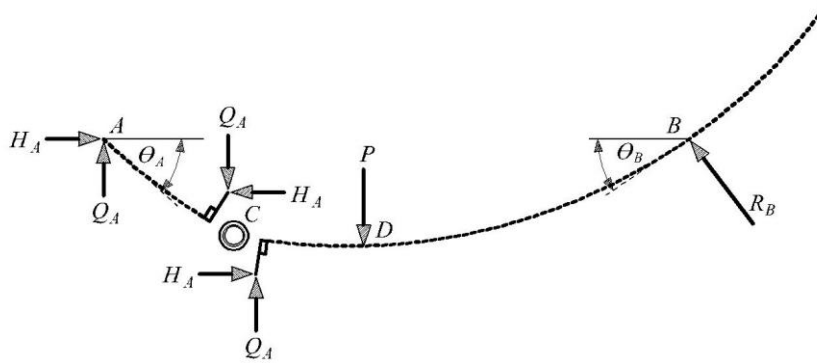
$$\frac{d\theta}{ds} = \frac{M_3^{(1)}}{EI} = \frac{1}{EI} \left[\left(\frac{P \cdot x^*}{L} \cdot \tan \theta_B \cdot (y - y_C) \right) + \left(\left(P \left(1 - \frac{x^*}{L} \right) \right) \cdot (x - x_C) \right) - P(x - x^*) + K \Delta \theta \right] \quad (3.12)$$

ดังนั้น จะได้สมการที่ (3.12) (2.6ก) และ (2.6ข) เป็นสมการครอบคลุมปัญหา (Governing Equation) ซึ่งสามารถเขียนสมการที่ (3.12) ให้อยู่ในรูปไร้หน่วยได้ ดังนี้

$$\frac{d\theta}{ds} = \left[\bar{P} \cdot \bar{x}^* \cdot \tan \theta_B \cdot (\bar{y} - \bar{y}_C) + \bar{P} \cdot (1 - \bar{x}^*) \cdot (\bar{x} - \bar{x}_C) - \bar{P}(\bar{x} - \bar{x}^*) + \bar{K} \Delta \theta \right] \quad (3.13)$$



รูปที่ 3.5 พฤติกรรมหลังการโก่งเดาะของอิลาสติกคาจากแรงเฉือน



รูปที่ 3.6 รูปร่างการโก่งเดาะของอิลาสติกคาที่มีความยาวส่วนโค้งแปรเปลี่ยนได้ที่มีจุดด้านทานการหมุนแบบสปริงอยู่ภายใน

จากรูปที่ 3.6 ความสัมพันธ์ระหว่างโมเมนต์ดัดและผลต่างของมุมที่จุดหมุนแบบสปริงที่เป็นเชิงเส้นแสดงในสมการดังนี้

$$M_1^{*(i)} = \left(\frac{P \cdot x^*}{L} \cdot \tan \theta_B \cdot y_C \right) + \left(\left(P \left(1 - \frac{x^*}{L} \right) \right) \cdot x_C \right) = K \Delta \theta \quad (3.14)$$

ดังนั้น

$$M_2^{*(i)} = K \Delta \theta \quad (3.15)$$

โดยที่

$M_1^{*(i)}$ คือ โมเมนต์ดัดทางด้านซ้ายของสปริงหมุน

$M_2^{*(i)}$ คือ โมเมนต์ดัดทางด้านขวาของสปริงหมุน

K คือ ค่าสติเฟนสของสปริง ($K = 1, 10, 100$)

$\Delta \theta$ คือ ค่าความแตกต่างของมุม ณ ตำแหน่งสปริง (จุด C)

สมการที่ (3.7ก, 3.7ข, 3.7ค, 3.10 และ 3.13) เป็นระบบสมการอนุพันธ์ที่ใช้ในการอธิบายการแอ่นตัวมากขึ้นส่วนย่อยของอิลาสติกคา ดังนั้นหากต้องการทราบพฤติกรรมทั้งหมดต้องทำการอินทิเกรตให้สอดคล้องกับเงื่อนไขขอบเขตของปัญหา (Boundary Condition) ดังนี้

$$\bar{x}(0) = 0 \quad ; \quad \bar{x}(\bar{S}_t) = 1 \quad (3.16 \text{ ก})$$

$$\bar{y}(0) = 0 \quad ; \quad \bar{y}(\bar{S}_t) = 0 \quad (3.16 \text{ ข})$$

$$\theta(\bar{S}_t=0) = \theta_A \quad ; \quad \theta(\bar{S}_t=1) = \theta_B \quad (3.16 \text{ ค})$$

$$\bar{x}_C = \bar{x}_{Cs} \quad (3.16 \text{ ง})$$

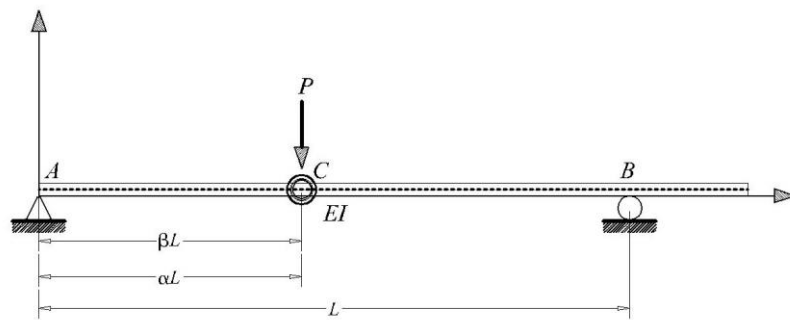
$$\bar{y}_C = \bar{y}_{Cs} \quad (3.16 \text{ จ})$$

$$\bar{x}^* = \bar{x}^* s \quad (3.16 \text{ ฉ})$$

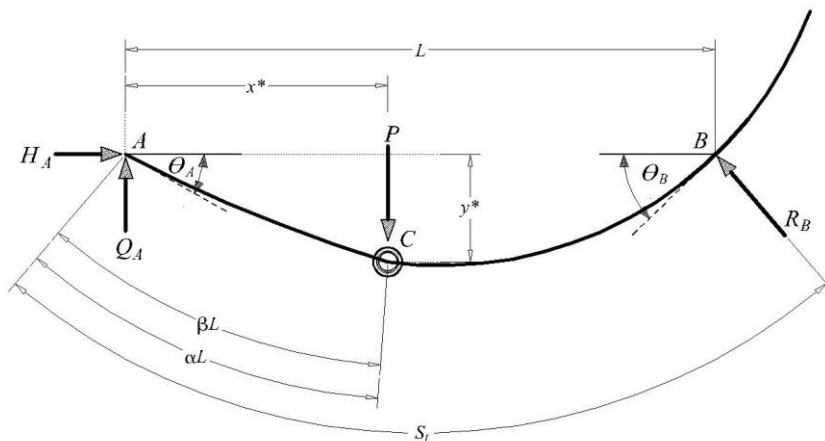
$$((\bar{P} \cdot \bar{x}^* \cdot \tan \theta_B \cdot \bar{y}_C) + (\bar{P} \cdot (1 - \bar{x}^*) \cdot \bar{x}_C)) = \bar{K} \Delta \theta \quad (3.16 \text{ ช})$$

3.2.2 ลักษณะแบบจำลองของอีลาสติคคาในกรณีที่ 2

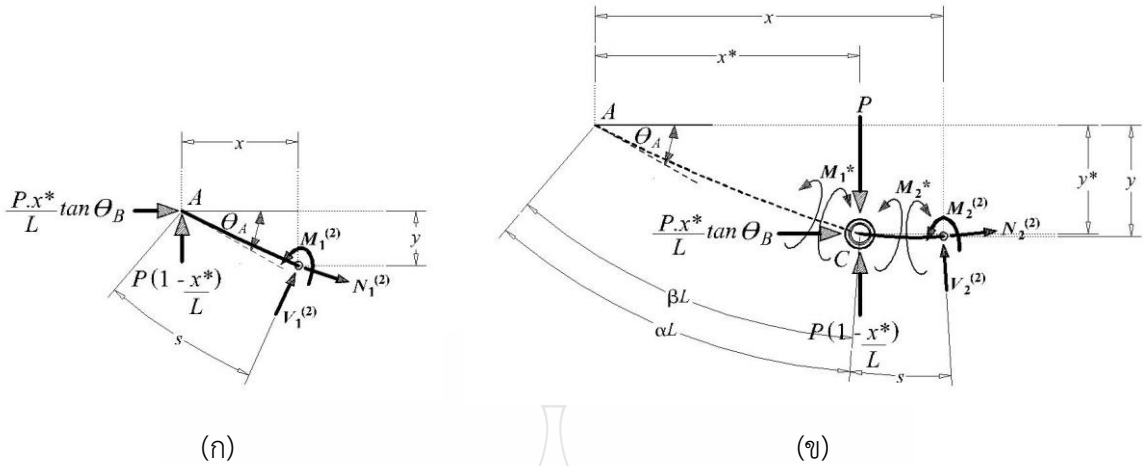
ในกรณีที่ 2 นี้เป็นกรณีที่ตำแหน่งแรงกระทำตรงกับตำแหน่งของจุดต้านทานการหมุนแบบสปริงดังแสดงในรูป 3.7 และ 3.8 ซึ่งโมเมนต์ดัดที่เกิดขึ้นในอีลาสติคคาจะมีอยู่สองช่วงด้วยกันคือ $M_1^{(2)}$ และ $M_2^{(2)}$ ซึ่งสอดคล้องกับช่วง AC และ CB ตามลำดับ



รูปที่ 3.7 รูปร่างของอีลาสติคคาที่มีความยาวส่วนโค้งแปรเปลี่ยนได้ในสภาวะก่อนการเสียรูปกรณีที่ 2 ($\alpha = \beta$)



รูปที่ 3.8 รูปร่างของอีลาสติคคาที่มีความยาวส่วนโค้งแปรเปลี่ยนได้ในสภาวะหลังการเสียรูปกรณีที่ 2 ($\alpha = \beta$)



รูปที่ 3.9 ผังอิสระของชิ้นส่วนย่อยของอิลาสติกคาในกรณีที่ 2 ระยะ $\alpha = \beta$

(ก) ในช่วงพิจารณาที่ $0 \leq s \leq (\alpha L, \beta L)$ และ (ข) ในช่วงพิจารณาที่ $\alpha L, \beta L \leq s \leq S_t$

พิจารณาผังอิสระของชิ้นส่วนย่อยของอิลาสติกคาจากรูปที่ 3.9(ก) สามารถเขียนสมการสมดุลของโมเมนต์ตัดในช่วง AC หรือ $M_1^{(2)}$ ได้ดังนี้

$$M_1^{(2)} = \left(\frac{P \cdot x^*}{L} \cdot \tan \theta_B \cdot y \right) + \left(\left(P \left(1 - \frac{x^*}{L} \right) \right) \cdot x \right) \quad (3.17)$$

จากสมการความสัมพันธ์ระหว่างโมเมนต์กับความโค้งของอิลาสติกคาและความสัมพันธ์ทางเรขาคณิตในสมการที่ (2.1) เมื่อนำสมการที่ (3.17) แทนค่าลงไปจะได้

$$\frac{d\theta}{ds} = \frac{M_1^{(2)}}{EI} = \frac{1}{EI} \left[\left(\frac{P \cdot x^*}{L} \cdot \tan \theta_B \cdot y \right) + \left(\left(P \left(1 - \frac{x^*}{L} \right) \right) \cdot x \right) \right] \quad (3.18)$$

ดังนั้น จะได้สมการที่ (3.18) (2.6ก) และ (2.6ข) เป็นสมการครอบคลุมปัญหา (Governing Equation) ซึ่งสามารถเขียนสมการที่ (3.18) ให้อยู่ในรูปไร้หน่วยได้ ดังนี้

$$\frac{d\theta}{ds} = \left[\bar{P} \cdot \bar{x}^* \cdot \tan \theta_B \cdot \bar{y} + \bar{P} \cdot (1 - \bar{x}^*) \cdot \bar{x} \right] \quad (3.19)$$

พิจารณาผังอิสระของชิ้นส่วนย่อยของอิลาสติกคาจากรูปที่ 3.9 (ข) สามารถเขียนสมการสมดุลของโมเมนต์ตัดในช่วง CB หรือ $M_2^{(2)}$ ได้ดังนี้

$$M_2^{(2)} = \left(\frac{P \cdot x^*}{L} \cdot \tan \theta_B \cdot (y - y^*) \right) + \left(\left(P \left(1 - \frac{x^*}{L} \right) \right) \cdot (x - x^*) \right) + K \Delta \theta \quad (3.20)$$

จากสมการความสัมพันธ์ระหว่างโมเมนต์กับความโค้งของอิลาสติกคาและความสัมพันธ์ทางเรขาคณิตในสมการที่ (2.1) เมื่อนำสมการที่ (3.20) แทนค่าลงไปจะได้

$$\frac{d\theta}{ds} = \frac{M_2^{(2)}}{EI} = \frac{1}{EI} \left[\left(\frac{P \cdot x^*}{L} \cdot \tan \theta_B \cdot (y - y^*) \right) + \left(\left(P \left(1 - \frac{x^*}{L} \right) \right) \cdot (x - x^*) \right) + K \Delta \theta \right] \quad (3.21)$$

ดังนั้น จะได้สมการที่ (3.21) (3.7ข) และ (3.7ค) เป็นสมการครอบคลุมปัญหา (Governing Equation) ซึ่งสามารถเขียนสมการที่ (3.21) ให้อยู่ในรูปไร้มิติได้ ดังนี้

$$\frac{d\theta}{ds} = \left[\bar{P} \cdot \bar{x}^* \cdot \tan \theta_B \cdot (\bar{y} - \bar{y}^*) + \bar{P} \cdot (1 - \bar{x}^*) \cdot (\bar{x} - \bar{x}^*) - \bar{P} (\bar{x} - \bar{x}^*) + \bar{K} \Delta \theta \right] \quad (3.22)$$

สมการที่ (3.7ข, 3.7ค, 3.19 และ 3.22) เป็นสมการอนุพันธ์ที่ใช้ในการอธิบายชิ้นส่วนย่อยของอีลาสติคคา ดังนั้นหากต้องการพฤติกรรมทั้งหมดต้องทำการอินทิเกรตให้สอดคล้องกับเงื่อนไขขอบเขตของปัญหา (Boundary Condition) ดังนี้

$$\bar{x}(0) = 0 \quad ; \quad \bar{x}(\bar{S}_t) = 1 \quad (3.23 \text{ ก})$$

$$\bar{y}(0) = 0 \quad ; \quad \bar{y}(\bar{S}_t) = 0 \quad (3.23 \text{ ข})$$

$$\theta(\bar{S}_t = 0) = \theta_A \quad ; \quad \theta(\bar{S}_t = 1) = \theta_B \quad (3.23 \text{ ค})$$

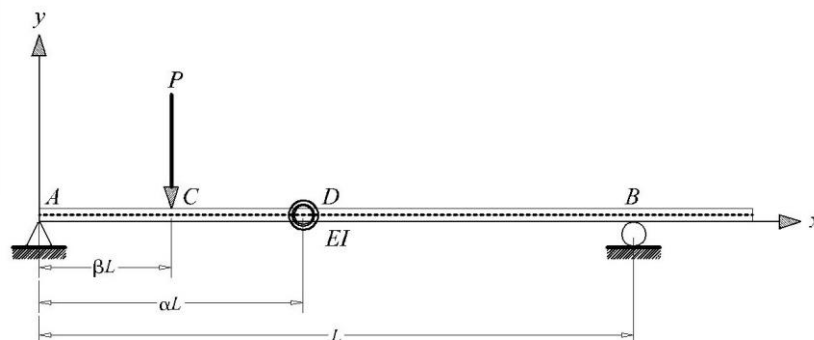
$$\bar{x}^* = \bar{x}^* s \quad (3.23 \text{ ง})$$

$$\bar{y}^* = \bar{y}^* s \quad (3.23 \text{ จ})$$

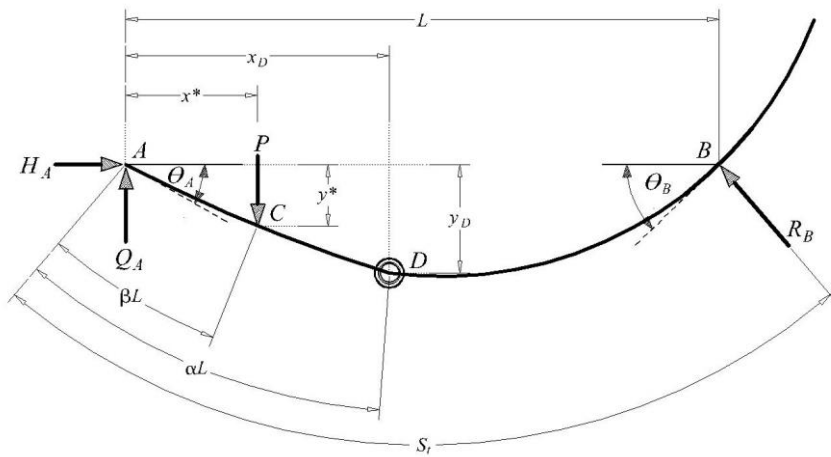
$$((\bar{P} \cdot \bar{x}^* \cdot \tan \theta_B \cdot \bar{y}^*) + (\bar{P} \cdot (1 - \bar{x}^*) \cdot \bar{x}^*)) = \bar{K} \Delta \theta \quad (3.23 \text{ ฉ})$$

3.2.3 ลักษณะแบบจำลองของอีลาสติคคาในกรณีที่ 3

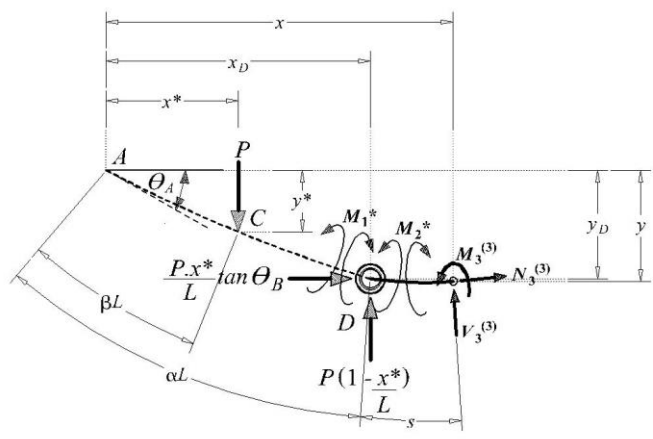
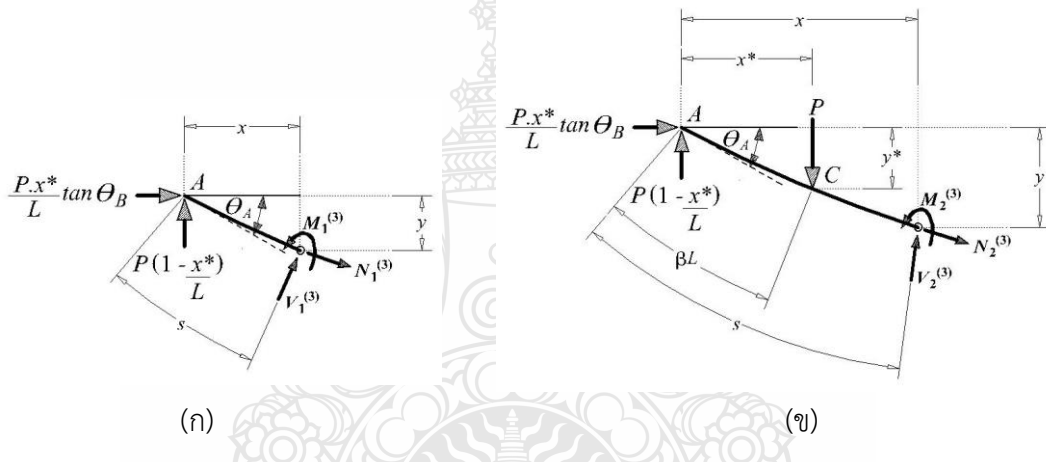
ในกรณีที่ 3 เป็นกรณีที่ตำแหน่งของแรงกระทำอยู่ทางด้านซ้ายมือของจุดต้านทานการหมุนแบบสปริงดังแสดงในรูป 3.10 และ 3.11 ทำให้มีโมเมนต์ตัด 3 ช่วง คือ $M_1^{(3)}$, $M_2^{(3)}$, $M_3^{(3)}$ ซึ่งสอดคล้องกับช่วง AC , CD และ DB ตามลำดับ



รูปที่ 3.10 รูปร่างของอีลาสติคคาที่มีความยาวส่วนโค้งแปรเปลี่ยนได้ในสภาวะก่อนการเสียรูปกรณีที่ 3 ($\alpha > \beta$)



รูปที่ 3.11 รูปร่างของอิลาสติกคาที่มีความยาวส่วนโค้งแปรเปลี่ยนได้ในสภาวะหลังการเสียรูป
กรณีที่ 3 ($\alpha > \beta$)



รูปที่ 3.12 ผังอิสระของชิ้นส่วนย่อยของอิลาสติกคาในกรณีที่ 3 ระยะ $\alpha > \beta$
(ก) ในช่วงพิจารณาที่ $0 \leq s \leq \beta L$, (ข) ในช่วงพิจารณาที่ $\beta L \leq s \leq \alpha L$ และ
(ค) ในช่วงพิจารณาที่ $\alpha L \leq s \leq S_t$

พิจารณาผังอิสระของชิ้นส่วนย่อยของอิลาสติกคาจากรูปที่ 3.12(ก) สามารถเขียนสมการสมดุลของโมเมนต์ตัดในช่วง AC หรือ $M_1^{(3)}$ ได้ดังนี้

$$M_1^{(3)} = \left(\frac{P \cdot x^*}{L} \cdot \tan \theta_B \cdot y \right) + \left(\left(P \left(1 - \frac{x^*}{L} \right) \right) \cdot x \right) \quad (3.24)$$

จากสมการความสัมพันธ์ระหว่างโมเมนต์กับความโค้งของอิลาสติกคาและความสัมพันธ์ทางเรขาคณิตในสมการที่ (2.1) เมื่อนำสมการที่ (3.24) แทนค่าลงไปจะได้

$$\frac{d\theta}{ds} = \frac{M_1^{(3)}}{EI} = \frac{1}{EI} \left[\left(\frac{P \cdot x^*}{L} \cdot \tan \theta_B \cdot y \right) + \left(\left(P \left(1 - \frac{x^*}{L} \right) \right) \cdot x \right) \right] \quad (3.25)$$

ดังนั้น จะได้สมการที่ (3.25) (2.6ก) และ (2.6ข) เป็นสมการครอบคลุมปัญหา (Governing Equation) ซึ่งสามารถเขียนสมการที่ (3.25) ให้อยู่ในรูปไร้หน่วยได้ ดังนี้

$$\frac{d\theta}{ds} = \left[\bar{P} \cdot \bar{x}^* \cdot \tan \theta_B \cdot \bar{y} + \bar{P} \cdot (1 - \bar{x}^*) \cdot \bar{x} \right] \quad (3.26)$$

พิจารณาผังอิสระของชิ้นส่วนย่อยของอิลาสติกคาจากรูปที่ 3.12(ข) สามารถเขียนสมการสมดุลของโมเมนต์ตัดในช่วง CD หรือ $M_2^{(3)}$ ได้ดังนี้

$$M_2^{(3)} = \left(\frac{P \cdot x^*}{L} \cdot \tan \theta_B \cdot y \right) + \left(\left(P \left(1 - \frac{x^*}{L} \right) \right) \cdot x \right) - P(x - x^*) \quad (3.27)$$

จากสมการความสัมพันธ์ระหว่างโมเมนต์กับความโค้งของอิลาสติกคาและความสัมพันธ์ทางเรขาคณิตในสมการที่ (2.1) เมื่อนำสมการที่ (3.27) แทนค่าลงไปจะได้

$$\frac{d\theta}{ds} = \frac{M_2^{(3)}}{EI} = \frac{1}{EI} \left[\left(\frac{P \cdot x^*}{L} \cdot \tan \theta_B \cdot y \right) + \left(\left(P \left(1 - \frac{x^*}{L} \right) \right) \cdot x \right) + P(x - x^*) \right] \quad (3.28)$$

ดังนั้น จะได้สมการที่ (3.28) (2.6ก) และ (2.6ข) เป็นสมการครอบคลุมปัญหา (Governing Equation) ซึ่งสามารถเขียนสมการที่ (3.28) ให้อยู่ในรูปไร้หน่วยได้ ดังนี้

$$\frac{d\theta}{ds} = \left[\bar{P} \cdot \bar{x}^* \cdot \tan \theta_B \cdot \bar{y} + \bar{P} \cdot (1 - \bar{x}^*) \cdot \bar{x} - \bar{P}(\bar{x} - \bar{x}^*) \right] \quad (3.29)$$

พิจารณาฝั่งอิสระของชิ้นส่วนย่อยของอิลาสติกคาจากรูปที่ 3.12(ค) สามารถเขียนสมการสมดุลของโมเมนต์ตัดในช่วง DB หรือ $M_3^{(3)}$ ได้ดังนี้

$$M_3^{(3)} = \left(\frac{P \cdot x^*}{L} \cdot \tan \theta_B \cdot (y - y_D) \right) + \left(\left(P \left(1 - \frac{x^*}{L} \right) \right) \cdot (x - x_D) \right) - P(x - x_D) + K \Delta \theta \quad (3.30)$$

จากสมการความสัมพันธ์ระหว่างโมเมนต์กับความโค้งของอิลาสติกคาและความสัมพันธ์ทางเรขาคณิตในสมการที่ (2.1) เมื่อนำสมการที่ (3.30) แทนค่าลงไปจะได้

$$\frac{d\theta}{ds} = \frac{M_3^{(3)}}{EI} = \frac{1}{EI} \left[\left(\frac{P \cdot x^*}{L} \cdot \tan \theta_B \cdot (y - y_D) \right) + \left(\left(P \left(1 - \frac{x^*}{L} \right) \right) \cdot (x - x_D) \right) - P(x - x_D) + K \Delta \theta \right] \quad (3.31)$$

ดังนั้น จะได้สมการที่ (3.31) (2.6ก) และ (2.6ข) เป็นสมการครอบคลุมปัญหา (Governing Equation) ซึ่งสามารถเขียนสมการที่ (3.31) ให้อยู่ในรูปไร้หน่วยได้ ดังนี้

$$\frac{d\theta}{ds} = \left[\bar{P} \cdot \bar{x}^* \cdot \tan \theta_B \cdot (\bar{y} - \bar{y}_D) + \bar{P} \cdot (1 - \bar{x}^*) \cdot (\bar{x} - \bar{x}_D) - \bar{P}(\bar{x} - \bar{x}_D) + \bar{K} \Delta \theta \right] \quad (3.32)$$

สมการที่ (3.7ข, 3.7ค, 3.26, 3.29 และ 3.32) เป็นสมการอนุพันธ์ที่ใช้อธิบายชิ้นส่วนย่อยของอิลาสติกคา ดังนั้นหากต้องการพฤติกรรมทั้งหมดต้องทำการอินทิเกรตให้สอดคล้องกับเงื่อนไขขอบเขตของปัญหา (Boundary Condition) ดังนี้

$$\bar{x}(0) = 0 \quad ; \quad \bar{x}(\bar{S}_t) = 1 \quad (3.33 \text{ ก})$$

$$\bar{y}(0) = 0 \quad ; \quad \bar{y}(\bar{S}_t) = 0 \quad (3.33 \text{ ข})$$

$$\theta(\bar{S}_t = 0) = \theta_A \quad ; \quad \theta(\bar{S}_t = 1) = \theta_B \quad (3.33 \text{ ค})$$

$$\bar{x}_D = \bar{x}_{Ds} \quad (3.33 \text{ ง})$$

$$\bar{y}_D = \bar{y}_{Ds} \quad (3.33 \text{ จ})$$

$$\bar{x}^* = \bar{x}_s^* \quad (3.33 \text{ ฉ})$$

$$((\bar{P} \cdot \bar{x}^* \cdot \tan \theta_B \cdot \bar{y}_D) + (\bar{P} \cdot (1 - \bar{x}^*) \cdot \bar{x}_D)) - (\bar{P} \cdot (\bar{x}_D - \bar{x}^*)) = \bar{K} \Delta \theta \quad (3.33 \text{ ช})$$

3.3 กระบวนการคำนวณปัญหา

สำหรับขั้นตอนและวิธีการคำนวณด้วยโปรแกรม MATLAB ของแบบจำลองปัญหาข้างต้นทั้ง 3 กรณี มีขั้นตอนการศึกษา ดังนี้

3.3.1 กรณีที่ 1 ($\alpha < \beta$)

3.3.1.1 กำหนดค่าของตัวแปรควบคุม (Controlled Variable) ซึ่งในการศึกษานี้จะใช้เวลาบางส่วนโค้งทั้งหมดของอิลาสติกคา (\bar{S}_t) เป็นตัวแปรควบคุม พร้อมทั้งกำหนดค่าเงื่อนไขของจุดรองรับ ณ ตำแหน่ง $\bar{S}_t = 0$ และ $\bar{S}_t = 1$

3.3.1.2 กำหนดค่าตัวแปรของตำแหน่งสปริง ($\alpha = 0.25, 0.50, 0.75$) กำหนดค่าตัวแปรของตำแหน่งของแรงที่กระทำ ($\beta = 0.35, 0.50, 0.75, 0.85$) และกำหนดค่าสติเฟนสของสปริง ($\bar{K} = 1, 10, 100$)

3.3.1.3 ประมาณค่าเริ่มต้นของตัวแปรที่ไม่ทราบค่า จากนั้นทำการอินทิเกรตสมการที่ (3.7ก - 3.7ค, 3.10 และ 3.13) โดยใช้ระเบียบวิธีรุงเง - คุตตา (Runge - Kutta) และใช้กระบวนการกระทำซ้ำในการปรับแก้ตัวแปรไม่ทราบค่าในระบบสมการจนกว่าผลของคำตอบจะสอดคล้องกับเงื่อนไขที่กำหนดไว้ในสมการที่ (3.34) การศึกษาในครั้งนี้กำหนดค่าความคลาดเคลื่อนที่ยอมรับได้ (Tolerance) เท่ากับ 10^{-7}

$$\begin{aligned} \text{Min } \phi = & \left| \theta(\bar{S}_t=1) - \theta_B \right| + \left| \bar{x}(\bar{S}_t=1) - 1 \right| + \left| \bar{y}(\bar{S}_t=1) \right| + \left| \bar{x}_C - \bar{x}_{Cs} \right| + \\ & \left| \bar{y}_C - \bar{y}_{Cs} \right| + \left| \bar{x}^* - \bar{x}_s^* \right| + \left| \left((\bar{P} \cdot \bar{x}^* \cdot \tan \theta_B \cdot \bar{y}_C) + (\bar{P} \cdot (1 - \bar{x}^*) \cdot \bar{x}_C) \right) - \bar{K} \Delta \theta \right| \quad (3.34) \end{aligned}$$

3.3.2 กรณีที่ 2 ($\alpha = \beta$)

3.3.2.1 กำหนดค่าของตัวแปรควบคุม (Controlled Variable) ซึ่งในการศึกษานี้จะใช้เวลาบางส่วนโค้งทั้งหมดของอิลาสติกคา (\bar{S}_t) เป็นตัวแปรควบคุม พร้อมทั้งกำหนดค่าเงื่อนไขของจุดรองรับ ณ ตำแหน่ง $\bar{S}_t = 0$ และ $\bar{S}_t = 1$

3.3.2.2 กำหนดค่าตัวแปรของตำแหน่งสปริง ($\alpha = 0.25, 0.50, 0.75$) กำหนดค่าตัวแปรของตำแหน่งของแรงที่กระทำ ($\beta = 0.25, 0.50, 0.75$) และกำหนดค่าสติเฟนสของสปริง ($\bar{K} = 1, 10, 100$)

3.3.2.3 ประมาณค่าเริ่มต้นของตัวแปรที่ไม่ทราบค่า จากนั้นทำการอินทิเกรตสมการที่ (3.7ข, 3.7ค, 3.19 และ 3.22) โดยใช้ระเบียบวิธีรุงเง - คุตตา (Runge - Kutta) และใช้กระบวนการกระทำซ้ำในการปรับแก้ตัวแปรไม่ทราบค่าในระบบสมการจนกว่าผลของคำตอบจะสอดคล้องกับเงื่อนไขที่กำหนดไว้ในสมการที่ (3.35) การศึกษาในครั้งนี้กำหนดค่าความคลาดเคลื่อนที่ยอมรับได้ (Tolerance) เท่ากับ 10^{-7}

$$\begin{aligned} \text{Min } \phi = & \left| \theta(\bar{S}_t=1) - \theta_B \right| + \left| \bar{x}(\bar{S}_t=1) - 1 \right| + \left| \bar{y}(\bar{S}_t=1) \right| + \left| \bar{x}^* - \bar{x}^*_s \right| + \\ & \left| \bar{y}^* - \bar{y}^*_s \right| + \left| \left((\bar{P} \cdot \bar{x}^* \cdot \tan \theta_B \cdot \bar{y}^*) + (\bar{P} \cdot (1 - \bar{x}^*) \cdot \bar{x}^*) \right) - \bar{K} \Delta \theta \right| \end{aligned} \quad (3.35)$$

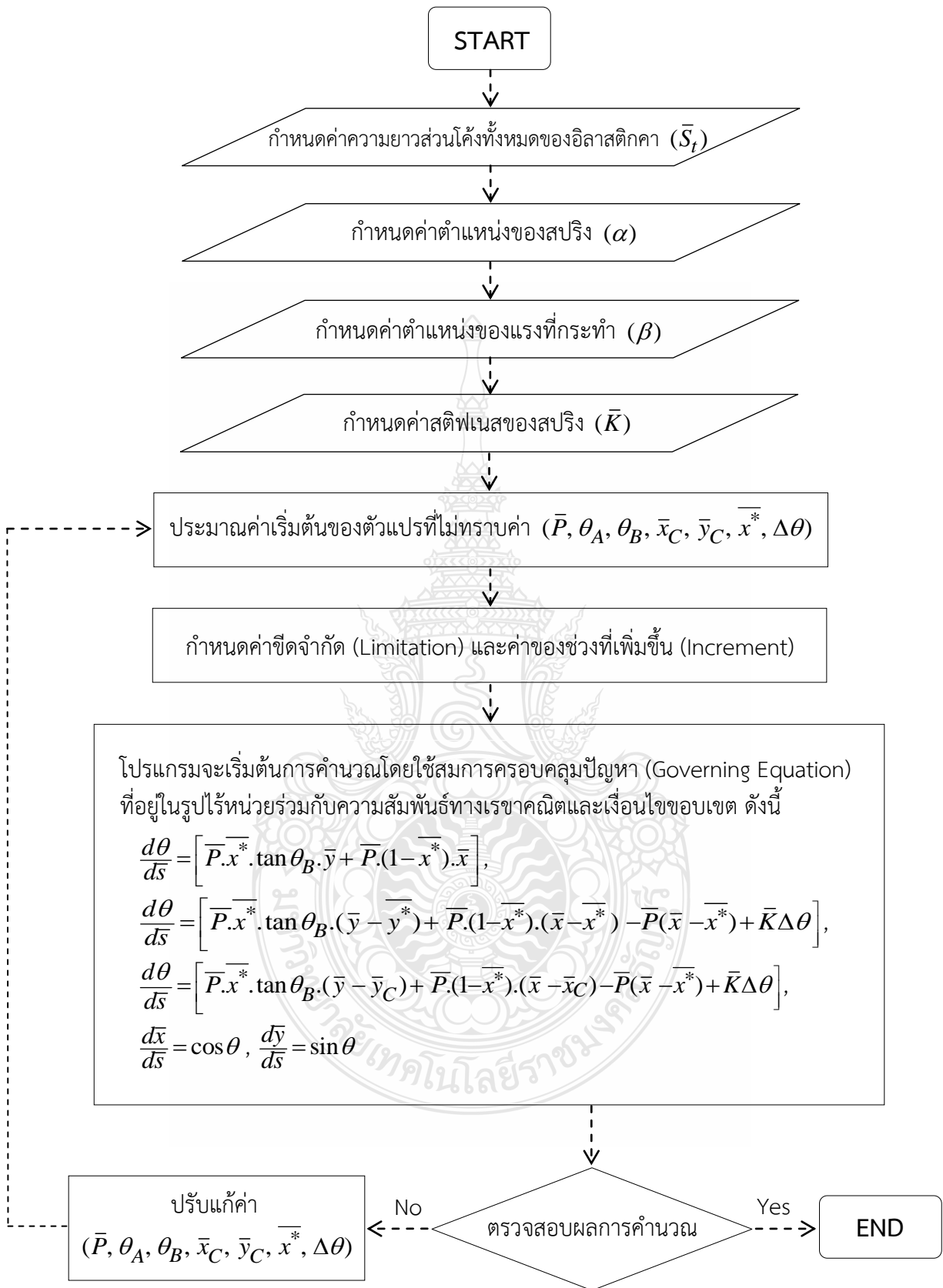
3.3.3 กรณีที่ 3 ($\alpha > \beta$)

3.3.3.1 กำหนดค่าของตัวแปรควบคุม (Controlled Variable) ซึ่งในการศึกษานี้จะใช้ความยาวส่วนโค้งทั้งหมดของอีลาสติคคา (\bar{S}_t) เป็นตัวแปรควบคุม พร้อมทั้งกำหนดค่าเงื่อนไขของจุดรองรับ ณ ตำแหน่ง $\bar{S}_t = 0$ และ $\bar{S}_t = 1$

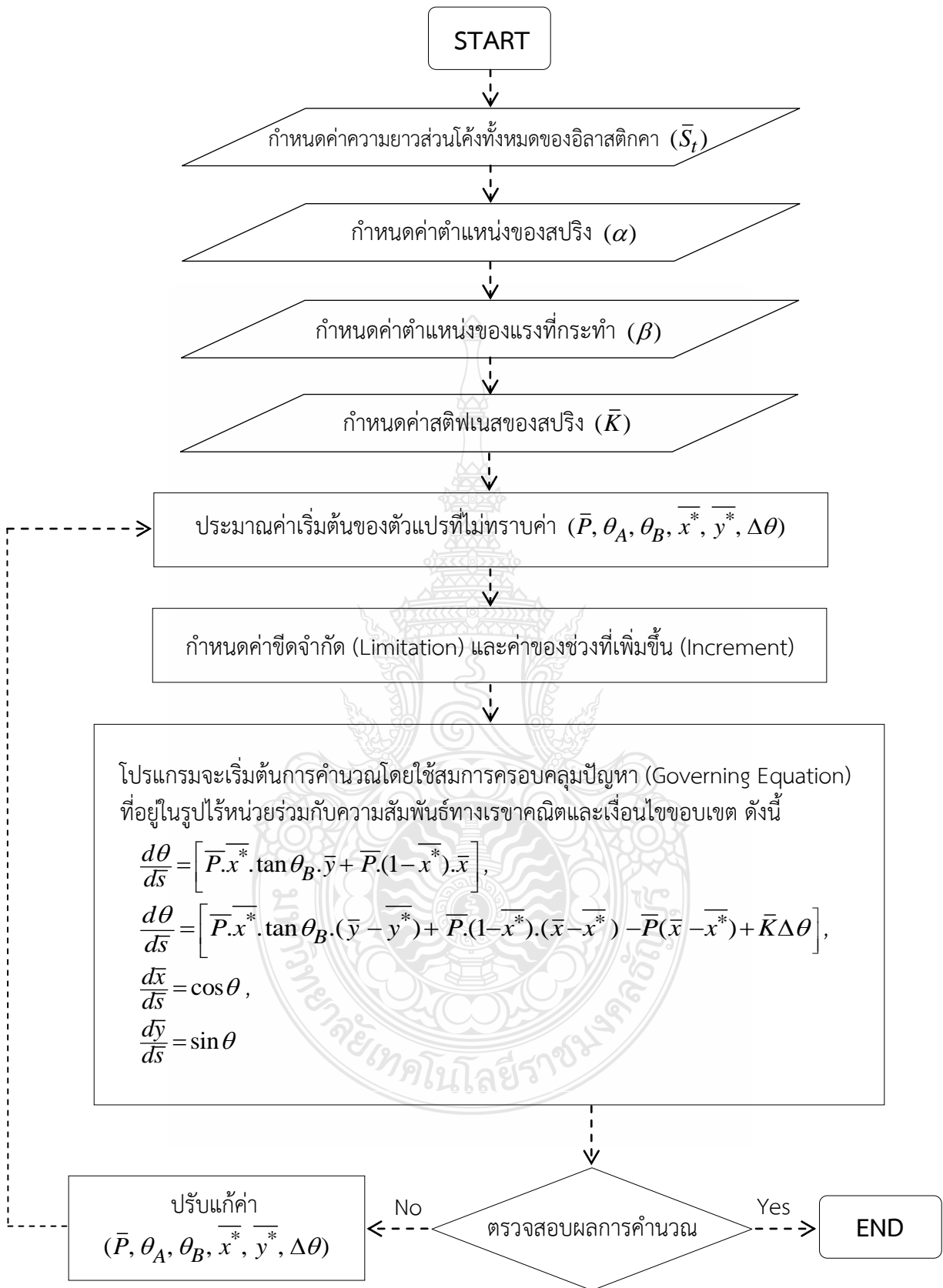
3.3.3.2 กำหนดค่าตัวแปรของตำแหน่งสปริง ($\alpha = 0.25, 0.50, 0.75$) กำหนดค่าตัวแปรของตำแหน่งของแรงที่กระทำ ($\beta = 0.15, 0.25, 0.35, 0.50$) และกำหนดค่าสตีเฟนของสปริง ($\bar{K} = 1, 10, 100$)

3.3.3.3 ประมาณค่าเริ่มต้นของตัวแปรที่ไม่ทราบค่า จากนั้นทำการอินทิเกรตสมการที่ (3.7ข, 3.7ค, 3.26, 3.29 และ 3.32) โดยใช้ระเบียบวิธีรุงเง - คุดตา (Runge - Kutta) และใช้กระบวนการกระทำซ้ำในการปรับแก้ตัวแปรไม่ทราบค่าในระบบสมการจนกว่าผลของคำตอบจะสอดคล้องกับเงื่อนไขที่กำหนดไว้ในสมการที่ (3.36) การศึกษาในครั้งนี้กำหนดค่าความคลาดเคลื่อนที่ยอมรับได้ (Tolerance) เท่ากับ 10^{-7}

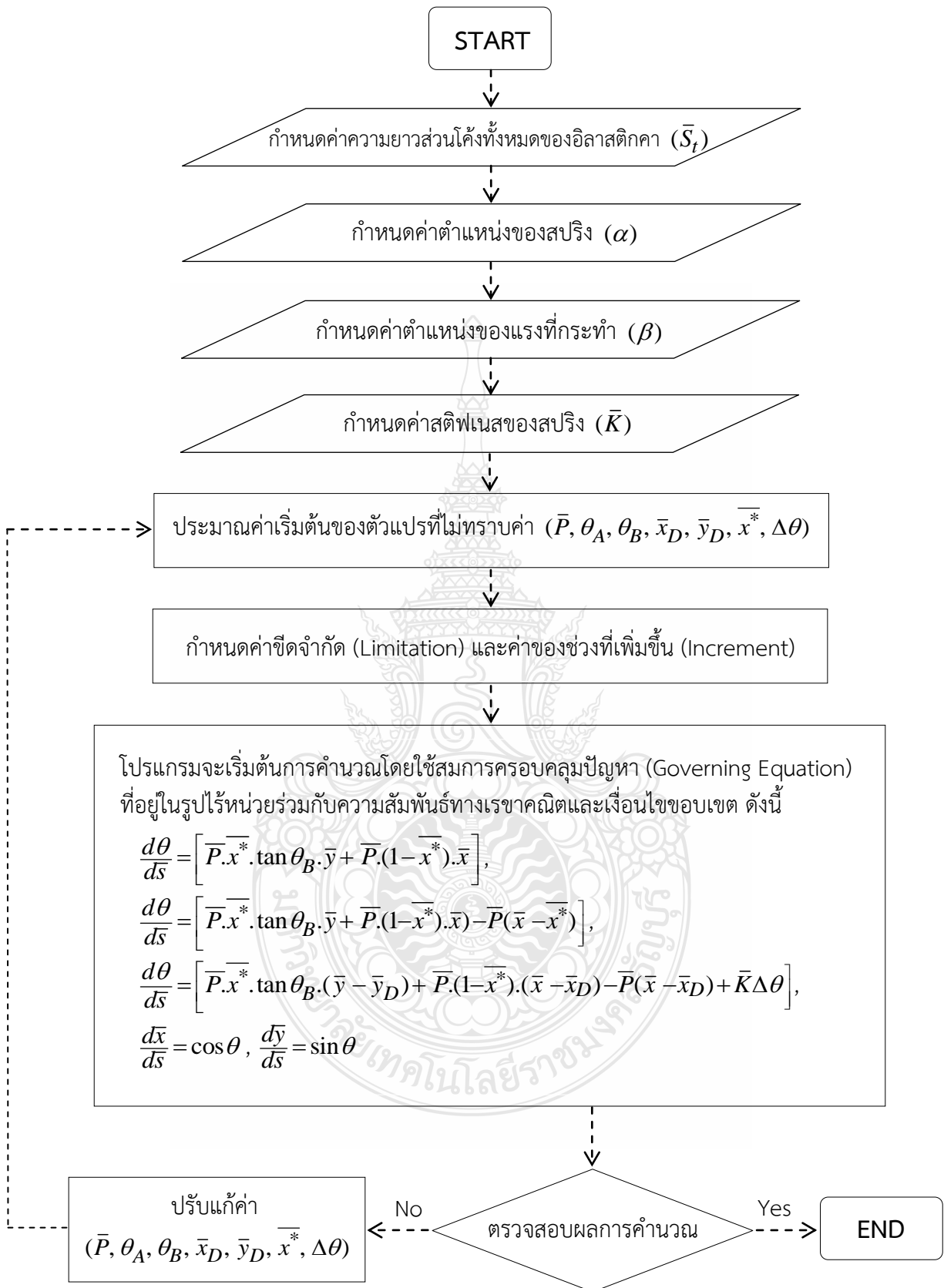
$$\begin{aligned} \text{Min } \phi = & \left| \theta(\bar{S}_t=1) - \theta_B \right| + \left| \bar{x}(\bar{S}_t=1) - 1 \right| + \left| \bar{y}(\bar{S}_t=1) \right| + \left| \bar{x}_D - \bar{x}_{Ds} \right| + \left| \bar{y}_D - \bar{y}_{Ds} \right| + \\ & \left| \bar{x}^* - \bar{x}^*_s \right| + \left| \left((\bar{P} \cdot \bar{x}^* \cdot \tan \theta_B \cdot \bar{y}_D) + (\bar{P} \cdot (1 - \bar{x}^*) \cdot \bar{x}_D) - (\bar{P} \cdot (\bar{x}_D - \bar{x}^*)) \right) - \bar{K} \Delta \theta \right| \end{aligned} \quad (3.36)$$



รูปที่ 3.13 ขั้นตอนการคำนวณของโปรแกรม MATLAB ในกรณีที่ 1 ($\alpha < \beta$)



รูปที่ 3.14 ขั้นตอนการคำนวณของโปรแกรม MATLAB ในกรณีที่ 2 ($\alpha = \beta$)



รูปที่ 3.15 ขั้นตอนการคำนวณของโปรแกรม MATLAB ในกรณีที 3 ($\alpha > \beta$)

3.4 การทดสอบอิลาสติกคาตัวอย่าง

เพื่อเป็นการตรวจสอบผลจากการคำนวณทางทฤษฎีการทดสอบในห้องปฏิบัติการอย่างง่ายได้ถูกจัดเตรียมขึ้นโดยมีอุปกรณ์และขั้นตอนในการทดสอบดังนี้

3.4.1 เครื่องมือและอุปกรณ์

3.4.1.1 โต๊ะทดลอง

3.4.1.2 แผ่นโพลีคาร์บอเนต ขนาด 2×50 มม. ความยาว 1,600 มม.

3.4.1.3 ชุดสปริงต้านทานการหมุน

3.4.1.4 ชุดอุปกรณ์จับยึดแผ่นโพลีคาร์บอเนตสำหรับจูดรองรับแบบข้อหมุน

3.4.1.5 ชุดอุปกรณ์ล้อเลื่อนสำหรับจูดรองรับแบบไร้แรงเสียดทาน

3.4.1.6 ตลับเมตร

3.4.1.7 สายวัดความยาวชนิดผ้า

3.4.1.8 สายเอ็น

3.4.1.9 กล้องถ่ายรูป

3.4.2 ขั้นตอนการทดสอบ (ยกตัวอย่างเฉพาะกรณีที่ 1 ระยะเวลา $\alpha < \beta$)

3.4.2.1 ทดสอบหาค่าคงที่ (ค่าสติฟเนส) ของสปริงหมุน

3.4.2.2 จากรูปที่ 3.20 จับยึดแผ่นโพลีคาร์บอเนตที่ใช้เป็นวัสดุจำลองอิลาสติกคาต้านจูดรองรับแบบข้อหมุน (จุด A) และที่บริเวณตำแหน่งของระยะเวลา $\alpha = 0.25, 0.50, 0.75$ (จุด C) ก็จะทำกรยึดติดชุดบานพับแบบสปริงกับแผ่นโพลีคาร์บอเนตเพื่อทำหน้าที่ส่งถ่ายโมเมนต์ (สปริงต้านทานการหมุน) และในด้านจูดรองรับแบบไร้แรงเสียดทาน (จุด B) นั้นจะทำการติดตั้งชุดล้อเลื่อนเพื่อให้แผ่นโพลีคาร์บอเนตเคลื่อนผ่านจูดรองรับด้านนี้ได้โดยไร้แรงเสียดทานเมื่อทำการออกแรงดึง และที่บริเวณตำแหน่งของแรงกระทำ (จุด D) ทำการเจาะรูเพื่อยึดสายเอ็นสำหรับใช้ในการวัดค่าของแรงดึงในแต่ละกรณี

3.4.2.3 ในกรณีที่ 1 ระยะเวลา $\alpha < \beta$ แบ่งการทดสอบได้ ดังนี้

3.4.2.3.1 กำหนดให้ระยะตำแหน่งของสปริงต้านทานการหมุน $\alpha = 0.25$ และแปรผันค่าของแรงกระทำ $\beta = 0.35, 0.50, 0.75, 0.85$

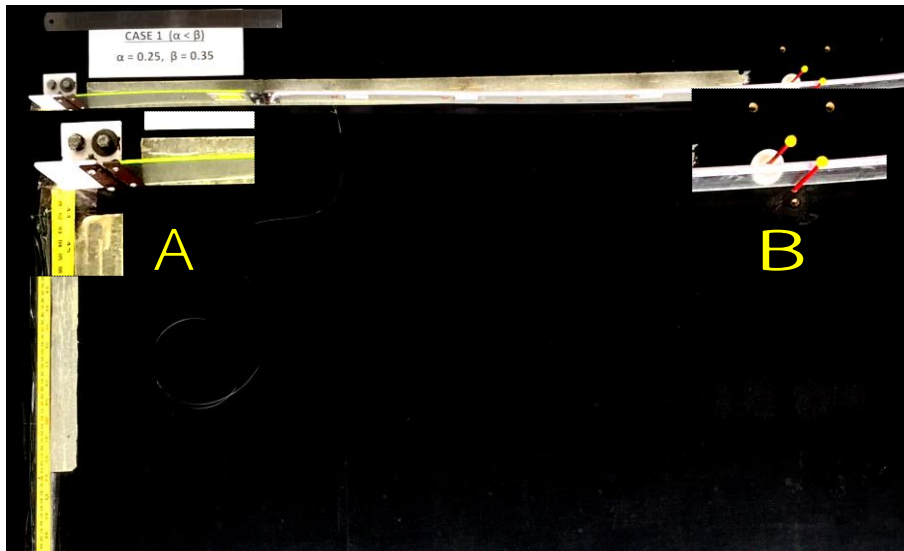
3.4.2.3.2 กำหนดให้ระยะตำแหน่งของสปริงต้านทานการหมุน $\alpha = 0.50$ และแปรผันค่าของแรงกระทำ $\beta = 0.75, 0.85$

3.4.2.3.3 กำหนดให้ระยะตำแหน่งของสปริงต้านทานการหมุน $\alpha = 0.75$ และแปรผันค่าของแรงกระทำ $\beta = 0.85$

3.4.2.3.4 ดำเนินการทดสอบในแต่ละขั้นตอนตามข้อ 2.1, 2.2 และ 2.3 โดยทำการบันทึกค่าแรงดึง ค่าการโก่งตัวตามแนวแกน และทำการถ่ายรูปโดยที่แกนของกล้องต้องตั้งฉากกับระนาบของอิลาสติกคาตัวอย่างที่ทำการทดสอบเสมอ

3.4.2.3.5 ทำการวัดค่ามุมของจุดรองรับด้าน A และจุดรองรับด้าน B จาก
รูปถ่ายที่ได้จากขั้นตอนการทดสอบอิลาสติกคาตัวอย่างโดยใช้โปรแกรม AutoCAD

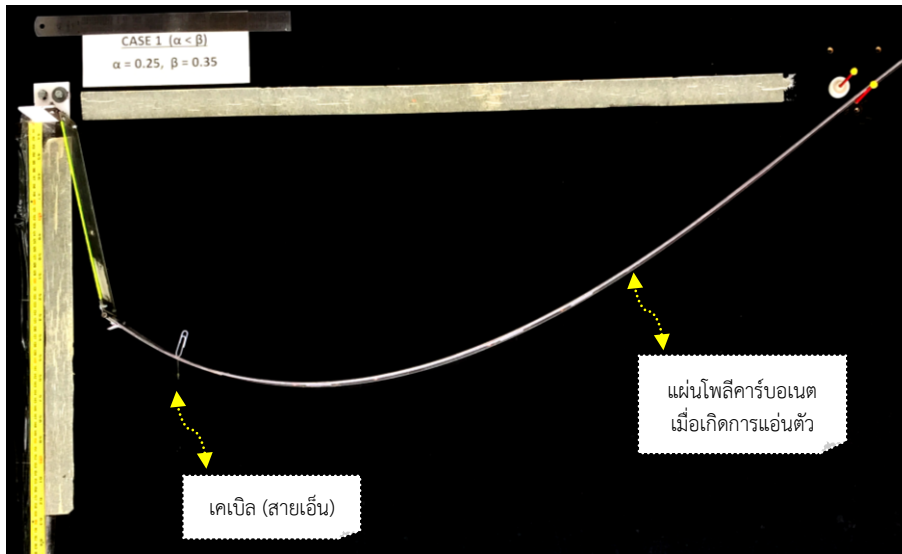
3.4.2.3.6 นำค่าของตัวแปรต่าง ๆ ที่ได้จากการทดสอบอิลาสติกคาตัวอย่าง
ไปสรุปผล และเปรียบเทียบกับผลลัพธ์ที่ได้จากการคำนวณเชิงตัวเลขด้วยโปรแกรม MATLAB



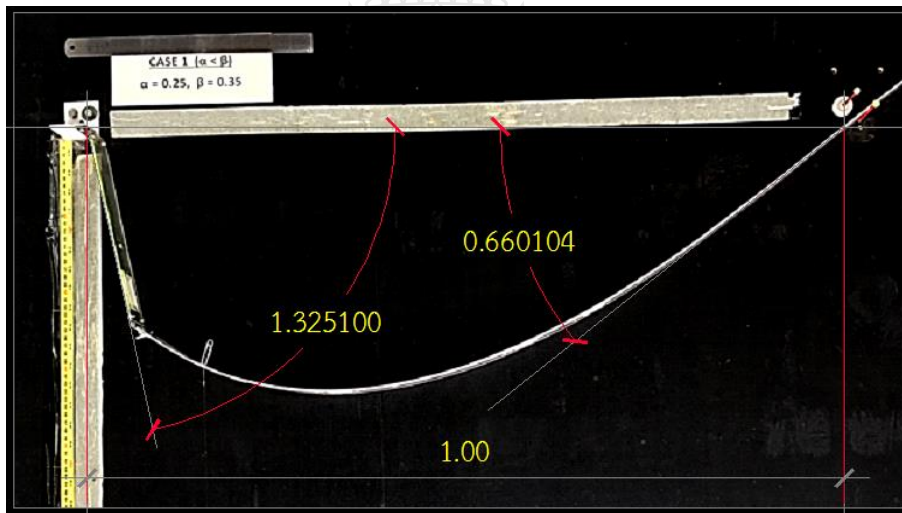
รูปที่ 3.16 การจับยึดแผ่นโพลีคาร์บอเนตทั้งสองด้านของการทดสอบ (โดยที่จุด A จำลองเป็นจุดรองรับแบบข้อหมุน และที่จุด B จำลองเป็นจุดรองรับแบบไร้แรงเสียดทาน)



รูปที่ 3.17 แบบจำลองจุด C (สปริงต้านทานการหมุนที่ใช้ในการทดลอง)



รูปที่ 3.18 ลักษณะการแอ่นตัวของอิลาสติกคาตัวอย่างที่จำลองจากวัสดุแผ่นโพลีคาร์บอเนต



รูปที่ 3.19 การวัดค่าการโก่งตัวของอิลาสติกคาตัวอย่างที่จำลองจากวัสดุแผ่นโพลีคาร์บอเนตด้วยโปรแกรม AutoCAD

บทที่ 4

ผลการศึกษาและการวิเคราะห์

การศึกษางานวิจัยนี้ เพื่อศึกษาผลของจุดต้านทานการหมุนต่อพฤติกรรมการแอ่นตัวมากของอิลาสติกคาที่มีความยาวส่วนโค้งแปรเปลี่ยนได้ภายใต้แรงกระทำแบบจุดกระทำ ณ ตำแหน่งใด ๆ และมีจุดต้านทานการหมุนแบบสปริงอยู่ภายในช่วงของอิลาสติกคา ณ ตำแหน่งใด ๆ โดยที่ปลายด้านหนึ่งของอิลาสติกคาถูกรองรับด้วยจุดรองรับที่หมุนได้อย่างอิสระ ส่วนที่ปลายอีกด้านหนึ่งวางพาดอยู่บนจุดรองรับที่เลื่อนได้โดยไร้แรงเสียดทาน ซึ่งหาผลเฉลยเชิงตัวเลขโดยใช้ระเบียบวิธียิงเป้าและการอินทิเกรตเชิงตัวเลขแบบรุงเง - คุดตา ในการหาผลเฉลยได้กำหนดรูปแบบตำแหน่งของจุดต้านทานการหมุนแบบสปริงไว้ 3 กรณี คือ กรณีที่ระยะ $\alpha < \beta$, $\alpha = \beta$ และ $\alpha > \beta$ และเพื่อให้เกิดความต้านทานที่หลากหลายในแต่ละกรณีได้กำหนดค่าสตีเฟเนส $\bar{K} = 1, 10$ และ 100 พร้อมทั้งนำผลที่ได้จากการคำนวณไปเปรียบเทียบกับผลการทดสอบตัวอย่างกรณีวัสดุเป็นแบบเชิงเส้น มีรายละเอียดดังนี้

4.1 ผลการศึกษาในกรณีที่ 1 ($\alpha < \beta$)

4.1.1 ตรวจสอบและเปรียบเทียบความถูกต้องของผลการคำนวณ

เพื่อให้เกิดความมั่นใจในแบบจำลองทางคณิตศาสตร์และโปรแกรมที่ถูกพัฒนาขึ้นมาขึ้นนั้น จำเป็นต้องมีการตรวจสอบความถูกต้องของคำตอบที่ได้ โดยนำไปเปรียบเทียบกับผลการคำนวณพฤติกรรมการแอ่นตัวมากของอิลาสติกคาที่มีความยาวส่วนโค้งแปรเปลี่ยนได้ที่มีความต่อเนื่องกัน (Single VAL Elastica) จากตารางที่ 4.1 ในกรณีที่ตำแหน่งของสปริงมีค่าคงที่ $\alpha = 0.25$ และตำแหน่งของแรงกระทำมีค่า $\beta = 0.35$ ตารางที่ 4.2 ในกรณีที่ตำแหน่งของสปริงมีค่าคงที่ $\alpha = 0.50$ และตำแหน่งของแรงกระทำมีค่า $\beta = 0.60$ และตารางที่ 4.2 ในกรณีที่ตำแหน่งของสปริงมีค่าคงที่ $\alpha = 0.75$ และตำแหน่งของแรงกระทำมีค่า $\beta = 0.85$ เมื่อทำการเปรียบเทียบผลของอิลาสติกคาที่มีค่าสตีเฟเนสของสปริง $\bar{K} = 100$ กับอิลาสติกคาที่มีความยาวต่อเนื่องกัน (Single VAL Elastica) พบว่าคำตอบที่ได้นั้นมีค่าที่ใกล้เคียงกัน

ตารางที่ 4.1 ความสัมพันธ์ระหว่าง $\bar{S}_t, \bar{P}, \theta_B, \bar{x}_C, \bar{y}_C, \bar{x}^*, \theta_A, \Delta\theta$ ในกรณีที่ 1 ($\alpha < \beta$) โดยพิจารณาค่าคงที่ $\alpha = 0.25$ ค่า $\beta = 0.35$ ค่า $\bar{K} = 1, 10$ และ 100 และ Single VAL Elastica

\bar{K}	\bar{S}_t	\bar{P}	θ_B	\bar{x}_C	\bar{y}_C	\bar{x}^*	θ_A	$\Delta\theta$
1	1.00	0.000000	0.000000	0.000000	0.000000	0.000000	0.000000	0.000000
	1.10	5.826152	0.369639	0.177328	-0.176128	0.277150	-0.807885	0.636614
	1.20	13.253158	0.513564	0.106857	-0.225908	0.204185	-1.159298	0.782203
	1.30	31.686964	0.635870	0.055329	-0.243736	0.141621	-1.371746	0.697561
	1.40	77.076877	0.714331	0.027653	-0.248448	0.089773	-1.472136	0.449445
	1.50	217.565822	0.747617	0.010719	-0.249769	0.040933	-1.530595	0.174437
	1.60	580.135418	0.757516	0.004154	-0.249523	0.016716	-1.554692	0.043726
10	1.00	0.000000	0.000000	0.000000	0.000000	0.000000	0.000000	0.000000
	1.10	12.067276	0.485076	0.196379	-0.154204	0.290827	-0.721078	0.139533
	1.20	22.985228	0.622573	0.142564	-0.204825	0.228093	-1.027980	0.175863
	1.30	41.055904	0.690739	0.090613	-0.232568	0.162947	-1.260026	0.182796
	1.40	79.878994	0.727243	0.045707	-0.245572	0.099176	-1.428659	0.155758
	1.50	213.421123	0.748664	0.014348	-0.249561	0.042403	-1.526409	0.083406
	1.55	509.600947	0.756163	0.005175	-0.249945	0.018872	-1.552549	0.032007
100	1.00	0.000000	0.000000	0.000000	0.000000	0.000000	0.000000	0.000000
	1.10	13.448045	0.504234	0.201623	-0.147125	0.293849	-0.693397	0.015939
	1.20	25.249086	0.639377	0.151478	-0.198121	0.233032	-0.994032	0.020666
	1.30	43.705193	0.701371	0.100796	-0.228124	0.168280	-1.228651	0.022469
	1.40	81.163435	0.731876	0.053763	-0.243768	0.103099	-1.409504	0.020813
	1.50	210.380504	0.749439	0.017184	-0.249339	0.043545	-1.523044	0.013323
	1.54	405.378462	0.754932	0.007614	-0.249873	0.023499	-1.547621	0.007745
Single VAL Elastica	1.00	0.000000	0.000000	-	-	0.000000	0.000000	-
	1.10	13.620169	0.506467	-	-	0.294221	-0.689690	-
	1.20	25.540472	0.641355	-	-	0.233651	-0.989519	-
	1.30	44.062195	0.702681	-	-	0.168984	-1.224354	-
	1.40	81.357209	0.732528	-	-	0.103683	-1.406590	-
	1.50	209.816435	0.749583	-	-	0.043763	-1.522390	-
	1.54	404.491904	0.754967	-	-	0.023566	-1.547496	-

ตารางที่ 4.2 ความสัมพันธ์ระหว่าง $\bar{S}_t, \bar{P}, \theta_B, \bar{x}_C, \bar{y}_C, \bar{x}^*, \theta_A, \Delta\theta$ ในกรณีที่ 1 ($\alpha < \beta$) โดยพิจารณาค่าคงที่ $\alpha = 0.50$ ค่า $\beta = 0.65$ ค่า $\bar{K} = 1, 10$ และ 100 และ Single VAL Elastica

\bar{K}	\bar{S}_t	\bar{P}	θ_B	\bar{x}_C	\bar{y}_C	\bar{x}^*	θ_A	$\Delta\theta$
1	1.00	0.000000	0.000000	0.000000	0.000000	0.000000	0.000000	0.000000
	1.10	4.172768	0.476619	0.445965	-0.225115	0.542893	-0.513823	0.587327
	1.20	8.613752	0.624170	0.384118	-0.319077	0.481349	-0.748364	0.763229
	1.30	18.203721	0.714754	0.317168	-0.385776	0.416273	-0.933273	0.833302
	1.40	44.678391	0.766689	0.251587	-0.431772	0.350932	-1.075036	0.774750
	1.50	89.724209	0.780742	0.189874	-0.462447	0.282181	-1.197034	0.629074
10	1.00	0.000000	0.000000	0.000000	0.000000	0.000000	0.000000	0.000000
	1.06	7.868035	0.463407	0.470729	-0.163149	0.570523	-0.426855	0.122470
	1.12	14.375196	0.620604	0.440227	-0.231511	0.540061	-0.593641	0.162588
	1.18	24.492946	0.710273	0.408288	-0.283984	0.507903	-0.714166	0.188286
	1.24	40.186181	0.755107	0.374470	-0.327920	0.473216	-0.811837	0.205813
	1.30	60.497651	0.773354	0.338610	-0.365541	0.435558	-0.899847	0.215985
	1.36	82.371171	0.780080	0.300978	-0.397640	0.395055	-0.984962	0.219496
100	1.00	0.000000	0.000000	0.000000	0.000000	0.000000	0.000000	0.000000
	1.06	9.423444	0.482553	0.471648	-0.158378	0.571533	-0.432752	0.014575
	1.12	17.572478	0.642283	0.442537	-0.225098	0.542144	-0.596106	0.019562
	1.18	30.549887	0.726772	0.411992	-0.277035	0.510749	-0.712070	0.023145
	1.24	49.902414	0.763891	0.379265	-0.321171	0.476334	-0.806827	0.025982
	1.30	73.310353	0.777292	0.344242	-0.359282	0.438668	-0.893912	0.027978
	1.32	81.352791	0.779381	0.332109	-0.370765	0.425438	-0.922381	0.028447
Single VAL Elastica	1.00	0.000000	0.000000	-	-	0.000000	0.000000	-
	1.06	9.631626	0.484922	-	-	0.571656	-0.433401	-
	1.12	18.011024	0.644884	-	-	0.542397	-0.596307	-
	1.18	31.393957	0.728637	-	-	0.511090	-0.711746	-
	1.24	51.256143	0.764829	-	-	0.476709	-0.806200	-
	1.30	75.108448	0.777706	-	-	0.439050	-0.893183	-
	1.32	83.268479	0.779698	-	-	0.425820	-0.921641	-

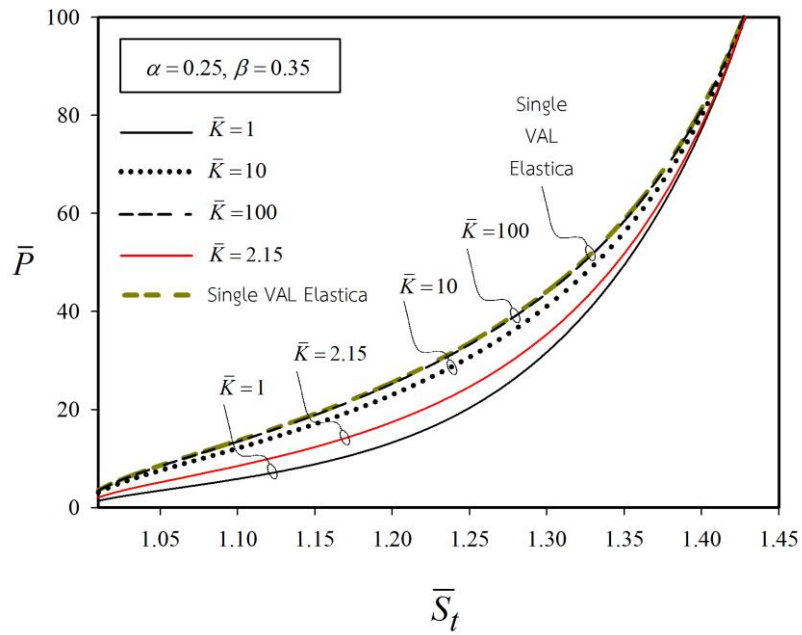
ตารางที่ 4.3 ความสัมพันธ์ระหว่าง $\bar{S}_t, \bar{P}, \theta_B, \bar{x}_C, \bar{y}_C, \bar{x}^*, \theta_A, \Delta\theta$ ในกรณีที่ 1 ($\alpha < \beta$) โดยพิจารณาค่าคงที่ $\alpha = 0.75$ ค่า $\beta = 0.85$ ค่า $\bar{K} = 1, 10$ และ 100 และ Single VAL Elastica

\bar{K}	\bar{S}_t	\bar{P}	θ_B	\bar{x}_C	\bar{y}_C	\bar{x}^*	θ_A	$\Delta\theta$
1	1.00	0.000000	0.000000	0.000000	0.000000	0.000000	0.000000	0.000000
	1.01	2.261254	0.254772	0.747279	-0.060963	0.844875	-0.109408	0.231796
	1.02	3.512668	0.355495	0.744493	-0.087053	0.839967	-0.153934	0.323151
	1.03	4.821002	0.430267	0.741646	-0.107622	0.835265	-0.187299	0.390111
	1.04	6.416127	0.492056	0.738744	-0.125404	0.830779	-0.214364	0.443775
	1.05	8.642125	0.546722	0.735803	-0.141433	0.826556	-0.236583	0.488048
10	1.00	0.000000	0.000000	0.000000	0.000000	0.000000	0.000000	0.000000
	1.01	6.111291	0.265584	0.746310	-0.055932	0.844835	-0.146472	0.062915
	1.02	9.807289	0.378330	0.742902	-0.080711	0.840196	-0.199749	0.089996
	1.03	14.235902	0.468885	0.739839	-0.100795	0.836177	-0.233300	0.111764
	1.04	21.084775	0.552341	0.737265	-0.118568	0.833008	-0.251461	0.131239
	1.05	36.640877	0.641093	0.735546	-0.134559	0.831367	-0.249219	0.148603
100	1.00	0.000000	0.000000	0.000000	0.000000	0.000000	0.000000	0.000000
	1.01	7.248829	0.265063	0.745870	-0.053460	0.844682	-0.155723	0.007509
	1.02	11.795953	0.381311	0.742182	-0.077560	0.840036	-0.210941	0.010923
	1.03	17.584805	0.478287	0.739074	-0.097398	0.836245	-0.243292	0.013857
	1.04	27.653968	0.572626	0.736856	-0.115187	0.833740	-0.255230	0.016757
	1.05	56.598453	0.678293	0.736203	-0.130725	0.833598	-0.237049	0.019635
Single VAL Elastica	1.00	0.000000	0.000000	-	-	0.000000	0.000000	-
	1.01	7.397321	0.264841	-	-	0.844656	-0.156881	-
	1.02	12.060924	0.381531	-	-	0.840005	-0.212351	-
	1.03	18.050496	0.479424	-	-	0.836243	-0.244519	-
	1.04	28.658412	0.575449	-	-	0.833841	-0.255469	-
	1.05	60.096853	0.683268	-	-	0.833911	-0.235028	-

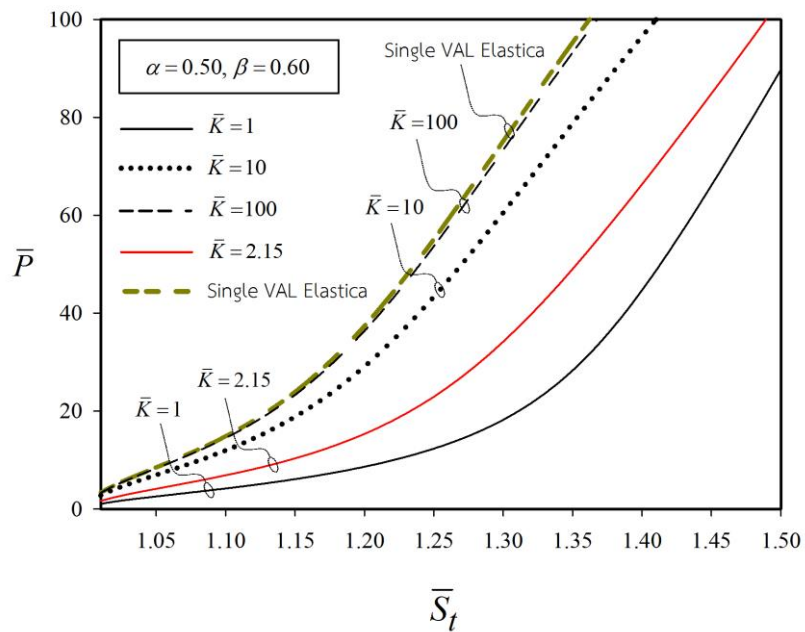
4.1.2 พฤติกรรมการแอ่นตัวของอิลาสติกคา

เมื่อนำผลที่ได้มาเขียนเส้นโค้งการเบี่ยงเบนของแรง (Load - Deflection Curves) ดังแสดงในกราฟรูปที่ 4.1, 4.2 และ 4.3 แสดงความสัมพันธ์ระหว่างแรงกระทำ (\bar{P}) กับความยาวส่วนโค้ง (\bar{S}_r) เมื่อแปรผันค่า \bar{K} ตั้งแต่ 1 - 100 (ระบบจะไร้เสถียรภาพเมื่อกำหนดให้ $\bar{K}=0$) และแปรผันค่า $\alpha=0.25$, $\beta=0.35$, $\alpha=0.50$, $\beta=0.60$ และ $\alpha=0.75$, $\beta=0.85$ เริ่มแรกเมื่อทำการเพิ่มแรง \bar{P} ให้กับอิลาสติกคา ค่าของแรง \bar{P} จะเพิ่มขึ้นในขณะที่ความยาวส่วนโค้งทั้งหมด \bar{S}_r ก็เพิ่มขึ้นเช่นกัน ซึ่งเป็นการเพิ่มขึ้นอย่างต่อเนื่องโดยไม่พบจุดวิกฤต ดังกรณีที่ $\alpha=0.25$, $\beta=0.35$, $\alpha=0.50$, $\beta=0.60$ (รูปที่ 4.1 และ 4.2) จะเห็นได้ว่าอิลาสติกคามีการแอ่นตัวเพิ่มขึ้นเมื่อแรงกระทำ \bar{P} มีค่าเพิ่มขึ้นลักษณะเช่นนี้ความชันของกราฟความสัมพันธ์มีค่าเป็นบวกเป็นการบ่งบอกถึงระบบที่มีเสถียรภาพ (สมดุลแบบมีเสถียรภาพ) และเมื่อทำการเพิ่มแรงอย่างต่อเนื่องอิลาสติกคาจะเกิดการตั้งรับ ทำให้ความชันของกราฟมีค่าที่สูงมาก โดยที่การเปลี่ยนแปลงความยาวส่วนโค้งทั้งหมด \bar{S}_r ที่เพิ่มขึ้นเพียงเล็กน้อยทำให้เกิดการเปลี่ยนแปลงของแรงกระทำ \bar{P} ที่มีค่ามากจนกระทั่งไม่สามารถคำนวณผลได้อีกต่อไป และพฤติกรรมในลักษณะดังกล่าวจะพบได้ในกรณีที่ $\alpha=0.75$, $\beta=0.85$ ในขณะที่ผลกระทบของสติฟเนสของสปริง จะพบว่าค่าสติฟเนสของสปริงที่มีค่าน้อยส่งผลให้ระบบมีสติฟเนสต่ำในช่วงแรกแต่เมื่อระบบเกิดการยึดรั้งสติฟเนสของอิลาสติกคาจะมีค่าที่เพิ่มขึ้นอย่างรวดเร็ว และเมื่อสติฟเนสของสปริงต้านทานการหมุนมีค่าที่เพิ่มขึ้น พฤติกรรมของอิลาสติกคาจะสอดคล้องกับพฤติกรรมของอิลาสติกคาที่มีความยาวต่อเนื่องกัน โดยภาพรวมทั้งหมดของพฤติกรรมการแอ่นตัวของอิลาสติกคาที่เกิดขึ้นในแต่ละกรณีได้แสดงไว้ในกราฟรูปที่ 4.4 ซึ่งจะเห็นได้ว่าตำแหน่งของน้ำหนักบรรทุกที่อยู่ใกล้จุดรองรับด้านใดด้านหนึ่งมีโอกาสเกิดการตั้งรับของอิลาสติกคาสูงทำให้ความยาวส่วนโค้งทั้งหมดมีค่าน้อยเมื่อเทียบกับกรณีที่น้ำหนักบรรทุกกระทำอยู่บริเวณกึ่งกลางอิลาสติกคา

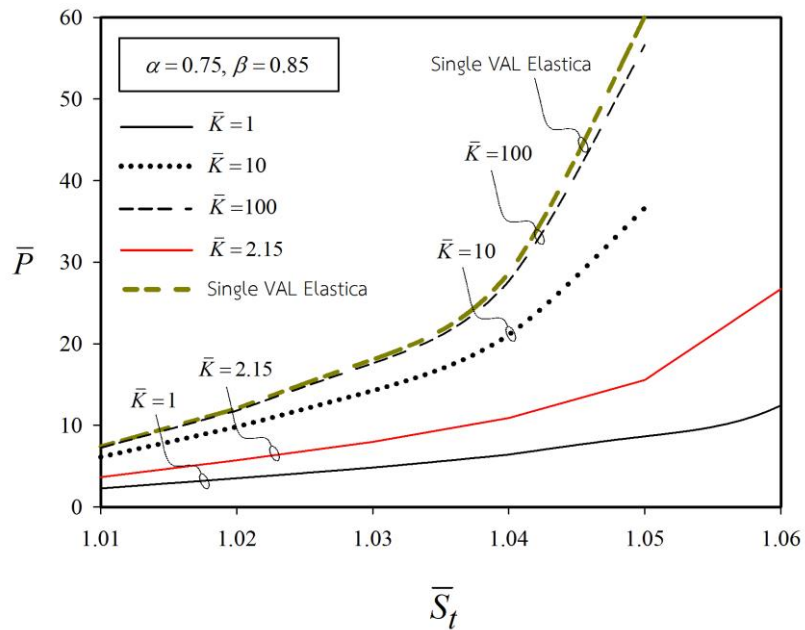
จากกราฟในรูปที่ 4.5, 4.6 และ 4.7 แสดงรูปร่างการแอ่นตัวของอิลาสติกคา เมื่อกำหนดแรง $\bar{P}=35.00$ แปรผันค่า $\alpha=0.25$, $\beta=0.35$, $\bar{P}=80.00$ แปรผันค่า $\alpha=0.50$, $\beta=0.60$ และ $\bar{P}=25.00$ แปรผันค่า $\alpha=0.75$, $\beta=0.85$ โดยในทุก ๆ กรณีจะแปรผันค่า \bar{K} ตั้งแต่ 1, 10, 100, 2.15 และอิลาสติกคาที่มีความยาวต่อเนื่องกัน (Single VAL Elastica) แสดงให้เห็นว่าเมื่อค่าสติฟเนสของสปริงมีค่าน้อย พฤติกรรมการแอ่นตัวของอิลาสติกคาจะแสดงให้เห็นถึงจุดต้านทานการหมุนที่ส่งถ่ายค่าโมเมนต์ตัดได้อย่างไม่สมบูรณ์เกิดเป็นจุดหักมุมที่ชัดเจน และเมื่อแปรผันค่าสติฟเนสของสปริงให้มีค่าที่มากขึ้นอิลาสติกคาจะมีพฤติกรรมการแอ่นตัวที่มีค่าใกล้เคียง และสอดคล้องกับอิลาสติกคาที่มีความยาวต่อเนื่องกัน (Single VAL Elastica) เมื่อมีแรงกระทำที่เท่ากัน โดยที่ตำแหน่งของแรงกระทำ (กากบาทสีแดง) และตำแหน่งของสปริง (วงกลมสีแดง) จะยึดติดอยู่กับตำแหน่งเดิมเสมอ และเมื่อความยาวส่วนโค้งเพิ่มขึ้นจนกระทั่งเกิดการตั้งรับจะทำให้ไม่สามารถเพิ่มความยาวส่วนโค้งต่อไปได้อีก



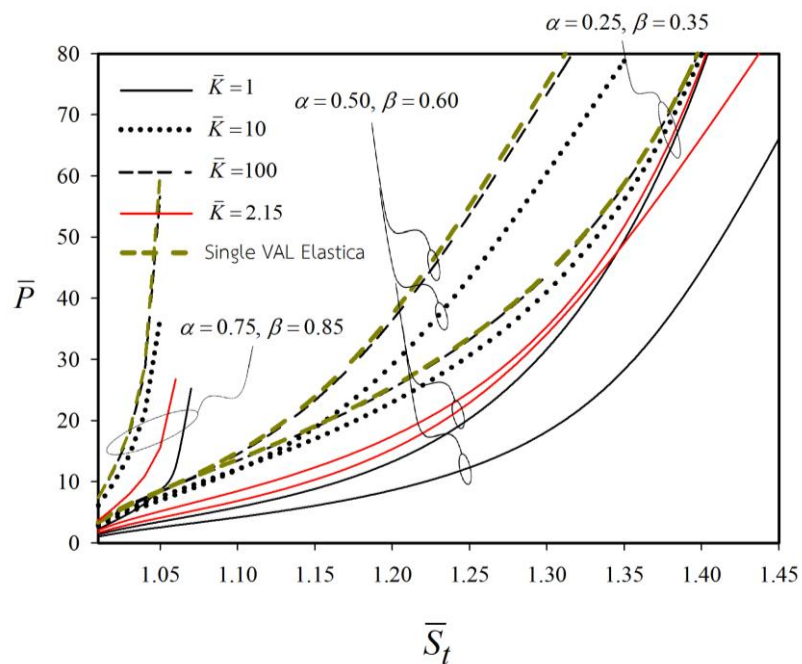
รูปที่ 4.1 ความสัมพันธ์ระหว่างแรงกระทำ \bar{P} กับความยาวส่วนโค้ง \bar{S}_t กรณีที่ 1 ($\alpha < \beta$)
เมื่อค่า $\alpha = 0.25$, $\beta = 0.35$ และ $\bar{K} = 1, 10, 100, 2.15$, Single VAL Elastica



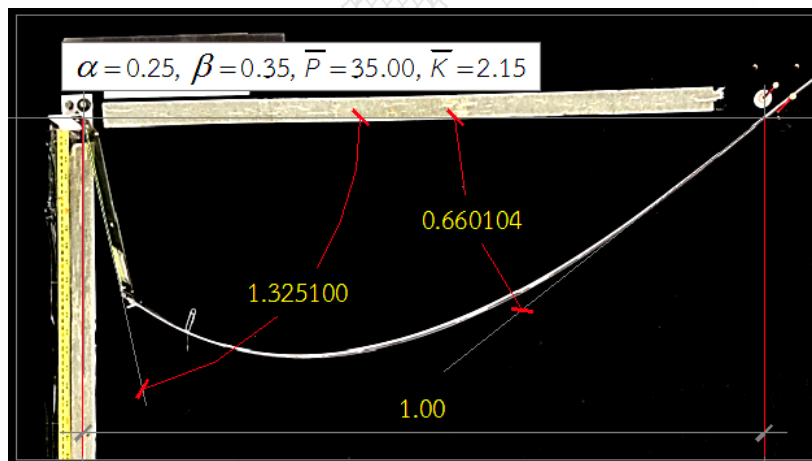
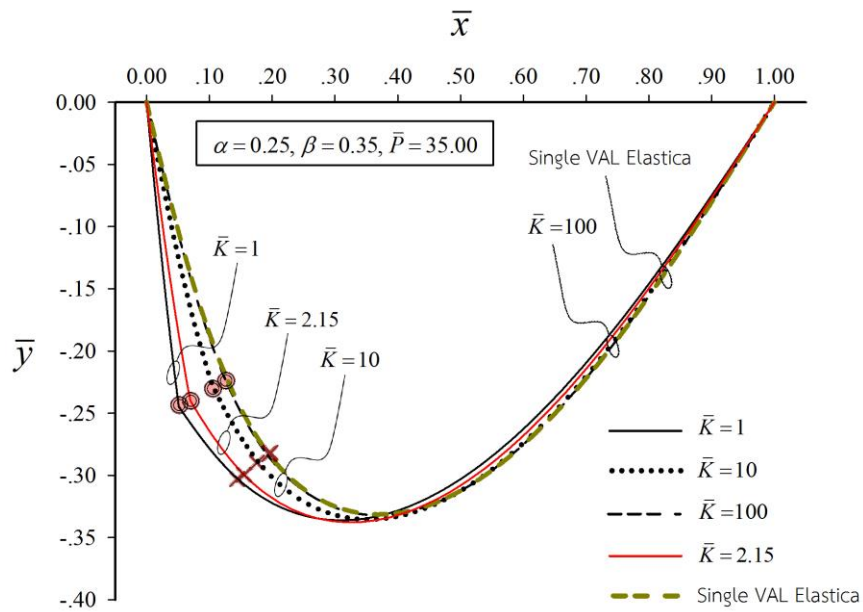
รูปที่ 4.2 ความสัมพันธ์ระหว่างแรงกระทำ \bar{P} กับความยาวส่วนโค้ง \bar{S}_t กรณีที่ 1 ($\alpha < \beta$)
เมื่อค่า $\alpha = 0.50$, $\beta = 0.60$ และ $\bar{K} = 1, 10, 100, 2.15$, Single VAL Elastica



รูปที่ 4.3 ความสัมพันธ์ระหว่างแรงกระทำ \bar{P} กับความยาวส่วนโค้ง \bar{S}_t กรณีที่ 1 ($\alpha < \beta$)
เมื่อค่า $\alpha=0.75, \beta=0.85$ และ $\bar{K}=1, 10, 100, 2.15$, Single VAL Elastica

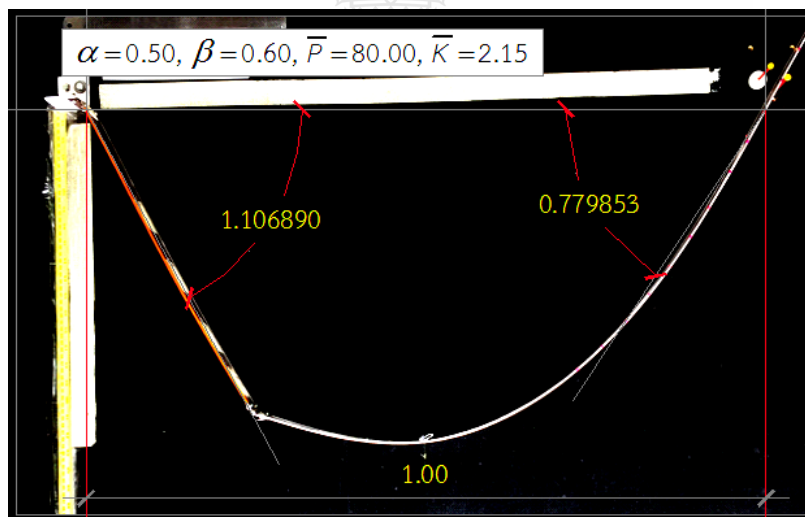
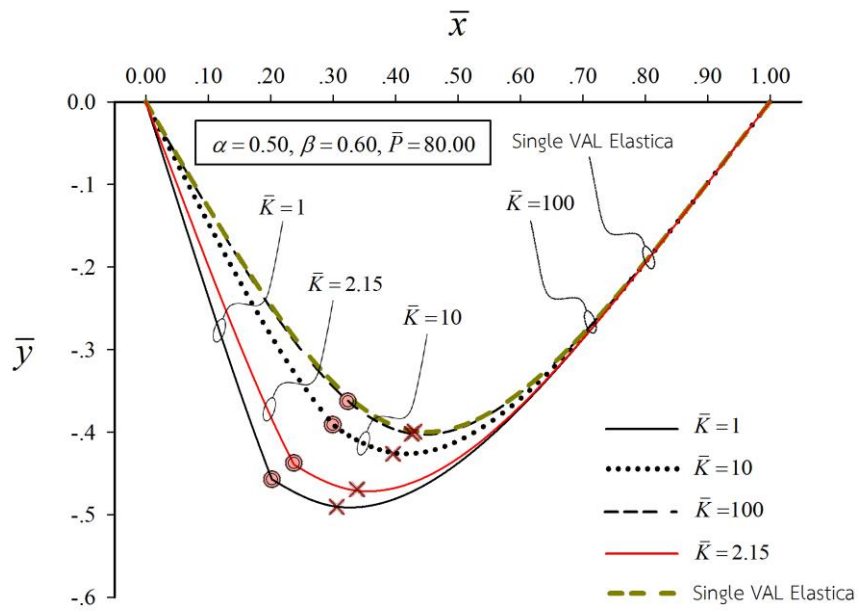


รูปที่ 4.4 ความสัมพันธ์ระหว่างแรงกระทำ \bar{P} กับความยาวส่วนโค้ง \bar{S}_t กรณีที่ 1 ($\alpha < \beta$)
เมื่อค่า $\alpha=0.25, \beta=0.35, \alpha=0.50, \beta=0.60, \alpha=0.75, \beta=0.85$
และ $\bar{K}=1, 10, 100, 2.15$, Single VAL Elastica



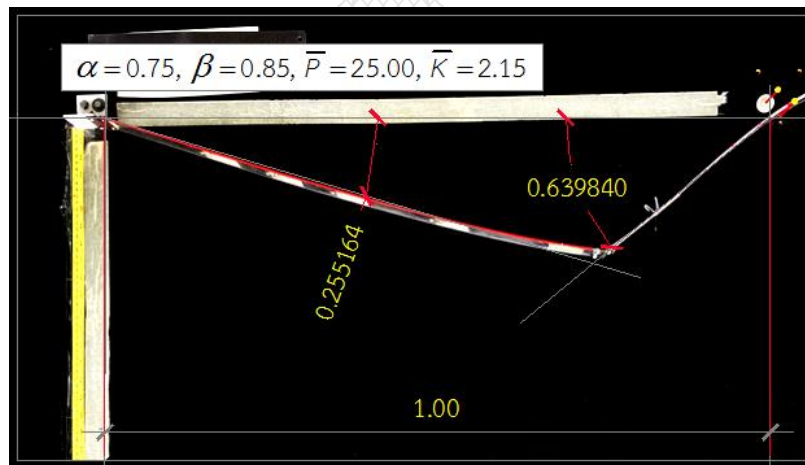
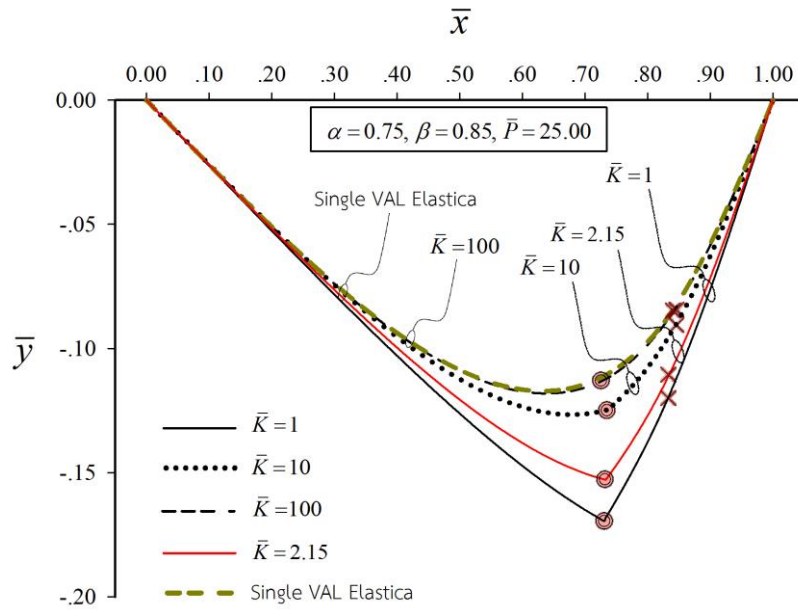
\bar{K}	\bar{S}_t	\bar{P}	θ_B	\bar{x}_C	\bar{y}_C	\bar{x}^*	θ_A	$\Delta\theta$
2.15	1.298706	35.000116	0.660104	0.069698	-0.239934	0.151274	-1.325100	0.504310

รูปที่ 4.5 รูปร่างการแอ่นตัวของอีลาสติกคากรณีที่ 1 ($\alpha < \beta$) เมื่อขนาดของแรงกระทำ $\bar{P} = 35.00$ ค่า $\alpha = 0.25$, $\beta = 0.35$ และ $\bar{K} = 1, 10, 100, 2.15, \text{Single VAL Elastica}$



\bar{K}	\bar{S}_t	\bar{P}	θ_B	\bar{x}_C	\bar{y}_C	\bar{x}^*	θ_A	$\Delta\theta$
2.15	1.437165	80.000075	0.779853	0.237754	-0.439464	0.332463	-1.106890	0.528954

รูปที่ 4.6 รูปร่างการแอ่นตัวของอีลาสติคคากรณีที่ 1 ($\alpha < \beta$) เมื่อขนาดของแรงกระทำ $\bar{P} = 80.00$ ค่า $\alpha = 0.50$, $\beta = 0.60$ และ $\bar{K} = 1, 10, 100, 2.15$, Single VAL Elastica



\bar{K}	\bar{S}_t	\bar{P}	θ_B	\bar{x}_C	\bar{y}_C	\bar{x}^*	θ_A	$\Delta\theta$
2.15	1.059134	25.001233	0.639840	0.733193	-0.152886	0.825655	-0.255164	0.393921

รูปที่ 4.7 รูปร่างการแอ่นตัวของอิลาสติกคาร์กิ้นที่ 1 ($\alpha < \beta$) เมื่อขนาดของแรงกระทำ $\bar{P} = 25.00$ ค่า $\alpha = 0.75$, $\beta = 0.85$ และ $\bar{K} = 1, 10, 100, 2.15, \text{Single VAL Elastica}$

4.2 ผลการศึกษาในกรณีที่ 2 ($\alpha = \beta$)

4.2.1 ตรวจสอบและเปรียบเทียบความถูกต้องของผลการคำนวณ

จากตารางที่ 4.4, 4.5 และ 4.6 แสดงการเปรียบเทียบผลของอิลาสติกคาที่มีค่าสตีเฟนสของสปริง $\bar{K} = 100$ กับอิลาสติกคาที่มีความยาวต่อเนื่องกัน (Single VAL Elastica) ในกรณีที่ตำแหน่งของสปริงและแรงกระทำมีค่าเท่ากับ $\alpha = 0.25, 0.50, 0.75$ พบว่าคำตอบที่ได้มีค่าที่ใกล้เคียงกัน

ตารางที่ 4.4 ความสัมพันธ์ระหว่าง $\bar{S}_t, \bar{P}, \theta_B, \bar{x}^*, \bar{y}^*, \theta_A, \Delta\theta$ ในกรณีที่ 2 ($\alpha = \beta$)

โดยพิจารณาค่าคงที่ $\alpha = 0.25$ ค่า $\bar{K} = 1, 10, 100$ และ Single VAL Elastica

\bar{K}	\bar{S}_t	\bar{P}	θ_B	\bar{x}^*	\bar{y}^*	θ_A	$\Delta\theta$
1	1.00	0.000000	0.000000	0.000000	0.000000	0.000000	0.000000
	1.08	4.672940	0.288949	0.189041	-0.163479	-0.740535	0.673453
	1.16	9.699650	0.376687	0.123231	-0.217355	-1.092328	0.945224
	1.24	26.015014	0.424572	0.053221	-0.244087	-1.397034	1.158072
	1.29	181.297287	0.444897	0.008186	-0.249792	-1.560088	1.295172
10	1.00	0.000000	0.000000	0.000000	0.000000	0.000000	0.000000
	1.08	12.417125	0.408840	0.201367	-0.147243	-0.704335	0.183739
	1.16	23.230372	0.534874	0.150730	-0.198267	-1.015688	0.256241
	1.24	42.545817	0.605750	0.098705	-0.228435	-1.265241	0.312056
	1.32	99.545300	0.649802	0.047407	-0.244479	-1.466783	0.361873
	1.39	598.342154	0.680966	0.008787	-0.249645	-1.562840	0.414780
100	1.00	0.000000	0.000000	0.000000	0.000000	0.000000	0.000000
	1.08	14.577915	0.437074	0.206649	-0.139334	-0.679810	0.021939
	1.16	26.617925	0.568602	0.161448	-0.189118	-0.977076	0.030843
	1.24	45.655164	0.639850	0.114851	-0.220171	-1.213063	0.037820
	1.32	86.476564	0.681445	0.068716	-0.238718	-1.404609	0.043835
	1.40	241.049137	0.708770	0.027101	-0.247680	-1.532717	0.049684
	1.45	943.406781	0.723317	0.007425	-0.249701	-1.564023	0.054081
Single VAL Elastica	1.00	0.000000	0.000000	0.000000	-	0.000000	-
	1.08	14.854381	0.440512	0.207390	-	-0.676079	-
	1.16	27.044225	0.572633	0.162935	-	-0.971421	-
	1.24	46.038848	0.643814	0.117073	-	-1.205665	-
	1.32	85.383891	0.685015	0.071627	-	-1.395863	-
	1.40	220.675684	0.711559	0.030398	-	-1.525725	-
	1.45	696.947091	0.725147	0.010251	-	-1.561028	-

ตารางที่ 4.5 ความสัมพันธ์ระหว่าง $\bar{S}_t, \bar{P}, \theta_B, \bar{x}^*, \bar{y}^*, \theta_A, \Delta\theta$ ในกรณีที่ 2 ($\alpha = \beta$)
โดยพิจารณาค่าคงที่ $\alpha = 0.50$ ค่า $\bar{K} = 1, 10, 100$ และ Single VAL Elastica

\bar{K}	\bar{S}_t	\bar{P}	θ_B	\bar{x}^*	\bar{y}^*	θ_A	$\Delta\theta$
1	1.00	0.000000	0.000000	0.000000	0.000000	0.000000	0.000000
	1.10	3.179904	0.447555	0.445272	-0.226306	-0.520776	0.631631
	1.20	5.454395	0.569147	0.381183	-0.322205	-0.767106	0.858015
	1.30	8.140228	0.627974	0.307898	-0.392516	-0.978660	1.020412
	1.40	11.801602	0.654527	0.225735	-0.444732	-1.176753	1.153499
	1.50	19.187022	0.662532	0.135365	-0.480102	-1.366606	1.272845
	1.62	131.388685	0.661063	0.018600	-0.499421	-1.555182	1.449036
10	1.00	0.000000	0.000000	0.000000	0.000000	0.000000	0.000000
	1.10	9.778694	0.530762	0.446926	-0.215267	-0.585548	0.186494
	1.20	18.371665	0.670840	0.386804	-0.307266	-0.834404	0.262464
	1.30	29.709958	0.728807	0.318835	-0.376204	-1.034253	0.327089
	1.40	44.312528	0.751806	0.244056	-0.428738	-1.208034	0.384015
	1.50	67.498485	0.761375	0.164874	-0.466342	-1.358206	0.434766
	1.62	158.354357	0.767060	0.069200	-0.492806	-1.497348	0.499410
100	1.00	0.000000	0.000000	0.000000	0.000000	0.000000	0.000000
	1.10	12.272982	0.553009	0.447768	-0.209116	-0.601838	0.023254
	1.20	24.103534	0.694132	0.389383	-0.299332	-0.849691	0.033927
	1.30	40.482302	0.747063	0.323624	-0.367788	-1.044068	0.043988
	1.40	61.369412	0.765886	0.252070	-0.420516	-1.207937	0.053139
	1.50	91.880124	0.773185	0.177625	-0.458986	-1.345317	0.061113
	1.60	156.827275	0.776625	0.104008	-0.484197	-1.454144	0.068543
Single VAL Elastica	1.00	0.000000	0.000000	0.000000	-	0.000000	-
	1.10	12.627286	0.555849	0.447894	-	-0.603862	-
	1.20	24.968196	0.697006	0.389772	-	-0.851545	-
	1.30	42.184692	0.749183	0.324370	-	-1.045083	-
	1.40	64.128782	0.767421	0.253358	-	-1.207436	-
	1.50	95.779841	0.774393	0.179693	-	-1.342963	-
	1.60	160.909662	0.777619	0.107083	-	-1.450278	-

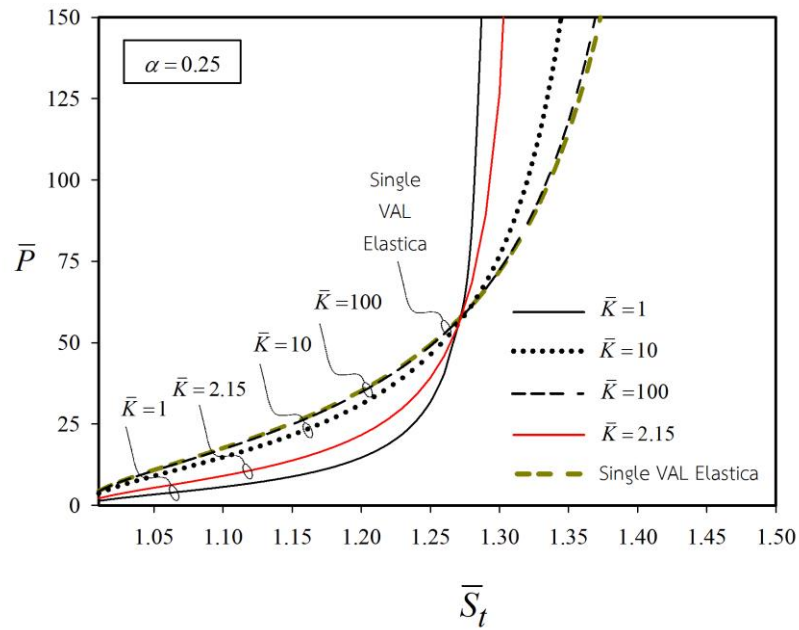
ตารางที่ 4.6 ความสัมพันธ์ระหว่าง $\bar{S}_t, \bar{P}, \theta_B, \bar{x}^*, \bar{y}^*, \theta_A, \Delta\theta$ ในกรณีที่ 2 ($\alpha = \beta$)
 โดยพิจารณาค่าคงที่ $\alpha = 0.75$ ค่า $\bar{K} = 1, 10, 100$ และ Single VAL Elastica

\bar{K}	\bar{S}_t	\bar{P}	θ_B	\bar{x}^*	\bar{y}^*	θ_A	$\Delta\theta$
1	1.00	0.000000	0.000000	0.000000	0.000000	0.000000	0.000000
	1.02	1.994275	0.343133	0.744439	-0.087039	-0.156499	0.333244
	1.04	3.154899	0.468997	0.738563	-0.125372	-0.221223	0.461150
	1.06	4.437359	0.556010	0.732366	-0.156246	-0.270552	0.554224
	1.08	6.088193	0.622226	0.725852	-0.183435	-0.311401	0.630058
	1.10	8.475988	0.674741	0.719028	-0.208370	-0.346000	0.696454
	1.18	88.530584	0.783427	0.688640	-0.296349	-0.425582	0.986204
10	1.00	0.000000	0.000000	0.000000	0.000000	0.000000	0.000000
	1.02	5.590120	0.340746	0.742147	-0.079426	-0.214229	0.095291
	1.04	9.072625	0.475040	0.734739	-0.116047	-0.293534	0.137037
	1.06	13.364085	0.573860	0.727770	-0.146555	-0.345796	0.172629
	1.08	19.943357	0.653190	0.721289	-0.174311	-0.379477	0.209040
	1.10	32.205271	0.716598	0.715324	-0.200658	-0.396099	0.253154
	1.13	80.900678	0.772063	0.706495	-0.238401	-0.400609	0.350817
100	1.00	0.000000	0.000000	0.000000	0.000000	0.000000	0.000000
	1.02	6.682037	0.333697	0.741017	-0.075347	-0.229494	0.011530
	1.04	10.963970	0.469990	0.732786	-0.110864	-0.313143	0.016944
	1.06	16.510549	0.573819	0.725359	-0.140966	-0.366099	0.021979
	1.08	25.851344	0.660251	0.718898	-0.168861	-0.396001	0.027873
	1.10	46.090006	0.729733	0.713490	-0.195886	-0.403248	0.036602
	1.12	94.242764	0.770230	0.708284	-0.222129	-0.399187	0.050881
Single VAL Elastica	1.00	0.000000	0.000000	0.000000	-	0.000000	-
	1.02	6.824257	0.332484	0.740852	-	-0.231418	-
	1.04	11.212824	0.468967	0.732492	-	-0.315670	-
	1.06	16.936258	0.573475	0.724986	-	-0.368771	-
	1.08	26.712012	0.660993	0.718512	-	-0.398168	-
	1.10	48.420668	0.731452	0.713174	-	-0.404033	-
	1.12	100.974842	0.771456	0.708013	-	-0.399164	-

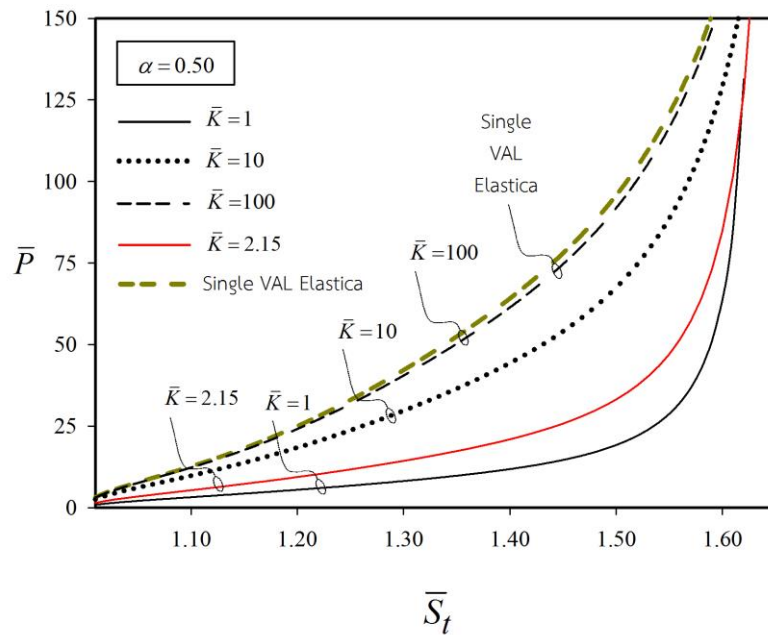
4.4.2 พฤติกรรมการแอ่นตัวของอิลาสติกคา

เมื่อนำผลที่ได้มาเขียนเส้นโค้งการเบี่ยงเบนของแรง (Load - Deflection Curves) ดังแสดงในกราฟรูปที่ 4.8, 4.9 และ 4.10 แสดงความสัมพันธ์ระหว่างแรงกระทำ (\bar{P}) กับความยาวส่วนโค้ง (\bar{S}_f) เมื่อแปรผันค่า \bar{K} ตั้งแต่ 1 - 100 (ระบบจะไร้เสถียรภาพเมื่อกำหนดให้ $\bar{K}=0$) และแปรผันค่า α ที่ระยะ 0.25, 0.50 และ 0.75 ตามลำดับ เริ่มแรกเมื่อทำการเพิ่มแรง \bar{P} ให้กับอิลาสติกคา ค่าของแรง \bar{P} จะเพิ่มขึ้นในขณะที่ความยาวส่วนโค้งทั้งหมด \bar{S}_f ก็เพิ่มขึ้นเช่นกันซึ่งเป็นการเพิ่มขึ้นอย่างต่อเนื่องโดยไม่พบจุดวิกฤต ดังกรณีที่ $\alpha=0.25$ (รูปที่ 4.8) จะเห็นได้ว่าอิลาสติกคามีการแอ่นตัวเพิ่มขึ้นเมื่อแรงกระทำ \bar{P} มีค่าเพิ่มขึ้น ลักษณะเช่นนี้ความชันของกราฟความสัมพันธ์มีค่าเป็นบวกเป็นการบ่งบอกถึงระบบที่มีเสถียรภาพ (สมดุลแบบมีเสถียรภาพ) และเมื่อทำการเพิ่มแรงอย่างต่อเนื่องอิลาสติกคา จะเกิดการตั้งรับทำให้ความชันของกราฟมีค่าที่สูงมาก โดยที่การเปลี่ยนแปลงความยาวส่วนโค้งทั้งหมด \bar{S}_f ที่เพิ่มขึ้นเพียงเล็กน้อยทำให้เกิดการเปลี่ยนแปลงของแรงกระทำ \bar{P} ที่มีค่ามากจนกระทั่งไม่สามารถคำนวณผลได้อีกต่อไป พฤติกรรมในลักษณะดังกล่าวจะพบได้ในกรณีที่ $\alpha=0.50$ และ 0.75 เช่นกัน ในขณะที่ผลกระทบบของสติเฟนสของสปริง จะพบว่าค่าสติเฟนสของสปริงที่มีค่าน้อยส่งผลให้ระบบมีสติเฟนสต่ำในช่วงแรก แต่เมื่อระบบเกิดการยึดตั้งสติเฟนสของอิลาสติกคาจะมีค่าที่เพิ่มขึ้นอย่างรวดเร็ว และเมื่อสติเฟนสของสปริงต้านทานการหมุนมีค่าที่เพิ่มขึ้น พฤติกรรมของอิลาสติกคาจะสอดคล้องกับพฤติกรรมของอิลาสติกคาที่มีความยาวต่อเนื่องกัน โดยที่ภาพรวมทั้งหมดของพฤติกรรมการแอ่นตัวของอิลาสติกคาที่เกิดขึ้นในแต่ละกรณีได้แสดงไว้ในกราฟรูปที่ 4.11 ซึ่งจะเห็นได้ว่าตำแหน่งของน้ำหนักบรรทุกที่อยู่ใกล้จุดรองรับด้านใดด้านหนึ่งมีโอกาสเกิดการตั้งรับของอิลาสติกคาสูงทำให้ความยาวส่วนโค้งทั้งหมดมีค่าน้อย เมื่อเทียบกับกรณีที่น้ำหนักบรรทุกกระทำอยู่บริเวณกึ่งกลางอิลาสติกคา

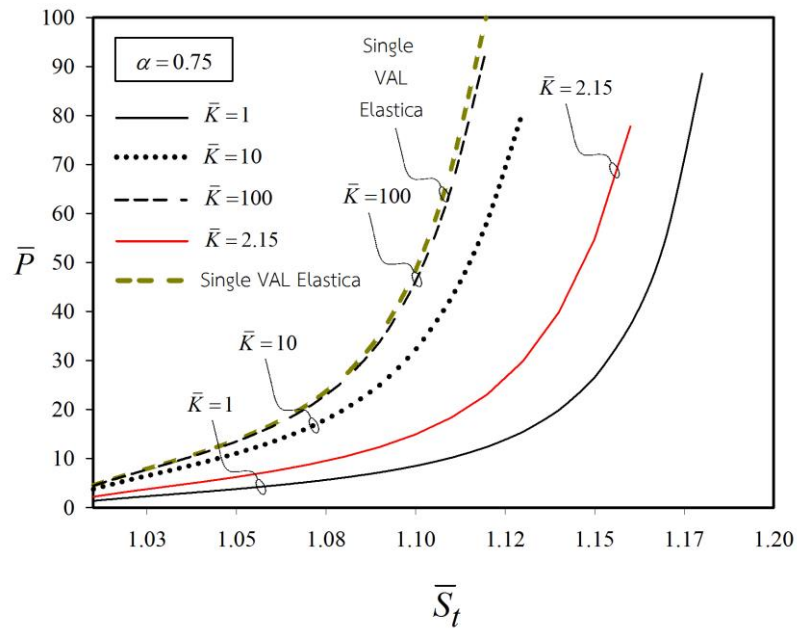
จากกราฟในรูปที่ 4.12, 4.13 และ 4.14 แสดงรูปร่างการแอ่นตัวของอิลาสติกคา เมื่อกำหนดแรง $\bar{P}=85.00$ โดยแปรผันค่า $\alpha=0.25, 0.50$ และ 0.75 แปรผันค่า \bar{K} ตั้งแต่ 1, 10, 100, 2.15 และอิลาสติกคาที่มีความยาวต่อเนื่องกัน (Single VAL Elastica) แสดงให้เห็นว่าเมื่อค่าสติเฟนสของสปริงมีค่าน้อย พฤติกรรมการแอ่นตัวของอิลาสติกคาจะแสดงให้เห็นถึงจุดต้านทานการหมุนที่ส่งถ่ายค่าโมเมนต์ตัดได้อย่างไม่สมบูรณ์เกิดเป็นจุดหักมุมที่ชัดเจน และเมื่อแปรผันค่าสติเฟนสของสปริงให้ มีค่าที่มากขึ้น อิลาสติกคาจะมีพฤติกรรมการแอ่นตัวที่มีค่าใกล้เคียงและสอดคล้องกับอิลาสติกคาที่มีความยาวต่อเนื่องกัน (Single VAL Elastica) เมื่อมีแรงกระทำที่เท่ากัน โดยที่ตำแหน่งของแรงกระทำ และสปริงจะยึดติดอยู่กับตำแหน่งเดิมเสมอ (วงกลมสีแดง) เมื่อความยาวส่วนโค้งเพิ่มขึ้นจนกระทั่งเกิดการตั้งรับทำให้ไม่สามารถเพิ่มความยาวส่วนโค้งต่อไปได้อีก



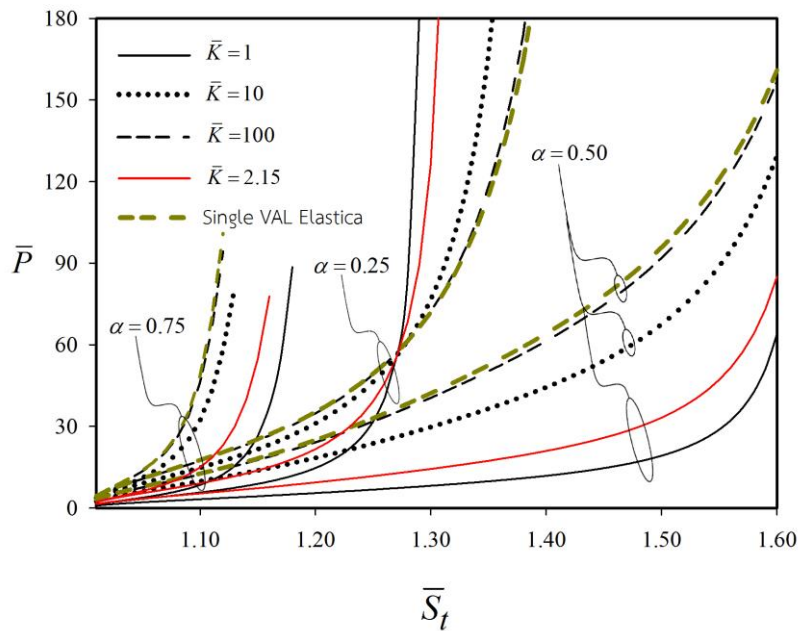
รูปที่ 4.8 ความสัมพันธ์ระหว่างแรงกระทำ \bar{P} กับความยาวส่วนโค้ง \bar{S}_t กรณีที่ 2 ($\alpha = \beta$)
เมื่อค่า $\alpha = 0.25$ และ $\bar{K} = 1, 10, 100, 2.15, \text{Single VAL Elastica}$



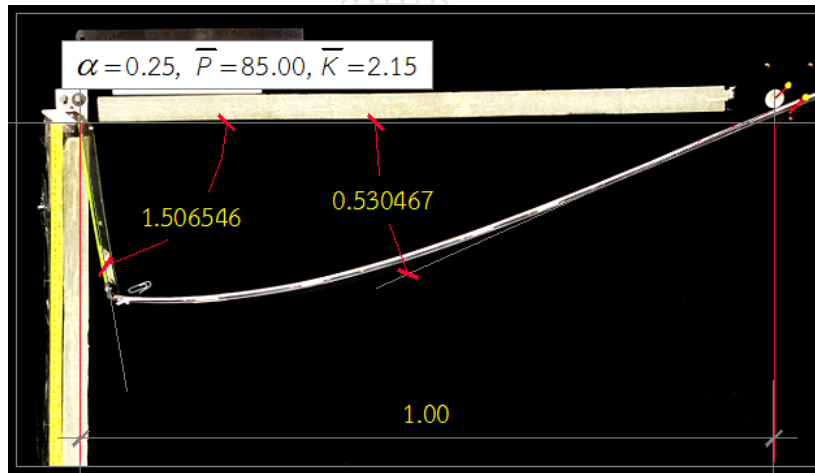
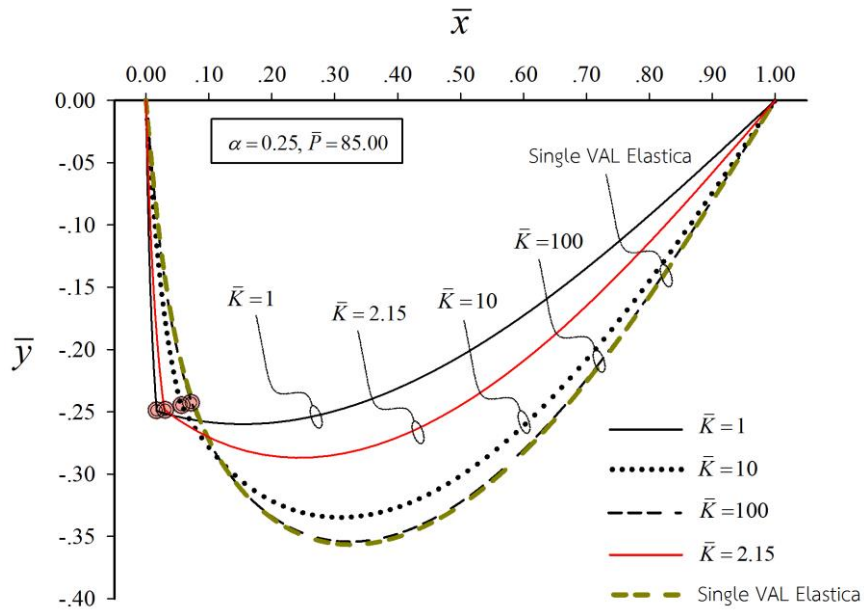
รูปที่ 4.9 ความสัมพันธ์ระหว่างแรงกระทำ \bar{P} กับความยาวส่วนโค้ง \bar{S}_t กรณีที่ 2 ($\alpha = \beta$)
เมื่อค่า $\alpha = 0.50$ และ $\bar{K} = 1, 10, 100, 2.15, \text{Single VAL Elastica}$



รูปที่ 4.10 ความสัมพันธ์ระหว่างแรงกระทำ \bar{P} กับความยาวส่วนโค้ง \bar{S}_t กรณีที่ 2 ($\alpha = \beta$)
เมื่อค่า $\alpha = 0.75$ และ $\bar{K} = 1, 10, 100, 2.15, \text{Single VAL Elastica}$

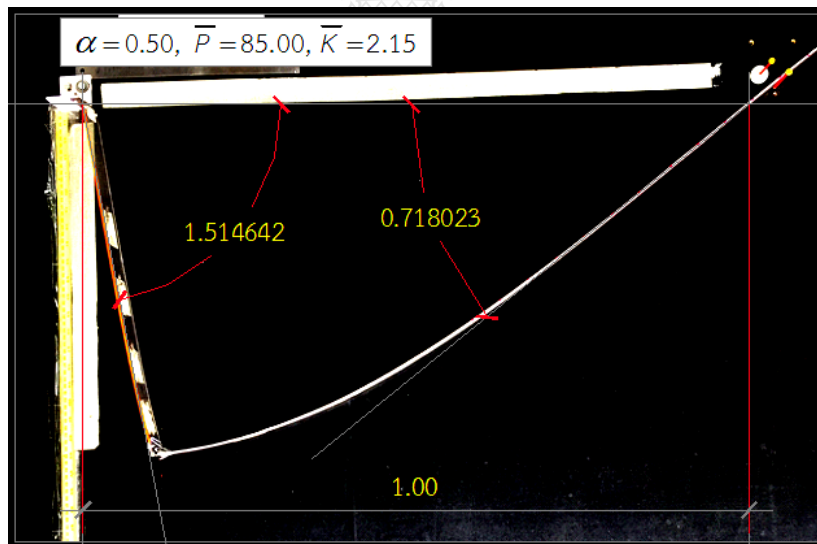
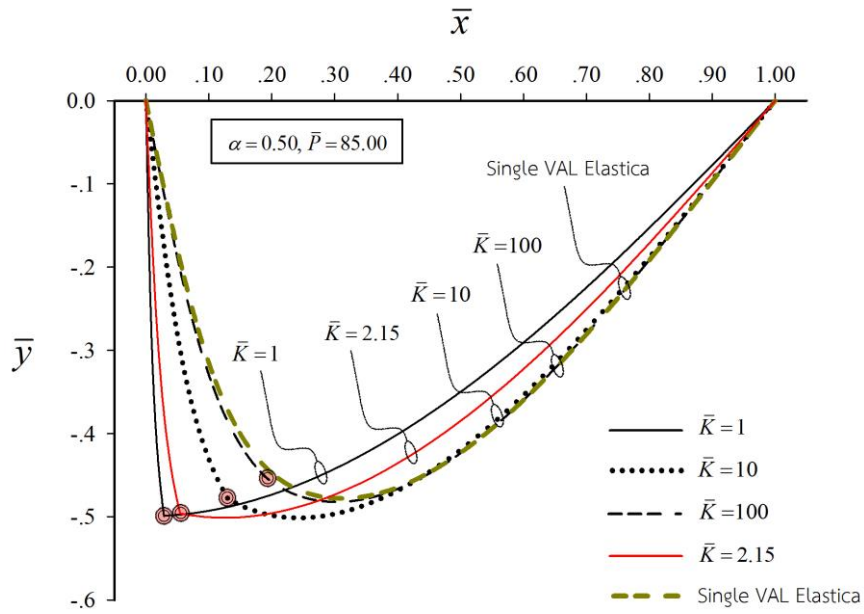


รูปที่ 4.11 ความสัมพันธ์ระหว่างแรงกระทำ \bar{P} กับความยาวส่วนโค้ง \bar{S}_t กรณีที่ 2 ($\alpha = \beta$)
เมื่อค่า $\alpha = 0.25, 0.50, 0.75$ และ $\bar{K} = 1, 10, 100, 2.15, \text{Single VAL Elastica}$



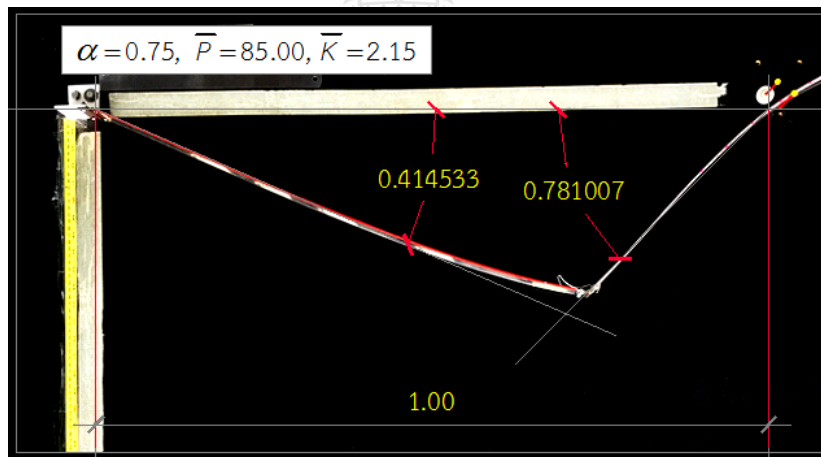
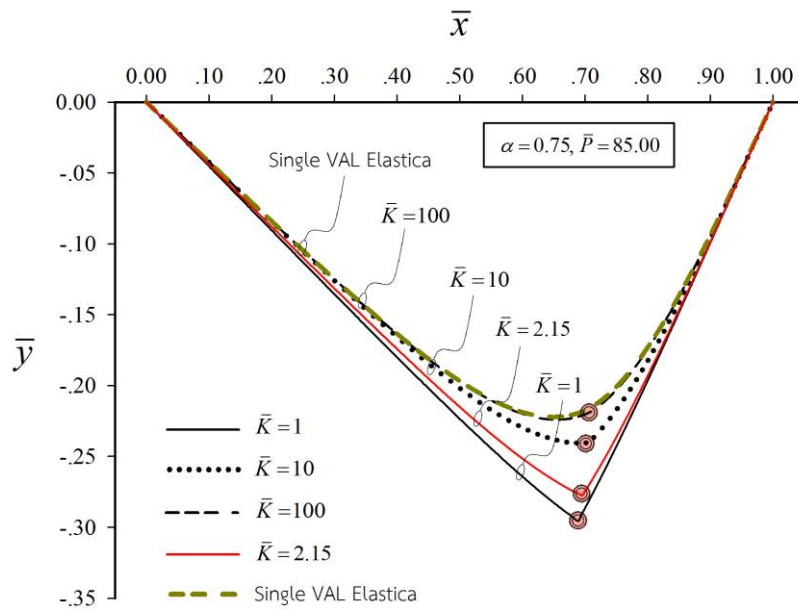
\bar{K}	\bar{S}_t	\bar{P}	θ_B	\bar{x}^*	\bar{y}^*	θ_A	$\Delta\theta$
2.15	1.288332	85.000088	0.530467	0.028934	-0.247987	-1.506546	0.944412

รูปที่ 4.12 รูปร่างการแอ่นตัวของอิลาสติกคากรณีสี่ที่ 2 ($\alpha = \beta$) เมื่อขนาดของแรงกระทำ $\bar{P} = 85.00$ ค่า $\alpha = 0.25$ และ $\bar{K} = 1, 10, 100, 2.15, \text{Single VAL Elastica}$



\bar{K}	\bar{S}_t	\bar{P}	θ_B	\bar{x}^*	\bar{y}^*	θ_A	$\Delta\theta$
2.15	1.599968	85.000392	0.718023	0.054363	-0.495943	-1.514642	1.101267

รูปที่ 4.13 รูปร่างการแอ่นตัวของอิลาสติกคาร์กรีที่ 2 ($\alpha = \beta$) เมื่อขนาดของแรงกระทำ $\bar{P} = 85.00$ ค่า $\alpha = 0.50$ และ $\bar{K} = 1, 10, 100, 2.15, \text{Single VAL Elastica}$



\bar{K}	\bar{S}_t	\bar{P}	θ_B	\bar{x}^*	\bar{y}^*	θ_A	$\Delta\theta$
2.15	1.162405	85.000236	0.781007	0.695679	-0.277635	-0.414533	0.800733

รูปที่ 4.14 รูปร่างการแอ่นตัวของอิลาสติกคาร์กณี่ที่ 2 ($\alpha = \beta$) เมื่อขนาดของแรงกระทำ $\bar{P} = 85.00$ ค่า $\alpha = 0.75$ และ $\bar{K} = 1, 10, 100, 2.15, \text{Single VAL Elastica}$

4.3 ผลการศึกษาในกรณีที่ 3 ($\alpha > \beta$)

4.3.1 ตรวจสอบและเปรียบเทียบความถูกต้องของผลการคำนวณ

จากตารางที่ 4.7 ในกรณีที่ตำแหน่งของสปริงมีค่าคงที่ $\alpha = 0.25$ และตำแหน่งของแรงกระทำมีค่า $\beta = 0.15$ ตารางที่ 4.8 ในกรณีที่ตำแหน่งของสปริงมีค่าคงที่ $\alpha = 0.50$ และตำแหน่งของแรงกระทำมีค่า $\beta = 0.35$ และตารางที่ 4.9 ในกรณีที่ตำแหน่งของสปริงมีค่าคงที่ $\alpha = 0.75$ และตำแหน่งของแรงกระทำมีค่า $\beta = 0.50$ เมื่อทำการเปรียบเทียบผลของอิลาสติกคาที่มีค่าสติเฟนของสปริง $\bar{K} = 100$ กับอิลาสติกคาที่มีความยาวต่อเนื่องกัน (Single VAL Elastica) พบว่าคำตอบที่ได้นั้นมีค่าที่ใกล้เคียงกัน



ตารางที่ 4.7 ความสัมพันธ์ระหว่าง $\bar{S}_t, \bar{P}, \theta_B, \bar{x}_D, \bar{y}_D, \bar{x}^*, \theta_A, \Delta\theta$ ในกรณีที่ 3 ($\alpha > \beta$)
 โดยพิจารณาค่าคงที่ $\alpha = 0.25$ ค่า $\beta = 0.15$ ค่า $\bar{K} = 1, 10, 100$
 และ Single VAL Elastica

\bar{K}	\bar{S}_t	\bar{P}	θ_B	\bar{x}_D	\bar{y}_D	\bar{x}^*	θ_A	$\Delta\theta$
1	1.00	0.000000	0.000000	0.000000	0.000000	0.000000	0.000000	0.000000
	1.06	6.229431	0.253353	0.204654	-0.143325	0.120648	-0.652077	0.569865
	1.12	11.489384	0.337059	0.156478	-0.194603	0.089833	-0.950447	0.800233
	1.18	21.088616	0.387929	0.105690	-0.226104	0.057756	-1.201144	0.976732
	1.24	54.388883	0.420409	0.052597	-0.243882	0.024751	-1.431833	1.128613
	1.28	424.047670	0.435785	0.016286	-0.249034	0.003338	-1.563379	1.228306
10	1.00	0.000000	0.000000	0.000000	0.000000	0.000000	0.000000	0.000000
	1.06	16.446375	0.349765	0.212267	-0.130107	0.122338	-0.657650	0.148944
	1.12	29.751503	0.467121	0.173242	-0.177499	0.094400	-0.945281	0.207057
	1.18	50.874824	0.539738	0.133073	-0.208327	0.066380	-1.176106	0.250620
	1.24	97.967165	0.588303	0.092199	-0.228686	0.038816	-1.374531	0.287200
	1.30	309.907622	0.623045	0.051746	-0.241022	0.013365	-1.530573	0.321034
	1.34	3037.124075	0.644233	0.027110	-0.246036	0.001453	-1.569666	0.347881
100	1.00	0.000000	0.000000	0.000000	0.000000	0.000000	0.000000	0.000000
	1.06	19.263990	0.372235	0.215410	-0.124033	0.123646	-0.649300	0.017535
	1.12	34.550469	0.495418	0.179639	-0.169888	0.097047	-0.931826	0.024429
	1.18	57.834644	0.570287	0.142758	-0.200416	0.070347	-1.157475	0.029647
	1.24	104.712031	0.619287	0.105216	-0.221395	0.044119	-1.349754	0.034046
	1.30	255.827333	0.653180	0.068075	-0.235132	0.019771	-1.503160	0.038035
	1.36	2519.740143	0.680643	0.034444	-0.243692	0.002193	-1.568912	0.042455
Single VAL Elastica	1.00	0.000000	0.000000	-	-	0.000000	0.000000	-
	1.06	19.623782	0.374983	-	-	0.123844	-0.647852	-
	1.12	35.154345	0.498837	-	-	0.097435	-0.929657	-
	1.18	58.684955	0.573921	-	-	0.070914	-1.154659	-
	1.24	105.468845	0.622905	-	-	0.044857	-1.346224	-
	1.30	251.017205	0.656632	-	-	0.020649	-1.499286	-
	1.36	2006.759588	0.683533	-	-	0.002818	-1.568225	-

ตารางที่ 4.8 ความสัมพันธ์ระหว่าง $\bar{S}_t, \bar{P}, \theta_B, \bar{x}_D, \bar{y}_D, \bar{x}^*, \theta_A, \Delta\theta$ ในกรณีที่ 3 ($\alpha > \beta$)
 โดยพิจารณาค่าคงที่ $\alpha = 0.50$ ค่า $\beta = 0.35$ ค่า $\bar{K} = 1, 10, 100$
 และ Single VAL Elastica

\bar{K}	\bar{S}_t	\bar{P}	θ_B	\bar{x}_D	\bar{y}_D	\bar{x}^*	θ_A	$\Delta\theta$
1	1.00	0.000000	0.000000	0.000000	0.000000	0.000000	0.000000	0.000000
	1.10	4.293331	0.441546	0.444715	-0.225243	0.304703	-0.558487	0.587142
	1.20	7.489211	0.560493	0.379999	-0.320580	0.252901	-0.823282	0.793206
	1.30	11.577911	0.617951	0.306098	-0.390403	0.195283	-1.047727	0.941458
	1.40	18.059253	0.644147	0.223434	-0.442261	0.132925	-1.251951	1.066853
	1.50	34.973212	0.652328	0.132734	-0.477510	0.067356	-1.439019	1.183720
	1.55	392.078594	0.652483	0.036057	-0.496482	0.005777	-1.566190	1.324166
10	1.00	0.000000	0.000000	0.000000	0.000000	0.000000	0.000000	0.000000
	1.10	11.306918	0.494854	0.443126	-0.211283	0.296225	-0.662991	0.148330
	1.20	20.869891	0.627848	0.378759	-0.300630	0.237288	-0.956931	0.199591
	1.30	35.131353	0.689744	0.306975	-0.366371	0.173983	-1.191512	0.238869
	1.40	62.282383	0.720015	0.229289	-0.416407	0.109254	-1.381174	0.275914
	1.50	149.131229	0.736863	0.148419	-0.453780	0.048266	-1.512800	0.316600
	1.57	564.162670	0.746134	0.092284	-0.473886	0.013351	-1.558179	0.353741
100	1.00	0.000000	0.000000	0.000000	0.000000	0.000000	0.000000	0.000000
	1.10	13.351619	0.505244	0.442460	-0.205193	0.294431	-0.686777	0.017456
	1.20	24.991580	0.639933	0.378164	-0.292323	0.234030	-0.985997	0.023642
	1.30	42.994941	0.701331	0.307016	-0.356631	0.169505	-1.220866	0.028553
	1.40	79.022004	0.731238	0.230909	-0.406003	0.104262	-1.404004	0.033355
	1.50	202.099290	0.748304	0.153098	-0.443861	0.044227	-1.521506	0.038864
	1.55	482.567043	0.755007	0.115042	-0.459409	0.019395	-1.551909	0.042365
Single VAL Elastica	1.00	0.000000	0.000000	-	-	0.000000	0.000000	-
	1.10	13.620169	0.506467	-	-	0.294221	-0.689690	-
	1.20	25.540472	0.641355	-	-	0.233651	-0.989519	-
	1.30	44.062195	0.702681	-	-	0.168984	-1.224354	-
	1.40	81.357209	0.732528	-	-	0.103683	-1.406590	-
	1.50	209.816435	0.749583	-	-	0.043763	-1.522390	-
	1.55	505.051341	0.756265	-	-	0.019078	-1.552216	-

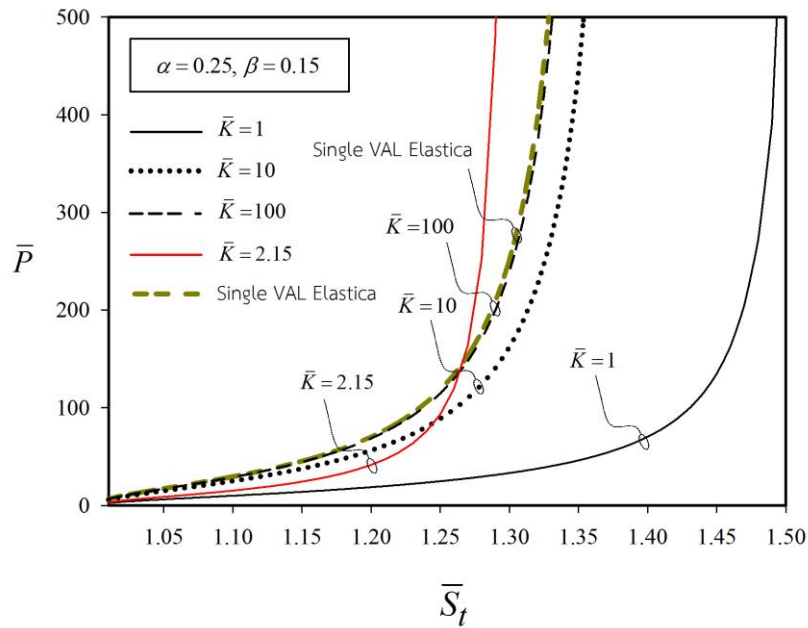
ตารางที่ 4.9 ความสัมพันธ์ระหว่าง $\bar{S}_t, \bar{P}, \theta_B, \bar{x}_D, \bar{y}_D, \bar{x}^*, \theta_A, \Delta\theta$ ในกรณีที่ 3 ($\alpha > \beta$)
 โดยพิจารณาค่าคงที่ $\alpha = 0.75$ ค่า $\beta = 0.50$ ค่า $\bar{K} = 1, 10, 100$
 และ Single VAL Elastica

\bar{K}	\bar{S}_t	\bar{P}	θ_B	\bar{x}_D	\bar{y}_D	\bar{x}^*	θ_A	$\Delta\theta$
1	1.00	0.000000	0.000000	0.000000	0.000000	0.000000	0.000000	0.000000
	1.20	17.042112	0.737761	0.657302	-0.291315	0.408901	-0.746776	0.542815
	1.30	31.066780	0.768102	0.592409	-0.368867	0.345331	-0.963638	0.550027
	1.40	46.496125	0.776707	0.522172	-0.440119	0.277866	-1.137117	0.585183
	1.50	62.980982	0.779407	0.448703	-0.507691	0.210860	-1.275805	0.659412
	1.60	83.381592	0.780009	0.372093	-0.571544	0.147782	-1.384564	0.770017
	1.81	218.574683	0.777109	0.196331	-0.685943	0.038678	-1.530852	1.090609
10	1.00	0.000000	0.000000	0.000000	0.000000	0.000000	0.000000	0.000000
	1.10	11.727801	0.572730	0.696287	-0.173078	0.450034	-0.585342	0.101392
	1.20	23.506497	0.706605	0.638311	-0.265970	0.393086	-0.833200	0.124414
	1.30	39.810969	0.753527	0.572966	-0.344164	0.328325	-1.029674	0.136118
	1.40	60.014940	0.769447	0.501825	-0.414228	0.258152	-1.194004	0.150213
	1.50	87.704816	0.775373	0.426374	-0.478397	0.185762	-1.330717	0.170624
	1.62	158.143682	0.778317	0.331347	-0.548463	0.101087	-1.457471	0.204468
100	1.00	0.000000	0.000000	0.000000	0.000000	0.000000	0.000000	0.000000
	1.10	12.531435	0.557816	0.692701	-0.166388	0.448117	-0.601910	0.011427
	1.20	24.807955	0.698137	0.633424	-0.258577	0.390127	-0.849551	0.014479
	1.30	41.914716	0.749694	0.567694	-0.336548	0.324801	-1.043386	0.016197
	1.40	63.649612	0.767655	0.496207	-0.406016	0.253884	-1.205960	0.018088
	1.50	94.826223	0.774503	0.420332	-0.469101	0.180359	-1.341635	0.020639
	1.59	148.846452	0.777417	0.349158	-0.521067	0.114981	-1.439685	0.023623
Single VAL Elastica	1.00	0.000000	0.000000	-	-	0.000000	0.000000	-
	1.10	12.627286	0.555849	-	-	0.447894	-0.603862	-
	1.20	24.968196	0.697006	-	-	0.389772	-0.851545	-
	1.30	42.184692	0.749183	-	-	0.324370	-1.045083	-
	1.40	64.128782	0.767421	-	-	0.253358	-1.207436	-
	1.50	95.779841	0.774393	-	-	0.179693	-1.342963	-
	1.59	151.073454	0.777374	-	-	0.114163	-1.440875	-

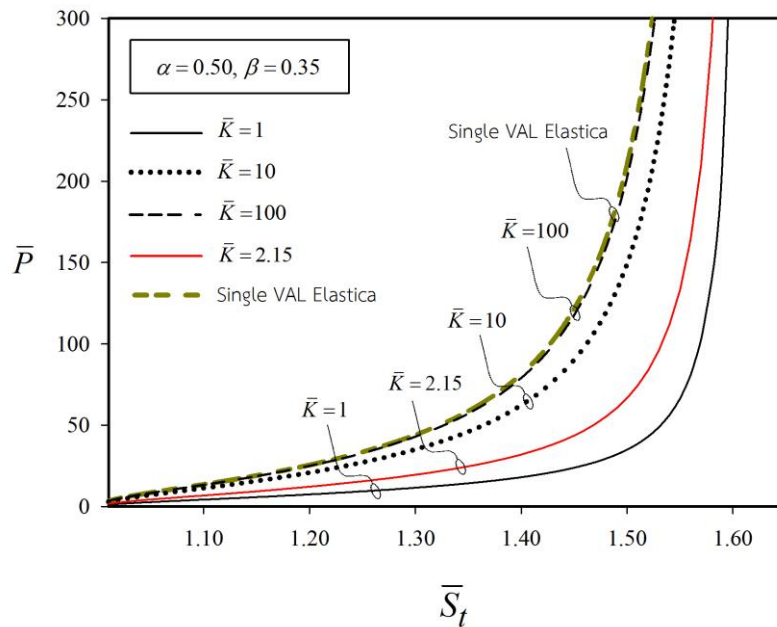
4.3.2 พฤติกรรมการแอ่นตัวของอิลาสติกคา

เมื่อนำผลที่ได้มาเขียนเส้นโค้งการเบี่ยงเบนของแรง (Load - Deflection Curves) ดังแสดงในกราฟรูปที่ 4.15, 4.16 และ 4.17 แสดงความสัมพันธ์ระหว่างแรงกระทำ (\bar{P}) กับความยาวส่วนโค้ง (\bar{S}_r) เมื่อแปรผันค่า \bar{K} ตั้งแต่ 1 - 100 (ระบบจะไร้เสถียรภาพเมื่อกำหนดให้ $\bar{K}=0$) และแปรผันค่า $\alpha=0.25$, $\beta=0.15$, $\alpha=0.50$, $\beta=0.35$ และ $\alpha=0.75$, $\beta=0.50$ เริ่มแรกเมื่อทำการเพิ่มแรง \bar{P} ให้กับอิลาสติกคา ค่าของแรง \bar{P} จะเพิ่มขึ้นในขณะที่ความยาวส่วนโค้งทั้งหมด \bar{S}_r ก็เพิ่มขึ้นเช่นกัน ซึ่งเป็นการเพิ่มขึ้นอย่างต่อเนื่องโดยไม่พบจุดวิกฤต จะเห็นได้ว่าอิลาสติกคาจะมีการแอ่นตัวเพิ่มขึ้นเมื่อแรงกระทำ \bar{P} มีค่าเพิ่มขึ้นลักษณะเช่นนี้ความชันของกราฟความสัมพันธ์มีค่าเป็นบวกเป็นการบ่งบอกถึงระบบที่มีเสถียรภาพ (สมดุลแบบมีเสถียรภาพ) และเมื่อทำการเพิ่มแรงอย่างต่อเนื่องอิลาสติกคาจะเกิดการดิ่งรั้งทำให้ความชันของกราฟมีค่าที่สูงมาก โดยที่การเปลี่ยนแปลงความยาวส่วนโค้งทั้งหมด \bar{S}_r ที่เพิ่มขึ้นเพียงเล็กน้อยทำให้เกิดการเปลี่ยนแปลงของแรงกระทำ \bar{P} ที่มีค่ามากจนกระทั่งไม่สามารถคำนวณผลได้อีกต่อไป พฤติกรรมในลักษณะดังกล่าวจะพบได้ในกรณีที่ $\alpha=0.75$, $\beta=0.50$ ในขณะที่ผลกระทบของสติฟเนสของสปริง จะพบว่าค่าสติฟเนสของสปริงที่มีค่าน้อยส่งผลให้ระบบมีสติฟเนสต่ำในช่วงแรก แต่เมื่อระบบเกิดการยึดรั้งสติฟเนสของอิลาสติกคาจะมีค่าที่เพิ่มขึ้นอย่างรวดเร็ว และเมื่อสติฟเนสของสปริงต้านทานการหมุนมีค่าที่เพิ่มขึ้น พฤติกรรมของอิลาสติกคาจะสอดคล้องกับพฤติกรรมของอิลาสติกคาที่มีความยาวต่อเนื่องกัน โดยที่ภาพรวมทั้งหมดของพฤติกรรมการแอ่นตัวของอิลาสติกคาที่เกิดขึ้นในแต่ละกรณีได้แสดงไว้ในกราฟรูปที่ 4.18

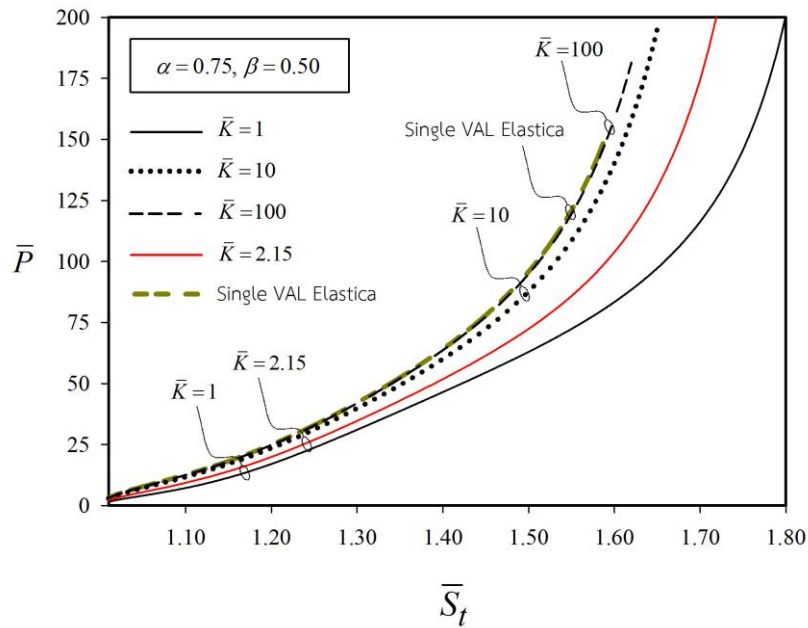
จากกราฟในรูปที่ 4.19, 4.20 และ 4.21 แสดงรูปร่างการแอ่นตัวของอิลาสติกคา เมื่อกำหนดแรง $\bar{P}=400.00$ แปรผันค่า $\alpha=0.25$, $\beta=0.15$, $\bar{P}=300.00$ แปรผันค่า $\alpha=0.50$, $\beta=0.35$ และ $\bar{P}=140.00$ แปรผันค่า $\alpha=0.75$, $\beta=0.50$ และในทุก ๆ กรณีจะแปรผันค่า \bar{K} ตั้งแต่ 1, 10, 100, 2.15 และอิลาสติกคาที่มีความยาวต่อเนื่องกัน แสดงให้เห็นว่าเมื่อค่าสติฟเนสของสปริงมีค่าน้อยพฤติกรรมการแอ่นตัวของอิลาสติกคา จะแสดงให้เห็นถึงจุดต้านทานการหมุนที่ส่งถ่ายค่าโมเมนต์ตัดได้อย่างไม่สมบูรณ์เกิดเป็นจุดหักมุมที่ชัดเจน และเมื่อแปรผันค่าสติฟเนสของสปริงให้มีค่าที่เพิ่มมากขึ้นอิลาสติกคาจะมีพฤติกรรมการแอ่นตัวที่มีค่าใกล้เคียง และสอดคล้องกับอิลาสติกคาที่มีความยาวต่อเนื่องกัน (Single VAL Elastica) เมื่อมีแรงกระทำที่เท่ากัน โดยที่ตำแหน่งของแรงกระทำ (กากบาทสีแดง) และตำแหน่งของสปริง (วงกลมสีแดง) จะยึดติดอยู่กับตำแหน่งเดิมเสมอ และเมื่อความยาวส่วนโค้งเพิ่มขึ้นจนกระทั่งเกิดการดิ่งรั้งจะทำให้ไม่สามารถเพิ่มความยาวส่วนโค้งต่อไปได้อีก



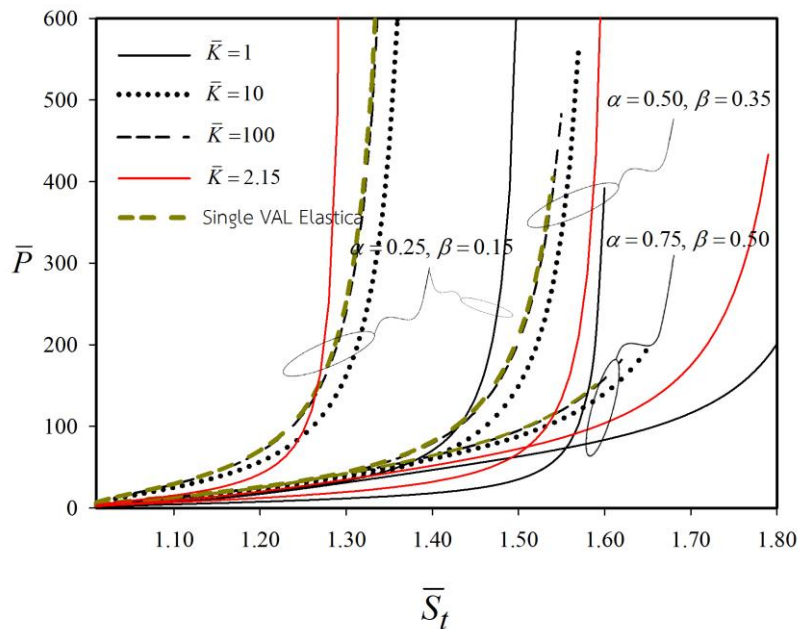
รูปที่ 4.15 ความสัมพันธ์ระหว่างแรงกระทำ \bar{P} กับความยาวส่วนโค้ง \bar{S}_t กรณีที่ 3 ($\alpha > \beta$)
เมื่อค่า $\alpha = 0.25$, $\beta = 0.15$ และ $\bar{K} = 1, 10, 100, 2.15$, Single VAL Elastica



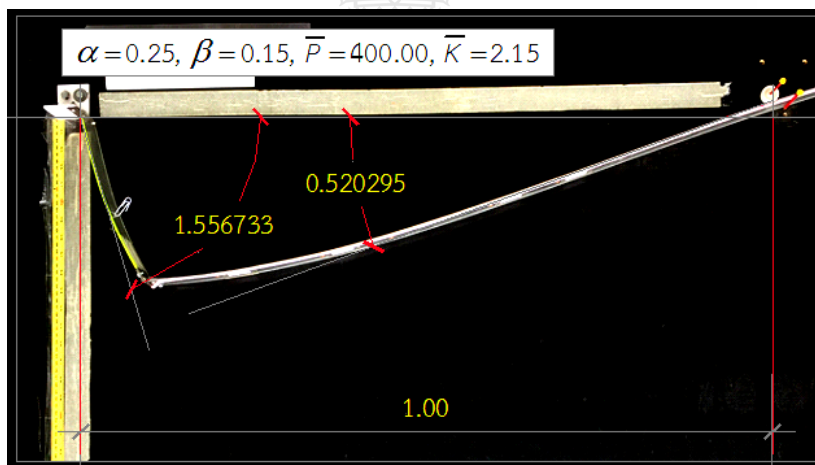
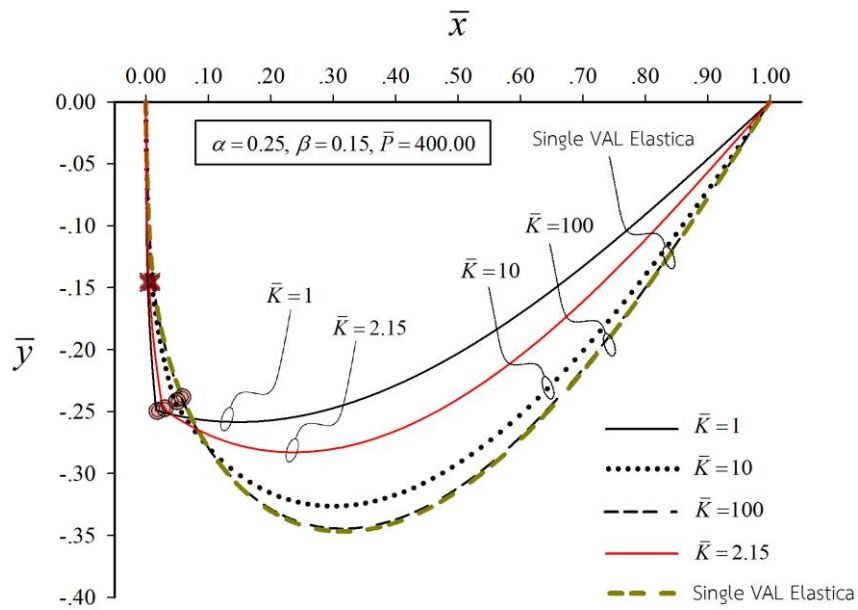
รูปที่ 4.16 ความสัมพันธ์ระหว่างแรงกระทำ \bar{P} กับความยาวส่วนโค้ง \bar{S}_t กรณีที่ 3 ($\alpha > \beta$)
เมื่อค่า $\alpha = 0.50$, $\beta = 0.35$ และ $\bar{K} = 1, 10, 100, 2.15$, Single VAL Elastica



รูปที่ 4.17 ความสัมพันธ์ระหว่างแรงกระทำ \bar{P} กับความยาวส่วนโค้ง \bar{S}_t กรณีที่ 3 ($\alpha > \beta$)
เมื่อค่า $\alpha=0.75, \beta=0.50$ และ $\bar{K} = 1, 10, 100, 2.15, \text{Single VAL Elastica}$

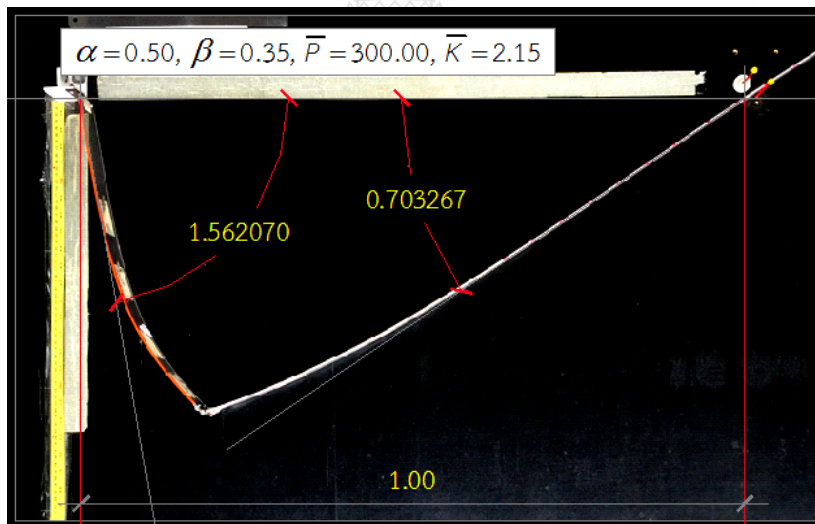
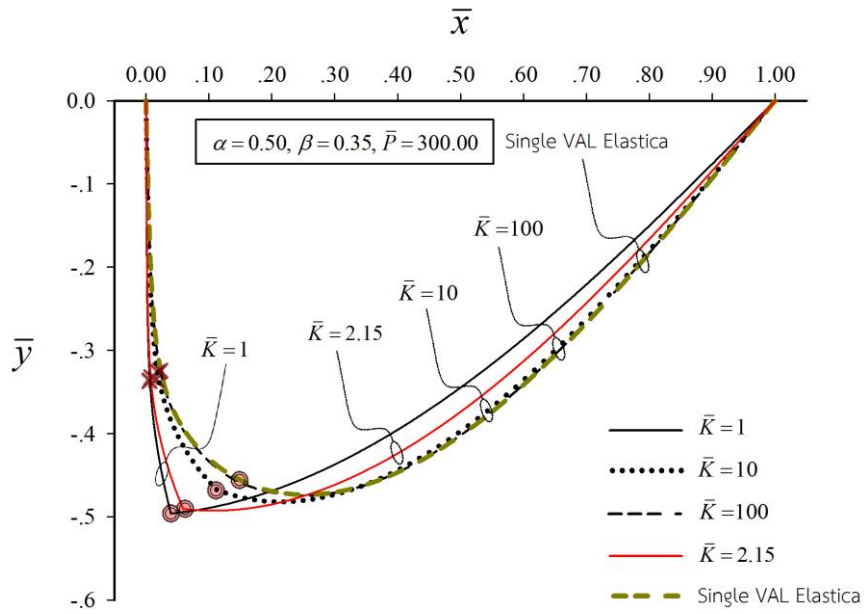


รูปที่ 4.18 ความสัมพันธ์ระหว่างแรงกระทำ \bar{P} กับความยาวส่วนโค้ง \bar{S}_t กรณีที่ 3 ($\alpha > \beta$)
เมื่อค่า $\alpha=0.25, \beta=0.15, \alpha=0.50, \beta=0.35, \alpha=0.75, \beta=0.50$
และ $\bar{K} = 1, 10, 100, 2.15, \text{Single VAL Elastica}$



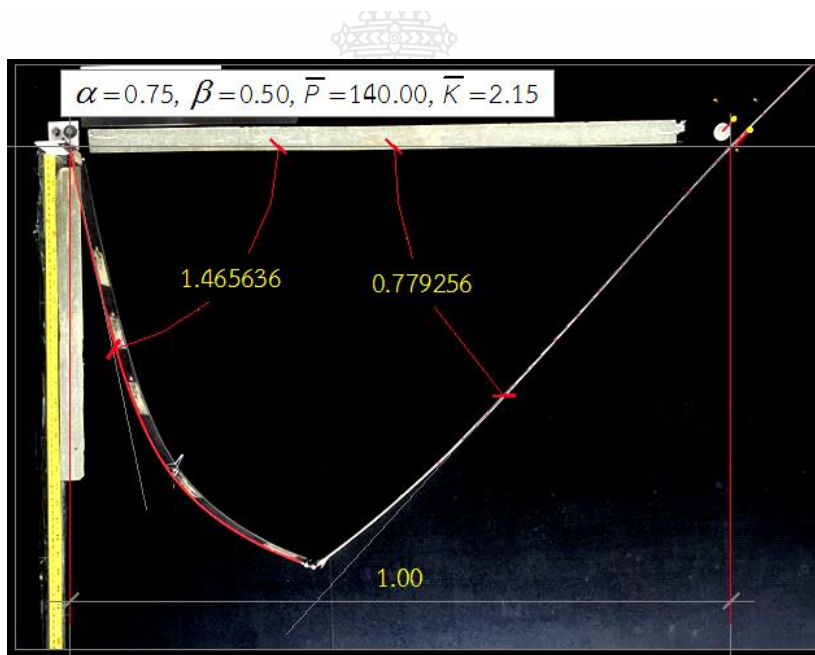
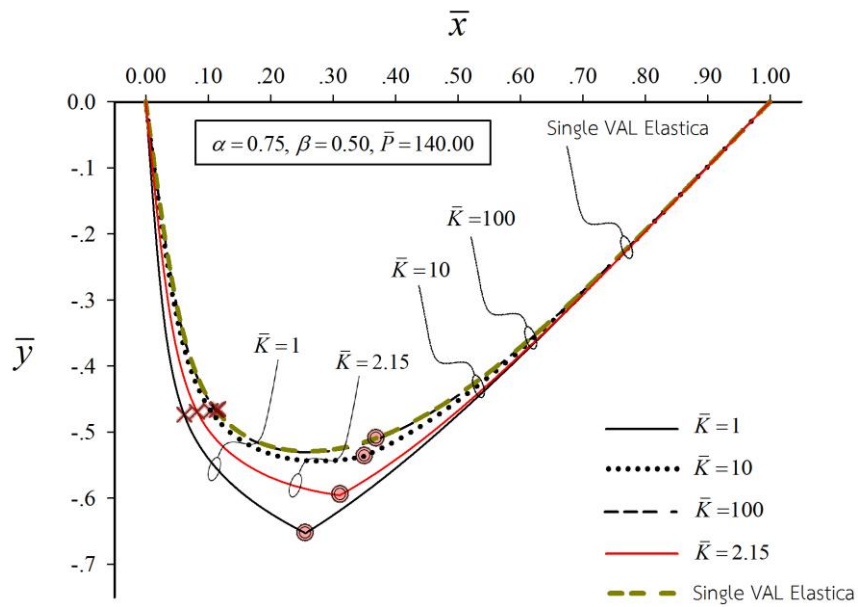
\bar{K}	\bar{S}_t	\bar{P}	θ_B	\bar{x}_D	\bar{y}_D	\bar{x}^*	θ_A	$\Delta\theta$
2.15	1.287536	400.000266	0.520295	0.026955	-0.247402	0.005829	-1.556733	0.901567

รูปที่ 4.19 รูปร่างการแอ่นตัวของอิลาสติคคากรณี่ที่ 3 ($\alpha > \beta$) เมื่อขนาดของแรงกระทำ $\bar{P} = 400.00$ ค่า $\alpha = 0.25$, $\beta = 0.15$ และ $\bar{K} = 1, 10, 100, 2.15$, Single VAL Elastica



\bar{K}	\bar{S}_t	\bar{P}	θ_B	\bar{x}_D	\bar{y}_D	\bar{x}^*	θ_A	$\Delta\theta$
2.15	1.588348	400.000077	0.703267	0.059123	-0.490504	0.009886	-1.562070	0.965555

รูปที่ 4.20 รูปร่างการแอ่นตัวของอิลาสติกคากรณีที่ 3 ($\alpha > \beta$) เมื่อขนาดของแรงกระทำ $\bar{P} = 300.00$ ค่า $\alpha = 0.50$, $\beta = 0.35$ และ $\bar{K} = 1, 10, 100, 2.15$, Single VAL Elastica



\bar{K}	\bar{S}_t	\bar{P}	θ_B	\bar{x}_D	\bar{y}_D	\bar{x}^*	θ_A	$\Delta\theta$
2.15	1.663686	140.000229	0.779256	0.310801	-0.595637	0.093579	-1.465636	0.614437

รูปที่ 4.21 รูปร่างการแอ่นตัวของอิลาสติกคากรณีสี่ที่ 3 ($\alpha > \beta$) เมื่อขนาดของแรงกระทำ $\bar{P} = 140.00$ ค่า $\alpha = 0.75$, $\beta = 0.50$ และ $\bar{K} = 1, 10, 100, 2.15$, Single VAL Elastica

บทที่ 5

สรุปผลการศึกษาและข้อเสนอแนะ

การศึกษางานวิจัยนี้ เพื่อศึกษาผลของจุดต้านทานการหมุนต่อพฤติกรรมการแอ่นตัวมากของอิลาสติกคาที่มีความยาวส่วนโค้งแปรเปลี่ยนได้ภายใต้แรงกระทำแบบจุดกระทำ ณ ตำแหน่งใด ๆ และมีจุดต้านทานการหมุนแบบสปริงอยู่ภายในช่วงของอิลาสติกคา ณ ตำแหน่งใด ๆ และได้กำหนดรูปแบบตำแหน่งของจุดต้านทานการหมุนแบบสปริงไว้ 3 กรณี คือ กรณีที่ระยะ $\alpha < \beta$, $\alpha = \beta$ และ $\alpha > \beta$ และแปรผันค่าสตีเฟเนส $\bar{K} = 1, 10$ และ 100 พร้อมทั้งนำผลที่ได้จากการคำนวณไปเปรียบเทียบกับผลการทดสอบตัวอย่างกรณีวัสดุเป็นแบบเชิงเส้น จากผลของการวิเคราะห์สามารถสรุปตามวัตถุประสงค์หลักได้ดังนี้

5.1 พฤติกรรมการแอ่นตัวและเสถียรภาพของอิลาสติกคาในกรณีที่ 1 ระยะ $\alpha < \beta$

ในกรณีนี้พบว่าเมื่อเพิ่มแรงกระทำ (\bar{P}) ให้กับอิลาสติกคา ความยาวส่วนโค้งของอิลาสติกคา (\bar{S}_r) จะมีค่าที่เพิ่มขึ้นอย่างต่อเนื่องจนถึงค่าที่สูงสุดเพียงครั้งเดียวจนกระทั่งไม่สามารถคำนวณผลต่อไปได้อีก และมีสถานะสมดุลเป็นแบบมีเสถียรภาพเท่านั้น ซึ่งเมื่อตำแหน่งของสปริง (α) และตำแหน่งของแรงกระทำ (β) มีตำแหน่งเข้าใกล้ปลายอิลาสติกคาด้านจูดรองรับที่เลื่อนได้แบบไร้แรงเสียดทานจะส่งผลทำให้ความชันของกราฟมีค่าที่สูงขึ้นแต่การเปลี่ยนแปลงความยาวส่วนโค้งทั้งหมด (\bar{S}_r) ได้ค่าที่เพิ่มขึ้นเพียงเล็กน้อย และเกิดการเปลี่ยนแปลงของแรงกระทำ (\bar{P}) ที่มีค่ามาก โดยสาเหตุที่เป็นเช่นนี้เนื่องจากเกิดการตั้งรับขึ้นซึ่งจะพบได้ในกรณีที่ $\alpha = 0.75$ เท่านั้น

ในส่วนของสตีเฟเนสของสปริง พบว่าเมื่อค่าสตีเฟเนสของสปริงต้านทานการหมุนมีค่าน้อยเป็นผลให้ระบบมีค่าสตีเฟเนสต่ำในช่วงแรก แต่เมื่อสตีเฟเนสของสปริงต้านทานการหมุนมีค่าที่เพิ่มขึ้นพฤติกรรมของอิลาสติกคาจะสอดคล้องกับพฤติกรรมของอิลาสติกคาที่มีความยาวต่อเนื่องกัน (Single VAL Elastica) และจากกราฟความสัมพันธ์ระหว่างแรงกระทำ (\bar{P}) กับความยาวส่วนโค้ง (\bar{S}_r) ในกรณีที่ทำการปรับเปลี่ยนค่าสตีเฟเนสของสปริงให้มีค่า $\bar{K} = 100$ เมื่อนำเส้นกราฟมาเปรียบเทียบกับเส้นกราฟกรณีอิลาสติกคาที่มีความยาวต่อเนื่องกัน (Single VAL Elastica) ปรากฏว่าเส้นกราฟที่ได้มีค่าที่ใกล้เคียงกัน และการทดสอบตัวอย่างแผ่นโพลีคาร์บอเนต (Polycarbonate Sheet) ที่มีค่าสตีเฟเนสของสปริง $\bar{K} = 2.15$ เมื่อนำผลของมุมที่ได้จากโปรแกรม AutoCAD มาเปรียบเทียบกับผลที่ได้จากการคำนวณพบว่าค่าตอบที่ได้มีค่าที่ใกล้เคียงกัน

5.2 พฤติกรรมการแอ่นตัวและเสถียรภาพของอิลาสติคคาในกรณีที่ 2 ระยะ $\alpha = \beta$

ในกรณีนี้พบว่าเมื่อเพิ่มแรงกระทำ (\bar{P}) ให้กับอิลาสติคคา ความยาวส่วนโค้ง (\bar{S}_l) ของอิลาสติคคาจะมีค่าเพิ่มขึ้นอย่างต่อเนื่องโดยไม่พบจุดวิกฤตซึ่งจะพบได้ในกรณีที่ $\alpha = 0.25$ จะเห็นได้ว่าอิลาสติคคาที่มีการแอ่นตัวเพิ่มขึ้นเมื่อแรงกระทำ (\bar{P}) มีค่าเพิ่มขึ้น ลักษณะเช่นนี้ความชันของกราฟความสัมพันธ์มีค่าเป็นบวกเป็นการบ่งบอกถึงระบบที่มีเสถียรภาพ (สมดุลแบบมีเสถียรภาพ) และเมื่อทำการเพิ่มแรงอย่างต่อเนื่องอิลาสติคคาจะเกิดการตั้งรับตามที่ได้อธิบายไว้ในกรณีที่ 1 แต่ในกรณีนี้จะพบได้เมื่อตำแหน่งของสปริงมีค่า $\alpha = 0.50$ และ 0.75

จากกราฟความสัมพันธ์ระหว่างแรงกระทำ (\bar{P}) กับความยาวส่วนโค้ง (\bar{S}_l) ในกรณีที่ทำการปรับเปลี่ยนค่าสตีเฟนสของสปริงให้มีค่า $\bar{K} = 100$ เมื่อนำเส้นกราฟมาเปรียบเทียบกับเส้นกราฟกรณีอิลาสติคคาที่มีความยาวต่อเนื่องกัน (Single VAL Elastica) ปรากฏว่าเส้นกราฟที่ได้มีค่าที่ใกล้เคียงกัน และจากการทดสอบตัวอย่างแผ่นโพลีคาร์บอเนต (Polycarbonate Sheet) ที่มีค่าสตีเฟนสของสปริง $\bar{K} = 2.15$ เมื่อนำผลของมุมที่ได้จากโปรแกรม AutoCAD มาเปรียบเทียบกับผลที่ได้จากการคำนวณพบว่าคำตอบที่ได้มีค่าที่ใกล้เคียงกัน

5.3 พฤติกรรมการแอ่นตัวและเสถียรภาพของอิลาสติคคาในกรณีที่ 3 ระยะ $\alpha > \beta$

เมื่อทำการเพิ่มแรงกระทำ (\bar{P}) ให้กับอิลาสติคคา ความยาวส่วนโค้งของอิลาสติคคา (\bar{S}_l) จะมีค่าเพิ่มขึ้นอย่างต่อเนื่องจนถึงค่าที่สูงสุดจนกระทั่งไม่สามารถคำนวณผลต่อไปได้อีก และมีสถานะสมดุลเป็นแบบมีเสถียรภาพ แต่ในกรณีนี้ได้พบว่าค่าของแรงกระทำ (\bar{P}) และค่าความยาวส่วนโค้ง (\bar{S}_l) มีค่าที่สูงกว่าในกรณีที่ 1 และ 2

จากกราฟความสัมพันธ์ระหว่างแรงกระทำ (\bar{P}) กับความยาวส่วนโค้ง (\bar{S}_l) ในกรณีที่ทำการปรับเปลี่ยนค่าสตีเฟนสของสปริงให้มีค่า $\bar{K} = 100$ และเมื่อนำเส้นกราฟมาเปรียบเทียบกับเส้นกราฟกรณีอิลาสติคคาที่มีความยาวต่อเนื่องกัน (Single VAL Elastica) ปรากฏว่าเส้นกราฟที่ได้มีค่าที่ใกล้เคียงกัน และจากการทดสอบตัวอย่างแผ่นโพลีคาร์บอเนต (Polycarbonate Sheet) ที่มีค่าสตีเฟนสของสปริง $\bar{K} = 2.15$ เมื่อนำผลของมุมที่ได้จากโปรแกรม AutoCAD มาเปรียบเทียบกับผลที่ได้จากการคำนวณพบว่าคำตอบที่ได้มีค่าที่ใกล้เคียงกัน

5.4 ข้อเสนอแนะของการทำวิจัยต่อไปในอนาคต

5.4.1 งานวิจัยนี้นำเสนอการศึกษาผลของจุดต้านทานการหมุนต่อพฤติกรรมการแอ่นตัวมากของอิลาสติกคาที่มีความยาวส่วนโค้งแปรเปลี่ยนได้ภายใต้แรงกระทำแบบจุดกระทำ ณ ตำแหน่งใด ๆ และมีจุดต้านทานการหมุนแบบสปริงอยู่ภายในช่วงของอิลาสติกคา ณ ตำแหน่งใด ๆ โดยที่ปลายด้านหนึ่งของอิลาสติกคาถูกรองรับด้วยจุดรองรับที่หมุนได้อย่างอิสระ ส่วนที่ปลายอีกด้านหนึ่งวางพาดอยู่บนจุดรองรับที่เลื่อนได้โดยไร้แรงเสียดทาน ซึ่งในขั้นตอนของการทดสอบตัวอย่างกับพบว่าความจริงแล้วจุดรองรับที่เลื่อนได้โดยไร้แรงเสียดทานนั้น ควรที่จะทำการปรับปรุงให้มีแรงเสียดทานเพิ่มเข้ามาเพื่อให้ปัญหาที่เกิดขึ้นสอดคล้องกับความเป็นจริงมากขึ้น

5.4.2 การศึกษาต่อจากงานวิจัยนี้ อาจพิจารณาคูณลักษณะของสปริงหมุนที่มีลักษณะพิเศษอื่น ๆ เช่น รูปแบบเชิงเส้นคู่ (Bilinear) และอาจพิจารณาผลของความเป็นพลาสติกที่จุดหมุนเพิ่มเติมได้



บรรณานุกรม

- [1] สุรพันธ์ บุญเจริญ. (2536). การวิเคราะห์การแอ่นตัวมากของคานที่มีปลายเลื่อนได้อย่างอิสระโดยวิธีอิลิปติกอินทิกรัล. (วิทยานิพนธ์ปริญญาวิทยาศาสตรมหาบัณฑิต, มหาวิทยาลัยเทคโนโลยีพระจอมเกล้า-ธนบุรี).
- [2] S. Chucheepsakul, S. Buncharoen, and C. M. Wang, "Large deflection of beams under moment gradient," *Journal of The Engineering Mechanics*, ASCE, Vol. 120, No. 9, pp. 1848-1860, 1994.
- [3] S. Chucheepsakul, S. Buncharoen, and T. Huang, "Elastica of simple variable - arc - length beam subjected to end moment," *Journal of The Engineering Mechanics*, ASCE, Vol. 121, No. 7, pp. 767-772, 1995.
- [4] จีระพงษ์ เทพพิทักษ์. (2538). การวิเคราะห์การแอ่นตัวมากของคานช่วงเดียวที่มีความยาวส่วนโค้งแปรเปลี่ยนได้ภายใต้น้ำหนักบรรทุกแบบต่าง ๆ. (วิทยานิพนธ์ปริญญาวิทยาศาสตรมหาบัณฑิต, มหาวิทยาลัยเทคโนโลยีพระจอมเกล้าธนบุรี).
- [5] C. M. Wang, K. Y. Lam, X. Q. He, and S. Chucheepsakul, "Large deflection of an end supported beam subjected to a point load," *International Journal of Non - Linear Mechanics*, Vol. 32, No. 1, pp. 63-72, 1997.
- [6] ทินกร มนต์ประภัสสร. (2540). การวิเคราะห์การแอ่นตัวมากของคานที่มีความยาวส่วนโค้งแปรเปลี่ยนได้โดยคำนึงถึงผลของการยึดรั้ง และความเสียดทานของที่รองรับ และผลของแรงเฉือน. (วิทยานิพนธ์ปริญญาวิทยาศาสตรมหาบัณฑิต, มหาวิทยาลัยเทคโนโลยีพระจอมเกล้าธนบุรี).
- [7] S. Chucheepsakul, C. M. Wang, X. Q. He, and T. Monprapussorn, "Double curvature bending of variable - arc - length elasticas," *Journal of Applied Mechanics*, ASME, Vol. 66, No. 1, pp. 87-94, 1999.
- [8] บุญชัย ผึ้งไผ่งาม. (2544). การแอ่นตัวมากของคานที่มีความยาวส่วนโค้งแปรเปลี่ยนได้ภายใต้น้ำหนักบรรทุกแบบเอียงที่เปลี่ยนแปลงทิศทางการเสียดทาน. (วิทยานิพนธ์ปริญญาวิทยาศาสตรมหาบัณฑิต, มหาวิทยาลัยเทคโนโลยีพระจอมเกล้าธนบุรี).
- [9] กอปรชัย ศิริตระกูลมั่งคั่ง. (2545). การหาค่าตอทางไฟไนต์เอลิเมนต์ของคานที่มีความยาวส่วนโค้งแปรเปลี่ยนได้โดยใช้ระบบพิกัดลากรางจ์. (วิทยานิพนธ์ปริญญาวิทยาศาสตรมหาบัณฑิต, มหาวิทยาลัยเทคโนโลยีพระจอมเกล้าธนบุรี).
- [10] นฤพนธ์ ศิลาภากุล. (2548). การแอ่นตัวมากของคานที่ทาจากวัสดุแบบไม่เชิงเส้น. (วิทยานิพนธ์ปริญญาวิทยาศาสตรมหาบัณฑิต, มหาวิทยาลัยเทคโนโลยีพระจอมเกล้าธนบุรี).

บรรณานุกรม (ต่อ)

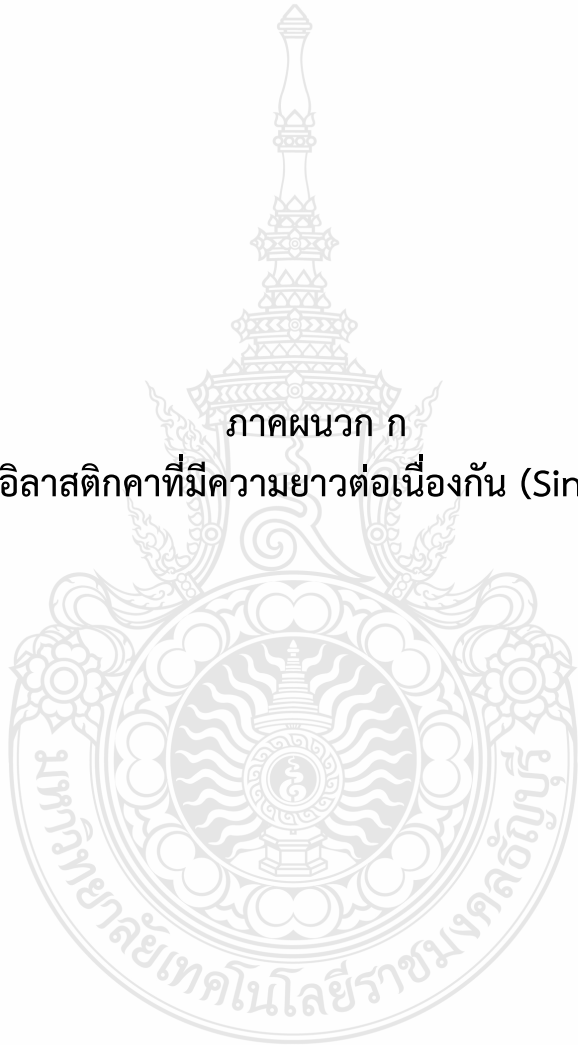
- [11] B. Phungpaingam, S. Chuchepsakul, and C. M. Wang, "Postbuckling of beam subjected to intermediate follower force," *Journal of Engineering Mechanics, ASCE*, Vol. 132, No. 1, pp. 16-25, 2006.
- [12] T. Pulngern, M. W. Halling, S. Chuchepsakul, and P. Poovarodom, "On the free vibrations of variable - arc - length beam : Analytical and Experimental," *Journal of Structural Engineering, ASCE*, Vol. 132, No. 5, pp. 772-778, 2006.
- [13] C. Athisakul, and S. Chuchepsakul, "Effect of inclination on bending of variable - arc - length beam subjected to uniform self - weight," *Engineering Structures*, Vol. 30, No. 4, pp. 902-908, 2008.
- [14] กฤษณะชัย จันทรงอง. (2554). การแอ่นตัวมากของคานช่วงเดียวที่ทำจากวัสดุแบบไม่เป็นเชิงเส้นภายใต้น้ำหนักบรรทุกทุกแบบต่าง ๆ. (วิทยานิพนธ์ปริญญาโทบริหารธุรกิจ, มหาวิทยาลัยเทคโนโลยีพระจอมเกล้าธนบุรี).
- [15] สุนทร เกียรติคงศักดิ์. (2548). พฤติกรรมหลังการโก่งเดาะของคานอย่างง่ายได้สภาพการยึดรั้งที่ปลาย. (วิทยานิพนธ์ปริญญาโทบริหารธุรกิจ, มหาวิทยาลัยเทคโนโลยีพระจอมเกล้าธนบุรี).
- [16] ณัฐวิทย์ พิชัยยุทธ์. (2557). พฤติกรรมการโก่งเดาะของอิลาสติคคาที่มีความยาวส่วนโค้งแปรเปลี่ยนได้โดยมีจุดหมุนแบบสปริงอยู่ในช่วงความยาวของอิลาสติคคา. (วิทยานิพนธ์ปริญญาโทบริหารธุรกิจ, มหาวิทยาลัยเทคโนโลยีราชมงคลธัญบุรี).
- [17] B. Phungpaingam, and S. Chuchepsakul, "Postbuckling behavior of variable - arc - length elastica connected with a rotational spring joint including the effect of configurational force," *Meccanica*, Vol. 53, No. 10, pp. 2619-2636, 2018.
- [18] ปราโมทย์ เตชะอำไพ และนิพนธ์ วรณโสภาคย์. (2557). ระเบียบวิธีเชิงตัวเลขในงานวิศวกรรม. (พิมพ์ครั้งที่ 9). กรุงเทพฯ: โรงพิมพ์แห่งจุฬาลงกรณ์มหาวิทยาลัย.
- [19] วรสิทธิ์ กาญจนกิจเกษม. (2557). ระเบียบวิธีเชิงตัวเลข. กรุงเทพฯ: โรงพิมพ์แห่งจุฬาลงกรณ์มหาวิทยาลัย.
- [20] อัมพล ธรรมเจริญ. (2551). วิธีการคำนวณและการวิเคราะห์เชิงตัวเลข. กรุงเทพฯ: โรงพิมพ์พิทักษ์การพิมพ์.
- [21] ธนาวุฒิ ประกอบผล. (2555). ระเบียบวิธีเชิงตัวเลข. กรุงเทพฯ: บริษัท สำนักพิมพ์ท็อป จำกัด.

ภาคผนวก

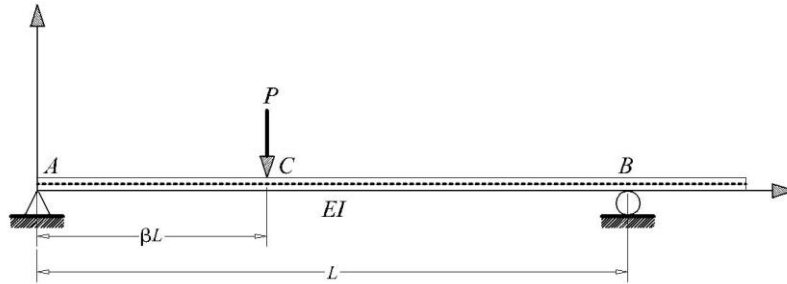


ภาคผนวก ก

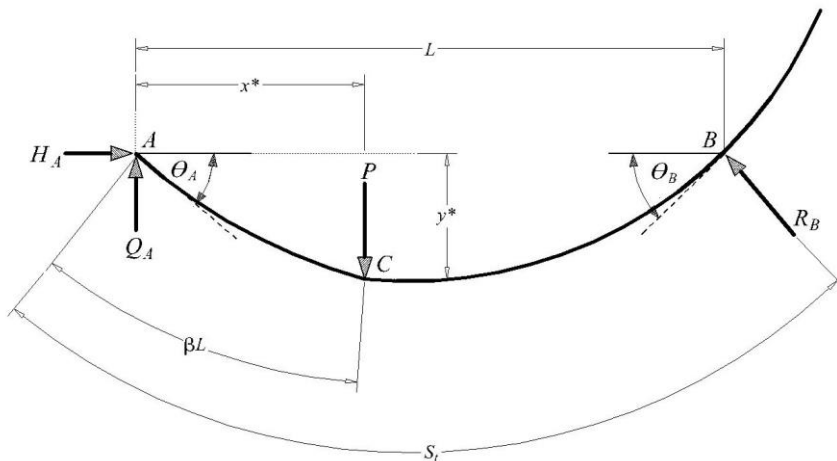
แบบจำลองของอีลาสติคคาที่มีความยาวต่อเนื่องกัน (Single VAL Elastica)



แบบจำลองของอีลาสติคคาที่มีความยาวต่อเนื่องกัน (Single VAL Elastica)



รูปที่ ก.1 รูปร่างของอีลาสติคคาที่มีความยาวส่วนโค้งแปรเปลี่ยนได้ในสภาวะก่อนการเสียรูปของอีลาสติคคาที่มีความยาวต่อเนื่องกัน (Single VAL Elastica)



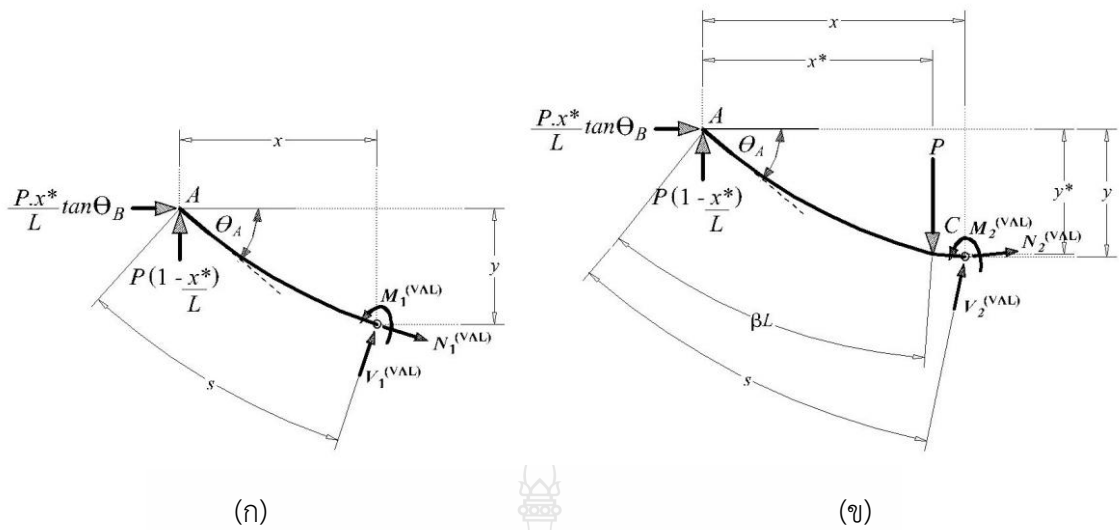
รูปที่ ก.2 รูปร่างของอีลาสติคคาที่มีความยาวส่วนโค้งแปรเปลี่ยนได้ในสภาวะหลังการเสียรูปของอีลาสติคคาที่มีความยาวต่อเนื่องกัน (Single VAL Elastica)

จากรูปที่ ก.1 และ ก.2 ใช้สมการสภาวะสมดุลคำนวณหาแรงปฏิกิริยาที่จุดรองรับได้ ดังนี้

$$R_B = \frac{P \cdot x^*}{L \cos \theta_B} \quad (\text{ก.1})$$

$$H_A = \frac{P \cdot x^*}{L} \cdot \tan \theta_B \quad (\text{ก.2})$$

$$Q_A = P \left(1 - \frac{x^*}{L} \right) \quad (\text{ก.3})$$



รูปที่ 3.3 ผังอิสระของชิ้นส่วนย่อยของอีลาสติคาคาที่มีความยาวต่อเนื่องกัน (Single VAL Elastica)
 (ก) ในช่วงพิจารณาที่ $0 \leq s \leq \beta L$ และ (ข) ในช่วงพิจารณาที่ $\beta L \leq s \leq S_t$

พิจารณาผังอิสระของชิ้นส่วนย่อยของอีลาสติคาคาจากรูปที่ 3.3 (ก) สามารถเขียนสมการสมดุลของโมเมนต์ตัดในช่อง AC หรือ $M_1^{(VAL)}$ ได้ดังนี้

$$M_1^{(VAL)} = \left(\frac{P \cdot x^*}{L} \cdot \tan \theta_B \cdot y \right) + \left(\left(P \left(1 - \frac{x^*}{L} \right) \right) \cdot x \right) \quad (ก.4)$$

จากสมการความสัมพันธ์ระหว่างโมเมนต์กับความโค้งของอีลาสติคาคาและความสัมพันธ์ทางเรขาคณิตในสมการที่ (2.1) เมื่อนำสมการที่ (ก.4) แทนค่าลงไปจะได้

$$\frac{d\theta}{ds} = \frac{M_1^{(VAL)}}{EI} = \frac{1}{EI} \left[\left(\frac{P \cdot x^*}{L} \cdot \tan \theta_B \cdot y \right) + \left(\left(P \left(1 - \frac{x^*}{L} \right) \right) \cdot x \right) \right] \quad (ก.5)$$

ดังนั้น จะได้สมการที่ (ก.5) (2.6ก) และ (2.6ข) เป็นสมการครอบคลุมปัญหา (Governing Equation) ซึ่งสามารถเขียนสมการที่ (ก.5) ในช่วงพิจารณาที่ $0 \leq s \leq \beta L$ ให้อยู่ในรูปไร้มิติได้ ดังนี้

$$\frac{d\theta}{ds} = \left[\bar{P} \cdot \bar{x}^* \cdot \tan \theta_B \cdot \bar{y} + \bar{P} \cdot (1 - \bar{x}^*) \cdot \bar{x} \right] \quad (ก.6)$$

พิจารณาผังอิสระของชิ้นส่วนย่อยของอีลาสติคาคาจากรูปที่ 3.3 (ข) สามารถเขียนสมการสมดุลของโมเมนต์ตัดในช่อง CB หรือ $M_2^{(VAL)}$ ได้ดังนี้

$$M_2^{(VAL)} = \left(\frac{P \cdot x^*}{L} \cdot \tan \theta_B \cdot (y - y^*) \right) + \left(\left(P \left(1 - \frac{x^*}{L} \right) \right) \cdot (x - x^*) \right) + K \Delta \theta \quad (ก.7)$$

จากสมการความสัมพันธ์ระหว่างโมเมนต์กับความโค้งของอีลาสติคคาและความสัมพันธ์ทางเรขาคณิตในสมการที่ (2.1) เมื่อนำสมการที่ (ก.7) แทนค่าลงไปจะได้

$$\frac{d\theta}{ds} = \frac{M_2^{(VAL)}}{EI} = \frac{1}{EI} \left[\left(\frac{P \cdot x^*}{L} \cdot \tan \theta_B \cdot (y - y^*) \right) + \left(\left(P \left(1 - \frac{x^*}{L} \right) \right) \cdot (x - x^*) \right) + K\Delta\theta \right] \quad (\text{ก.8})$$

ดังนั้น จะได้สมการที่ (ก.8) (3.7ข) และ (3.7ค) เป็นสมการครอบคลุมปัญหา (Governing Equation) ซึ่งสามารถเขียนสมการที่ (ก.8) ในช่วงพิจารณาที่ $\beta L \leq s \leq S_t$ ให้อยู่ในรูปไร้หน่วยได้ ดังนี้

$$\frac{d\theta}{d\bar{s}} = \left[\bar{P} \cdot \bar{x}^* \cdot \tan \theta_B \cdot (\bar{y} - \bar{y}^*) + \bar{P} \cdot (1 - \bar{x}^*) \cdot (\bar{x} - \bar{x}^*) - \bar{P}(\bar{x} - \bar{x}^*) + \bar{K}\Delta\theta \right] \quad (\text{ก.9})$$

สมการที่ (3.7ข, 3.7ค, ก.6 และ ก.7) เป็นสมการอนุพันธ์ที่ใช้ในการอธิบายชิ้นส่วนย่อยของอีลาสติคคา ดังนั้น หากต้องการพฤติกรรมทั้งหมดต้องทำการอินทิเกรตให้สอดคล้องกับเงื่อนไขขอบเขตของปัญหา (Boundary Condition) ดังนี้

$$\bar{x}(0) = 0 \quad ; \quad \bar{x}(\bar{S}_t) = 1 \quad (\text{ก.10 ก})$$

$$\bar{y}(0) = 0 \quad ; \quad \bar{y}(\bar{S}_t) = 0 \quad (\text{ก.10 ข})$$

$$\theta(\bar{S}_t = 0) = \theta_A \quad ; \quad \theta(\bar{S}_t = 1) = \theta_B \quad (\text{ก.10 ค})$$

$$\bar{x}^* = \bar{x}_s^* \quad (\text{ก.10 ง})$$

ภาคผนวก ข

ระเบียบวิธีรุงเง - คุดตา (Runge - Kutta method)



ระเบียบวิธีรุงเง - คูดตา (Runge - Kutta method)

ระเบียบวิธีรุงเง - คูดตา (Runge - Kutta method) จัดได้ว่าเป็นระเบียบที่ได้รับความนิยมและใช้กันอย่างกว้างขวางโดยเฉพาะในการคำนวณที่ต้องการผลลัพธ์ที่มีความเที่ยงตรงสูง รวมถึงในการคำนวณหาผลลัพธ์ในงานวิจัยนี้ด้วย โดยแนวความคิดที่ใช้ในระเบียบวิธีรุงเง - คูดตาคือ การหาค่าความชันที่มีความเที่ยงตรงสูงเพื่อก่อให้เกิดผลลัพธ์ที่มีความเที่ยงตรงสูงตามมา สมการหลักที่ใช้ในการคำนวณผลลัพธ์ในระเบียบวิธีรุงเง - คูดตานี้ อยู่ในรูปแบบตามสมการ ข.1

$$y_{i+1} = y_i + \phi(x_i, y_i, h)h \quad (\text{ข.1})$$

โดยที่ $\phi(x_i, y_i, h)$ เรียกว่า ฟังก์ชันส่วนเพิ่ม (Increment Function) ซึ่งมีความหมายถึงความชันเฉลี่ยตลอดขนาดช่องกว้าง h ที่จะนำไปใช้ในการคำนวณหาส่วนที่เพิ่มจากผลลัพธ์เดิม ฟังก์ชันส่วนเพิ่มนี้สามารถเขียนให้อยู่ในรูปแบบทั่วไป ดังนี้

$$\phi = a_1k_1 + a_2k_2 + a_3k_3 + \dots + a_nk_n \quad (\text{ข.2})$$

โดย $a_i, i = 1, 2, 3, \dots, n$ เป็นค่าคงที่ และ

$$k_1 = f(x_i, y_i) \quad (\text{ข.3ก})$$

$$k_2 = f(x_i + p_1h, y_i + q_{11}k_1h) \quad (\text{ข.3ข})$$

$$k_3 = f(x_i + p_2h, y_i + q_{21}k_1h + q_{22}k_2h) \quad (\text{ข.3ค})$$

$$\vdots \quad \vdots$$

$$k_n = f(x_i + p_{n-1}h, y_i + q_{n-1,1}k_1h + q_{n-1,2}k_2h + \dots + q_{n-1,n-1}k_{n-1}h) \quad (\text{ข.3 ง})$$

โดยตัวห้อย n บ่งบอกถึงอันดับที่ของระเบียบวิธีรุงเง - คูดตาที่เลือกใช้ เช่น เมื่อ $n=1$ จะเรียกว่าเป็นระเบียบวิธีรุงเง - คูดตาอันดับที่หนึ่ง ในทำนองเดียวกันเมื่อเลือกใช้ $n=2$ จะเรียกว่าเป็นระเบียบวิธีรุงเง - คูดตาอันดับที่สอง เป็นต้น ค่าของ $k_i, i = 1, 2, 3, \dots, n$ ในสมการ (ข.3) ขึ้นอยู่กับฟังก์ชันของสมการเชิงอนุพันธ์สามัญที่กำหนดมาให้ ในส่วนของค่า p และ q ต่างๆนั้นเป็นค่าคงที่และหากพิจารณาสมการ (ข.3) พบว่าจำเป็นต้องรู้ค่า k_1 ก่อนทำการคำนวณค่า k_2 และต้องรู้ค่า k_2 ก่อนทำการคำนวณค่า k_3 เช่นนี้เรื่อยไป สำหรับรายละเอียดของระเบียบวิธีรุงเง - คูดตาสามารถศึกษาได้จาก [18]

ภาคผนวก ค
ระเบียบวิธีนิวัตน์ - ราชภัฏ



ระเบียบวิธีนิวตัน - ราฟสัน

ระบบสมการแบบไร้เชิงเส้นจำนวน n สมการ และ n ตัวแปร คือ x_1, x_2, \dots, x_n มีรูปแบบสมการดังต่อไปนี้

$$\begin{aligned} F_1(x_1, x_2, \dots, x_n) &= 0 \\ F_2(x_1, x_2, \dots, x_n) &= 0 \\ \vdots & \\ F_n(x_1, x_2, \dots, x_n) &= 0 \end{aligned} \tag{ค.1}$$

โดยการใช้ทฤษฎีการกระจายอนุกรมของเทเลอร์ (Taylor Series) กับฟังก์ชันไร้เชิงเส้นจำนวน n สมการ สามารถจัดรูปได้ดังต่อไปนี้

$$\begin{bmatrix} \frac{\partial F_1}{\partial x_1} & \frac{\partial F_1}{\partial x_2} & \dots & \frac{\partial F_1}{\partial x_n} \\ \frac{\partial F_2}{\partial x_1} & \frac{\partial F_2}{\partial x_2} & \dots & \frac{\partial F_2}{\partial x_n} \\ \vdots & \vdots & \dots & \vdots \\ \frac{\partial F_n}{\partial x_1} & \frac{\partial F_n}{\partial x_2} & \dots & \frac{\partial F_n}{\partial x_n} \end{bmatrix} \begin{bmatrix} \Delta x_1 \\ \Delta x_2 \\ \vdots \\ \Delta x_n \end{bmatrix} = - \begin{bmatrix} F_1 \\ F_2 \\ \vdots \\ F_n \end{bmatrix} \tag{ค.2}$$

จากสมการ (ค.2) สามารถจัดรูปแบบสมการได้อีกแบบหนึ่ง คือ

$$\sum_{j=1}^n \frac{\partial F_i}{\partial x_j} \Delta x_j = -F_i \quad \text{เมื่อ } i=1, 2, 3, \dots, n \tag{ค.3}$$

หรืออีกรูปแบบหนึ่ง คือ

$$[J][\Delta x] = -[F] \tag{ค.4}$$

โดยที่เมตริกซ์ J คือ จาคอบีเยนเมตริกซ์ (Jacobian Matrix) มีค่าตามสมการต่อไปนี้

$$J_{ij} = \frac{\partial F_i}{\partial x_j} \quad \text{เมื่อ } i \text{ และ } j=1, 2, 3, \dots, n \tag{ค.5}$$

จากสมการที่ (ค.2) ถึง (ค.4) เป็นสมการที่มีเป้าหมายในการหาค่าของ Δx_j เพื่อเป็นค่าปรับแก้ของค่าเดิม x_{old} โดยมีขั้นตอนในการหาค่าปรับแก้ Δx_j ดังต่อไปนี้

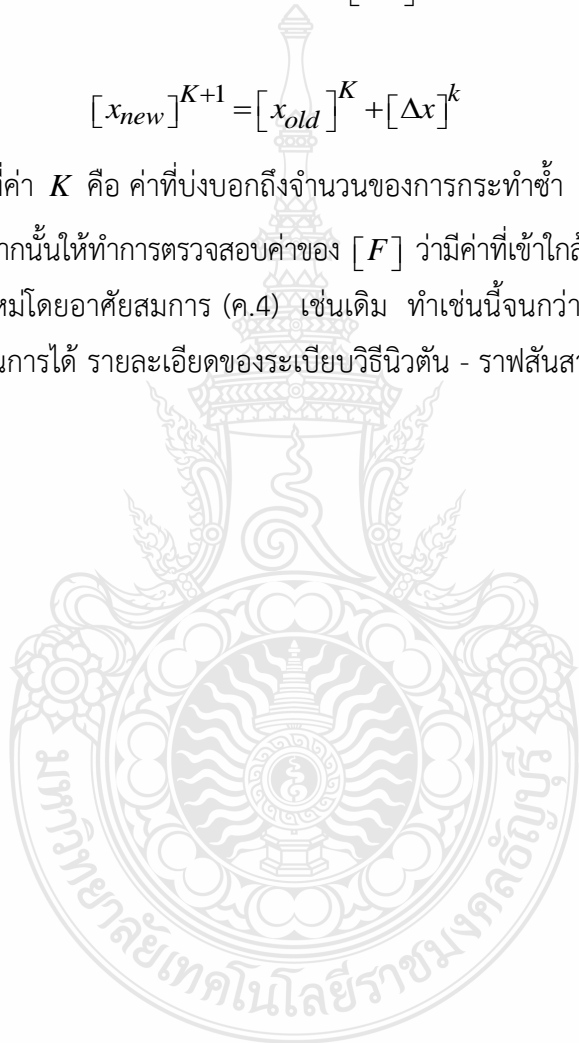
1. สมมติค่าเริ่มต้นของตัวแปร x_1, x_2, \dots, x_n
2. ทำการหาค่าของ F_1, F_2, \dots, F_n และค่าของ J_{ij} จากสมการ (ค.5)
3. ทำการหาค่า $[\Delta x]$ โดยใช้กระบวนการกำจัดแบบเกาส์ จากสมการที่ (ค.4)
4. จากขั้นตอนที่ 3 จะได้ค่าปรับแก้ $[\Delta x]$ ซึ่งเมื่อนำไปรวมกับค่าเดิมจะได้ค่าใหม่ ดัง

สมการต่อไปนี้

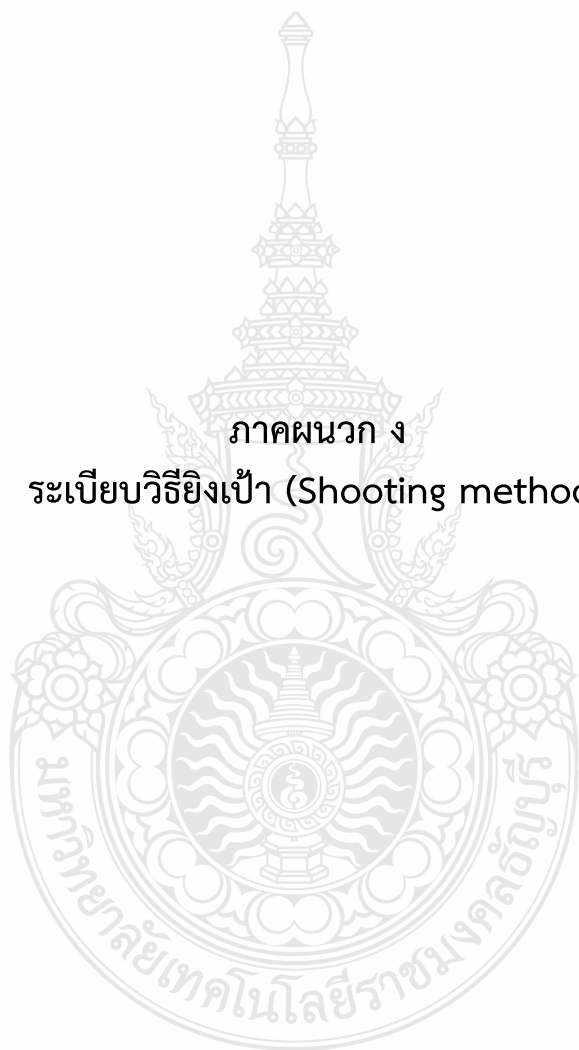
$$[x_{new}]^{K+1} = [x_{old}]^K + [\Delta x]^k \quad (\text{ค.6})$$

โดยที่ค่า K คือ ค่าที่บ่งบอกถึงจำนวนของการกระทำซ้ำ

5. จากนั้นให้ทำการตรวจสอบค่าของ $[F]$ ว่ามีค่าที่เข้าใกล้ศูนย์หรือไม่ ถ้ายังไม่เข้าใกล้ศูนย์ให้หาค่าปรับแก้ใหม่โดยอาศัยสมการ (ค.4) เช่นเดิม ทำเช่นนี้จนกว่าค่า $[F]$ จะมีค่าที่เข้าใกล้ศูนย์จึงจะหยุดกระบวนการได้ รายละเอียดของระเบียบวิธีนิวตัน - ราฟสันสามารถศึกษาได้จาก [18]

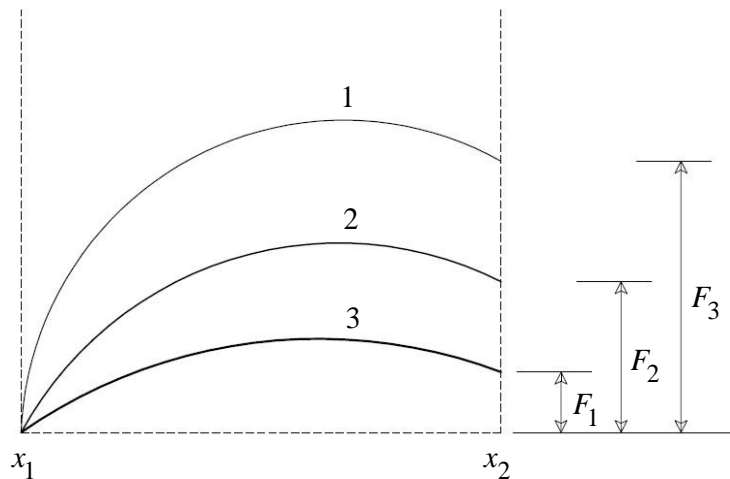


ภาคผนวก ง
ระเบียบวิธียิงเป้า (Shooting method)



ระเบียบวิธียิงเป้า (Shooting method)

วิธีการนี้ เป็นวิธีการเชิงตัวเลขวิธีการหนึ่งซึ่งสามารถจัดการกับปัญหาของระบบสมการอนุพันธ์ที่ขึ้นกับตัวแปร 1 ตัว โดยมีเงื่อนไขแบบ 2 จุด (จุดเริ่มต้น x_1 และจุดปลาย x_2) ได้เป็นอย่างดี โดยมีหลักการคือ พยายามปรับแก้ค่าที่ทำการประมาณจนกระทั่งค่าเหล่านั้นสอดคล้องกับเงื่อนไขขอบเขตทั้ง 2 จุด ตามรูปที่ ง.1 โดยที่วิธีการปรับแก้ที่ใช้คือ วิธีการนิวตัน - ราฟสัน



รูปที่ ง.1 วิธีการยิงเป้า

กระบวนการในการแก้ไขปัญหาดังกล่าวโดยใช้ระเบียบวิธียิงเป้ามีขั้นตอนดังต่อไปนี้

1. ที่จุดเริ่มต้น x_1 นี้จะมีค่าเริ่มต้นอยู่ N ค่า โดยค่าแต่ละค่าเหล่านี้จะอยู่ภายใต้เงื่อนไขขอบเขตที่ x_1 อยู่ n_1 ค่า ดังนั้นจะเหลือค่าของพารามิเตอร์ที่จำเป็นต้องอาศัยการประมาณค่าอยู่ $n_2 = N - n_1$ ค่า ซึ่งจะเรียกพารามิเตอร์เหล่านี้ว่า เวกเตอร์ V มีขนาดเท่ากับ $n_2 x_1$ ซึ่งสามารถเขียนให้อยู่ในรูปของสมการได้ดังนี้

$$y_i(x_1) = y_i(x_1, V_1, \dots, V_{n_2}) \quad i = 1, \dots, N \quad (\text{ง.1})$$

2. อินทิเกรตระบบสมการอนุพันธ์จากจุด x_1 ไปจนถึงจุด x_2 โดยที่ ณ ตำแหน่ง x_2 นี้ให้ทำการหาค่าความแตกต่างของค่าที่อินทิเกรตได้กับเงื่อนไขขอบเขตที่ x_2 ซึ่งเรียกค่านี้ว่า เวกเตอร์ของค่าที่แตกต่าง (Discrepancy vector F) ซึ่งเวกเตอร์นี้มีขนาดเท่ากับ $n_2 x_2$ เช่นเดียวกับเวกเตอร์ V

3. ใช้กระบวนการของวิธีการนิวตัน - ราวสัน เพื่อหาค่าของเวกเตอร์ V ที่ทำให้เวกเตอร์ F มีค่าเป็นศูนย์ โดยมีขั้นตอนการปรับแก้ดังนี้

$$V_{new} = V_{old} + \delta V \quad (ง.2)$$

$$J \delta V = -F \quad (ง.3)$$

โดยที่ J คือ จาคอบีเยนเมตริกซ์ (Jacobian Matrix) มีค่าเท่ากับ

$$J_{ij} = \frac{\partial F_i}{\partial V_j} \quad (ง.4)$$

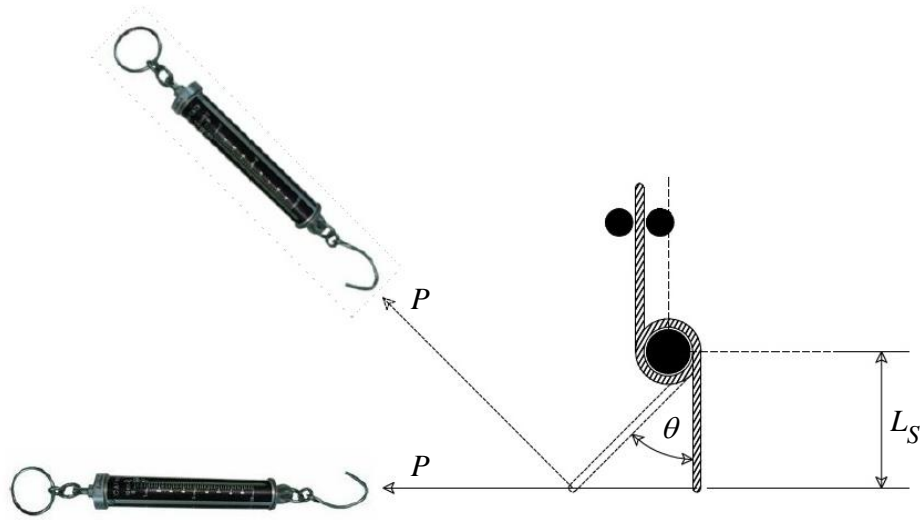
โดยค่าของเวกเตอร์ V ที่ทำให้ค่าเวกเตอร์มีค่าเท่ากับศูนย์ คือ ค่าของพารามิเตอร์ที่ไม่ทราบค่าสอดคล้องกับเงื่อนไขขอบเขตทั้ง 2 จุดนั่นเอง โดยที่รายละเอียดสามารถศึกษาเพิ่มเติมได้จาก [18]



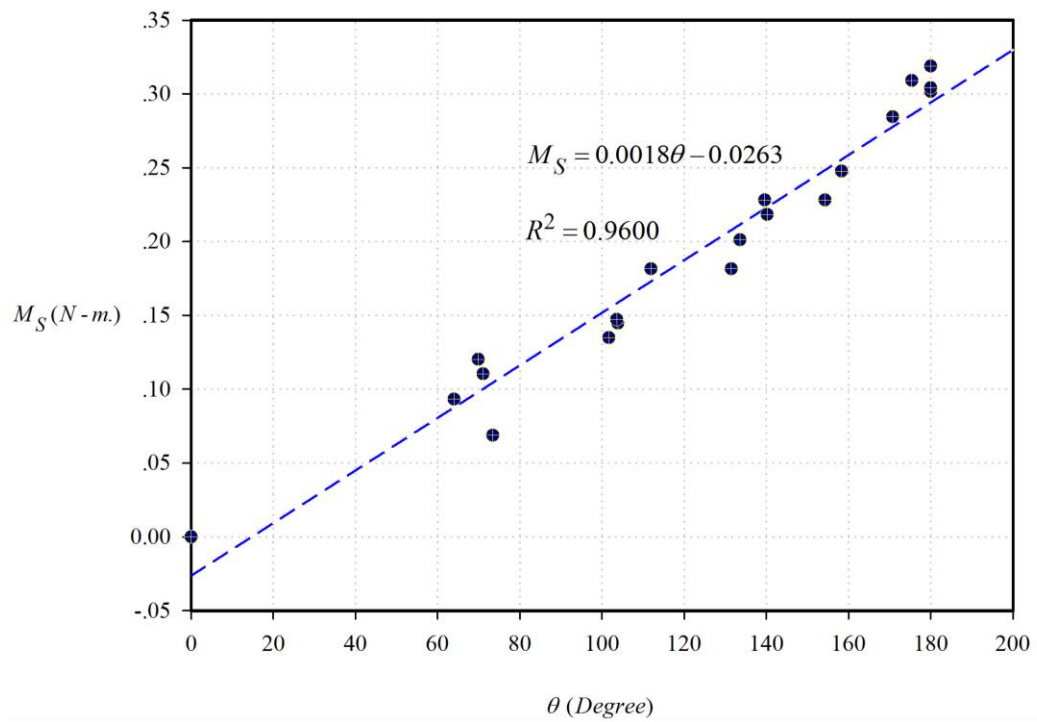
ภาคผนวก จ
การทดสอบหาค่าสถิติฟเนสของสปริง



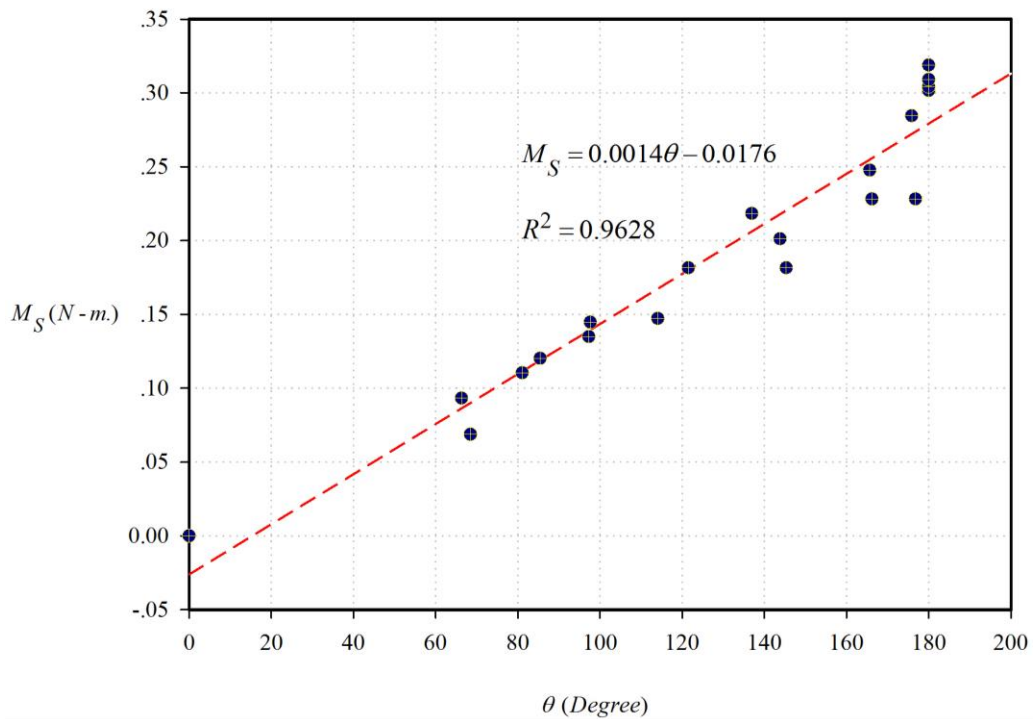
การทดสอบหาค่าสติเฟนของสปริง



รูปที่ จ.1 แบบจำลองการทดสอบเพื่อหาค่าสติเฟนของสปริง



รูปที่ จ.2 ความสัมพันธ์ระหว่างโมเมนต์กับมุมของสปริง (กรณีหมุนตามเข็มนาฬิกา)



รูปที่ จ.3 ความสัมพันธ์ระหว่างโมเมนต์กับมุมของสปริง (กรณีหมุนทวนเข็มนาฬิกา)

สมการแสดงความสัมพันธ์ระหว่างค่าสติเฟนของสปริง (K) และแรงกระทำที่ปลายของสปริง (P)

$$\bar{K} = \frac{KL}{EI} \quad (จ.1)$$

โดยที่

- \bar{K} คือ สติเฟนของสปริงในรูปไร้หน่วย
- K คือ ความชัน (Slope) จากความสัมพันธ์ระหว่างโมเมนต์ตัดและมุมของสปริง
- L คือ ความยาวช่วงของอีลาสติกคา
- E คือ โมดูลัสความยืดหยุ่นของแผ่นโพลีคาร์บอเนต
- I คือ โมเมนต์ความเฉื่อยพื้นที่ของแผ่นโพลีคาร์บอเนต

การคำนวณหาค่าสติเฟนทของสปริง

โดยที่ค่าโมดูลัสความยืดหยุ่นของแผ่นโพลีคาร์บอเนต

$$E = 2.052 \text{ Gpa.} \quad (จ.2)$$

ค่าโมเมนต์ความเฉื่อยพื้นที่ของโพลีคาร์บอเนต

$$I = \frac{bh^3}{12} = \frac{0.05 \times 0.002^3}{12} = 3.33 \times 10^{-11} \text{ m}^4 \quad (จ.3)$$

ค่าความยาวของอีลาสติคคา

$$L = 1.60 \text{ m.} \quad (\text{จ.4})$$

จากรูปที่ (จ.2) และ (จ.3) จะได้ค่าสตีเฟนของสปริงตามเข็มนาฬิกา

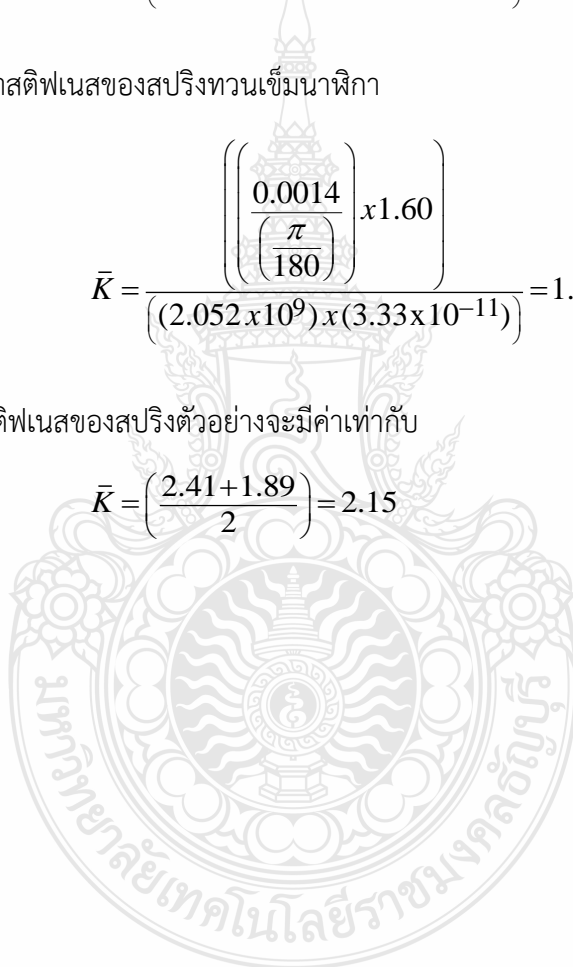
$$\bar{K} = \frac{\left(\left(\frac{0.0018}{\left(\frac{\pi}{180} \right)} \right) x 1.60 \right)}{\left((2.052 x 10^9) x (3.33 x 10^{-11}) \right)} = 2.41 \quad (\text{จ.5})$$

และจะได้ค่าสตีเฟนของสปริงทวนเข็มนาฬิกา

$$\bar{K} = \frac{\left(\left(\frac{0.0014}{\left(\frac{\pi}{180} \right)} \right) x 1.60 \right)}{\left((2.052 x 10^9) x (3.33 x 10^{-11}) \right)} = 1.89 \quad (\text{จ.6})$$

ดังนั้น ค่าสตีเฟนของสปริงตัวอย่างจะมีค่าเท่ากับ

$$\bar{K} = \left(\frac{2.41 + 1.89}{2} \right) = 2.15 \quad (\text{จ.7})$$



ภาคผนวก ฉ
ตัวอย่างโปรแกรมการคำนวณ



1. ตัวอย่างคำสั่งสำหรับการคำนวณวิธียิงเป้า โดยใช้โปรแกรม MATLAB กรณีที่ระยะ $\alpha < \beta$

```
function dydx=goveqs1_valspringl(x,y)
global P xstar cetaB
dydx=zeros(3,1);
dydx(1)=(((P*xstar)*(tan(cetaB)))*(y(3)))+(P*(1-xstar))*y(2); % dM/ds ---> M1 CASE I alpha
< beta
dydx(2)=cos(y(1)); % dx/ds ---> x
dydx(3)=sin(y(1)); % dy/ds ---> y
end
```

```
function dydx=goveqs2_valspringl(x,y)
global P xstar cetaB xc yc K dtheta
dydx=zeros(3,1);
dydx(1)=(((P*xstar)*(tan(cetaB)))*(y(3)-yc))+((P*(1-xstar))*(y(2)-xc))+(K*(dtheta)); % dM/ds
---> M2 CASE I alpha < beta
dydx(2)=cos(y(1)); % dx/ds ---> x
dydx(3)=sin(y(1)); % dy/ds ---> y
end
```

```
function dydx=goveqs3_valspringl(x,y)
global P xstar cetaB xc yc K dtheta
dydx=zeros(3,1);
dydx(1)=(((P*xstar)*(tan(cetaB)))*(y(3)-yc))+((P*(1-xstar))*(y(2)-xc))-(P*(y(2)-
xstar))+(K*(dtheta)); % dM/ds ---> M3 CASE I alpha < beta
dydx(2)=cos(y(1)); % dx/ds ---> x
dydx(3)=sin(y(1)); % dy/ds ---> y
end
```

```
function r=score_valspringl(v)
global cetaB beta alpha P cetaA xc yc xstar st dtheta pl K
r=zeros(7,1);
P=v(1);
cetaB=v(2);
xc=v(3);
yc=v(4);
```



```

xstar=v(5);
cetaA=v(6);
dtheta=v(7);

odeoptions=odeset('RelTol',1.0e-6,'AbsTol',1.0e-7);
[x1 y1]=ode45('goveqs1_valspring',[0 alpha],[cetaA 0 0]);
lastrow1=size(y1,1);
xcs=y1(lastrow1,2); ycs=y1(lastrow1,3); ceta1=y1(lastrow1,1);

ceta2=ceta1+dtheta;
[x2 y2]=ode45('goveqs2_valspring',[alpha beta],[ceta2 xcs ycs],odeoptions);
lastrow2=size(y2,1);
xss=y2(lastrow2,2); yss=y2(lastrow2,3); cetaP=y2(lastrow2,1);

[x3 y3]=ode45('goveqs3_valspring',[beta st],[cetaP xss yss],odeoptions);
lastrow3=size(y3,1);

if (pl==1)
    figure(1)
    hold on;
    title ('Equilibrium shape');
    plot(y1(:,2),y1(:,3));
    plot(y2(:,2),y2(:,3));
    plot(y3(:,2),y3(:,3));
    axis on;
    axis equal;
    grid on;
end

r(1)=y3(lastrow3,2)-1;
r(2)=y3(lastrow3,3);
r(3)=y3(lastrow3,1)-cetaB;
r(4)=xc-xcs;
r(5)=yc-ycs;
r(6)=xstar-xss;

```

```

r(7)=((P*xstar*(tan(cetaB))*yc)+(P*(1-xstar)*xc)-(K*dtheta);
end

```

```

function valelastica_springl
% "EFFECT OF ROTATIONAL SPRING JOINT ON LARGE DEFLECTIONS BEHAVIOR OF
% VARIABLE-ARC-LENGTH ELASTICA SUBJECTED TO POINT LOAD"
beep
clear
global st alpha beta K pl
format long
st=input('st = '); % <--- The controlled parameter
alpha=input('position of spring joint (alpha) = ');
beta=input('position of point load (beta) = ');
K=input('stiffness of spring joint (K) = ');

v(1)=input('point load (P) = ');
v(2)=input('cetaB = ');
v(3)=input('xc = ');
v(4)=input('yc = ');
v(5)=input('xstar = ');
v(6)=input('cetaA = ');
v(7)=input('difference in angle at spring joint (dtheta) = ');

pl=input('Plot configuration shapes (yes (1), no (0)) = ');
lim=input('The limitation of shortening which considered (limitation) = ');
inc=input('The increment of shortening in each considered (increment) = ');
fid=fopen('output.txt','wt');
fprintf(fid,'output of Simple beam subjected to point load with in span-length of the
beam elastica\n');
fprintf(fid,' st          P          cetaB          xc          yc
xstar          cetaA          dtheta          test\n');
i=0;
dv=0.0001;

while (abs(st)<abs(lim))

```

```

v0=[v(1) v(2) v(3) v(4) v(5) v(6) v(7)];
options=optimset(optimset('fsolve'),'MaxFunEvals',400,'TolFun',1e-15,'TolX',1.0e-15);
[v fval]=fsolve('score_valspring!',v0,options)
test=max(abs(fval));
while (test>1.0e-7&& i<25)
    i=i+1;
    v(1)=v(1)+dv; v(2)=v(2)+dv; v(3)=v(3)+dv; v(4)=v(4)+dv; v(5)=v(5)+dv; v(6)=v(6)+dv;
v(7)=v(7)+dv;
    v0=[v(1) v(2) v(3) v(4) v(5) v(6) v(7)];
    [v fval]=fsolve('score_valspring!',v0,options)
    test=max(abs(fval));
end

fprintf(fid,'%12.9f      %12.9f      %12.9f      %12.9f      %12.9f      %12.9f
%12.9f      %12.9f      %12.9f\n',st,v(1),v(2),v(3),v(4),v(5),v(6),v(7),test);
st=st+inc
end

fclose(fid)
end

```



2. ตัวอย่างคำสั่งสำหรับการคำนวณวิธียิงเป้า โดยใช้โปรแกรม MATLAB กรณีที่ระยะ $\alpha = \beta$

```
function dydx=goveqs1_valspringll(x,y)
global P xstar cetaB
dydx=zeros(3,1);
dydx(1)=(((P*xstar)*(tan(cetaB)))*y(3))+((P*(1-xstar))*y(2)); % dM/ds ---> M1 CASE II alpha
= beta
dydx(2)=cos(y(1)); % dx/ds ---> x
dydx(3)=sin(y(1)); % dy/ds ---> y
end
```

```
function dydx=goveqs2_valspringll(x,y)
global P xstar cetaB ystar K dtheta
dydx=zeros(3,1);
dydx(1)=(((P*xstar)*(tan(cetaB)))*(y(3)-ystar))+((P*(1-xstar))*(y(2)-xstar))-P*(y(2)-
xstar))+K*(dtheta)); % dM/ds ---> M2 CASE II alpha = beta
dydx(2)=cos(y(1)); % dx/ds ---> x
dydx(3)=sin(y(1)); % dy/ds ---> y
end
```

```
function r=score_valspringll(v)
global cetaB beta P cetaA xstar ystar st dtheta pl K
r=zeros(6,1);
P=v(1);
cetaB=v(2);
xstar=v(3);
ystar=v(4);
cetaA=v(5);
dtheta=v(6);
odeoptions=odeset('RelTol',1.0e-6,'AbsTol',1.0e-7);
[x1 y1]=ode45('goveqs1_valspringll',[0 beta],[cetaA 0 0]);
lastrow1=size(y1,1);
xss=y1(lastrow1,2); yss=y1(lastrow1,3); ceta1=y1(lastrow1,1);

ceta2=ceta1+dtheta;
[x2 y2]=ode45('goveqs2_valspringll',[beta st],[ceta2 xss yss],odeoptions);
```

```

lastrow2=size(y2,1);

if (pl==1)
    figure(1)
    hold on;
    title ('Equilibrium shape');
    plot(y1(:,2),y1(:,3));
    plot(y2(:,2),y2(:,3));
    axis on;
    axis equal;
    grid on;
end

r(1)=y2(lastrow2,2)-1;
r(2)=y2(lastrow2,3);
r(3)=y2(lastrow2,1)-cetaB;
r(4)=xstar-xss;
r(5)=ystar-yss;
r(6)=((P*xstar*(tan(cetaB))*ystar)+(P*(1-xstar)*xstar)-(K*dtheta);
end

function valelastica_springll
% "EFFECT OF ROTATIONAL SPRING JOINT ON LARGE DEFLECTIONS BEHAVIOR OF
% VARIABLE-ARC-LENGTH ELASTICA SUBJECTED TO POINT LOAD"
beep
clear
global st beta K pl
format long
st=input('st = '); % <--- The controlled parameter
beta=input('position of spring joint and position of point load (beta) = ');
K=input('stiffness of spring joint (K) = ');

v(1)=input('point load (P) = ');
v(2)=input('cetaB = ');
v(3)=input('xstar = ');

```

```

v(4)=input('ystar = ');
v(5)=input('cetaA = ');
v(6)=input('difference in angle at spring joint (dtheta) = ');

pl=input('Plot configuration shapes (yes (1), no (0)) = ');
lim=input('The limitation of shortening which considered (limitation) = ');
inc=input('The increment of shortening in each considered (increment) = ');
fid=fopen('output.txt','wt');
fprintf(fid,'output of Simple beam subjected to point load with in span-length of the
beam elastica\n');
fprintf(fid,'  st          P          cetaB          xstar          ystar
cetaA          dtheta          test\n');
i=0;
dv=0.0001;

while (abs(st)<abs(lim))
    v0=[v(1) v(2) v(3) v(4) v(5) v(6)];
    options=optimset(optimset('fsolve'),'MaxFunEvals',400,'TolFun',1e-15,'TolX',1.0e-15);
    [v fval]=fsolve('score_valspringll',v0,options)
    test=max(abs(fval));
while (test>1.0e-7&&i<25)
    i=i+1;
    v(1)=v(1)+dv; v(2)=v(2)+dv; v(3)=v(3)+dv; v(4)=v(4)+dv; v(5)=v(5)+dv; v(6)=v(6)+dv;
    v0=[v(1) v(2) v(3) v(4) v(5) v(6)];
    [v fval]=fsolve('score_valspringll',v0,options)
    test=max(abs(fval));
end

fprintf(fid,'%12.9f          %12.9f          %12.9f          %12.9f          %12.9f          %12.9f
%12.9f          %12.9f\n',st,v(1),v(2),v(3),v(4),v(5),v(6),test);
st=st+inc
end

fclose(fid)
end

```

3. ตัวอย่างคำสั่งสำหรับการคำนวณวิธียิงเป้า โดยใช้โปรแกรม MATLAB กรณีที่ระยะ $\alpha > \beta$

```
function dydx=goveqs1_valspringIII(x,y)
global P xstar cetaB
dydx=zeros(3,1);
dydx(1)=(((P*xstar)*(tan(cetaB)))y(3))+((P*(1-xstar))*y(2)); % dM/ds ---> M1 caselll alpha
> beta
dydx(2)=cos(y(1)); % dx/ds ---> x
dydx(3)=sin(y(1)); % dy/ds ---> y
end
```

```
function dydx=goveqs2_valspringIII(x,y)
global P xstar cetaB
dydx=zeros(3,1);
dydx(1)=(((P*xstar)*(tan(cetaB)))y(3))+((P*(1-xstar))*y(2))-P*(y(2)-xstar)); % dM/ds --->
M2 caselll alpha > beta
dydx(2)=cos(y(1)); % dx/ds ---> x
dydx(3)=sin(y(1)); % dy/ds ---> y
end
```

```
function dydx=goveqs3_valspringIII(x,y)
global P xstar cetaB xd yd K dtheta
dydx=zeros(3,1);
dydx(1)=(((P*xstar)*(tan(cetaB)))*(y(3)-yd))+((P*(1-xstar))*(y(2)-xd))-P*(y(2)-
xd))+K*(dtheta); % dM/ds ---> M3 caselll alpha > beta
dydx(2)=cos(y(1)); % dx/ds ---> x
dydx(3)=sin(y(1)); % dy/ds ---> y
end
```

```
function r=score_valspringIII(v)
global cetaB beta alpha P cetaA xd yd xstar st dtheta pl K
r=zeros(7,1);
P=v(1);
cetaB=v(2);
xd=v(3);
yd=v(4);
```

```

xstar=v(5);
cetaA=v(6);
dtheta=v(7);

odeoptions=odeset('RelTol',1.0e-6,'AbsTol',1.0e-7);
[x1 y1]=ode45('goveqs1_valspringIII',[0 beta],[cetaA 0 0]);
lastrow1=size(y1,1);
xss=y1(lastrow1,2); yss=y1(lastrow1,3); cetaP=y1(lastrow1,1);

[x2 y2]=ode45('goveqs2_valspringIII',[beta alpha],[cetaP xss yss],odeoptions);
lastrow2=size(y2,1);
xds=y2(lastrow2,2); yds=y2(lastrow2,3); ceta1=y2(lastrow2,1);

ceta2=ceta1+dtheta;
[x3 y3]=ode45('goveqs3_valspringIII',[alpha st],[ceta2 xds yds],odeoptions);
lastrow3=size(y3,1);

if (pl==1)
    figure(1)
    hold on;
    title ('Equilibrium shape');
    plot(y1(:,2),y1(:,3));
    plot(y2(:,2),y2(:,3));
    plot(y3(:,2),y3(:,3));
    axis on;
    axis equal;
    grid on;
end

r(1)=y3(lastrow3,2)-1;
r(2)=y3(lastrow3,3);
r(3)=y3(lastrow3,1)-cetaB;
r(4)=xd-xds;
r(5)=yd-yds;
r(6)=xstar-xss;

```



```

r(7)=((P*xstar*(tan(cetaB))*yd)+(P*(1-xstar)*xd)-(P*(xd-xstar)))-(K*dtheta);
end

```

```

function valelastica_springIII
% "EFFECT OF ROTATIONAL SPRING JOINT ON LARGE DEFLECTIONS BEHAVIOR OF
% VARIABLE-ARC-LENGTH ELASTICA SUBJECTED TO POINT LOAD"
beep
clear
global st alpha beta K pl
format long
st=input('st = '); % <--- The controlled parameter
alpha=input('position of spring joint (alpha) = ');
beta=input('position of point load (beta) = ');
K=input('stiffness of spring joint (K) = ');

v(1)=input('point load (P) = ');
v(2)=input('cetaB = ');
v(3)=input('xd = ');
v(4)=input('yd = ');
v(5)=input('xstar = ');
v(6)=input('cetaA = ');
v(7)=input('difference in angle at spring joint (dtheta) = ');

pl=input('Plot configuration shapes (yes (1), no (0)) = ');
lim=input('The limitation of shortening which considered (limitation) = ');
inc=input('The increment of shortening in each considered (increment) = ');
fid=fopen('output.txt','wt');
fprintf(fid,'output of Simple beam subjected to point load with in span-length of the
beam elastica\n');
fprintf(fid,' st P cetaB xd yd
xstar cetaA dtheta test\n');
i=0;
dv=0.0001;

while (abs(st)<abs(lim))

```

```

v0=[v(1) v(2) v(3) v(4) v(5) v(6) v(7)];
options=optimset(optimset('fsolve'),'MaxFunEvals',400,'TolFun',1e-15,'TolX',1.0e-15);
[v fval]=fsolve('score_valspringIII',v0,options)
test=max(abs(fval));
while (test>1.0e-7&& i<25)
    i=i+1;
    v(1)=v(1)+dv; v(2)=v(2)+dv; v(3)=v(3)+dv; v(4)=v(4)+dv; v(5)=v(5)+dv; v(6)=v(6)+dv;
v(7)=v(7)+dv;
    v0=[v(1) v(2) v(3) v(4) v(5) v(6) v(7)];
    [v fval]=fsolve('score_valspringIII',v0,options)
    test=max(abs(fval));
end

fprintf(fid,'%12.9f      %12.9f      %12.9f      %12.9f      %12.9f      %12.9f
%12.9f      %12.9f      %12.9f\n',st,v(1),v(2),v(3),v(4),v(5),v(6),v(7),test);
st=st+inc
end

fclose(fid)
end

```



ภาคผนวก ข
ผลการคำนวณเชิงตัวเลข



ตารางที่ ข.1 ความสัมพันธ์ระหว่าง $\bar{S}_t, \bar{P}, \theta_B, \bar{x}_C, \bar{y}_C, \bar{x}^*, \theta_A, \Delta\theta$ ในกรณีที่ 1 ($\alpha < \beta$)
โดยพิจารณาค่าคงที่ $\alpha = 0.25, \beta = 0.35$ และค่า $\bar{K} = 1$

\bar{S}_t	\bar{P}	θ_B	\bar{x}_C	\bar{y}_C	\bar{x}^*	θ_A	$\Delta\theta$
1.00	0.000000	0.000000	0.000000	0.000000	0.000000	0.000000	0.000000
1.02	2.000613	0.171795	0.235737	-0.083188	0.335729	-0.351841	0.303588
1.04	3.001155	0.240284	0.221293	-0.116250	0.321281	-0.501189	0.423296
1.06	3.915913	0.291305	0.206709	-0.140532	0.306681	-0.618075	0.510606
1.08	4.840850	0.333291	0.192033	-0.159984	0.291958	-0.718324	0.579918
1.10	5.826152	0.369639	0.177328	-0.176128	0.277150	-0.807885	0.636614
1.12	6.912912	0.402191	0.162670	-0.189737	0.262310	-0.889637	0.683196
1.14	8.143776	0.432124	0.148158	-0.201263	0.247503	-0.965100	0.720846
1.16	9.568333	0.460278	0.133914	-0.211002	0.232811	-1.035051	0.749988
1.18	11.246887	0.487274	0.120088	-0.219162	0.218333	-1.099791	0.770564
1.20	13.253158	0.513564	0.106857	-0.225908	0.204185	-1.159298	0.782203
1.22	15.675414	0.539412	0.094410	-0.231388	0.190487	-1.213345	0.784414
1.24	18.615259	0.564861	0.082934	-0.235750	0.177344	-1.261650	0.776810
1.26	22.184202	0.589711	0.072567	-0.239151	0.164826	-1.304039	0.759365
1.28	26.500062	0.613552	0.063375	-0.241759	0.152938	-1.340599	0.732594
1.30	31.686964	0.635870	0.055329	-0.243736	0.141621	-1.371746	0.697561
1.32	37.882233	0.656197	0.048323	-0.245232	0.130770	-1.398163	0.655715
1.34	45.251516	0.674226	0.042202	-0.246369	0.120258	-1.420664	0.608625
1.36	54.012808	0.689852	0.036808	-0.247242	0.109972	-1.440054	0.557761
1.38	64.472017	0.703153	0.031997	-0.247919	0.099827	-1.457027	0.504370
1.40	77.076877	0.714331	0.027653	-0.248448	0.089773	-1.472136	0.449445
1.42	92.504056	0.723649	0.023691	-0.248863	0.079789	-1.485790	0.393757
1.44	111.809899	0.731387	0.020051	-0.249187	0.069882	-1.498285	0.337904
1.46	136.711295	0.737808	0.016691	-0.249438	0.060074	-1.509830	0.282389
1.48	170.153024	0.743150	0.013585	-0.249628	0.050406	-1.520567	0.227702
1.50	217.565822	0.747617	0.010719	-0.249769	0.040933	-1.530595	0.174437
1.52	290.005200	0.751388	0.008089	-0.249869	0.031731	-1.539968	0.123490
1.54	413.308644	0.754622	0.005702	-0.249935	0.022922	-1.548692	0.076454
1.56	589.823375	0.757592	0.004142	-0.249521	0.016447	-1.554940	0.042439
1.58	587.207211	0.757569	0.004110	-0.249524	0.016525	-1.554876	0.042788
1.60	580.135418	0.757516	0.004154	-0.249523	0.016716	-1.554692	0.043726

ตารางที่ ข.2 ความสัมพันธ์ระหว่าง $\bar{S}_t, \bar{P}, \theta_B, \bar{x}_C, \bar{y}_C, \bar{x}^*, \theta_A, \Delta\theta$ ในกรณีที่ 1 ($\alpha < \beta$)
โดยพิจารณาค่าคงที่ $\alpha = 0.25, \beta = 0.35$ และค่า $\bar{K} = 10$

\bar{S}_t	\bar{P}	θ_B	\bar{x}_C	\bar{y}_C	\bar{x}^*	θ_A	$\Delta\theta$
1.00	0.000000	0.000000	0.000000	0.000000	0.000000	0.000000	0.000000
1.02	4.464430	0.232938	0.239297	-0.072092	0.338435	-0.320743	0.068092
1.04	6.592986	0.323823	0.228588	-0.100860	0.326741	-0.454086	0.094173
1.06	8.455313	0.389687	0.217867	-0.122181	0.314912	-0.556850	0.112842
1.08	10.251548	0.441938	0.207132	-0.139512	0.302942	-0.643928	0.127514
1.10	12.067276	0.485076	0.196379	-0.154204	0.290827	-0.721078	0.139533
1.12	13.954884	0.521464	0.185611	-0.166950	0.278564	-0.791229	0.149580
1.14	15.954411	0.552549	0.174833	-0.178159	0.266153	-0.856091	0.158048
1.16	18.101622	0.579311	0.164055	-0.188096	0.253598	-0.916740	0.165169
1.18	20.432284	0.602467	0.153291	-0.196941	0.240907	-0.973881	0.171083
1.20	22.985228	0.622573	0.142564	-0.204825	0.228093	-1.027980	0.175863
1.22	25.805185	0.640077	0.131901	-0.211842	0.215173	-1.079344	0.179541
1.24	28.945937	0.655351	0.121333	-0.218068	0.202169	-1.128161	0.182112
1.26	32.474160	0.668712	0.110900	-0.223564	0.189109	-1.174532	0.183548
1.28	36.474418	0.680430	0.100644	-0.228381	0.176023	-1.218492	0.183799
1.30	41.055904	0.690739	0.090613	-0.232568	0.162947	-1.260026	0.182796
1.32	46.361884	0.699839	0.080859	-0.236167	0.149920	-1.299079	0.180458
1.34	52.583307	0.707904	0.071435	-0.239223	0.136985	-1.335569	0.176690
1.36	59.979175	0.715080	0.062397	-0.241779	0.124184	-1.369396	0.171390
1.38	68.908079	0.721491	0.053803	-0.243880	0.111565	-1.400457	0.164448
1.40	79.878994	0.727243	0.045707	-0.245572	0.099176	-1.428659	0.155758
1.42	93.636821	0.732422	0.038162	-0.246903	0.087064	-1.453936	0.145215
1.44	111.313929	0.737098	0.031217	-0.247921	0.075280	-1.476265	0.132736
1.46	134.715037	0.741332	0.024911	-0.248672	0.063872	-1.495689	0.118262
1.48	166.893015	0.745173	0.019280	-0.249204	0.052894	-1.512332	0.101789
1.50	213.421123	0.748664	0.014348	-0.249561	0.042403	-1.526409	0.083406
1.52	285.550250	0.751849	0.010133	-0.249783	0.032472	-1.538230	0.063384
1.54	409.364355	0.754777	0.006645	-0.249908	0.023206	-1.548169	0.042407
1.55	509.600947	0.756163	0.005175	-0.249945	0.018872	-1.552549	0.032007

ตารางที่ ข.3 ความสัมพันธ์ระหว่าง $\bar{S}_t, \bar{P}, \theta_B, \bar{x}_C, \bar{y}_C, \bar{x}^*, \theta_A, \Delta\theta$ ในกรณีที่ 1 ($\alpha < \beta$)
โดยพิจารณาค่าคงที่ $\alpha = 0.25, \beta = 0.35$ และค่า $\bar{K} = 100$

\bar{S}_t	\bar{P}	θ_B	\bar{x}_C	\bar{y}_C	\bar{x}^*	θ_A	$\Delta\theta$
1.00	0.000000	0.000000	0.000000	0.000000	0.000000	0.000000	0.000000
1.02	5.012132	0.244250	0.240427	-0.068151	0.339094	-0.307891	0.007676
1.04	7.387473	0.338853	0.230816	-0.095545	0.328039	-0.435959	0.010642
1.06	9.457024	0.406906	0.221152	-0.116002	0.316821	-0.534808	0.012790
1.08	11.445671	0.460445	0.211425	-0.132773	0.305427	-0.618771	0.014506
1.10	13.448045	0.504234	0.201623	-0.147125	0.293849	-0.693397	0.015939
1.12	15.520114	0.540783	0.191742	-0.159702	0.282076	-0.761510	0.017166
1.14	17.702527	0.571641	0.181781	-0.170885	0.270106	-0.824760	0.018232
1.16	20.029551	0.597865	0.171742	-0.180916	0.257937	-0.884182	0.019161
1.18	22.533716	0.620241	0.161636	-0.189956	0.245576	-0.940456	0.019970
1.20	25.249086	0.639377	0.151478	-0.198121	0.233032	-0.994032	0.020666
1.22	28.214240	0.655773	0.141288	-0.205491	0.220321	-1.045210	0.021253
1.24	31.475504	0.669844	0.131093	-0.212132	0.207463	-1.094178	0.021731
1.26	35.090830	0.681940	0.120922	-0.218091	0.194484	-1.141049	0.022096
1.28	39.134780	0.692364	0.110811	-0.223409	0.181412	-1.185872	0.022345
1.30	43.705193	0.701371	0.100796	-0.228124	0.168280	-1.228651	0.022469
1.32	48.932562	0.709184	0.090920	-0.232268	0.155123	-1.269351	0.022459
1.34	54.993676	0.715991	0.081227	-0.235872	0.141982	-1.307901	0.022305
1.36	62.132200	0.721953	0.071768	-0.238968	0.128900	-1.344199	0.021991
1.38	70.690831	0.727209	0.062593	-0.241589	0.115921	-1.378117	0.021501
1.40	81.163435	0.731876	0.053763	-0.243768	0.103099	-1.409504	0.020813
1.42	94.283129	0.736056	0.045339	-0.245540	0.090488	-1.438190	0.019902
1.44	111.178353	0.739834	0.037391	-0.246942	0.078152	-1.464008	0.018737
1.46	133.666044	0.743284	0.029994	-0.248014	0.066160	-1.486805	0.017280
1.48	164.842078	0.746467	0.023229	-0.248798	0.054593	-1.506483	0.015490
1.50	210.380504	0.749439	0.017184	-0.249339	0.043545	-1.523044	0.013323
1.52	281.738420	0.752246	0.011949	-0.249681	0.033131	-1.536641	0.010740
1.54	405.378462	0.754932	0.007614	-0.249873	0.023499	-1.547621	0.007745
1.55	505.920822	0.756246	0.005810	-0.249927	0.019039	-1.552280	0.006126

ตารางที่ ข.4 ความสัมพันธ์ระหว่าง $\bar{S}_t, \bar{P}, \theta_B, \bar{x}_C, \bar{y}_C, \bar{x}^*, \theta_A, \Delta\theta$ ในกรณีที่ 1 ($\alpha < \beta$)
 โดยพิจารณาค่าคงที่ $\alpha = 0.25, \beta = 0.50$ และค่า $\bar{K} = 1$

\bar{S}_t	\bar{P}	θ_B	\bar{x}_C	\bar{y}_C	\bar{x}^*	θ_A	$\Delta\theta$
1.00	0.000000	0.000000	0.000000	0.000000	0.000000	0.000000	0.000000
1.02	2.302028	0.202054	0.236765	-0.080228	0.486655	-0.337551	0.261382
1.04	3.490893	0.285778	0.223701	-0.111566	0.473457	-0.477370	0.357007
1.06	4.609088	0.350401	0.210925	-0.134149	0.460440	-0.583742	0.420495
1.08	5.770569	0.405401	0.198566	-0.151833	0.447642	-0.671777	0.464590
1.10	7.038242	0.454380	0.186767	-0.166126	0.435102	-0.747011	0.494061
1.12	8.464435	0.499024	0.175664	-0.177822	0.422852	-0.812075	0.511266
1.14	10.100770	0.540104	0.165381	-0.187423	0.410904	-0.868442	0.517667
1.16	12.000049	0.577833	0.155997	-0.195305	0.399240	-0.917134	0.514467
1.18	14.213445	0.612074	0.147530	-0.201780	0.387799	-0.959091	0.502952
1.20	16.783605	0.642516	0.139919	-0.207135	0.376476	-0.995350	0.484653
1.22	19.735577	0.668866	0.133028	-0.211631	0.365139	-1.027091	0.461334
1.24	23.069975	0.691021	0.126678	-0.215497	0.353650	-1.055543	0.434821
1.26	26.763259	0.709152	0.120682	-0.218916	0.341897	-1.081819	0.406763
1.28	30.776103	0.723672	0.114886	-0.222017	0.329810	-1.106795	0.378435
1.30	35.065664	0.735133	0.109182	-0.224880	0.317360	-1.131060	0.350679
1.32	39.596410	0.744111	0.103507	-0.227551	0.304552	-1.154954	0.323955
1.34	44.346925	0.751129	0.097835	-0.230050	0.291410	-1.178633	0.298453
1.36	49.313156	0.756627	0.092159	-0.232384	0.277969	-1.202145	0.274193
1.38	54.509667	0.760956	0.086489	-0.234555	0.264265	-1.225469	0.251105
1.40	59.970546	0.764386	0.080840	-0.236563	0.250338	-1.248555	0.229081
1.42	65.750817	0.767124	0.075231	-0.238407	0.236225	-1.271339	0.208006
1.44	71.929137	0.769329	0.069683	-0.240089	0.221964	-1.293754	0.187776
1.46	78.612398	0.771118	0.064214	-0.241610	0.207589	-1.315736	0.168303
1.48	85.943036	0.772583	0.058845	-0.242974	0.193137	-1.337223	0.149526
1.50	94.110289	0.773794	0.053592	-0.244187	0.178644	-1.358162	0.131414
1.52	103.367472	0.774803	0.048472	-0.245255	0.164144	-1.378502	0.113964
1.54	114.058838	0.775654	0.043501	-0.246186	0.149678	-1.398201	0.097209
1.56	126.661881	0.776379	0.038692	-0.246987	0.135284	-1.417220	0.081218
1.58	141.856380	0.777005	0.034058	-0.247669	0.121008	-1.435523	0.066102
1.60	160.640920	0.777553	0.029612	-0.248240	0.106897	-1.453079	0.052012

ตารางที่ ข.5 ความสัมพันธ์ระหว่าง $\bar{S}_t, \bar{P}, \theta_B, \bar{x}_C, \bar{y}_C, \bar{x}^*, \theta_A, \Delta\theta$ ในกรณีที่ 1 ($\alpha < \beta$)
โดยพิจารณาค่าคงที่ $\alpha = 0.25, \beta = 0.50$ และค่า $\bar{K} = 10$

\bar{S}_t	\bar{P}	θ_B	\bar{x}_C	\bar{y}_C	\bar{x}^*	θ_A	$\Delta\theta$
1.00	0.000000	0.000000	0.000000	0.000000	0.000000	0.000000	0.000000
1.02	4.205009	0.260122	0.241048	-0.066151	0.489485	-0.287731	0.048122
1.04	6.241777	0.362131	0.232262	-0.092297	0.478874	-0.404934	0.065098
1.06	8.058925	0.436243	0.223629	-0.111542	0.468146	-0.493648	0.076232
1.08	9.852360	0.495015	0.215136	-0.127116	0.457279	-0.567530	0.084118
1.10	11.710449	0.543326	0.206769	-0.140291	0.446251	-0.631926	0.089804
1.12	13.688854	0.583685	0.198511	-0.151735	0.435036	-0.689612	0.093845
1.14	15.827992	0.617598	0.190350	-0.161847	0.423610	-0.742254	0.096580
1.16	18.157946	0.646089	0.182271	-0.170891	0.411953	-0.790949	0.098234
1.18	20.699536	0.669926	0.174265	-0.179050	0.400044	-0.836458	0.098970
1.20	23.464438	0.689744	0.166324	-0.186455	0.387870	-0.879336	0.098913
1.22	26.455731	0.706106	0.158444	-0.193202	0.375422	-0.919993	0.098168
1.24	29.669469	0.719522	0.150626	-0.199367	0.362700	-0.958742	0.096824
1.26	33.097314	0.730461	0.142872	-0.205005	0.349709	-0.995822	0.094957
1.28	36.729785	0.739343	0.135187	-0.210163	0.336460	-1.031418	0.092638
1.30	40.559650	0.746538	0.127579	-0.214878	0.322966	-1.065674	0.089926
1.32	44.585007	0.752364	0.120056	-0.219182	0.309247	-1.098699	0.086870
1.34	48.811925	0.757086	0.112628	-0.223101	0.295321	-1.130578	0.083512
1.36	53.256709	0.760924	0.105307	-0.226659	0.281211	-1.161371	0.079885
1.38	57.948047	0.764053	0.098104	-0.229878	0.266940	-1.191119	0.076015
1.40	62.929288	0.766616	0.091034	-0.232778	0.252531	-1.219851	0.071921
1.42	68.261293	0.768726	0.084110	-0.235378	0.238009	-1.247582	0.067621
1.44	74.026233	0.770474	0.077346	-0.237694	0.223401	-1.274317	0.063128
1.46	80.333055	0.771931	0.070759	-0.239745	0.208732	-1.300054	0.058455
1.48	87.325263	0.773154	0.064362	-0.241547	0.194032	-1.324786	0.053618
1.50	95.192618	0.774189	0.058173	-0.243118	0.179330	-1.348503	0.048634
1.52	104.188578	0.775070	0.052205	-0.244474	0.164658	-1.371192	0.043528
1.54	114.657255	0.775830	0.046475	-0.245632	0.150050	-1.392844	0.038331
1.56	127.075695	0.776490	0.040996	-0.246608	0.135544	-1.413448	0.033086
1.58	142.122829	0.777072	0.035783	-0.247421	0.121180	-1.432999	0.027852
1.60	160.795739	0.777591	0.030848	-0.248087	0.107004	-1.451497	0.022705
1.62	184.615120	0.778063	0.026202	-0.248622	0.093068	-1.468945	0.017746

ตารางที่ ข.6 ความสัมพันธ์ระหว่าง $\bar{S}_t, \bar{P}, \theta_B, \bar{x}_C, \bar{y}_C, \bar{x}^*, \theta_A, \Delta\theta$ ในกรณีที่ 1 ($\alpha < \beta$)
โดยพิจารณาค่าคงที่ $\alpha = 0.25, \beta = 0.50$ และค่า $\bar{K} = 100$

\bar{S}_t	\bar{P}	θ_B	\bar{x}_C	\bar{y}_C	\bar{x}^*	θ_A	$\Delta\theta$
1.00	0.000000	0.000000	0.000000	0.000000	0.000000	0.000000	0.000000
1.02	4.529858	0.268155	0.241998	-0.062558	0.489886	-0.274497	0.005211
1.04	6.710837	0.372392	0.234082	-0.087541	0.479623	-0.386839	0.007074
1.06	8.649632	0.447493	0.226233	-0.106119	0.469192	-0.472349	0.008320
1.08	10.557743	0.506520	0.218432	-0.121317	0.458568	-0.544036	0.009228
1.10	12.529095	0.554578	0.210662	-0.134322	0.447728	-0.606993	0.009909
1.12	14.620873	0.594319	0.202906	-0.145751	0.436650	-0.663855	0.010424
1.14	16.872359	0.627359	0.195149	-0.155970	0.425312	-0.716190	0.010807
1.16	19.310442	0.654815	0.187381	-0.165214	0.413694	-0.765017	0.011081
1.18	21.951322	0.677541	0.179595	-0.173643	0.401783	-0.811026	0.011261
1.20	24.801484	0.696248	0.171791	-0.181370	0.389572	-0.854703	0.011360
1.22	27.859230	0.711556	0.163972	-0.188473	0.377061	-0.896397	0.011386
1.24	31.117081	0.724016	0.156147	-0.195013	0.364256	-0.936360	0.011346
1.26	34.564871	0.734118	0.148327	-0.201035	0.351169	-0.974782	0.011246
1.28	38.193037	0.742288	0.140525	-0.206576	0.337815	-1.011804	0.011092
1.30	41.995697	0.748891	0.132756	-0.211665	0.324213	-1.047533	0.010888
1.32	45.973277	0.754232	0.125034	-0.216329	0.310385	-1.082053	0.010638
1.34	50.134726	0.758562	0.117376	-0.220591	0.296351	-1.115423	0.010346
1.36	54.499438	0.762084	0.109798	-0.224473	0.282137	-1.147688	0.010014
1.38	59.099153	0.764961	0.102316	-0.227994	0.267764	-1.178878	0.009643
1.40	63.980139	0.767324	0.094949	-0.231172	0.253257	-1.209008	0.009236
1.42	69.205963	0.769275	0.087714	-0.234025	0.238643	-1.238086	0.008793
1.44	74.861318	0.770896	0.080628	-0.236572	0.223946	-1.266108	0.008315
1.46	81.057479	0.772252	0.073712	-0.238828	0.209195	-1.293065	0.007803
1.48	87.940176	0.773395	0.066984	-0.240812	0.194418	-1.318941	0.007258
1.50	95.701289	0.774366	0.060463	-0.242541	0.179645	-1.343718	0.006681
1.52	104.596345	0.775199	0.054170	-0.244032	0.164909	-1.367375	0.006074
1.54	114.971488	0.775920	0.048124	-0.245303	0.150243	-1.389892	0.005439
1.56	127.305749	0.776551	0.042344	-0.246373	0.135687	-1.411252	0.004781
1.58	142.279946	0.777111	0.036850	-0.247259	0.121281	-1.431443	0.004106

ตารางที่ ข.7 ความสัมพันธ์ระหว่าง $\bar{S}_t, \bar{P}, \theta_B, \bar{x}_C, \bar{y}_C, \bar{x}^*, \theta_A, \Delta\theta$ ในกรณีที่ 1 ($\alpha < \beta$)
โดยพิจารณาค่าคงที่ $\alpha = 0.25, \beta = 0.75$ และค่า $\bar{K} = 1$

\bar{S}_t	\bar{P}	θ_B	\bar{x}_C	\bar{y}_C	\bar{x}^*	θ_A	$\Delta\theta$
1.00	0.000000	0.000000	0.000000	0.000000	0.000000	0.000000	0.000000
1.01	2.803866	0.186874	0.244266	-0.053217	0.743564	-0.220930	0.154652
1.02	4.311598	0.270150	0.238933	-0.073537	0.737583	-0.307064	0.205577
1.03	5.818672	0.339036	0.234135	-0.087614	0.732132	-0.367657	0.233306
1.04	7.533357	0.402220	0.230054	-0.097826	0.727309	-0.412041	0.244576
1.05	9.664279	0.463254	0.226927	-0.104877	0.723228	-0.442652	0.240826
1.06	12.523079	0.523770	0.225025	-0.108903	0.719996	-0.459579	0.221907
1.07	16.620967	0.583639	0.224546	-0.109892	0.717626	-0.462478	0.188277
1.08	22.769780	0.640423	0.225381	-0.108176	0.715903	-0.452940	0.143875
1.09	32.185767	0.689970	0.226961	-0.104823	0.714390	-0.436174	0.097239
1.10	46.645778	0.728722	0.228560	-0.101293	0.712671	-0.419099	0.057599
1.11	68.538652	0.755408	0.229690	-0.098704	0.710544	-0.406775	0.029914
1.12	100.727797	0.771390	0.230222	-0.097457	0.707986	-0.400808	0.013714



ตารางที่ ข.8 ความสัมพันธ์ระหว่าง $\bar{S}_t, \bar{P}, \theta_B, \bar{x}_C, \bar{y}_C, \bar{x}^*, \theta_A, \Delta\theta$ ในกรณีที่ 1 ($\alpha < \beta$)
 โดยพิจารณาค่าคงที่ $\alpha = 0.25, \beta = 0.75$ และค่า $\bar{K} = 10$

\bar{S}_t	\bar{P}	θ_B	\bar{x}_C	\bar{y}_C	\bar{x}^*	θ_A	$\Delta\theta$
1.00	0.000000	0.000000	0.000000	0.000000	0.000000	0.000000	0.000000
1.01	4.317540	0.230177	0.246550	-0.041332	0.745127	-0.176036	0.024015
1.02	6.496140	0.325750	0.243315	-0.057353	0.740489	-0.244511	0.031700
1.03	8.545866	0.399368	0.240319	-0.068817	0.736087	-0.293526	0.035931
1.04	10.725983	0.461781	0.237595	-0.077697	0.731928	-0.331353	0.037960
1.05	13.232998	0.517179	0.235184	-0.084716	0.728027	-0.360955	0.038219
1.06	16.313520	0.567688	0.233143	-0.090187	0.724405	-0.383543	0.036852
1.07	20.354641	0.614449	0.231544	-0.094227	0.721092	-0.399475	0.033869
1.08	26.030844	0.657842	0.230469	-0.096839	0.718114	-0.408670	0.029245
1.09	34.556167	0.697269	0.229974	-0.098021	0.715467	-0.411146	0.023123
1.10	47.974596	0.730788	0.229994	-0.097985	0.713052	-0.408132	0.016171
1.11	69.080168	0.755779	0.230256	-0.097374	0.710640	-0.403031	0.009747
1.12	100.888629	0.771433	0.230417	-0.096993	0.708004	-0.399767	0.005057



ตารางที่ ข.9 ความสัมพันธ์ระหว่าง $\bar{S}_t, \bar{P}, \theta_B, \bar{x}_C, \bar{y}_C, \bar{x}^*, \theta_A, \Delta\theta$ ในกรณีที่ 1 ($\alpha < \beta$)
โดยพิจารณาค่าคงที่ $\alpha = 0.25, \beta = 0.75$ และค่า $\bar{K} = 100$

\bar{S}_t	\bar{P}	θ_B	\bar{x}_C	\bar{y}_C	\bar{x}^*	θ_A	$\Delta\theta$
1.00	0.000000	0.000000	0.000000	0.000000	0.000000	0.000000	0.000000
1.01	4.522093	0.234983	0.246923	-0.039032	0.745308	-0.167239	0.002529
1.02	6.790684	0.331819	0.244007	-0.054325	0.740816	-0.232825	0.003353
1.03	8.914668	0.405894	0.241269	-0.065399	0.736524	-0.280246	0.003822
1.04	11.162505	0.468248	0.238734	-0.074110	0.732436	-0.317360	0.004066
1.05	13.733025	0.523182	0.236436	-0.081143	0.728564	-0.347008	0.004131
1.06	16.870758	0.572884	0.234420	-0.086801	0.724927	-0.370380	0.004031
1.07	20.954198	0.618551	0.232748	-0.091200	0.721552	-0.387857	0.003766
1.08	26.637773	0.660657	0.231497	-0.094346	0.718470	-0.399349	0.003328
1.09	35.101689	0.698808	0.230737	-0.096205	0.715694	-0.404690	0.002719
1.10	48.368012	0.731374	0.230462	-0.096875	0.713159	-0.404532	0.001987
1.11	69.284721	0.755917	0.230489	-0.096819	0.710676	-0.401486	0.001262
1.12	100.963377	0.771453	0.230515	-0.096760	0.708012	-0.399246	0.000692



ตารางที่ ข.10 ความสัมพันธ์ระหว่าง $\bar{S}_t, \bar{P}, \theta_B, \bar{x}_C, \bar{y}_C, \bar{x}^*, \theta_A, \Delta\theta$ ในกรณีที่ 1 ($\alpha < \beta$)
โดยพิจารณาค่าคงที่ $\alpha = 0.25, \beta = 0.85$ และค่า $\bar{K} = 1$

\bar{S}_t	\bar{P}	θ_B	\bar{x}_C	\bar{y}_C	\bar{x}^*	θ_A	$\Delta\theta$
1.00	0.000000	0.000000	0.000000	0.000000	0.000000	0.000000	0.000000
1.01	4.843359	0.215006	0.244716	-0.051110	0.843167	-0.211698	0.140306
1.02	8.386876	0.325886	0.240605	-0.067874	0.837512	-0.281769	0.166777
1.03	13.855028	0.436011	0.238613	-0.074579	0.833725	-0.308861	0.148322
1.04	25.401200	0.557493	0.239771	-0.070777	0.832580	-0.290304	0.086443
1.05	59.392008	0.682086	0.242905	-0.059135	0.833810	-0.239417	0.019307

ตารางที่ ข.11 ความสัมพันธ์ระหว่าง $\bar{S}_t, \bar{P}, \theta_B, \bar{x}_C, \bar{y}_C, \bar{x}^*, \theta_A, \Delta\theta$ ในกรณีที่ 1 ($\alpha < \beta$)
โดยพิจารณาค่าคงที่ $\alpha = 0.25, \beta = 0.85$ และค่า $\bar{K} = 10$

\bar{S}_t	\bar{P}	θ_B	\bar{x}_C	\bar{y}_C	\bar{x}^*	θ_A	$\Delta\theta$
1.00	0.000000	0.000000	0.000000	0.000000	0.000000	0.000000	0.000000
1.01	7.078158	0.259568	0.246903	-0.039183	0.844489	-0.166009	0.020958
1.02	11.597277	0.375617	0.244332	-0.052881	0.839731	-0.223297	0.025106
1.03	17.483143	0.474363	0.242508	-0.060706	0.835946	-0.254733	0.024000
1.04	28.095021	0.572577	0.241873	-0.063209	0.833640	-0.262191	0.017619
1.05	59.897201	0.682936	0.243159	-0.058082	0.833883	-0.236353	0.005934

ตารางที่ ข.12 ความสัมพันธ์ระหว่าง $\bar{S}_t, \bar{P}, \theta_B, \bar{x}_C, \bar{y}_C, \bar{x}^*, \theta_A, \Delta\theta$ ในกรณีที่ 1 ($\alpha < \beta$)
โดยพิจารณาค่าคงที่ $\alpha = 0.25, \beta = 0.85$ และค่า $\bar{K} = 100$

\bar{S}_t	\bar{P}	θ_B	\bar{x}_C	\bar{y}_C	\bar{x}^*	θ_A	$\Delta\theta$
1.00	0.000000	0.000000	0.000000	0.000000	0.000000	0.000000	0.000000
1.01	7.364860	0.264320	0.247230	-0.037059	0.844640	-0.157855	0.002205
1.02	12.013327	0.380940	0.244869	-0.050333	0.839978	-0.213523	0.002673
1.03	17.991227	0.478907	0.243096	-0.058300	0.836213	-0.245625	0.002609
1.04	28.597115	0.575142	0.242298	-0.061553	0.833819	-0.256223	0.002000
1.05	60.072422	0.683228	0.243255	-0.057680	0.833908	-0.235194	0.000750

ตารางที่ ข.13 ความสัมพันธ์ระหว่าง $\bar{S}_t, \bar{P}, \theta_B, \bar{x}_C, \bar{y}_C, \bar{x}^*, \theta_A, \Delta\theta$ ในกรณีที่ 1 ($\alpha < \beta$)

โดยพิจารณาค่าคงที่ $\alpha = 0.50, \beta = 0.60$ และค่า $\bar{K} = 1$

\bar{S}_t	\bar{P}	θ_B	\bar{x}_C	\bar{y}_C	\bar{x}^*	θ_A	$\Delta\theta$
1.00	0.000000	0.000000	0.000000	0.000000	0.000000	0.000000	0.000000
1.02	1.491199	0.228857	0.489884	-0.099529	0.588888	-0.223554	0.279964
1.04	2.218115	0.317661	0.479415	-0.141269	0.577637	-0.318405	0.389627
1.06	2.867684	0.382092	0.468600	-0.173559	0.566229	-0.392691	0.469654
1.08	3.508579	0.433564	0.457446	-0.200931	0.554651	-0.456539	0.533761
1.10	4.172768	0.476619	0.445965	-0.225115	0.542893	-0.513823	0.587327
1.12	4.882691	0.513640	0.434167	-0.246984	0.530950	-0.566497	0.633119
1.14	5.658576	0.546077	0.422066	-0.267043	0.518820	-0.615691	0.672758
1.16	6.521711	0.574889	0.409677	-0.285613	0.506505	-0.662116	0.707263
1.18	7.496711	0.600754	0.397020	-0.302908	0.494011	-0.706238	0.737286
1.20	8.613752	0.624170	0.384118	-0.319077	0.481349	-0.748364	0.763229
1.22	9.911286	0.645512	0.370998	-0.334225	0.468534	-0.788691	0.785303
1.24	11.439665	0.665066	0.357695	-0.348426	0.455587	-0.827332	0.803549
1.26	13.266040	0.683042	0.344251	-0.361731	0.442537	-0.864329	0.817848
1.28	15.480665	0.699582	0.330720	-0.374174	0.429418	-0.899664	0.827916
1.30	18.203721	0.714754	0.317168	-0.385776	0.416273	-0.933273	0.833302
1.32	21.588843	0.728534	0.303673	-0.396548	0.403143	-0.965065	0.833418
1.34	25.813513	0.740798	0.290317	-0.406501	0.390062	-0.994983	0.827660
1.36	31.040987	0.751344	0.277171	-0.415655	0.377035	-1.023084	0.815676
1.38	37.350659	0.759985	0.264267	-0.424055	0.364020	-1.049624	0.797706
1.40	44.678391	0.766689	0.251587	-0.431772	0.350932	-1.075036	0.774750
1.42	52.831389	0.771647	0.239076	-0.438885	0.337679	-1.099794	0.748270
1.44	61.573414	0.775198	0.226675	-0.445467	0.324193	-1.124250	0.719666
1.46	70.706553	0.777706	0.214346	-0.451568	0.310443	-1.148590	0.689941
1.48	80.106693	0.779479	0.202077	-0.457222	0.296432	-1.172861	0.659661
1.50	89.724209	0.780742	0.189874	-0.462447	0.282181	-1.197034	0.629074

ตารางที่ ข.14 ความสัมพันธ์ระหว่าง $\bar{S}_t, \bar{P}, \theta_B, \bar{x}_C, \bar{y}_C, \bar{x}^*, \theta_A, \Delta\theta$ ในกรณีที่ 1 ($\alpha < \beta$)

โดยพิจารณาค่าคงที่ $\alpha = 0.50, \beta = 0.60$ และค่า $\bar{K} = 10$

\bar{S}_t	\bar{P}	θ_B	\bar{x}_C	\bar{y}_C	\bar{x}^*	θ_A	$\Delta\theta$
1.00	0.000000	0.000000	0.000000	0.000000	0.000000	0.000000	0.000000
1.02	3.997452	0.276316	0.490380	-0.093810	0.590244	-0.249029	0.074047
1.04	6.002581	0.384618	0.480622	-0.132969	0.580426	-0.350366	0.102294
1.06	7.868035	0.463407	0.470729	-0.163149	0.570523	-0.426855	0.122470
1.08	9.806394	0.526022	0.460701	-0.188657	0.560510	-0.490232	0.138349
1.10	11.940438	0.577578	0.450536	-0.211159	0.550364	-0.545047	0.151451
1.12	14.375196	0.620604	0.440227	-0.231511	0.540061	-0.593641	0.162588
1.14	17.213871	0.656517	0.429760	-0.250227	0.529572	-0.637423	0.172251
1.16	20.557272	0.686193	0.419121	-0.267641	0.518864	-0.677352	0.180753
1.18	24.492946	0.710273	0.408288	-0.283984	0.507903	-0.714166	0.188286
1.20	29.077959	0.729345	0.397243	-0.299414	0.496658	-0.748489	0.194953
1.22	34.322926	0.744053	0.385973	-0.314036	0.485101	-0.780880	0.200793
1.24	40.186181	0.755107	0.374470	-0.327920	0.473216	-0.811837	0.205813
1.26	46.581427	0.763239	0.362736	-0.341112	0.460996	-0.841778	0.210009
1.28	53.393959	0.769129	0.350779	-0.353644	0.448441	-0.871035	0.213391
1.30	60.497651	0.773354	0.338610	-0.365541	0.435558	-0.899847	0.215985
1.32	67.768104	0.776374	0.326244	-0.376826	0.422358	-0.928378	0.217832
1.34	75.091578	0.778532	0.313694	-0.387520	0.408852	-0.956731	0.218985
1.36	82.371171	0.780080	0.300978	-0.397640	0.395055	-0.984962	0.219496



ตารางที่ ข.15 ความสัมพันธ์ระหว่าง $\bar{S}_t, \bar{P}, \theta_B, \bar{x}_C, \bar{y}_C, \bar{x}^*, \theta_A, \Delta\theta$ ในกรณีที่ 1 ($\alpha < \beta$)
โดยพิจารณาค่าคงที่ $\alpha = 0.50, \beta = 0.60$ และค่า $\bar{K} = 100$

\bar{S}_t	\bar{P}	θ_B	\bar{x}_C	\bar{y}_C	\bar{x}^*	θ_A	$\Delta\theta$
1.00	0.000000	0.000000	0.000000	0.000000	0.000000	0.000000	0.000000
1.02	4.753215	0.288097	0.490609	-0.091038	0.590555	-0.254301	0.008791
1.04	7.158587	0.400862	0.481161	-0.129054	0.581078	-0.356467	0.012154
1.06	9.423444	0.482553	0.471648	-0.158378	0.571533	-0.432752	0.014575
1.08	11.811508	0.546974	0.462053	-0.183203	0.561888	-0.495325	0.016506
1.10	14.481966	0.599362	0.452358	-0.205161	0.552105	-0.548948	0.018135
1.12	17.572478	0.642283	0.442537	-0.225098	0.542144	-0.596106	0.019562
1.14	21.212465	0.677192	0.432558	-0.243522	0.531962	-0.638330	0.020851
1.16	25.513775	0.705073	0.422387	-0.260762	0.521510	-0.676701	0.022039
1.18	30.549887	0.726772	0.411992	-0.277035	0.510749	-0.712070	0.023145
1.20	36.335730	0.743174	0.401346	-0.292477	0.499643	-0.745159	0.024174
1.22	42.821178	0.755230	0.390438	-0.307173	0.488173	-0.776578	0.025122
1.24	49.902414	0.763891	0.379265	-0.321171	0.476334	-0.806827	0.025982
1.26	57.443159	0.770013	0.367833	-0.334506	0.464130	-0.836294	0.026746
1.28	65.294814	0.774301	0.356154	-0.347202	0.451570	-0.865258	0.027412
1.30	73.310353	0.777292	0.344242	-0.359282	0.438668	-0.893912	0.027978
1.32	81.352791	0.779381	0.332109	-0.370765	0.425438	-0.922381	0.028447



ตารางที่ ข.16 ความสัมพันธ์ระหว่าง $\bar{S}_t, \bar{P}, \theta_B, \bar{x}_C, \bar{y}_C, \bar{x}^*, \theta_A, \Delta\theta$ ในกรณีที่ 1 ($\alpha < \beta$)
โดยพิจารณาค่าคงที่ $\alpha = 0.50, \beta = 0.75$ และค่า $\bar{K} = 1$

\bar{S}_t	\bar{P}	θ_B	\bar{x}_C	\bar{y}_C	\bar{x}^*	θ_A	$\Delta\theta$
1.00	0.000000	0.000000	0.000000	0.000000	0.000000	0.000000	0.000000
1.01	1.601455	0.178522	0.495064	-0.069738	0.743579	-0.155516	0.188311
1.02	2.383927	0.251855	0.490064	-0.098713	0.737303	-0.220267	0.262256
1.03	3.090149	0.308026	0.485010	-0.120965	0.731177	-0.270075	0.315944
1.04	3.801864	0.355619	0.479913	-0.139698	0.725212	-0.312048	0.358313
1.05	4.567423	0.398144	0.474790	-0.156131	0.719428	-0.348860	0.392653
1.06	5.436491	0.437624	0.469666	-0.170858	0.713860	-0.381776	0.420366
1.07	6.480357	0.475597	0.464583	-0.184188	0.708572	-0.411380	0.441807
1.08	7.828062	0.513667	0.459618	-0.196235	0.703678	-0.437746	0.456290
1.09	9.777028	0.554303	0.454939	-0.206869	0.699438	-0.460191	0.461154
1.10	13.363227	0.603886	0.451094	-0.215207	0.696646	-0.475534	0.446538
1.11	34.703322	0.712197	0.454399	-0.208491	0.702650	-0.444657	0.299740
1.12	85.888910	0.766768	0.459968	-0.196020	0.706371	-0.406676	0.142771



ตารางที่ ข.17 ความสัมพันธ์ระหว่าง $\bar{S}_t, \bar{P}, \theta_B, \bar{x}_C, \bar{y}_C, \bar{x}^*, \theta_A, \Delta\theta$ ในกรณีที่ 1 ($\alpha < \beta$)
 โดยพิจารณาค่าคงที่ $\alpha = 0.50, \beta = 0.75$ และค่า $\bar{K} = 10$

\bar{S}_t	\bar{P}	θ_B	\bar{x}_C	\bar{y}_C	\bar{x}^*	θ_A	$\Delta\theta$
1.00	0.000000	0.000000	0.000000	0.000000	0.000000	0.000000	0.000000
1.01	3.882399	0.224410	0.495590	-0.064198	0.744980	-0.165344	0.044830
1.02	5.824319	0.317160	0.491238	-0.090545	0.740162	-0.231163	0.061531
1.03	7.634616	0.388422	0.486966	-0.110507	0.735551	-0.279473	0.072922
1.04	9.540270	0.448804	0.482801	-0.127031	0.731159	-0.317940	0.081157
1.05	11.707702	0.502518	0.478783	-0.141208	0.727009	-0.349309	0.086970
1.06	14.343581	0.551821	0.474971	-0.153531	0.723136	-0.374677	0.090587
1.07	17.778964	0.598117	0.471451	-0.164194	0.719596	-0.394258	0.091900
1.08	22.625199	0.642259	0.468356	-0.173167	0.716470	-0.407587	0.090460
1.09	30.111002	0.684302	0.465875	-0.180214	0.713849	-0.413694	0.085398
1.10	42.653587	0.722424	0.464196	-0.185026	0.711737	-0.412144	0.075683
1.11	63.853041	0.752108	0.463222	-0.187870	0.709822	-0.405912	0.061670
1.12	96.815322	0.770340	0.462453	-0.189975	0.707601	-0.401045	0.046310



ตารางที่ ข.18 ความสัมพันธ์ระหว่าง $\bar{S}_t, \bar{P}, \theta_B, \bar{x}_C, \bar{y}_C, \bar{x}^*, \theta_A, \Delta\theta$ ในกรณีที่ 1 ($\alpha < \beta$)
 โดยพิจารณาค่าคงที่ $\alpha = 0.50, \beta = 0.75$ และค่า $\bar{K} = 10$

\bar{S}_t	\bar{P}	θ_B	\bar{x}_C	\bar{y}_C	\bar{x}^*	θ_A	$\Delta\theta$
1.00	0.000000	0.000000	0.000000	0.000000	0.000000	0.000000	0.000000
1.01	4.470485	0.234309	0.495790	-0.061962	0.745290	-0.166133	0.005153
1.02	6.711383	0.330837	0.491668	-0.087357	0.740778	-0.231454	0.007062
1.03	8.807622	0.404669	0.487651	-0.106576	0.736463	-0.278811	0.008358
1.04	11.023931	0.466826	0.483765	-0.122471	0.732352	-0.315998	0.009291
1.05	13.555806	0.521610	0.480043	-0.136103	0.728454	-0.345830	0.009947
1.06	16.643542	0.571221	0.476531	-0.147965	0.724793	-0.369482	0.010356
1.07	20.660004	0.616880	0.473294	-0.158274	0.721398	-0.387316	0.010513
1.08	26.253880	0.659103	0.470419	-0.167077	0.718305	-0.399203	0.010382
1.09	34.607841	0.697538	0.468007	-0.174306	0.715533	-0.404886	0.009900
1.10	47.777685	0.730546	0.466116	-0.179913	0.713027	-0.404884	0.008999
1.11	68.682298	0.755527	0.464649	-0.184156	0.710587	-0.401770	0.007699
1.12	100.457946	0.771324	0.463357	-0.187672	0.707964	-0.399391	0.006169



ตารางที่ ข.19 ความสัมพันธ์ระหว่าง $\bar{S}_t, \bar{P}, \theta_B, \bar{x}_C, \bar{y}_C, \bar{x}^*, \theta_A, \Delta\theta$ ในกรณีที่ 1 ($\alpha < \beta$)
โดยพิจารณาค่าคงที่ $\alpha = 0.50, \beta = 0.85$ และค่า $\bar{K} = 1$

\bar{S}_t	\bar{P}	θ_B	\bar{x}_C	\bar{y}_C	\bar{x}^*	θ_A	$\Delta\theta$
1.00	0.000000	0.000000	0.000000	0.000000	0.000000	0.000000	0.000000
1.01	2.739310	0.193629	0.495131	-0.069284	0.842716	-0.153970	0.181966
1.02	4.362346	0.278690	0.490271	-0.097738	0.835868	-0.216848	0.249059
1.03	6.261827	0.350755	0.485504	-0.119076	0.829621	-0.263408	0.291643
1.04	9.251760	0.425266	0.481086	-0.135803	0.824468	-0.298539	0.312122
1.05	29.373798	0.601344	0.481629	-0.134179	0.827511	-0.282724	0.202480

ตารางที่ ข.20 ความสัมพันธ์ระหว่าง $\bar{S}_t, \bar{P}, \theta_B, \bar{x}_C, \bar{y}_C, \bar{x}^*, \theta_A, \Delta\theta$ ในกรณีที่ 1 ($\alpha < \beta$)
โดยพิจารณาค่าคงที่ $\alpha = 0.50, \beta = 0.85$ และค่า $\bar{K} = 10$

\bar{S}_t	\bar{P}	θ_B	\bar{x}_C	\bar{y}_C	\bar{x}^*	θ_A	$\Delta\theta$
1.00	0.000000	0.000000	0.000000	0.000000	0.000000	0.000000	0.000000
1.01	6.409036	0.251888	0.495862	-0.062498	0.844275	-0.157930	0.040786
1.02	10.445748	0.363999	0.492016	-0.087077	0.839246	-0.215524	0.053537
1.03	15.644550	0.459741	0.488685	-0.104080	0.835158	-0.250474	0.058695
1.04	25.087183	0.557432	0.486449	-0.114562	0.832643	-0.263786	0.055060
1.05	56.346445	0.676918	0.487128	-0.112533	0.833392	-0.239187	0.032662

ตารางที่ ข.21 ความสัมพันธ์ระหว่าง $\bar{S}_t, \bar{P}, \theta_B, \bar{x}_C, \bar{y}_C, \bar{x}^*, \theta_A, \Delta\theta$ ในกรณีที่ 1 ($\alpha < \beta$)
โดยพิจารณาค่าคงที่ $\alpha = 0.50, \beta = 0.85$ และค่า $\bar{K} = 100$

\bar{S}_t	\bar{P}	θ_B	\bar{x}_C	\bar{y}_C	\bar{x}^*	θ_A	$\Delta\theta$
1.00	0.000000	0.000000	0.000000	0.000000	0.000000	0.000000	0.000000
1.01	7.287524	0.263461	0.496106	-0.060046	0.844615	-0.157043	0.004621
1.02	11.882011	0.379684	0.492547	-0.083540	0.839924	-0.212753	0.006041
1.03	17.785591	0.477386	0.489521	-0.099711	0.836130	-0.245206	0.006597
1.04	28.270364	0.573628	0.487503	-0.109801	0.833720	-0.256360	0.006196
1.05	59.673997	0.682584	0.487743	-0.109762	0.833855	-0.235482	0.003957

ตารางที่ ข.22 ความสัมพันธ์ระหว่าง $\bar{S}_t, \bar{P}, \theta_B, \bar{x}_C, \bar{y}_C, \bar{x}^*, \theta_A, \Delta\theta$ ในกรณีที่ 1 ($\alpha < \beta$)
โดยพิจารณาค่าคงที่ $\alpha = 0.50, \beta = 0.85$ และค่า $\bar{K} = 1$

\bar{S}_t	\bar{P}	θ_B	\bar{x}_C	\bar{y}_C	\bar{x}^*	θ_A	$\Delta\theta$
1.00	0.000000	0.000000	0.000000	0.000000	0.000000	0.000000	0.000000
1.01	2.261254	0.254772	0.747279	-0.060963	0.844875	-0.109408	0.231796
1.02	3.512668	0.355495	0.744493	-0.087053	0.839967	-0.153934	0.323151
1.03	4.821002	0.430267	0.741646	-0.107622	0.835265	-0.187299	0.390111
1.04	6.416127	0.492056	0.738744	-0.125404	0.830779	-0.214364	0.443775
1.05	8.642125	0.546722	0.735803	-0.141433	0.826556	-0.236583	0.488048
1.06	12.431781	0.599300	0.732865	-0.156195	0.822759	-0.253642	0.523460
1.07	25.231197	0.668096	0.730187	-0.169520	0.820584	-0.258382	0.535688

ตารางที่ ข.23 ความสัมพันธ์ระหว่าง $\bar{S}_t, \bar{P}, \theta_B, \bar{x}_C, \bar{y}_C, \bar{x}^*, \theta_A, \Delta\theta$ ในกรณีที่ 1 ($\alpha < \beta$)
โดยพิจารณาค่าคงที่ $\alpha = 0.50, \beta = 0.85$ และค่า $\bar{K} = 10$

\bar{S}_t	\bar{P}	θ_B	\bar{x}_C	\bar{y}_C	\bar{x}^*	θ_A	$\Delta\theta$
1.00	0.000000	0.000000	0.000000	0.000000	0.000000	0.000000	0.000000
1.01	6.111291	0.265584	0.746310	-0.055932	0.844835	-0.146472	0.062915
1.02	9.807289	0.378330	0.742902	-0.080711	0.840196	-0.199749	0.089996
1.03	14.235902	0.468885	0.739839	-0.100795	0.836177	-0.233300	0.111764
1.04	21.084775	0.552341	0.737265	-0.118568	0.833008	-0.251461	0.131239
1.05	36.640877	0.641093	0.735546	-0.134559	0.831367	-0.249219	0.148603

ตารางที่ ข.24 ความสัมพันธ์ระหว่าง $\bar{S}_t, \bar{P}, \theta_B, \bar{x}_C, \bar{y}_C, \bar{x}^*, \theta_A, \Delta\theta$ ในกรณีที่ 1 ($\alpha < \beta$)
โดยพิจารณาค่าคงที่ $\alpha = 0.50, \beta = 0.85$ และค่า $\bar{K} = 100$

\bar{S}_t	\bar{P}	θ_B	\bar{x}_C	\bar{y}_C	\bar{x}^*	θ_A	$\Delta\theta$
1.00	0.000000	0.000000	0.000000	0.000000	0.000000	0.000000	0.000000
1.01	7.248829	0.265063	0.745870	-0.053460	0.844682	-0.155723	0.007509
1.02	11.795953	0.381311	0.742182	-0.077560	0.840036	-0.210941	0.010923
1.03	17.584805	0.478287	0.739074	-0.097398	0.836245	-0.243292	0.013857
1.04	27.653968	0.572626	0.736856	-0.115187	0.833740	-0.255230	0.016757
1.05	56.598453	0.678293	0.736203	-0.130725	0.833598	-0.237049	0.019635

ตารางที่ ข.25 ความสัมพันธ์ระหว่าง $\bar{S}_t, \bar{P}, \theta_B, \bar{x}^*, \bar{y}^*, \theta_A, \Delta\theta$ ในกรณีที่ 2 ($\alpha = \beta$)
โดยพิจารณาค่าคงที่ $\alpha = 0.25, \beta = 0.25$ และค่า $\bar{K} = 1$

\bar{S}_t	\bar{P}	θ_B	\bar{x}^*	\bar{y}^*	θ_A	$\Delta\theta$
1.00	0.000000	0.000000	0.000000	0.000000	0.000000	0.000000
1.02	1.923197	0.153420	0.235241	-0.084569	-0.359224	0.340071
1.04	2.885469	0.212681	0.220157	-0.118370	-0.513114	0.479161
1.06	3.769558	0.255317	0.204755	-0.143341	-0.634807	0.584921
1.08	4.672940	0.288949	0.189041	-0.163479	-0.740535	0.673453
1.10	5.652836	0.316598	0.173023	-0.180322	-0.836544	0.751062
1.12	6.764769	0.339849	0.156709	-0.194645	-0.926029	0.821018
1.14	8.079172	0.359664	0.140108	-0.206897	-1.010881	0.885300
1.16	9.699650	0.376687	0.123231	-0.217355	-1.092328	0.945224
1.18	11.794965	0.391375	0.106087	-0.226203	-1.171210	1.001746
1.20	14.667767	0.404072	0.088692	-0.233559	-1.248104	1.055611
1.22	18.927244	0.415056	0.071062	-0.239504	-1.323363	1.107481
1.24	26.015014	0.424572	0.053221	-0.244087	-1.397034	1.158072
1.26	40.362239	0.432894	0.035206	-0.247338	-1.468473	1.208532
1.28	85.198742	0.440593	0.017121	-0.249286	-1.534254	1.262260
1.29	181.297287	0.444897	0.008186	-0.249792	-1.560088	1.295172



ตารางที่ ข.26 ความสัมพันธ์ระหว่าง $\bar{S}_t, \bar{P}, \theta_B, \bar{x}^*, \bar{y}^*, \theta_A, \Delta\theta$ ในกรณีที่ 2 ($\alpha = \beta$)
 โดยพิจารณาค่าคงที่ $\alpha = 0.25, \beta = 0.25$ และค่า $\bar{K} = 10$

\bar{S}_t	\bar{P}	θ_B	\bar{x}^*	\bar{y}^*	θ_A	$\Delta\theta$
1.00	0.000000	0.000000	0.000000	0.000000	0.000000	0.000000
1.02	5.275637	0.216211	0.238031	-0.075939	-0.347401	0.093591
1.04	7.848168	0.300192	0.225937	-0.106338	-0.493448	0.131420
1.06	10.147195	0.360848	0.213717	-0.128900	-0.607105	0.159966
1.08	12.417125	0.408840	0.201367	-0.147243	-0.704335	0.183739
1.10	14.774475	0.448398	0.188889	-0.162768	-0.791282	0.204507
1.12	17.305107	0.481750	0.176285	-0.176192	-0.871063	0.223182
1.14	20.092053	0.510266	0.163562	-0.187936	-0.945487	0.240310
1.16	23.230372	0.534874	0.150730	-0.198267	-1.015688	0.256241
1.18	26.840756	0.556253	0.137805	-0.207369	-1.082396	0.271220
1.20	31.087250	0.574924	0.124808	-0.215371	-1.146075	0.285425
1.22	36.204738	0.591306	0.111763	-0.222369	-1.206991	0.298997
1.24	42.545817	0.605750	0.098705	-0.228435	-1.265241	0.312056
1.26	50.666701	0.618556	0.085676	-0.233630	-1.320754	0.324719
1.28	61.496472	0.629996	0.072729	-0.238004	-1.373262	0.337118
1.30	76.700147	0.640326	0.059939	-0.241604	-1.422238	0.349422
1.32	99.545300	0.649802	0.047407	-0.244479	-1.466783	0.361873
1.34	137.287779	0.658707	0.035286	-0.246681	-1.505469	0.374844
1.36	209.232920	0.667379	0.023816	-0.248270	-1.536215	0.388951
1.38	384.626116	0.676259	0.013396	-0.249311	-1.556700	0.405250
1.39	598.342154	0.680966	0.008787	-0.249645	-1.562840	0.414780

ตารางที่ ข.27 ความสัมพันธ์ระหว่าง $\bar{S}_t, \bar{P}, \theta_B, \bar{x}^*, \bar{y}^*, \theta_A, \Delta\theta$ ในกรณีที่ 2 ($\alpha = \beta$)
 โดยพิจารณาค่าคงที่ $\alpha = 0.25, \beta = 0.25$ และค่า $\bar{K} = 100$

\bar{S}_t	\bar{P}	θ_B	\bar{x}^*	\bar{y}^*	θ_A	$\Delta\theta$
1.00	0.000000	0.000000	0.000000	0.000000	0.000000	0.000000
1.02	6.252093	0.231914	0.239319	-0.071562	-0.336362	0.011129
1.04	9.274962	0.321667	0.228540	-0.100329	-0.477216	0.015644
1.06	11.955205	0.386232	0.217652	-0.121785	-0.586523	0.019069
1.08	14.577915	0.437074	0.206649	-0.139334	-0.679810	0.021939
1.10	17.272203	0.478743	0.195525	-0.154295	-0.763060	0.024464
1.12	20.125488	0.513644	0.184281	-0.167341	-0.839298	0.026752
1.14	23.214259	0.543260	0.172918	-0.178865	-0.910275	0.028865
1.16	26.617925	0.568602	0.161448	-0.189118	-0.977076	0.030843
1.18	30.428670	0.590411	0.149883	-0.198270	-1.040398	0.032712
1.20	34.761643	0.609262	0.138244	-0.206441	-1.100683	0.034490
1.22	39.768190	0.625614	0.126557	-0.213719	-1.158196	0.036189
1.24	45.655164	0.639850	0.114851	-0.220171	-1.213063	0.037820
1.26	52.715131	0.652291	0.103166	-0.225852	-1.265295	0.039392
1.28	61.376079	0.663215	0.091545	-0.230809	-1.314793	0.040911
1.30	72.287388	0.672861	0.080041	-0.235084	-1.361345	0.042389
1.32	86.476564	0.681445	0.068716	-0.238718	-1.404609	0.043835
1.34	105.653131	0.689156	0.057649	-0.241750	-1.444096	0.045265
1.36	132.843375	0.696173	0.046936	-0.244223	-1.479153	0.046698
1.38	173.848823	0.702660	0.036700	-0.246184	-1.508976	0.048160
1.40	241.049137	0.708770	0.027101	-0.247680	-1.532717	0.049684
1.42	365.244525	0.714647	0.018345	-0.248760	-1.549797	0.051313
1.44	643.858114	0.720424	0.010707	-0.249470	-1.560529	0.053103
1.45	943.406781	0.723317	0.007425	-0.249701	-1.564023	0.054081

ตารางที่ ข.28 ความสัมพันธ์ระหว่าง $\bar{S}_t, \bar{P}, \theta_B, \bar{x}^*, \bar{y}^*, \theta_A, \Delta\theta$ ในกรณีที่ 2 ($\alpha = \beta$)
โดยพิจารณาค่าคงที่ $\alpha = 0.50, \beta = 0.50$ และค่า $\bar{K} = 1$

\bar{S}_t	\bar{P}	θ_B	\bar{x}^*	\bar{y}^*	θ_A	$\Delta\theta$
1.00	0.000000	0.000000	0.000000	0.000000	0.000000	0.000000
1.02	1.232371	0.218573	0.489810	-0.099835	-0.225435	0.294579
1.04	1.803453	0.302256	0.479241	-0.141768	-0.321420	0.411880
1.06	2.288313	0.362090	0.468294	-0.174263	-0.396876	0.499042
1.08	2.740250	0.409066	0.456971	-0.201863	-0.462019	0.570406
1.10	3.179904	0.447555	0.445272	-0.226306	-0.520776	0.631631
1.12	3.617933	0.479854	0.433198	-0.248469	-0.575144	0.685674
1.14	4.060730	0.507360	0.420752	-0.268864	-0.626306	0.734318
1.16	4.512513	0.531000	0.407933	-0.287816	-0.675025	0.778741
1.18	4.976288	0.551432	0.394743	-0.305544	-0.721831	0.819771
1.20	5.454395	0.569147	0.381183	-0.322205	-0.767106	0.858015
1.22	5.948889	0.584525	0.367255	-0.337908	-0.811140	0.893930
1.24	6.461867	0.597867	0.352960	-0.352737	-0.854153	0.927873
1.26	6.995784	0.609423	0.338301	-0.366753	-0.896322	0.960123
1.28	7.553810	0.619400	0.323279	-0.380001	-0.937787	0.990908
1.30	8.140228	0.627974	0.307898	-0.392516	-0.978660	1.020412
1.32	8.760928	0.635299	0.292160	-0.404322	-1.019033	1.048791
1.34	9.424016	0.641507	0.276070	-0.415437	-1.058979	1.076176
1.36	10.140639	0.646714	0.259633	-0.425873	-1.098555	1.102686
1.38	10.926115	0.651024	0.242852	-0.435637	-1.137804	1.128426
1.40	11.801602	0.654527	0.225735	-0.444732	-1.176753	1.153499
1.42	12.796651	0.657304	0.208287	-0.453160	-1.215412	1.178008
1.44	13.953296	0.659429	0.190516	-0.460916	-1.253776	1.202061
1.46	15.332931	0.660968	0.172432	-0.467996	-1.291813	1.225780
1.48	17.028446	0.661983	0.154044	-0.474394	-1.329459	1.249313
1.50	19.187022	0.662532	0.135365	-0.480102	-1.366606	1.272845
1.52	22.056241	0.662677	0.116409	-0.485111	-1.403074	1.296632
1.54	26.086844	0.662485	0.097196	-0.489414	-1.438572	1.321048
1.56	32.193510	0.662042	0.077751	-0.493002	-1.472624	1.346687
1.58	42.551948	0.661469	0.058114	-0.495870	-1.504433	1.374597
1.60	63.871263	0.660980	0.038351	-0.498014	-1.532650	1.406889
1.62	131.388685	0.661063	0.018600	-0.499421	-1.555182	1.449036

ตารางที่ ข.29 ความสัมพันธ์ระหว่าง $\bar{S}_t, \bar{P}, \theta_B, \bar{x}^*, \bar{y}^*, \theta_A, \Delta\theta$ ในกรณีที่ 2 ($\alpha = \beta$)
โดยพิจารณาค่าคงที่ $\alpha = 0.50, \beta = 0.50$ และค่า $\bar{K} = 10$

\bar{S}_t	\bar{P}	θ_B	\bar{x}^*	\bar{y}^*	θ_A	$\Delta\theta$
1.00	0.000000	0.000000	0.000000	0.000000	0.000000	0.000000
1.02	3.627373	0.256994	0.489883	-0.094980	-0.261687	0.086212
1.04	5.348722	0.356560	0.479528	-0.134855	-0.369961	0.120610
1.06	6.854011	0.428232	0.468923	-0.165750	-0.453112	0.146371
1.08	8.307665	0.484644	0.458060	-0.191998	-0.523385	0.167760
1.10	9.778694	0.530762	0.446926	-0.215267	-0.585548	0.186494
1.12	11.306310	0.569171	0.435510	-0.236402	-0.642060	0.203480
1.14	12.915826	0.601443	0.423799	-0.255900	-0.694385	0.219270
1.16	14.623947	0.628645	0.411783	-0.274079	-0.743478	0.234222
1.18	16.440902	0.651567	0.399453	-0.291152	-0.789994	0.248569
1.20	18.371665	0.670840	0.386804	-0.307266	-0.834404	0.262464
1.22	20.417132	0.686992	0.373833	-0.322525	-0.877052	0.275997
1.24	22.575566	0.700484	0.360543	-0.337004	-0.918194	0.289215
1.26	24.844363	0.711720	0.346939	-0.350753	-0.958018	0.302137
1.28	27.221987	0.721057	0.333033	-0.363811	-0.996670	0.314765
1.30	29.709958	0.728807	0.318835	-0.376204	-1.034253	0.327089
1.32	32.314770	0.735237	0.304360	-0.387951	-1.070843	0.339102
1.34	35.049735	0.740575	0.289627	-0.399068	-1.106494	0.350797
1.36	37.936872	0.745014	0.274651	-0.409566	-1.141237	0.362174
1.38	41.009030	0.748714	0.259454	-0.419453	-1.175084	0.373241
1.40	44.312528	0.751806	0.244056	-0.428738	-1.208034	0.384015
1.42	47.910780	0.754399	0.228479	-0.437427	-1.240068	0.394522
1.44	51.889537	0.756585	0.212746	-0.445527	-1.271154	0.404799
1.46	56.364717	0.758436	0.196883	-0.453042	-1.301247	0.414892
1.48	61.494494	0.760016	0.180916	-0.459978	-1.330288	0.424858
1.50	67.498485	0.761375	0.164874	-0.466342	-1.358206	0.434766
1.52	74.689124	0.762558	0.148790	-0.472138	-1.384920	0.444699
1.54	83.525128	0.763604	0.132700	-0.477372	-1.410342	0.454761
1.56	94.706993	0.764546	0.116643	-0.482051	-1.434378	0.465076
1.58	109.358001	0.765415	0.100667	-0.486179	-1.456937	0.475804
1.60	129.393939	0.766243	0.084829	-0.489763	-1.477944	0.487153
1.62	158.354357	0.767060	0.069200	-0.492806	-1.497348	0.499410

ตารางที่ ข.30 ความสัมพันธ์ระหว่าง $\bar{S}_t, \bar{P}, \theta_B, \bar{x}^*, \bar{y}^*, \theta_A, \Delta\theta$ ในกรณีที่ 2 ($\alpha = \beta$)
โดยพิจารณาค่าคงที่ $\alpha = 0.50, \beta = 0.50$ และค่า $\bar{K} = 100$

\bar{S}_t	\bar{P}	θ_B	\bar{x}^*	\bar{y}^*	θ_A	$\Delta\theta$
1.00	0.000000	0.000000	0.000000	0.000000	0.000000	0.000000
1.02	4.454298	0.267689	0.489924	-0.092158	-0.271573	0.010580
1.04	6.593898	0.371617	0.479683	-0.130881	-0.382927	0.014844
1.06	8.491438	0.446427	0.469257	-0.160907	-0.467827	0.018079
1.08	10.354082	0.505187	0.458626	-0.186445	-0.539123	0.020811
1.10	12.272982	0.553009	0.447768	-0.209116	-0.601838	0.023254
1.12	14.302918	0.592551	0.436660	-0.229747	-0.658570	0.025523
1.14	16.480972	0.625435	0.425283	-0.248822	-0.710869	0.027688
1.16	18.832118	0.652781	0.413618	-0.266651	-0.759734	0.029794
1.18	21.371096	0.675444	0.401654	-0.283441	-0.805849	0.031869
1.20	24.103534	0.694132	0.389383	-0.299332	-0.849691	0.033927
1.22	27.027528	0.709456	0.376805	-0.314420	-0.891603	0.035974
1.24	30.135992	0.721961	0.363927	-0.328771	-0.931834	0.038010
1.26	33.419607	0.732128	0.350760	-0.342429	-0.970569	0.040029
1.28	36.869931	0.740376	0.337319	-0.355427	-1.007946	0.042024
1.30	40.482302	0.747063	0.323624	-0.367788	-1.044068	0.043988
1.32	44.258379	0.752490	0.309693	-0.379527	-1.079015	0.045913
1.34	48.208280	0.756903	0.295549	-0.390659	-1.112842	0.047794
1.36	52.352469	0.760505	0.281215	-0.401195	-1.145590	0.049626
1.38	56.723737	0.763455	0.266714	-0.411144	-1.177284	0.051408
1.40	61.369412	0.765886	0.252070	-0.420516	-1.207937	0.053139
1.42	66.354345	0.767898	0.237308	-0.429318	-1.237549	0.054820
1.44	71.764895	0.769575	0.222454	-0.437558	-1.266112	0.056453
1.46	77.714823	0.770982	0.207536	-0.445244	-1.293610	0.058043
1.48	84.353801	0.772171	0.192583	-0.452385	-1.320021	0.059594
1.50	91.880124	0.773185	0.177625	-0.458986	-1.345317	0.061113
1.52	100.560051	0.774057	0.162694	-0.465057	-1.369471	0.062608
1.54	110.757820	0.774817	0.147827	-0.470606	-1.392454	0.064088
1.56	122.983785	0.775485	0.133061	-0.475639	-1.414239	0.065562
1.58	137.973921	0.776082	0.118438	-0.480167	-1.434806	0.067042
1.60	156.827275	0.776625	0.104008	-0.484197	-1.454144	0.068543

ตารางที่ ข.31 ความสัมพันธ์ระหว่าง $\bar{S}_t, \bar{P}, \theta_B, \bar{x}^*, \bar{y}^*, \theta_A, \Delta\theta$ ในกรณีที่ 2 ($\alpha = \beta$)
โดยพิจารณาค่าคงที่ $\alpha = 0.75, \beta = 0.75$ และค่า $\bar{K} = 1$

\bar{S}_t	\bar{P}	θ_B	\bar{x}^*	\bar{y}^*	θ_A	$\Delta\theta$
1.00	0.000000	0.000000	0.000000	0.000000	0.000000	0.000000
1.01	1.344302	0.246970	0.747259	-0.060960	-0.110666	0.238450
1.02	1.994275	0.343133	0.744439	-0.087039	-0.156499	0.333244
1.03	2.575753	0.413058	0.741541	-0.107597	-0.191644	0.403593
1.04	3.154899	0.468997	0.738563	-0.125372	-0.221223	0.461150
1.05	3.766048	0.515801	0.735504	-0.141411	-0.247198	0.510544
1.06	4.437359	0.556010	0.732366	-0.156246	-0.270552	0.554224
1.07	5.198932	0.591150	0.729148	-0.170186	-0.291842	0.593710
1.08	6.088193	0.622226	0.725852	-0.183435	-0.311401	0.630058
1.09	7.156030	0.649927	0.722478	-0.196129	-0.329421	0.664079
1.10	8.475988	0.674741	0.719028	-0.208370	-0.346000	0.696454
1.11	10.159766	0.697003	0.715504	-0.220233	-0.361156	0.727819
1.12	12.384974	0.716921	0.711908	-0.231779	-0.374842	0.758833
1.13	15.447000	0.734577	0.708242	-0.243055	-0.386959	0.790234
1.14	19.858614	0.749914	0.704504	-0.254099	-0.397389	0.822899
1.15	26.544041	0.762717	0.700690	-0.264941	-0.406089	0.857848
1.16	37.225821	0.772663	0.696787	-0.275596	-0.413250	0.896144
1.17	55.297618	0.779515	0.692776	-0.286068	-0.419459	0.938674
1.18	88.530584	0.783427	0.688640	-0.296349	-0.425582	0.986204



ตารางที่ ข.32 ความสัมพันธ์ระหว่าง $\bar{S}_t, \bar{P}, \theta_B, \bar{x}^*, \bar{y}^*, \theta_A, \Delta\theta$ ในกรณีที่ 2 ($\alpha = \beta$)
โดยพิจารณาค่าคงที่ $\alpha = 0.75, \beta = 0.75$ และค่า $\bar{K} = 10$

\bar{S}_t	\bar{P}	θ_B	\bar{x}^*	\bar{y}^*	θ_A	$\Delta\theta$
1.00	0.000000	0.000000	0.000000	0.000000	0.000000	0.000000
1.01	3.737494	0.242753	0.746015	-0.055199	-0.153628	0.067005
1.02	5.590120	0.340746	0.742147	-0.079426	-0.214229	0.095291
1.03	7.299412	0.414310	0.738389	-0.098904	-0.258437	0.117561
1.04	9.072625	0.475040	0.734739	-0.116047	-0.293534	0.137037
1.05	11.045466	0.527457	0.731197	-0.131775	-0.322235	0.155102
1.06	13.364085	0.573860	0.727770	-0.146555	-0.345796	0.172629
1.07	16.228175	0.615541	0.724465	-0.160671	-0.364804	0.190352
1.08	19.943357	0.653190	0.721289	-0.174311	-0.379477	0.209040
1.09	25.002707	0.686992	0.718248	-0.187610	-0.389860	0.229607
1.10	32.205271	0.716598	0.715324	-0.200658	-0.396099	0.253154
1.11	42.771908	0.741143	0.712460	-0.213492	-0.398871	0.280825
1.12	58.344777	0.759680	0.709553	-0.226091	-0.399720	0.313371
1.13	80.900678	0.772063	0.706495	-0.238401	-0.400609	0.350817



ตารางที่ ข.33 ความสัมพันธ์ระหว่าง $\bar{S}_t, \bar{P}, \theta_B, \bar{x}^*, \bar{y}^*, \theta_A, \Delta\theta$ ในกรณีที่ 2 ($\alpha = \beta$)
 โดยพิจารณาค่าคงที่ $\alpha = 0.75, \beta = 0.75$ และค่า $\bar{K} = 100$

\bar{S}_t	\bar{P}	θ_B	\bar{x}^*	\bar{y}^*	θ_A	$\Delta\theta$
1.00	0.000000	0.000000	0.000000	0.000000	0.000000	0.000000
1.01	4.452420	0.236534	0.745414	-0.052170	-0.164789	0.008032
1.02	6.682037	0.333697	0.741017	-0.075347	-0.229494	0.011530
1.03	8.765257	0.407803	0.736806	-0.094160	-0.276362	0.014371
1.04	10.963970	0.469990	0.732786	-0.110864	-0.313143	0.016944
1.05	13.468919	0.524594	0.728964	-0.126318	-0.342655	0.019434
1.06	16.510549	0.573819	0.725359	-0.140966	-0.366099	0.021979
1.07	20.439478	0.618869	0.721995	-0.155082	-0.383893	0.024726
1.08	25.851344	0.660251	0.718898	-0.168861	-0.396001	0.027873
1.09	33.802669	0.697668	0.716080	-0.182441	-0.402283	0.031704
1.10	46.090006	0.729733	0.713490	-0.195886	-0.403248	0.036602
1.11	65.279772	0.754275	0.710962	-0.209155	-0.401088	0.042937
1.12	94.242764	0.770230	0.708284	-0.222129	-0.399187	0.050881



ตารางที่ ข.34 ความสัมพันธ์ระหว่าง $\bar{S}_t, \bar{P}, \theta_B, \bar{x}_D, \bar{y}_D, \bar{x}^*, \theta_A, \Delta\theta$ ในกรณีที่ 3 ($\alpha > \beta$)
 โดยพิจารณาค่าคงที่ $\alpha = 0.25, \beta = 0.15$ และค่า $\bar{K} = 1$

\bar{S}_t	\bar{P}	θ_B	\bar{x}_D	\bar{y}_D	\bar{x}^*	θ_A	$\Delta\theta$
1.00	0.000000	0.000000	0.000000	0.000000	0.000000	0.000000	0.000000
1.02	3.138369	0.152293	0.235210	-0.084562	0.140389	-0.369183	0.331241
1.04	4.736589	0.211081	0.220093	-0.118359	0.130603	-0.527209	0.466771
1.06	6.229431	0.253353	0.204654	-0.143325	0.120648	-0.652077	0.569865
1.08	7.781937	0.286676	0.188900	-0.163457	0.110530	-0.760479	0.656209
1.10	9.498679	0.314054	0.172839	-0.180291	0.100256	-0.858840	0.731938
1.12	11.489384	0.337059	0.156478	-0.194603	0.089833	-0.950447	0.800233
1.14	13.902456	0.356646	0.139826	-0.206840	0.079269	-1.037252	0.863012
1.16	16.968934	0.373453	0.122893	-0.217280	0.068573	-1.120526	0.921543
1.18	21.088616	0.387929	0.105690	-0.226104	0.057756	-1.201144	0.976732
1.20	27.034358	0.400412	0.088229	-0.233432	0.046832	-1.279715	1.029265
1.22	36.532675	0.411164	0.070525	-0.239342	0.035819	-1.356612	1.079708
1.24	54.388883	0.420409	0.052597	-0.243882	0.024751	-1.431833	1.128613
1.26	100.557693	0.428387	0.034476	-0.247089	0.013725	-1.504173	1.176834
1.28	424.047670	0.435785	0.016286	-0.249034	0.003338	-1.563379	1.228306



ตารางที่ ข.35 ความสัมพันธ์ระหว่าง $\bar{S}_t, \bar{P}, \theta_B, \bar{x}_D, \bar{y}_D, \bar{x}^*, \theta_A, \Delta\theta$ ในกรณีที่ 3 ($\alpha > \beta$)
 โดยพิจารณาค่าคงที่ $\alpha = 0.25, \beta = 0.15$ และค่า $\bar{K} = 10$

\bar{S}_t	\bar{P}	θ_B	\bar{x}_D	\bar{y}_D	\bar{x}^*	θ_A	$\Delta\theta$
1.00	0.000000	0.000000	0.000000	0.000000	0.000000	0.000000	0.000000
1.02	8.311019	0.209569	0.237567	-0.076710	0.140812	-0.375794	0.087318
1.04	12.530846	0.290965	0.224989	-0.107381	0.131592	-0.534163	0.122493
1.06	16.446375	0.349765	0.212267	-0.130107	0.122338	-0.657650	0.148944
1.08	20.469617	0.396313	0.199399	-0.148540	0.113052	-0.763467	0.170885
1.10	24.833632	0.434711	0.186389	-0.164097	0.103737	-0.858230	0.189970
1.12	29.751503	0.467121	0.173242	-0.177499	0.094400	-0.945281	0.207057
1.14	35.475164	0.494870	0.159965	-0.189171	0.085052	-1.026555	0.222656
1.16	42.346995	0.518858	0.146570	-0.199385	0.075706	-1.103248	0.237099
1.18	50.874824	0.539738	0.133073	-0.208327	0.066380	-1.176106	0.250620
1.20	61.867026	0.558012	0.119493	-0.216128	0.057099	-1.245558	0.263387
1.22	76.706319	0.574086	0.105857	-0.222888	0.047896	-1.311756	0.275539
1.24	97.967165	0.588303	0.092199	-0.228686	0.038816	-1.374531	0.287200
1.26	130.995996	0.600978	0.078568	-0.233591	0.029933	-1.433235	0.298509
1.28	188.693524	0.612429	0.065039	-0.237674	0.021369	-1.486341	0.309667
1.30	309.907622	0.623045	0.051746	-0.241022	0.013365	-1.530573	0.321034
1.32	664.183279	0.633386	0.038949	-0.243763	0.006417	-1.559824	0.333332
1.34	3037.124075	0.644233	0.027110	-0.246036	0.001453	-1.569666	0.347881



ตารางที่ ข.36 ความสัมพันธ์ระหว่าง $\bar{S}_t, \bar{P}, \theta_B, \bar{x}_D, \bar{y}_D, \bar{x}^*, \theta_A, \Delta\theta$ ในกรณีที่ 3 ($\alpha > \beta$)
 โดยพิจารณาค่าคงที่ $\alpha = 0.25, \beta = 0.15$ และค่า $\bar{K} = 100$

\bar{S}_t	\bar{P}	θ_B	\bar{x}_D	\bar{y}_D	\bar{x}^*	θ_A	$\Delta\theta$
1.00	0.000000	0.000000	0.000000	0.000000	0.000000	0.000000	0.000000
1.02	9.765778	0.223474	0.238594	-0.072986	0.141238	-0.371524	0.010273
1.04	14.702869	0.309975	0.227067	-0.102260	0.132455	-0.527712	0.014415
1.06	19.263990	0.372235	0.215410	-0.124033	0.123646	-0.649300	0.017535
1.08	23.925290	0.421312	0.203621	-0.141776	0.114807	-0.753354	0.020130
1.10	28.945760	0.461599	0.191696	-0.156832	0.105939	-0.846429	0.022394
1.12	34.550469	0.495418	0.179639	-0.169888	0.097047	-0.931826	0.024429
1.14	40.992479	0.524200	0.167455	-0.181346	0.088140	-1.011438	0.026292
1.16	48.599617	0.548919	0.155156	-0.191464	0.079233	-1.086419	0.028023
1.18	57.834644	0.570287	0.142758	-0.200416	0.070347	-1.157475	0.029647
1.20	69.393882	0.588854	0.130282	-0.208329	0.061508	-1.225002	0.031183
1.22	84.388939	0.605064	0.117757	-0.215296	0.052750	-1.289136	0.032645
1.24	104.712031	0.619287	0.105216	-0.221395	0.044119	-1.349754	0.034046
1.26	133.840326	0.631848	0.092708	-0.226690	0.035676	-1.406400	0.035399
1.28	178.812671	0.643045	0.080296	-0.231246	0.027512	-1.458120	0.036720
1.30	255.827333	0.653180	0.068075	-0.235132	0.019771	-1.503160	0.038035
1.32	409.544013	0.662580	0.056194	-0.238435	0.012690	-1.538593	0.039382
1.34	803.989440	0.671616	0.044880	-0.241258	0.006652	-1.560691	0.040827
1.36	2519.740143	0.680643	0.034444	-0.243692	0.002193	-1.568912	0.042455



ตารางที่ ข.37 ความสัมพันธ์ระหว่าง $\bar{S}_t, \bar{P}, \theta_B, \bar{x}_D, \bar{y}_D, \bar{x}^*, \theta_A, \Delta\theta$ ในกรณีที่ 3 ($\alpha > \beta$)
โดยพิจารณาค่าคงที่ $\alpha = 0.50, \beta = 0.15$ และค่า $\bar{K} = 1$

\bar{S}_t	\bar{P}	θ_B	\bar{x}_D	\bar{y}_D	\bar{x}^*	θ_A	$\Delta\theta$
1.00	0.000000	0.000000	0.000000	0.000000	0.000000	0.000000	0.000000
1.02	3.675443	0.213062	0.489524	-0.098513	0.144882	-0.273043	0.260482
1.04	5.434564	0.294355	0.478661	-0.139864	0.139631	-0.389666	0.363434
1.06	6.973016	0.352291	0.467413	-0.171885	0.134250	-0.481583	0.439417
1.08	8.452094	0.397624	0.455781	-0.199061	0.128743	-0.561103	0.501218
1.10	9.939427	0.434644	0.443766	-0.223107	0.123115	-0.632929	0.553910
1.12	11.475687	0.465612	0.431370	-0.244890	0.117371	-0.699425	0.600162
1.14	13.091762	0.491905	0.418595	-0.264916	0.111521	-0.761963	0.641603
1.16	14.815500	0.514443	0.405445	-0.283506	0.105574	-0.821407	0.679324
1.18	16.675420	0.533883	0.391922	-0.300880	0.099540	-0.878334	0.714102
1.20	18.703537	0.550713	0.378030	-0.317192	0.093433	-0.933142	0.746519
1.22	20.938249	0.565312	0.363773	-0.332553	0.087264	-0.986115	0.777020
1.24	23.427902	0.577981	0.349155	-0.347049	0.081046	-1.037460	0.805961
1.26	26.235728	0.588965	0.334181	-0.360740	0.074794	-1.087330	0.833622
1.28	29.447147	0.598469	0.318855	-0.373675	0.068520	-1.135840	0.860234
1.30	33.181151	0.606663	0.303182	-0.385890	0.062237	-1.183079	0.885981
1.32	37.608867	0.613692	0.287169	-0.397410	0.055958	-1.229110	0.911016
1.34	42.985358	0.619681	0.270819	-0.408255	0.049695	-1.273979	0.935464
1.36	49.707223	0.624738	0.254139	-0.418438	0.043459	-1.317704	0.959429
1.38	58.424043	0.628957	0.237134	-0.427969	0.037264	-1.360269	0.982997
1.40	70.272291	0.632421	0.219812	-0.436854	0.031126	-1.401597	1.006249
1.42	87.419590	0.635208	0.202181	-0.445096	0.025065	-1.441499	1.029267
1.44	114.514980	0.637394	0.184253	-0.452702	0.019121	-1.479545	1.052152
1.46	163.345679	0.639064	0.166047	-0.459687	0.013367	-1.514764	1.075076
1.48	272.507015	0.640343	0.147601	-0.466094	0.007980	-1.544869	1.098393
1.50	639.581765	0.641456	0.128996	-0.472031	0.003386	-1.564816	1.122946
1.52	4796.477274	0.642762	0.110364	-0.477682	0.000451	-1.570457	1.150404

ตารางที่ ข.38 ความสัมพันธ์ระหว่าง $\bar{S}_t, \bar{P}, \theta_B, \bar{x}_D, \bar{y}_D, \bar{x}^*, \theta_A, \Delta\theta$ ในกรณีที่ 3 ($\alpha > \beta$)
โดยพิจารณาค่าคงที่ $\alpha = 0.50, \beta = 0.15$ และค่า $\bar{K} = 10$

\bar{S}_t	\bar{P}	θ_B	\bar{x}_D	\bar{y}_D	\bar{x}^*	θ_A	$\Delta\theta$
1.00	0.000000	0.000000	0.000000	0.000000	0.000000	0.000000	0.000000
1.02	8.596283	0.224752	0.488353	-0.089707	0.142036	-0.352223	0.059967
1.04	12.890818	0.311344	0.476429	-0.127385	0.134019	-0.500725	0.083370
1.06	16.811915	0.373466	0.464218	-0.156542	0.125944	-0.616607	0.100456
1.08	20.766749	0.422307	0.451712	-0.181248	0.117809	-0.715998	0.114215
1.10	24.962867	0.462319	0.438906	-0.203061	0.109618	-0.805085	0.125846
1.12	29.566623	0.495851	0.425797	-0.222767	0.101375	-0.886985	0.135989
1.14	34.751492	0.524348	0.412384	-0.240827	0.093091	-0.963492	0.145038
1.16	40.728001	0.548789	0.398669	-0.257537	0.084779	-1.035710	0.153261
1.18	47.775982	0.569884	0.384657	-0.273099	0.076458	-1.104340	0.160850
1.20	56.291505	0.588178	0.370354	-0.287661	0.068149	-1.169810	0.167950
1.22	66.865318	0.604104	0.355771	-0.301332	0.059882	-1.232349	0.174677
1.24	80.425503	0.618019	0.340920	-0.314197	0.051687	-1.292011	0.181122
1.26	98.516872	0.630226	0.325819	-0.326330	0.043607	-1.348662	0.187364
1.28	123.894940	0.640989	0.310488	-0.337795	0.035695	-1.401924	0.193475
1.30	161.920014	0.650553	0.294957	-0.348658	0.028026	-1.451054	0.199528
1.32	224.267604	0.659155	0.279267	-0.358999	0.020714	-1.494713	0.205610
1.34	340.621391	0.667055	0.263480	-0.368925	0.013945	-1.530635	0.211843
1.36	606.063507	0.674541	0.247688	-0.378589	0.008016	-1.555575	0.218410
1.38	1482.478167	0.681917	0.232006	-0.388178	0.003360	-1.567348	0.225564
1.39	3021.866017	0.685642	0.224241	-0.392999	0.001671	-1.569384	0.229454



ตารางที่ ข.39 ความสัมพันธ์ระหว่าง $\bar{S}_t, \bar{P}, \theta_B, \bar{x}_D, \bar{y}_D, \bar{x}^*, \theta_A, \Delta\theta$ ในกรณีที่ 3 ($\alpha > \beta$)
 โดยพิจารณาค่าคงที่ $\alpha = 0.50, \beta = 0.15$ และค่า $\bar{K} = 100$

\bar{S}_t	\bar{P}	θ_B	\bar{x}_D	\bar{y}_D	\bar{x}^*	θ_A	$\Delta\theta$
1.00	0.000000	0.000000	0.000000	0.000000	0.000000	0.000000	0.000000
1.02	9.801509	0.225203	0.487939	-0.086360	0.141383	-0.368748	0.006822
1.04	14.747173	0.312285	0.475652	-0.122699	0.132743	-0.523786	0.009489
1.06	19.307705	0.374908	0.463125	-0.150849	0.124072	-0.644496	0.011439
1.08	23.958547	0.424228	0.450343	-0.174715	0.115367	-0.747818	0.013012
1.10	28.955251	0.464679	0.437298	-0.195788	0.106629	-0.840256	0.014343
1.12	34.516598	0.498605	0.423982	-0.214823	0.097862	-0.925082	0.015506
1.14	40.885108	0.527450	0.410392	-0.232261	0.089076	-1.004174	0.016546
1.16	48.370951	0.552197	0.396528	-0.248386	0.080286	-1.078675	0.017493
1.18	57.406561	0.573566	0.382396	-0.263393	0.071512	-1.149286	0.018369
1.20	68.634045	0.592112	0.368001	-0.277426	0.062780	-1.216404	0.019191
1.22	83.062798	0.608281	0.353357	-0.290592	0.054124	-1.280178	0.019974
1.24	102.378846	0.622445	0.338480	-0.302981	0.045588	-1.340514	0.020727
1.26	129.606217	0.634927	0.323393	-0.314673	0.037229	-1.397019	0.021461
1.28	170.671658	0.646022	0.308126	-0.325747	0.029130	-1.448867	0.022187
1.30	238.613707	0.656015	0.292728	-0.336298	0.021419	-1.494557	0.022917
1.32	367.053507	0.665212	0.277267	-0.346452	0.014299	-1.531577	0.023668
1.34	666.256342	0.673945	0.261845	-0.356383	0.008097	-1.556514	0.024464
1.36	1700.006679	0.682546	0.246586	-0.366292	0.003271	-1.567636	0.025340
1.37	3647.345658	0.686881	0.239057	-0.371299	0.001551	-1.569503	0.025821



ตารางที่ ข.40 ความสัมพันธ์ระหว่าง $\bar{S}_t, \bar{P}, \theta_B, \bar{x}_D, \bar{y}_D, \bar{x}^*, \theta_A, \Delta\theta$ ในกรณีที่ 3 ($\alpha > \beta$)
โดยพิจารณาค่าคงที่ $\alpha = 0.50, \beta = 0.25$ และค่า $\bar{K} = 1$

\bar{S}_t	\bar{P}	θ_B	\bar{x}_D	\bar{y}_D	\bar{x}^*	θ_A	$\Delta\theta$
1.00	0.000000	0.000000	0.000000	0.000000	0.000000	0.000000	0.000000
1.02	2.244331	0.214430	0.489613	-0.098949	0.242882	-0.255568	0.266470
1.04	3.300930	0.296307	0.478842	-0.140495	0.235560	-0.364659	0.371884
1.06	4.211002	0.354701	0.467687	-0.172677	0.228034	-0.450596	0.449743
1.08	5.072125	0.400427	0.456150	-0.199998	0.220308	-0.524917	0.513114
1.10	5.923522	0.437795	0.444232	-0.224181	0.212385	-0.592035	0.567175
1.12	6.787070	0.469076	0.431934	-0.246095	0.204270	-0.654179	0.614650
1.14	7.677717	0.495653	0.419259	-0.266249	0.195971	-0.712646	0.657196
1.16	8.607403	0.518447	0.406209	-0.284966	0.187496	-0.768261	0.695922
1.18	9.586997	0.538117	0.392785	-0.302464	0.178853	-0.821578	0.731618
1.20	10.627527	0.555151	0.378992	-0.318898	0.170055	-0.872985	0.764873
1.22	11.741204	0.569930	0.364832	-0.334380	0.161111	-0.922762	0.796142
1.24	12.942474	0.582755	0.350308	-0.348993	0.152035	-0.971118	0.825780
1.26	14.249271	0.593873	0.335425	-0.362799	0.142839	-1.018208	0.854077
1.28	15.684657	0.603488	0.320187	-0.375845	0.133537	-1.064153	0.881263
1.30	17.279117	0.611772	0.304599	-0.388167	0.124142	-1.109044	0.907530
1.32	19.073879	0.618873	0.288664	-0.399790	0.114666	-1.152955	0.933033
1.34	21.125977	0.624916	0.272388	-0.410734	0.105123	-1.195940	0.957902
1.36	23.516239	0.630013	0.255776	-0.421012	0.095526	-1.238036	0.982245
1.37	26.362486	0.634258	0.238834	-0.430632	0.085888	-1.279261	1.006154
1.40	29.842412	0.637737	0.221568	-0.439598	0.076224	-1.319605	1.029711
1.42	34.235529	0.640525	0.203986	-0.447914	0.066552	-1.359020	1.052996
1.44	40.005411	0.642692	0.186096	-0.455579	0.056893	-1.397394	1.076094
1.46	47.974832	0.644305	0.167910	-0.462595	0.047280	-1.434509	1.099109
1.48	59.740048	0.645433	0.149443	-0.468966	0.037765	-1.469952	1.122194
1.50	78.796969	0.646159	0.130717	-0.474704	0.028436	-1.502950	1.145598
1.52	114.260959	0.646594	0.111768	-0.479838	0.019462	-1.532037	1.169781
1.54	197.482861	0.646918	0.092660	-0.484431	0.011182	-1.554552	1.195651
1.56	514.221836	0.647422	0.073493	-0.488590	0.004277	-1.567001	1.225037
1.57	1273.140669	0.647882	0.063934	-0.490549	0.001727	-1.569473	1.242096

ตารางที่ ข.41 ความสัมพันธ์ระหว่าง $\bar{S}_t, \bar{P}, \theta_B, \bar{x}_D, \bar{y}_D, \bar{x}^*, \theta_A, \Delta\theta$ ในกรณีที่ 3 ($\alpha > \beta$)
โดยพิจารณาค่าคงที่ $\alpha = 0.50, \beta = 0.25$ และค่า $\bar{K} = 10$

\bar{S}_t	\bar{P}	θ_B	\bar{x}_D	\bar{y}_D	\bar{x}^*	θ_A	$\Delta\theta$
1.00	0.000000	0.000000	0.000000	0.000000	0.000000	0.000000	0.000000
1.02	5.442643	0.231495	0.488732	-0.091416	0.240183	-0.319011	0.064018
1.04	8.058007	0.320728	0.477187	-0.129821	0.230238	-0.453107	0.088994
1.06	10.362120	0.384755	0.465355	-0.159559	0.220159	-0.557491	0.107230
1.08	12.600279	0.435086	0.453229	-0.184780	0.209941	-0.646826	0.121919
1.10	14.880215	0.476294	0.440802	-0.207073	0.199581	-0.726751	0.134344
1.12	17.271395	0.510791	0.428070	-0.227240	0.189081	-0.800118	0.145188
1.14	19.831142	0.540058	0.415031	-0.245754	0.178446	-0.868581	0.154871
1.16	22.615623	0.565101	0.401685	-0.262914	0.167686	-0.933168	0.163679
1.18	25.686773	0.586651	0.388035	-0.278929	0.156813	-0.994549	0.171817
1.20	29.118579	0.605270	0.374088	-0.293946	0.145846	-1.053162	0.179442
1.22	33.004463	0.621407	0.359852	-0.308075	0.134809	-1.109286	0.186672
1.24	37.467291	0.635429	0.345337	-0.321401	0.123726	-1.163084	0.193605
1.26	42.674062	0.647647	0.330556	-0.333990	0.112630	-1.214625	0.200320
1.28	48.858646	0.658323	0.315525	-0.345897	0.101555	-1.263899	0.206884
1.30	56.358613	0.667687	0.300263	-0.357169	0.090542	-1.310817	0.213354
1.32	65.677569	0.675936	0.284789	-0.367848	0.079637	-1.355205	0.219786
1.34	77.595933	0.683247	0.269129	-0.377973	0.068895	-1.396791	0.226234
1.36	93.379046	0.689781	0.253310	-0.387586	0.058382	-1.435185	0.232756
1.37	115.195220	0.695683	0.237366	-0.396730	0.048179	-1.469854	0.239422
1.40	147.028545	0.701091	0.221336	-0.405458	0.038389	-1.500116	0.246316
1.42	196.900646	0.706138	0.205269	-0.413829	0.029146	-1.525173	0.253548
1.44	283.142664	0.710949	0.189219	-0.421908	0.020622	-1.544278	0.261262
1.46	456.342141	0.715642	0.173247	-0.429767	0.013040	-1.557160	0.269647
1.48	907.434571	0.720330	0.157426	-0.437479	0.006703	-1.564701	0.278961

ตารางที่ ข.42 ความสัมพันธ์ระหว่าง $\bar{S}_t, \bar{P}, \theta_B, \bar{x}_D, \bar{y}_D, \bar{x}^*, \theta_A, \Delta\theta$ ในกรณีที่ 3 ($\alpha > \beta$)
 โดยพิจารณาค่าคงที่ $\alpha = 0.50, \beta = 0.25$ และค่า $\bar{K} = 100$

\bar{S}_t	\bar{P}	θ_B	\bar{x}_D	\bar{y}_D	\bar{x}^*	θ_A	$\Delta\theta$
1.00	0.000000	0.000000	0.000000	0.000000	0.000000	0.000000	0.000000
1.02	6.272521	0.233643	0.488392	-0.088324	0.239575	-0.332930	0.007372
1.04	9.300165	0.323980	0.476559	-0.125497	0.229050	-0.472353	0.010253
1.06	11.980386	0.388911	0.464485	-0.154311	0.218416	-0.580560	0.012358
1.08	14.598431	0.439999	0.452155	-0.178764	0.207664	-0.672920	0.014057
1.10	17.282333	0.481835	0.439559	-0.200386	0.196789	-0.755352	0.015497
1.12	20.117483	0.516845	0.426688	-0.219949	0.185791	-0.830851	0.016756
1.14	23.177207	0.546522	0.413536	-0.237908	0.174672	-0.901147	0.017883
1.16	26.536196	0.571888	0.400104	-0.254552	0.163443	-0.967314	0.018913
1.18	30.279677	0.593690	0.386393	-0.270083	0.152118	-1.030041	0.019867
1.20	34.512471	0.612508	0.372410	-0.284643	0.140715	-1.089766	0.020765
1.22	39.370365	0.628805	0.358164	-0.298340	0.129259	-1.146755	0.021621
1.24	45.036244	0.642966	0.343667	-0.311259	0.117782	-1.201142	0.022446
1.26	51.764691	0.655315	0.328937	-0.323468	0.106320	-1.252951	0.023249
1.28	59.921431	0.666129	0.313992	-0.335023	0.094914	-1.302109	0.024040
1.30	70.049578	0.675647	0.298855	-0.345977	0.083613	-1.348441	0.024825
1.32	82.986411	0.684081	0.283553	-0.356377	0.072476	-1.391664	0.025613
1.34	100.080762	0.691618	0.268118	-0.366273	0.061573	-1.431372	0.026411
1.36	123.624979	0.698426	0.252585	-0.375717	0.050989	-1.467019	0.027229
1.37	157.785616	0.704662	0.236999	-0.384767	0.040830	-1.497929	0.028078
1.40	210.830431	0.710466	0.221410	-0.393487	0.031229	-1.523357	0.028973
1.42	301.270420	0.715969	0.205873	-0.401949	0.022354	-1.542675	0.029932
1.44	478.609581	0.721287	0.190454	-0.410225	0.014422	-1.555787	0.030978
1.46	919.505469	0.726528	0.175227	-0.418394	0.007718	-1.563694	0.032144

ตารางที่ ข.43 ความสัมพันธ์ระหว่าง $\bar{S}_t, \bar{P}, \theta_B, \bar{x}_D, \bar{y}_D, \bar{x}^*, \theta_A, \Delta\theta$ ในกรณีที่ 3 ($\alpha > \beta$)
โดยพิจารณาค่าคงที่ $\alpha = 0.50, \beta = 0.35$ และค่า $\bar{K} = 1$

\bar{S}_t	\bar{P}	θ_B	\bar{x}_D	\bar{y}_D	\bar{x}^*	θ_A	$\Delta\theta$
1.00	0.000000	0.000000	0.000000	0.000000	0.000000	0.000000	0.000000
1.02	1.650480	0.216039	0.489705	-0.099384	0.341478	-0.241328	0.275311
1.04	2.419719	0.298611	0.479028	-0.141123	0.332686	-0.344245	0.384417
1.06	3.076178	0.357555	0.467970	-0.173463	0.323625	-0.425259	0.465133
1.08	3.691352	0.403755	0.456532	-0.200926	0.314297	-0.495279	0.530930
1.10	4.293331	0.441546	0.444715	-0.225243	0.304703	-0.558487	0.587142
1.12	4.897100	0.473210	0.432520	-0.247287	0.294848	-0.617000	0.636567
1.14	5.512197	0.500136	0.419950	-0.267566	0.284735	-0.672060	0.680905
1.16	6.145553	0.523247	0.407005	-0.286406	0.274369	-0.724460	0.721289
1.18	6.802829	0.543203	0.393687	-0.304026	0.263756	-0.774740	0.758523
1.20	7.489211	0.560493	0.379999	-0.320580	0.252901	-0.823282	0.793206
1.22	8.209990	0.575497	0.365944	-0.336179	0.241812	-0.870368	0.825795
1.24	8.971096	0.588518	0.351522	-0.350906	0.230498	-0.916210	0.856653
1.26	9.779662	0.599802	0.336739	-0.364824	0.218965	-0.960970	0.886067
1.28	10.644692	0.609555	0.321596	-0.377978	0.207224	-1.004775	0.914271
1.30	11.577911	0.617951	0.306098	-0.390403	0.195283	-1.047727	0.941458
1.32	12.594893	0.625139	0.290249	-0.402124	0.183152	-1.089907	0.967784
1.34	13.716638	0.631247	0.274053	-0.413161	0.170840	-1.131378	0.993383
1.36	14.971875	0.636388	0.257514	-0.423524	0.158357	-1.172190	1.018364
1.37	16.400535	0.640659	0.240640	-0.433223	0.145715	-1.212375	1.042825
1.40	18.059253	0.644147	0.223434	-0.442261	0.132925	-1.251951	1.066853
1.42	20.030438	0.646930	0.205905	-0.450639	0.120000	-1.290912	1.090531
1.44	22.437986	0.649076	0.188060	-0.458355	0.106957	-1.329221	1.113943
1.46	25.476045	0.650649	0.169909	-0.465408	0.093814	-1.366796	1.137188
1.48	29.465363	0.651712	0.151462	-0.471794	0.080600	-1.403485	1.160390
1.50	34.973212	0.652328	0.132734	-0.477510	0.067356	-1.439019	1.183720
1.52	43.097687	0.652566	0.113745	-0.482559	0.054143	-1.472935	1.207445
1.54	56.246859	0.652515	0.094522	-0.486947	0.041067	-1.504425	1.232010
1.56	80.772270	0.652307	0.075109	-0.490699	0.028319	-1.532078	1.258226
1.58	139.475024	0.652157	0.055578	-0.493855	0.016274	-1.553552	1.287710
1.60	392.078594	0.652483	0.036057	-0.496482	0.005777	-1.566190	1.324166

ตารางที่ ข.44 ความสัมพันธ์ระหว่าง $\bar{S}_t, \bar{P}, \theta_B, \bar{x}_D, \bar{y}_D, \bar{x}^*, \theta_A, \Delta\theta$ ในกรณีที่ 3 ($\alpha > \beta$)
โดยพิจารณาค่าคงที่ $\alpha = 0.50, \beta = 0.35$ และค่า $\bar{K} = 10$

\bar{S}_t	\bar{P}	θ_B	\bar{x}_D	\bar{y}_D	\bar{x}^*	θ_A	$\Delta\theta$
1.00	0.000000	0.000000	0.000000	0.000000	0.000000	0.000000	0.000000
1.02	4.245887	0.240325	0.489185	-0.093209	0.339633	-0.292477	0.070368
1.04	6.249390	0.333072	0.478099	-0.132376	0.329079	-0.414862	0.097913
1.06	7.986464	0.399664	0.466733	-0.162721	0.318332	-0.509778	0.118100
1.08	9.646211	0.452018	0.455078	-0.188483	0.307382	-0.590748	0.134438
1.10	11.306918	0.494854	0.443126	-0.211283	0.296225	-0.662991	0.148330
1.12	13.013746	0.530658	0.430871	-0.231944	0.284856	-0.729164	0.160524
1.14	14.798464	0.560953	0.418308	-0.250947	0.273274	-0.790817	0.171478
1.16	16.686905	0.586774	0.405434	-0.268599	0.261481	-0.848933	0.181503
1.18	18.702721	0.608877	0.392250	-0.285111	0.249482	-0.904158	0.190819
1.20	20.869891	0.627848	0.378759	-0.300630	0.237288	-0.956931	0.199591
1.22	23.214896	0.644156	0.364966	-0.315267	0.224911	-1.007551	0.207943
1.24	25.768992	0.658193	0.350880	-0.329103	0.212370	-1.056217	0.215976
1.26	28.570884	0.670288	0.336511	-0.342201	0.199685	-1.103057	0.223768
1.28	31.670082	0.680724	0.321871	-0.354611	0.186880	-1.148145	0.231381
1.30	35.131353	0.689744	0.306975	-0.366371	0.173983	-1.191512	0.238869
1.32	39.040892	0.697557	0.291840	-0.377515	0.161023	-1.233152	0.246278
1.34	43.515206	0.704344	0.276484	-0.388068	0.148033	-1.273025	0.253647
1.36	48.714414	0.710262	0.260925	-0.398054	0.135048	-1.311061	0.261017
1.37	54.862875	0.715446	0.245186	-0.407494	0.122108	-1.347157	0.268426
1.40	62.282383	0.720015	0.229289	-0.416407	0.109254	-1.381174	0.275914
1.42	71.447805	0.724071	0.213259	-0.424813	0.096535	-1.412936	0.283530
1.44	83.084748	0.727706	0.197124	-0.432732	0.084006	-1.442232	0.291329
1.46	98.350686	0.731002	0.180916	-0.440184	0.071731	-1.468815	0.299379
1.48	119.194316	0.734032	0.164668	-0.447192	0.059787	-1.492421	0.307766
1.50	149.131229	0.736863	0.148419	-0.453780	0.048266	-1.512800	0.316600
1.52	195.111247	0.739559	0.132214	-0.459970	0.037285	-1.529782	0.326027
1.54	272.725093	0.742183	0.116107	-0.465789	0.026995	-1.543375	0.336245
1.56	424.121609	0.744801	0.100165	-0.471265	0.017609	-1.553890	0.347547
1.57	564.162670	0.746134	0.092284	-0.473886	0.013351	-1.558179	0.353741

ตารางที่ ข.45 ความสัมพันธ์ระหว่าง $\bar{S}_t, \bar{P}, \theta_B, \bar{x}_D, \bar{y}_D, \bar{x}^*, \theta_A, \Delta\theta$ ในกรณีที่ 3 ($\alpha > \beta$)
โดยพิจารณาค่าคงที่ $\alpha = 0.50, \beta = 0.35$ และค่า $\bar{K} = 100$

\bar{S}_t	\bar{P}	θ_B	\bar{x}_D	\bar{y}_D	\bar{x}^*	θ_A	$\Delta\theta$
1.00	0.000000	0.000000	0.000000	0.000000	0.000000	0.000000	0.000000
1.02	4.983127	0.245030	0.488958	-0.090380	0.339224	-0.304627	0.008257
1.04	7.342415	0.339823	0.477701	-0.128420	0.328291	-0.431447	0.011495
1.06	9.396251	0.407946	0.466209	-0.157924	0.317190	-0.529412	0.013875
1.08	11.368081	0.461491	0.454467	-0.182992	0.305906	-0.612694	0.015807
1.10	13.351619	0.505244	0.442460	-0.205193	0.294431	-0.686777	0.017456
1.12	15.401950	0.541731	0.430176	-0.225322	0.282755	-0.754453	0.018911
1.14	17.558721	0.572507	0.417608	-0.243846	0.270874	-0.817353	0.020225
1.16	19.855001	0.598637	0.404750	-0.261061	0.258789	-0.876499	0.021435
1.18	22.321862	0.620907	0.391601	-0.277172	0.246505	-0.932565	0.022568
1.20	24.991580	0.639933	0.378164	-0.292323	0.234030	-0.985997	0.023642
1.22	27.900533	0.656213	0.364446	-0.306619	0.221382	-1.037092	0.024672
1.24	31.092318	0.670165	0.350458	-0.320142	0.208579	-1.086041	0.025670
1.26	34.621482	0.682142	0.336212	-0.332953	0.195646	-1.132957	0.026644
1.28	38.558260	0.692445	0.321725	-0.345103	0.182610	-1.177896	0.027603
1.30	42.994941	0.701331	0.307016	-0.356631	0.169505	-1.220866	0.028553
1.32	48.054759	0.709023	0.292105	-0.367571	0.156365	-1.261839	0.029499
1.34	53.904847	0.715709	0.277014	-0.377953	0.143227	-1.300749	0.030447
1.36	60.775777	0.721551	0.261767	-0.387802	0.130133	-1.337502	0.031401
1.37	68.992117	0.726688	0.246390	-0.397145	0.117128	-1.371971	0.032369
1.40	79.022004	0.731238	0.230909	-0.406003	0.104262	-1.404004	0.033355
1.42	91.560964	0.735304	0.215356	-0.414401	0.091590	-1.433425	0.034367
1.44	107.680495	0.738972	0.199762	-0.422362	0.079173	-1.460046	0.035413
1.46	129.106953	0.742319	0.184161	-0.429910	0.067083	-1.483683	0.036502
1.48	158.782845	0.745411	0.168592	-0.437068	0.055402	-1.504191	0.037648
1.50	202.099290	0.748304	0.153098	-0.443861	0.044227	-1.521506	0.038864
1.52	269.926755	0.751052	0.137728	-0.450313	0.033680	-1.535716	0.040172
1.54	387.295987	0.753702	0.122542	-0.456449	0.023917	-1.547114	0.041597
1.55	482.567043	0.755007	0.115042	-0.459409	0.019395	-1.551909	0.042365

ตารางที่ ข.46 ความสัมพันธ์ระหว่าง $\bar{S}_t, \bar{P}, \theta_B, \bar{x}_D, \bar{y}_D, \bar{x}^*, \theta_A, \Delta\theta$ ในกรณีที่ 3 ($\alpha > \beta$)
 โดยพิจารณาค่าคงที่ $\alpha = 0.75, \beta = 0.15$ และค่า $\bar{K} = 1$

\bar{S}_t	\bar{P}	θ_B	\bar{x}_D	\bar{y}_D	\bar{x}^*	θ_A	$\Delta\theta$
1.00	0.000000	0.000000	0.000000	0.000000	0.000000	0.000000	0.000000
1.02	6.265031	0.298240	0.741184	-0.076869	0.144455	-0.291226	0.212847
1.04	9.452451	0.405407	0.731971	-0.110668	0.138668	-0.417638	0.289064
1.06	12.418888	0.477616	0.722304	-0.137703	0.132602	-0.519259	0.339931
1.08	15.459177	0.530898	0.712150	-0.161264	0.126237	-0.609078	0.376970
1.10	18.715277	0.571823	0.701493	-0.182598	0.119571	-0.691886	0.405035
1.12	22.289217	0.603956	0.690340	-0.202337	0.112621	-0.769917	0.426880
1.14	26.275072	0.629541	0.678710	-0.220862	0.105419	-0.844305	0.444323
1.16	30.775454	0.650117	0.666633	-0.238429	0.098007	-0.915633	0.458669
1.18	35.915258	0.666802	0.654147	-0.255223	0.090437	-0.984195	0.470891
1.20	41.857399	0.680431	0.641291	-0.271381	0.082761	-1.050119	0.481725
1.22	48.824205	0.691641	0.628104	-0.287011	0.075035	-1.113446	0.491728
1.24	57.129699	0.700923	0.614621	-0.302196	0.067311	-1.174155	0.501318
1.26	67.231850	0.708661	0.600874	-0.317002	0.059640	-1.232181	0.510804
1.28	79.822328	0.715156	0.586894	-0.331482	0.052073	-1.287412	0.520417
1.30	95.989807	0.720646	0.572706	-0.345681	0.044658	-1.339665	0.530318
1.32	117.536503	0.725324	0.558334	-0.359633	0.037444	-1.388659	0.540622
1.34	147.639082	0.729348	0.543800	-0.373374	0.030488	-1.433951	0.551405
1.36	192.360192	0.732853	0.529128	-0.386934	0.023860	-1.474843	0.562713
1.37	264.529968	0.735963	0.514349	-0.400351	0.017652	-1.510240	0.574563
1.40	395.395126	0.738798	0.499499	-0.413672	0.012001	-1.538521	0.586953
1.42	678.666951	0.741478	0.484627	-0.426958	0.007107	-1.557750	0.599865
1.44	1518.112197	0.744119	0.469791	-0.440279	0.003236	-1.567173	0.613282
1.45	2784.829801	0.745453	0.462404	-0.446974	0.001782	-1.569089	0.620183

ตารางที่ ข.47 ความสัมพันธ์ระหว่าง $\bar{S}_t, \bar{P}, \theta_B, \bar{x}_D, \bar{y}_D, \bar{x}^*, \theta_A, \Delta\theta$ ในกรณีที่ 3 ($\alpha > \beta$)
 โดยพิจารณาค่าคงที่ $\alpha = 0.75, \beta = 0.15$ และค่า $\bar{K} = 10$

\bar{S}_t	\bar{P}	θ_B	\bar{x}_D	\bar{y}_D	\bar{x}^*	θ_A	$\Delta\theta$
1.00	0.000000	0.000000	0.000000	0.000000	0.000000	0.000000	0.000000
1.02	9.471844	0.238513	0.736743	-0.059857	0.141688	-0.361726	0.033377
1.04	14.233374	0.329603	0.723638	-0.087693	0.133356	-0.513714	0.046762
1.06	18.611553	0.394350	0.710592	-0.110811	0.124987	-0.632109	0.056595
1.08	23.062802	0.444742	0.697532	-0.131561	0.116573	-0.733570	0.064462
1.10	27.827278	0.485584	0.684399	-0.150792	0.108108	-0.824486	0.071004
1.12	33.104908	0.519437	0.671149	-0.168914	0.099595	-0.908067	0.076579
1.14	39.111536	0.547890	0.657748	-0.186160	0.091043	-0.986140	0.081421
1.16	46.116963	0.572030	0.644172	-0.202680	0.082466	-1.059814	0.085697
1.18	54.489446	0.592652	0.630406	-0.218575	0.073886	-1.129765	0.089540
1.20	64.763963	0.610366	0.616442	-0.233924	0.065329	-1.196380	0.093054
1.22	77.760978	0.625658	0.602279	-0.248787	0.056828	-1.259821	0.096324
1.24	94.810922	0.638926	0.587920	-0.263216	0.048426	-1.320040	0.099422
1.26	118.213461	0.650506	0.573375	-0.277260	0.040174	-1.376748	0.102406
1.28	152.266319	0.660693	0.558661	-0.290968	0.032144	-1.429326	0.105327
1.30	205.843612	0.669761	0.543805	-0.304396	0.024437	-1.476642	0.108228
1.32	299.879478	0.677980	0.528852	-0.317621	0.017211	-1.516771	0.111152
1.34	494.128767	0.685640	0.513870	-0.330752	0.010716	-1.546807	0.114141
1.36	1021.997008	0.693042	0.498954	-0.343930	0.005325	-1.563859	0.117241



ตารางที่ ข.48 ความสัมพันธ์ระหว่าง $\bar{S}_t, \bar{P}, \theta_B, \bar{x}_D, \bar{y}_D, \bar{x}^*, \theta_A, \Delta\theta$ ในกรณีที่ 3 ($\alpha > \beta$)
 โดยพิจารณาค่าคงที่ $\alpha = 0.75, \beta = 0.15$ และค่า $\bar{K} = 100$

\bar{S}_t	\bar{P}	θ_B	\bar{x}_D	\bar{y}_D	\bar{x}^*	θ_A	$\Delta\theta$
1.00	0.000000	0.000000	0.000000	0.000000	0.000000	0.000000	0.000000
1.02	9.904003	0.226620	0.736008	-0.056514	0.141342	-0.369846	0.003513
1.04	14.904701	0.314182	0.722212	-0.083043	0.132664	-0.525281	0.004959
1.06	19.519409	0.377094	0.708530	-0.105227	0.123960	-0.646271	0.006044
1.08	24.229488	0.426591	0.694892	-0.125252	0.115223	-0.749817	0.006929
1.10	29.294607	0.467143	0.681238	-0.143897	0.106454	-0.842446	0.007677
1.12	34.937984	0.501114	0.667523	-0.161533	0.097658	-0.927445	0.008325
1.14	41.407962	0.529964	0.653709	-0.178367	0.088843	-1.006693	0.008895
1.16	49.023142	0.554687	0.639766	-0.194526	0.080026	-1.081335	0.009404
1.18	58.228972	0.576012	0.625674	-0.210100	0.071225	-1.152070	0.009865
1.20	69.688797	0.594501	0.611419	-0.225153	0.062468	-1.219288	0.010289
1.22	84.448740	0.610606	0.596996	-0.239739	0.053789	-1.283129	0.010685
1.24	104.262721	0.624704	0.582404	-0.253905	0.045233	-1.343484	0.011060
1.26	132.290983	0.637123	0.567651	-0.267695	0.036859	-1.399936	0.011422
1.28	174.763357	0.648160	0.552755	-0.281163	0.028753	-1.451622	0.011775
1.30	245.491164	0.658107	0.537749	-0.294376	0.021047	-1.496980	0.012125
1.32	380.481240	0.667270	0.522688	-0.307432	0.013950	-1.533426	0.012479
1.34	699.977118	0.675988	0.507659	-0.320469	0.007797	-1.557542	0.012843
1.36	1843.101270	0.684586	0.492771	-0.333654	0.003055	-1.567924	0.013225



ตารางที่ ข.49 ความสัมพันธ์ระหว่าง $\bar{S}_t, \bar{P}, \theta_B, \bar{x}_D, \bar{y}_D, \bar{x}^*, \theta_A, \Delta\theta$ ในกรณีที่ 3 ($\alpha > \beta$)
โดยพิจารณาค่าคงที่ $\alpha = 0.75, \beta = 0.25$ และค่า $\bar{K} = 1$

\bar{S}_t	\bar{P}	θ_B	\bar{x}_D	\bar{y}_D	\bar{x}^*	θ_A	$\Delta\theta$
1.00	0.000000	0.000000	0.000000	0.000000	0.000000	0.000000	0.000000
1.02	3.888835	0.304145	0.741614	-0.078301	0.243142	-0.262258	0.221075
1.04	5.838174	0.413474	0.732816	-0.112690	0.235952	-0.376046	0.299942
1.06	7.628580	0.487150	0.723547	-0.140176	0.228377	-0.467536	0.352266
1.08	9.436656	0.541486	0.713769	-0.164113	0.220385	-0.548463	0.389995
1.10	11.338545	0.583155	0.703461	-0.185769	0.211961	-0.623168	0.418154
1.12	13.379210	0.615778	0.692627	-0.205785	0.203115	-0.693674	0.439613
1.14	15.590648	0.641641	0.681282	-0.224549	0.193876	-0.760994	0.456291
1.16	17.999776	0.662322	0.669460	-0.242325	0.184286	-0.825640	0.469592
1.18	20.633430	0.678977	0.657200	-0.259302	0.174402	-0.887858	0.480581
1.20	23.522406	0.692477	0.644546	-0.275626	0.164284	-0.947753	0.490077
1.22	26.705243	0.703487	0.631541	-0.291409	0.153995	-1.005361	0.498705
1.24	30.232174	0.712526	0.618226	-0.306740	0.143597	-1.060682	0.506936
1.26	34.169773	0.719994	0.604638	-0.321691	0.133149	-1.113698	0.515120
1.28	38.606963	0.726204	0.590808	-0.336315	0.122706	-1.164383	0.523513
1.30	43.663421	0.731404	0.576765	-0.350659	0.112320	-1.212696	0.532297
1.32	49.501898	0.735785	0.562531	-0.364756	0.102040	-1.258584	0.541603
1.34	56.346964	0.739502	0.548126	-0.378636	0.091913	-1.301973	0.551517
1.36	64.514465	0.742678	0.533568	-0.392322	0.081982	-1.342767	0.562096
1.37	74.459342	0.745413	0.518871	-0.405833	0.072293	-1.380836	0.573376
1.40	86.856193	0.747787	0.504051	-0.419188	0.062890	-1.416011	0.585374
1.42	102.740989	0.749870	0.489120	-0.432403	0.053822	-1.448077	0.598098
1.44	123.773574	0.751720	0.474093	-0.445494	0.045141	-1.476770	0.611548
1.46	152.755653	0.753388	0.458984	-0.458479	0.036907	-1.501780	0.625723
1.48	194.737384	0.754919	0.443809	-0.471377	0.029188	-1.522784	0.640621
1.50	259.637191	0.756353	0.428588	-0.484208	0.022066	-1.539512	0.656248
1.52	369.358927	0.757727	0.413341	-0.496997	0.015640	-1.551894	0.672622
1.54	581.255548	0.759074	0.398088	-0.509770	0.010032	-1.560271	0.689781
1.56	1092.178779	0.760427	0.382858	-0.522559	0.005398	-1.565562	0.707790

ตารางที่ ข.50 ความสัมพันธ์ระหว่าง $\bar{S}_t, \bar{P}, \theta_B, \bar{x}_D, \bar{y}_D, \bar{x}^*, \theta_A, \Delta\theta$ ในกรณีที่ 3 ($\alpha > \beta$)
 โดยพิจารณาค่าคงที่ $\alpha = 0.75, \beta = 0.25$ และค่า $\bar{K} = 10$

\bar{S}_t	\bar{P}	θ_B	\bar{x}_D	\bar{y}_D	\bar{x}^*	θ_A	$\Delta\theta$
1.00	0.000000	0.000000	0.000000	0.000000	0.000000	0.000000	0.000000
1.02	6.042664	0.247294	0.737215	-0.061879	0.239945	-0.326189	0.035836
1.04	8.958083	0.341620	0.724579	-0.090580	0.229799	-0.462745	0.050067
1.06	11.540214	0.408572	0.711996	-0.114374	0.219538	-0.568824	0.060421
1.08	14.063816	0.460586	0.699388	-0.135701	0.209147	-0.659520	0.068617
1.10	16.651106	0.502644	0.686694	-0.155445	0.198614	-0.740641	0.075353
1.12	19.382169	0.537401	0.673867	-0.174035	0.187934	-0.815113	0.081020
1.14	22.324264	0.566505	0.660872	-0.191715	0.177111	-0.884616	0.085873
1.16	25.544472	0.591088	0.647684	-0.208641	0.166153	-0.950181	0.090102
1.18	29.118002	0.611979	0.634289	-0.224925	0.155076	-1.012460	0.093852
1.20	33.136065	0.629815	0.620680	-0.240646	0.143903	-1.071864	0.097241
1.22	37.715355	0.645105	0.606854	-0.255870	0.132660	-1.128639	0.100367
1.24	43.011098	0.658263	0.592815	-0.270650	0.121380	-1.182909	0.103309
1.26	49.236405	0.669632	0.578572	-0.285031	0.110102	-1.234702	0.106134
1.28	56.692511	0.679501	0.564133	-0.299052	0.098867	-1.283957	0.108895
1.30	65.818226	0.688115	0.549513	-0.312751	0.087724	-1.330534	0.111638
1.32	77.274512	0.695683	0.534727	-0.326161	0.076726	-1.374200	0.114399
1.34	92.096538	0.702388	0.519795	-0.339319	0.065938	-1.414623	0.117210
1.36	111.983282	0.708391	0.504739	-0.352260	0.055433	-1.451353	0.120097
1.37	139.889234	0.713835	0.489586	-0.365026	0.045303	-1.483821	0.123086
1.40	181.345566	0.718850	0.474370	-0.377664	0.035658	-1.511366	0.126199
1.42	247.775730	0.723554	0.459127	-0.390230	0.026637	-1.533332	0.129463
1.44	366.269067	0.728052	0.443902	-0.402783	0.018415	-1.549332	0.132908
1.46	616.044257	0.732440	0.428743	-0.415394	0.011215	-1.559700	0.136573
1.47	865.499628	0.734621	0.421207	-0.421748	0.008089	-1.563189	0.138504

ตารางที่ ข.51 ความสัมพันธ์ระหว่าง $\bar{S}_t, \bar{P}, \theta_B, \bar{x}_D, \bar{y}_D, \bar{x}^*, \theta_A, \Delta\theta$ ในกรณีที่ 3 ($\alpha > \beta$)
 โดยพิจารณาค่าคงที่ $\alpha = 0.75, \beta = 0.25$ และค่า $\bar{K} = 100$

\bar{S}_t	\bar{P}	θ_B	\bar{x}_D	\bar{y}_D	\bar{x}^*	θ_A	$\Delta\theta$
1.00	0.000000	0.000000	0.000000	0.000000	0.000000	0.000000	0.000000
1.02	6.343982	0.235303	0.736440	-0.058477	0.239545	-0.333786	0.003792
1.04	9.407261	0.326191	0.723086	-0.085877	0.228996	-0.473496	0.005340
1.06	12.120415	0.391448	0.709849	-0.108761	0.218340	-0.581893	0.006490
1.08	14.772222	0.442730	0.696654	-0.129398	0.207568	-0.674398	0.007420
1.10	17.492483	0.484668	0.683440	-0.148597	0.196674	-0.756953	0.008199
1.12	20.367926	0.519715	0.670156	-0.166747	0.185657	-0.832560	0.008865
1.14	23.473159	0.549382	0.656761	-0.184062	0.174519	-0.902955	0.009444
1.16	26.884328	0.574704	0.643226	-0.200680	0.163270	-0.969212	0.009956
1.18	30.688457	0.596438	0.629528	-0.216693	0.151924	-1.032018	0.010413
1.20	34.992744	0.615173	0.615653	-0.232171	0.140500	-1.091810	0.010830
1.22	39.936234	0.631380	0.601595	-0.247169	0.129025	-1.148850	0.011216
1.24	45.706424	0.645448	0.587350	-0.261732	0.117528	-1.203265	0.011579
1.26	52.564600	0.657704	0.572921	-0.275901	0.106048	-1.255078	0.011927
1.28	60.886511	0.668429	0.558316	-0.289712	0.094627	-1.304207	0.012266
1.30	71.230767	0.677865	0.543546	-0.303199	0.083315	-1.350472	0.012601
1.32	84.459555	0.686223	0.528626	-0.316399	0.072170	-1.393583	0.012937
1.34	101.963724	0.693691	0.513576	-0.329349	0.061265	-1.433125	0.013278
1.36	126.110875	0.700439	0.498420	-0.342090	0.050684	-1.468552	0.013626
1.37	161.213224	0.706621	0.483190	-0.354672	0.040536	-1.499185	0.013987
1.40	215.851335	0.712377	0.467923	-0.367149	0.030953	-1.524292	0.014363
1.42	309.313191	0.717836	0.452661	-0.379586	0.022105	-1.543279	0.014760
1.44	493.496596	0.723110	0.437455	-0.392056	0.014207	-1.556108	0.015181
1.46	955.550222	0.728306	0.422363	-0.404644	0.007549	-1.563849	0.015634

ตารางที่ ข.52 ความสัมพันธ์ระหว่าง $\bar{S}_t, \bar{P}, \theta_B, \bar{x}_D, \bar{y}_D, \bar{x}^*, \theta_A, \Delta\theta$ ในกรณีที่ 3 ($\alpha > \beta$)
โดยพิจารณาค่าคงที่ $\alpha = 0.75, \beta = 0.35$ และค่า $\bar{K} = 1$

\bar{S}_t	\bar{P}	θ_B	\bar{x}_D	\bar{y}_D	\bar{x}^*	θ_A	$\Delta\theta$
1.00	0.000000	0.000000	0.000000	0.000000	0.000000	0.000000	0.000000
1.02	2.930904	0.311600	0.742163	-0.080087	0.342808	-0.237241	0.233141
1.04	4.404481	0.423756	0.733904	-0.115228	0.335231	-0.340131	0.316150
1.06	5.764820	0.499417	0.725160	-0.143304	0.327210	-0.422909	0.370963
1.08	7.146388	0.555232	0.715887	-0.167743	0.318697	-0.496254	0.410085
1.10	8.606173	0.597981	0.706057	-0.189835	0.309665	-0.564139	0.438748
1.12	10.174842	0.631335	0.695661	-0.210231	0.300108	-0.628412	0.459946
1.14	11.869501	0.657616	0.684711	-0.229323	0.290042	-0.689982	0.475723
1.16	13.699046	0.678450	0.673236	-0.247379	0.279507	-0.749277	0.487624
1.18	15.667704	0.695040	0.661280	-0.264598	0.268553	-0.806477	0.496861
1.20	17.777993	0.708308	0.648892	-0.281134	0.257245	-0.861637	0.504396
1.22	20.033228	0.718972	0.636123	-0.297108	0.245648	-0.914758	0.510976
1.24	22.439541	0.727589	0.623020	-0.312618	0.233825	-0.965831	0.517173
1.26	25.007464	0.734593	0.609628	-0.327741	0.221839	-1.014845	0.523410
1.28	27.753241	0.740322	0.595984	-0.342538	0.209747	-1.061798	0.529993
1.30	30.700077	0.745036	0.582119	-0.357056	0.197600	-1.106695	0.537140
1.32	33.879540	0.748940	0.568059	-0.371331	0.185447	-1.149541	0.545002
1.34	37.333348	0.752193	0.553825	-0.385394	0.173332	-1.190344	0.553678
1.36	41.115786	0.754918	0.539433	-0.399265	0.161296	-1.229108	0.563234
1.37	45.297085	0.757213	0.524898	-0.412962	0.149379	-1.265832	0.573706
1.40	49.968205	0.759157	0.510229	-0.426498	0.137617	-1.300509	0.585117
1.42	55.247721	0.760810	0.495437	-0.439883	0.126047	-1.333123	0.597472
1.44	61.291867	0.762224	0.480527	-0.453125	0.114702	-1.363653	0.610772
1.46	68.309493	0.763439	0.465507	-0.466230	0.103618	-1.392071	0.625010
1.48	76.584814	0.764488	0.450380	-0.479204	0.092827	-1.418340	0.640179
1.50	86.513000	0.765397	0.435151	-0.492048	0.082365	-1.442422	0.656269
1.52	98.657625	0.766192	0.419824	-0.504768	0.072265	-1.464277	0.673273
1.54	113.847002	0.766889	0.404403	-0.517365	0.062566	-1.483873	0.691188
1.56	133.343180	0.767507	0.388892	-0.529842	0.053304	-1.501188	0.710015
1.58	159.154600	0.768059	0.373294	-0.542201	0.044522	-1.516228	0.729764
1.60	194.654064	0.768558	0.357613	-0.554445	0.036265	-1.529040	0.750454
1.62	245.903223	0.769016	0.341853	-0.566576	0.028587	-1.539731	0.772117
1.64	324.802134	0.769443	0.326020	-0.578600	0.021549	-1.548483	0.794803
1.66	457.687348	0.769851	0.310121	-0.590521	0.015229	-1.555554	0.818585

ตารางที่ ข.53 ความสัมพันธ์ระหว่าง $\bar{S}_t, \bar{P}, \theta_B, \bar{x}_D, \bar{y}_D, \bar{x}^*, \theta_A, \Delta\theta$ ในกรณีที่ 3 ($\alpha > \beta$)
โดยพิจารณาค่าคงที่ $\alpha = 0.75, \beta = 0.35$ และค่า $\bar{K} = 10$

\bar{S}_t	\bar{P}	θ_B	\bar{x}_D	\bar{y}_D	\bar{x}^*	θ_A	$\Delta\theta$
1.00	0.000000	0.000000	0.000000	0.000000	0.000000	0.000000	0.000000
1.02	4.773350	0.259152	0.737862	-0.064538	0.339629	-0.297656	0.039723
1.04	7.039217	0.357897	0.725871	-0.094374	0.329110	-0.421598	0.055330
1.06	9.018993	0.427886	0.713926	-0.119055	0.318415	-0.517493	0.066561
1.08	10.927212	0.482142	0.701941	-0.141139	0.307523	-0.599220	0.075338
1.10	12.853513	0.525871	0.689851	-0.161553	0.296416	-0.672143	0.082443
1.12	14.849907	0.561846	0.677604	-0.180750	0.285081	-0.738978	0.088313
1.14	16.952978	0.591790	0.665163	-0.198987	0.273513	-0.801295	0.093242
1.16	19.192377	0.616888	0.652500	-0.216431	0.261711	-0.860065	0.097445
1.18	21.595222	0.638017	0.639602	-0.233201	0.249685	-0.915915	0.101093
1.20	24.189149	0.655857	0.626459	-0.249384	0.237446	-0.969251	0.104329
1.22	27.005019	0.670956	0.613074	-0.265050	0.225016	-1.020336	0.107268
1.24	30.079723	0.683764	0.599450	-0.280257	0.212420	-1.069335	0.110007
1.26	33.459388	0.694655	0.585596	-0.295053	0.199684	-1.116344	0.112626
1.28	37.203322	0.703943	0.571524	-0.309478	0.186843	-1.161409	0.115190
1.30	41.389122	0.711890	0.557245	-0.323568	0.173930	-1.204534	0.117754
1.32	46.119643	0.718717	0.542774	-0.337352	0.160981	-1.245694	0.120358
1.34	51.532899	0.724610	0.528122	-0.350856	0.148037	-1.284837	0.123037
1.36	57.816682	0.729724	0.513306	-0.364104	0.135138	-1.321883	0.125818
1.37	65.230855	0.734191	0.498338	-0.377118	0.122327	-1.356730	0.128722
1.40	74.142538	0.738122	0.483232	-0.389918	0.109652	-1.389251	0.131768
1.42	85.083703	0.741610	0.468005	-0.402523	0.097163	-1.419302	0.134971
1.44	98.849414	0.744736	0.452672	-0.414954	0.084915	-1.446720	0.138346
1.46	116.673806	0.747567	0.437250	-0.427233	0.072971	-1.471345	0.141907
1.48	140.564365	0.750162	0.421757	-0.439381	0.061400	-1.493031	0.145672
1.50	173.984541	0.752571	0.406213	-0.451424	0.050283	-1.511684	0.149660
1.52	223.380427	0.754841	0.390642	-0.463390	0.039718	-1.527309	0.153896
1.54	302.024494	0.757010	0.375068	-0.475314	0.029824	-1.540062	0.158414
1.55	360.742068	0.758070	0.367290	-0.481272	0.025175	-1.545464	0.160792

ตารางที่ ข.54 ความสัมพันธ์ระหว่าง $\bar{S}_t, \bar{P}, \theta_B, \bar{x}_D, \bar{y}_D, \bar{x}^*, \theta_A, \Delta\theta$ ในกรณีที่ 3 ($\alpha > \beta$)
โดยพิจารณาค่าคงที่ $\alpha = 0.75, \beta = 0.35$ และค่า $\bar{K} = 100$

\bar{S}_t	\bar{P}	θ_B	\bar{x}_D	\bar{y}_D	\bar{x}^*	θ_A	$\Delta\theta$
1.00	0.000000	0.000000	0.000000	0.000000	0.000000	0.000000	0.000000
1.02	5.047759	0.247061	0.737032	-0.061050	0.339220	-0.305284	0.004239
1.04	7.439009	0.342518	0.724285	-0.089593	0.328289	-0.432295	0.005953
1.06	9.522271	0.411024	0.711662	-0.113395	0.317192	-0.530373	0.007216
1.08	11.524124	0.464788	0.699080	-0.134832	0.305915	-0.613735	0.008225
1.10	13.539698	0.508648	0.686472	-0.154755	0.294445	-0.687883	0.009059
1.12	15.624953	0.545160	0.673781	-0.173569	0.282775	-0.755620	0.009763
1.14	17.820171	0.575900	0.660961	-0.191504	0.270897	-0.818577	0.010364
1.16	20.158946	0.601950	0.647980	-0.208703	0.258813	-0.877780	0.010886
1.18	22.672846	0.624112	0.634811	-0.225268	0.246528	-0.933898	0.011345
1.20	25.394682	0.643010	0.621441	-0.241272	0.234051	-0.987374	0.011756
1.22	28.361473	0.659153	0.607861	-0.256775	0.221399	-1.038503	0.012132
1.24	31.617641	0.672964	0.594068	-0.271826	0.208592	-1.087471	0.012482
1.26	35.218807	0.684803	0.580066	-0.286467	0.195656	-1.134389	0.012816
1.28	39.236620	0.694973	0.565860	-0.300733	0.182618	-1.179307	0.013142
1.30	43.765219	0.703736	0.551459	-0.314657	0.169513	-1.222234	0.013465
1.32	48.930248	0.711313	0.536874	-0.328267	0.156375	-1.263136	0.013790
1.34	54.901970	0.717894	0.522116	-0.341588	0.143244	-1.301949	0.014121
1.36	61.915022	0.723641	0.507199	-0.354644	0.130160	-1.338577	0.014463
1.37	70.299247	0.728692	0.492137	-0.367457	0.117171	-1.372895	0.014817
1.40	80.529614	0.733164	0.476946	-0.380049	0.104325	-1.404752	0.015187
1.42	93.310389	0.737159	0.461641	-0.392443	0.091678	-1.433979	0.015574
1.44	109.723902	0.740762	0.446240	-0.404662	0.079291	-1.460395	0.015982
1.46	131.508680	0.744048	0.430763	-0.416731	0.067236	-1.483827	0.016413
1.48	161.616435	0.747081	0.415231	-0.428676	0.055592	-1.504146	0.016868
1.50	205.427432	0.749916	0.399667	-0.440529	0.044458	-1.521305	0.017353
1.52	273.713180	0.752603	0.384098	-0.452324	0.033951	-1.535407	0.017871
1.54	391.019130	0.755190	0.368558	-0.464106	0.024224	-1.546754	0.018429

ตารางที่ ข.55 ความสัมพันธ์ระหว่าง $\bar{S}_t, \bar{P}, \theta_B, \bar{x}_D, \bar{y}_D, \bar{x}^*, \theta_A, \Delta\theta$ ในกรณีที่ 3 ($\alpha > \beta$)
โดยพิจารณาค่าคงที่ $\alpha = 0.75, \beta = 0.50$ และค่า $\bar{K} = 1$

\bar{S}_t	\bar{P}	θ_B	\bar{x}_D	\bar{y}_D	\bar{x}^*	θ_A	$\Delta\theta$
1.00	0.000000	0.000000	0.000000	0.000000	0.000000	0.000000	0.000000
1.12	8.740980	0.660185	0.701340	-0.218187	0.452257	-0.540955	0.510985
1.14	10.487404	0.687557	0.691221	-0.237980	0.442299	-0.594832	0.525742
1.16	12.457430	0.708799	0.680481	-0.256635	0.431722	-0.647101	0.534961
1.18	14.648036	0.725186	0.669155	-0.274357	0.420569	-0.697785	0.540191
1.20	17.042112	0.737761	0.657302	-0.291315	0.408901	-0.746776	0.542815
1.22	19.613083	0.747382	0.644988	-0.307653	0.396793	-0.793950	0.544013
1.24	22.330143	0.754743	0.632284	-0.323491	0.384318	-0.839223	0.544723
1.26	25.162575	0.760388	0.619252	-0.338926	0.371545	-0.882571	0.545653
1.28	28.082576	0.764735	0.605946	-0.354032	0.358533	-0.924022	0.547306
1.30	31.066780	0.768102	0.592409	-0.368867	0.345331	-0.963638	0.550027
1.32	34.096927	0.770725	0.578674	-0.383472	0.331985	-1.001502	0.554045
1.34	37.160061	0.772781	0.564766	-0.397881	0.318532	-1.037700	0.559502
1.36	40.248496	0.774401	0.550705	-0.412115	0.305006	-1.072318	0.566485
1.38	43.359696	0.775686	0.536504	-0.426191	0.291441	-1.105434	0.575039
1.40	46.496125	0.776707	0.522172	-0.440119	0.277866	-1.137117	0.585183
1.42	49.665111	0.777521	0.507716	-0.453907	0.264311	-1.167426	0.596918
1.44	52.878759	0.778169	0.493141	-0.467558	0.250805	-1.196411	0.610232
1.46	56.153935	0.778685	0.478447	-0.481073	0.237376	-1.224114	0.625105
1.48	59.512377	0.779091	0.463635	-0.494452	0.224052	-1.250569	0.641509
1.50	62.980982	0.779407	0.448703	-0.507691	0.210860	-1.275805	0.659412
1.52	66.592339	0.779646	0.433648	-0.520785	0.197828	-1.299849	0.678777
1.54	70.385619	0.779819	0.418466	-0.533727	0.184980	-1.322725	0.699565
1.56	74.407945	0.779934	0.403151	-0.546508	0.172341	-1.344453	0.721733
1.58	78.716489	0.779996	0.387696	-0.559118	0.159935	-1.365058	0.745234
1.60	83.381592	0.780009	0.372093	-0.571544	0.147782	-1.384564	0.770017
1.62	88.491410	0.779976	0.356333	-0.583773	0.135903	-1.402995	0.796025
1.64	94.158914	0.779898	0.340405	-0.595785	0.124312	-1.420381	0.823199
1.66	100.532539	0.779773	0.324297	-0.607564	0.113024	-1.436752	0.851470
1.68	107.812742	0.779601	0.307996	-0.619087	0.102049	-1.452143	0.880767
1.70	116.278292	0.779380	0.291488	-0.630331	0.091395	-1.466590	0.911010
1.72	126.329498	0.779106	0.274757	-0.641269	0.081066	-1.480130	0.942115
1.74	138.561841	0.778775	0.257790	-0.651874	0.071064	-1.492804	0.973995
1.76	153.897594	0.778383	0.240570	-0.662116	0.061390	-1.504649	1.006567
1.78	173.835290	0.777926	0.223084	-0.671966	0.052048	-1.515700	1.039758
1.80	200.958907	0.777399	0.205320	-0.681395	0.043046	-1.525988	1.073519
1.81	218.574683	0.777109	0.196331	-0.685943	0.038678	-1.530852	1.090609

ตารางที่ ข.56 ความสัมพันธ์ระหว่าง $\bar{S}_t, \bar{P}, \theta_B, \bar{x}_D, \bar{y}_D, \bar{x}^*, \theta_A, \Delta\theta$ ในกรณีที่ 3 ($\alpha > \beta$)
โดยพิจารณาค่าคงที่ $\alpha = 0.75, \beta = 0.50$ และค่า $\bar{K} = 10$

\bar{S}_t	\bar{P}	θ_B	\bar{x}_D	\bar{y}_D	\bar{x}^*	θ_A	$\Delta\theta$
1.00	0.000000	0.000000	0.000000	0.000000	0.000000	0.000000	0.000000
1.02	4.199286	0.282571	0.739159	-0.069523	0.490403	-0.263141	0.049559
1.04	6.231495	0.390267	0.728473	-0.101494	0.480642	-0.371197	0.068821
1.06	8.050178	0.466539	0.717827	-0.127853	0.470681	-0.453865	0.082520
1.08	9.852946	0.525497	0.707125	-0.151378	0.460488	-0.523623	0.093054
1.10	11.727801	0.572730	0.696287	-0.173078	0.450034	-0.585342	0.101392
1.12	13.727814	0.611179	0.685249	-0.193445	0.439291	-0.641520	0.108072
1.14	15.888360	0.642662	0.673961	-0.212758	0.428236	-0.693620	0.113456
1.16	18.232136	0.668446	0.662387	-0.231201	0.416853	-0.742564	0.117823
1.18	20.770857	0.689496	0.650506	-0.248905	0.405136	-0.788955	0.121408
1.20	23.506497	0.706605	0.638311	-0.265970	0.393086	-0.833200	0.124414
1.22	26.433142	0.720444	0.625806	-0.282479	0.380711	-0.875576	0.127019
1.24	29.539613	0.731595	0.613002	-0.298500	0.368026	-0.916283	0.129376
1.26	32.812523	0.740557	0.599915	-0.314091	0.355051	-0.955464	0.131613
1.28	36.239320	0.747750	0.586563	-0.329299	0.341809	-0.993232	0.133833
1.30	39.810969	0.753527	0.572966	-0.344164	0.328325	-1.029674	0.136118
1.32	43.524124	0.758174	0.559140	-0.358716	0.314624	-1.064861	0.138530
1.34	47.382869	0.761923	0.545100	-0.372981	0.300730	-1.098849	0.141116
1.36	51.400158	0.764959	0.530860	-0.386978	0.286670	-1.131683	0.143910
1.37	55.599194	0.767428	0.516432	-0.400723	0.272469	-1.163394	0.146937
1.40	60.014940	0.769447	0.501825	-0.414228	0.258152	-1.194004	0.150213
1.42	64.696032	0.771106	0.487047	-0.427502	0.243746	-1.223525	0.153751
1.44	69.707376	0.772477	0.472107	-0.440551	0.229276	-1.251963	0.157557
1.46	75.133811	0.773616	0.457011	-0.453381	0.214770	-1.279314	0.161635
1.48	81.085346	0.774570	0.441764	-0.465995	0.200255	-1.305570	0.165990
1.50	87.704816	0.775373	0.426374	-0.478397	0.185762	-1.330717	0.170624
1.52	95.179150	0.776054	0.410844	-0.490588	0.171319	-1.354741	0.175537
1.54	103.756292	0.776637	0.395183	-0.502570	0.156960	-1.377623	0.180733
1.56	113.771061	0.777140	0.379395	-0.514347	0.142719	-1.399348	0.186216
1.58	125.685841	0.777579	0.363488	-0.525919	0.128633	-1.419902	0.191993
1.60	140.156545	0.777968	0.347469	-0.537290	0.114740	-1.439277	0.198072
1.62	158.143682	0.778317	0.331347	-0.548463	0.101087	-1.457471	0.204468

ตารางที่ ข.57 ความสัมพันธ์ระหว่าง $\bar{S}_t, \bar{P}, \theta_B, \bar{x}_D, \bar{y}_D, \bar{x}^*, \theta_A, \Delta\theta$ ในกรณีที่ 3 ($\alpha > \beta$)
โดยพิจารณาค่าคงที่ $\alpha = 0.75, \beta = 0.50$ และค่า $\bar{K} = 100$

\bar{S}_t	\bar{P}	θ_B	\bar{x}_D	\bar{y}_D	\bar{x}^*	θ_A	$\Delta\theta$
1.00	0.000000	0.000000	0.000000	0.000000	0.000000	0.000000	0.000000
1.02	4.529221	0.270591	0.738223	-0.065869	0.489977	-0.271839	0.005404
1.04	6.709722	0.375459	0.726709	-0.096567	0.479801	-0.383187	0.007573
1.06	8.648763	0.450807	0.715348	-0.122111	0.469448	-0.468033	0.009157
1.08	10.558039	0.509865	0.704040	-0.145077	0.458895	-0.539260	0.010409
1.10	12.531435	0.557816	0.692701	-0.166388	0.448117	-0.601910	0.011427
1.12	14.625841	0.597355	0.681258	-0.186485	0.437090	-0.658588	0.012267
1.14	16.879968	0.630135	0.669649	-0.205615	0.425793	-0.710842	0.012965
1.16	19.319875	0.657299	0.657828	-0.223938	0.414207	-0.759671	0.013551
1.18	21.960738	0.679724	0.645760	-0.241563	0.402321	-0.805751	0.014049
1.20	24.807955	0.698137	0.633424	-0.258577	0.390127	-0.849551	0.014479
1.22	27.858808	0.713169	0.620811	-0.275048	0.377627	-0.891408	0.014861
1.24	31.104987	0.725381	0.607923	-0.291035	0.364830	-0.931561	0.015210
1.26	34.535715	0.735265	0.594766	-0.306588	0.351748	-0.970191	0.015542
1.28	38.141016	0.743249	0.581352	-0.321747	0.338399	-1.007432	0.015868
1.30	41.914716	0.749694	0.567694	-0.336548	0.324801	-1.043386	0.016197
1.32	45.856985	0.754903	0.553806	-0.351021	0.310978	-1.078131	0.016536
1.34	49.976442	0.759123	0.539702	-0.365186	0.296950	-1.111726	0.016891
1.36	54.291994	0.762554	0.525394	-0.379065	0.282743	-1.144212	0.017266
1.37	58.834653	0.765356	0.510892	-0.392671	0.268379	-1.175618	0.017664
1.40	63.649612	0.767655	0.496207	-0.406016	0.253884	-1.205960	0.018088
1.42	68.798923	0.769554	0.481348	-0.419110	0.239283	-1.235243	0.018540
1.44	74.365158	0.771130	0.466323	-0.431959	0.224601	-1.263466	0.019019
1.46	80.456626	0.772449	0.451140	-0.444571	0.209868	-1.290616	0.019529
1.48	87.214948	0.773560	0.435807	-0.456950	0.195110	-1.316679	0.020068
1.50	94.826223	0.774503	0.420332	-0.469101	0.180359	-1.341635	0.020639
1.52	103.537729	0.775312	0.404722	-0.481028	0.165646	-1.365461	0.021242
1.54	113.683531	0.776011	0.388987	-0.492734	0.151007	-1.388137	0.021878
1.56	125.724670	0.776624	0.373134	-0.504224	0.136477	-1.409645	0.022549
1.58	140.314122	0.777167	0.357175	-0.515504	0.122099	-1.429969	0.023255
1.59	148.846452	0.777417	0.349158	-0.521067	0.114981	-1.439685	0.023623

ภาคผนวก ซ
ผลงานตีพิมพ์เผยแพร่





การประชุมวิชาการ
วิศวกรรมโยธาแห่งชาติครั้งที่ 22 (NCCE22)



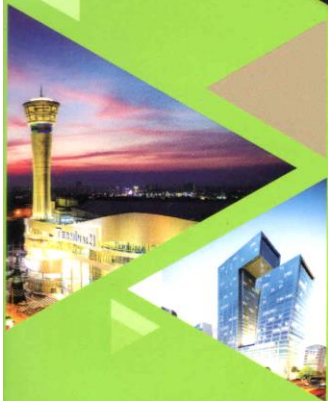
เอกสารประกอบการประชุมวิชาการ

วิศวกรรมโยธาแห่งชาติครั้งที่ 22
Proceedings of the 22nd National Convention on Civil Engineering

NCCE 22



ภายใต้หัวข้อการประชุม
เทคโนโลยีเขียวเพื่อการพัฒนาโครงสร้างพื้นฐานอย่างยั่งยืน
GREEN TECHNOLOGY FOR SUSTAINABLE INFRASTRUCTURE DEVELOPMENT



18 - 20 กรกฎาคม 2560
ณ เดอะกรีนเนอรี่ รีสอร์ท เขาใหญ่
อำเภอปากช่อง จังหวัดนครราชสีมา

จัดโดย สาขาวิชาวิศวกรรมโยธา คณะวิศวกรรมศาสตร์และสถาปัตยกรรมศาสตร์
มหาวิทยาลัยเทคโนโลยีราชมงคลธัญบุรี
สาขาวิชาวิศวกรรมโยธา สำนักวิชาวิศวกรรมศาสตร์ มหาวิทยาลัยเทคโนโลยีสุรนารี
และสมาคมวิศวกรรมสถานแห่งประเทศไทย ในพระบรมราชูปถัมภ์ (วสท.)

ISBN : 978 - 616 - 396 - 009 - 2





การประชุมวิชาการวิทยาศาสตร์และเทคโนโลยีแห่งชาติ ครั้งที่ ๒๒ “เทคโนโลยีเขียวเพื่อการพัฒนาโครงสร้างพื้นฐานอย่างยั่งยืน”

ขอมอบเกียรติบัตรฉบับนี้เพื่อแสดงว่า

มานะชัย สุวรรณ และ บุญชัย ผึ้งไผ่งาม

ได้เข้าร่วมประชุมและเสนอบทความ

**ผลของจุดด้านทานการหมุนต่อพฤติกรรมการแอ่นตัวของคานที่มีความยาวส่วนโค้ง
แปรเปลี่ยนได้ภายใต้แรงกระทำแบบจุด**

ระหว่างวันที่ ๑๘ - ๒๐ กรกฎาคม พ.ศ. ๒๕๖๐

ณ เดอะกรีนเนอรั่ รีสอร์ท อ.ปากช่อง จ.นครราชสีมา

ได้รับการรับรองจากสภาวิศวกรให้มีจำนวนหน่วยพัฒนา ๑๒ หน่วย รหัสกิจกรรม ๓๐๑-๐๑-๒๐๐๑-๐๐/๖๐๐๗-๐๐๔

วิระศิริ

(ดร.วิระศิริ)

นายกวิศวกรรมสถานแห่งประเทศไทย ในพระบรมราชูปถัมภ์

ประจำปี พ.ศ. ๒๕๖๐-๒๕๖๒

ธนวิ

(รองศาสตราจารย์ เอนก ศิริพานิชกร)

ประธานกรรมการกลางจัดประชุมวิชาการ

วิศวกรรมโยธาแห่งชาติ ครั้งที่ ๒๒

เอกสารประกอบการประชุมวิชาการวิศวกรรมโยธาแห่งชาติ ครั้งที่ 22
PROCEEDINGS OF THE 22nd NATIONAL CONVENTION ON CIVIL ENGINEERING

“เทคโนโลยีเขียวเพื่อการพัฒนาโครงสร้างพื้นฐานอย่างยั่งยืน”
GREEN TECHNOLOGY FOR SUSTAINABLE INFRASTRUCTURE DEVELOPMENT

VOLUME 1:

วิศวกรรมโครงสร้างและวิศวกรรมการบริหารงานก่อสร้าง
(Structural Engineering & Construction Engineering and Management)

18-20 กรกฎาคม 2560
ณ เดอะกรีนเนอรี รีสอร์ท เขาใหญ่
อำเภอปากช่อง จังหวัดนครราชสีมา

จัดโดย

สาขาวิชาวิศวกรรมโยธา คณะวิศวกรรมศาสตร์และสถาปัตยกรรมศาสตร์
มหาวิทยาลัยเทคโนโลยีราชมงคลธัญบุรี
สาขาวิชาวิศวกรรมโยธา สำนักวิชาวิศวกรรมศาสตร์ มหาวิทยาลัยเทคโนโลยีสุรนารี
และสมาคมวิศวกรรมสถานแห่งประเทศไทย ในพระบรมราชูปถัมภ์

ผู้สนับสนุนหลักอย่างเป็นทางการ

บริษัท ปูนซีเมนต์นครหลวง จำกัด (มหาชน)



กำหนดการประชุมวิชาการวิศวกรรมโยธาแห่งชาติ ครั้งที่ 22

ณ โรงแรม เดอะกรีนเนอร์ รีสอร์ท เขาใหญ่ จังหวัดนครราชสีมา

18 - 20 กรกฎาคม 2560

วันจันทร์ ที่ 17 กรกฎาคม 2560

เวลา	รายละเอียด
17.00 – 20.00 น.	ลงทะเบียนการประชุม ณ ห้องประชุม Falcon 1

วันอังคาร ที่ 18 กรกฎาคม 2560

เวลา	รายละเอียด
8.00 – 10.00 น.	ลงทะเบียนการประชุม ณ ห้องประชุม Falcon 1
10.00 – 10.15 น.	พิธีถวายราชสักการะและน้อมรำลึกในพระมหากรุณาธิคุณพระบาทสมเด็จพระปรมินทรมหาภูมิพลอดุลยเดชฯ**
10.15 – 11.00 น.	พิธีเปิด ณ ห้อง Falcon 1 - กล่าวรายงาน โดย ผู้ช่วยศาสตราจารย์ ดร.จัญญุทธ สืบสุข (ประธานคณะกรรมการจัดประชุมวิชาการวิศวกรรมโยธาแห่งชาติ ครั้งที่ 22) - กล่าวต้อนรับโดย รองศาสตราจารย์อนงค์ ศิริพานิชกร (ประธานคณะกรรมการกลางจัดประชุมวิชาการวิศวกรรมโยธาแห่งชาติ ครั้งที่ 22 และประธานคณะกรรมการสาขาวิศวกรรมโยธา วสท.) - กล่าวต้อนรับโดย รองศาสตราจารย์ ดร.ณรงค์ศักดิ์ ธรรมโชติ (คณบดีคณะวิศวกรรมศาสตร์และสถาปัตยกรรมศาสตร์ มหาวิทยาลัยเทคโนโลยีราชมงคลธัญบุรี) - กล่าวเปิดการประชุมฯ โดยประธานพิธี ผู้ช่วยศาสตราจารย์ ดร.วิโรจน์ ลิ้มไขแสง (อธิการบดีมหาวิทยาลัยเทคโนโลยีราชมงคลธัญบุรี) - พิธีมอบโล่ให้ผู้นับสนุนการประชุมฯ โดยประธานพิธี ผู้ช่วยศาสตราจารย์ ดร.วิโรจน์ ลิ้มไขแสง (อธิการบดีมหาวิทยาลัยเทคโนโลยีราชมงคลธัญบุรี)
11.00 – 12.00 น.	การบรรยายพิเศษ เรื่อง " วิศวกรรมโยธาดำเนินทางพระราชดำริ " โดย รองศาสตราจารย์ ดร.กาญจนา จันทร์ทรงคุณ
12.00 – 13.00 น.	พักรับประทานอาหารกลางวัน
13.00 - 13.45 น.	การบรรยายพิเศษ โดย ศาสตราจารย์ ดร.เป็นหนึ่งใน วานิชชัย (สถาบันเทคโนโลยีแห่งเอเชีย) ณ ห้องประชุม Falcon 1
13.00 - 15.00 น.	การนำเสนอบทความวิชาการ ช่วงที่ 1
15.00 – 15.15 น.	พักรับประทานอาหารว่าง
15.15 – 16.00 น.	การบรรยายพิเศษ โดย ศาสตราจารย์ ดร.สมนึก ตั้งเต็มศิริกุล (สถาบันเทคโนโลยีนานาชาติสิรินธร มหาวิทยาลัยธรรมศาสตร์) ณ ห้องประชุม Falcon 1
15.15 – 16.00 น.	การบรรยายพิเศษ โดย รองศาสตราจารย์ เกษม เพชรเกตุ (บริษัท เกษมดีไซน์ จำกัด) ณ ห้องประชุม Falcon 2
15.15 – 17.15 น.	การนำเสนอบทความวิชาการ ช่วงที่ 2
18.00 – 22.00 น.	งานเลี้ยงต้อนรับ ณ ห้องเลี้ยงรับรอง KYCC Grand Ballroom

** ในพิธีถวายราชสักการะ ขอความร่วมมือในการแต่งกาย

สุภาพบุรุษ : ขอความกรุณาสวมเสื้อมีปกสีขาวหรือดำ กางเกงขาขาวสีด้า (งดเว้นกางเกงยีนส์) รองเท้าหุ้มส้นสีด้า

สุภาพสตรี : ขอความกรุณาสวมชุดสุภาพสีด้า มีแขน ไม่รัดรูป กระโปรงยาวคลุมเข่าหรือผ้าถุง (งดเว้นกระโปรงยีนส์) รองเท้าหุ้มส้นสีด้า

วันพุธ ที่ 19 กรกฎาคม 2560

เวลา	รายละเอียด
9.00 – 9.45 น.	การบรรยายพิเศษ โดย ศาสตราจารย์ ดร.สุชาติ ลิ้มกัตติญญ (มหาวิทยาลัยสงขลานครินทร์) ณ ห้องประชุม Falcon 1
9.00 – 9.45 น.	การบรรยายพิเศษ โดย รองศาสตราจารย์ ดร.พนกฤษณ คลังบุญครอง (มหาวิทยาลัยขอนแก่น) ณ ห้องประชุม Falcon 2
8.00 – 10.00 น.	การนำเสนอบทความวิชาการ ช่วงที่ 3
10.00 – 10.15 น.	พักรับประทานอาหารว่าง
10.15 – 11.00 น.	การบรรยายพิเศษ โดย ศาสตราจารย์ ดร.ชัยยุทธ ชินณะราศรี (มหาวิทยาลัยเทคโนโลยีพระจอมเกล้าธนบุรี) ณ ห้องประชุม Falcon 1
10.45 – 12.15 น.	การบรรยายพิเศษ Newton Fund – Low Carbon Cement and Concrete in Modern Construction Industry ณ ห้องประชุม Falcon 2
10.15 – 12.15 น.	การนำเสนอบทความวิชาการ ช่วงที่ 4
12.15 – 13.15 น.	พักรับประทานอาหารกลางวัน
13.15 – 14.00 น.	การบรรยายพิเศษ โดย ศาสตราจารย์ ดร.สุชนัด หอพิบูลสุข (มหาวิทยาลัยเทคโนโลยีสุรนารี) ณ ห้องประชุม Falcon 1
13.15 – 14.00 น.	การบรรยายพิเศษ โดย ผู้ช่วยศาสตราจารย์ ดร.สุรเชษฐ์ ประวีณวงศ์วุฒิ (สถาบันเทคโนโลยีแห่งเอเชีย) ณ ห้องประชุม Falcon 2
13.15 – 15.15 น.	การนำเสนอบทความวิชาการ ช่วงที่ 5
15.15 – 15.30 น.	พักรับประทานอาหารว่าง
15.30 – 17.30 น.	การนำเสนอบทความวิชาการ ช่วงที่ 6

วันพฤหัสบดีที่ 20 กรกฎาคม 2560

เวลา	รายละเอียด
8.00 – 16.30 น.	ศึกษาดูงาน ห้องเที่ยวเชิงอนุรักษ์ธรรมชาติ อุทยานแห่งชาติเขาใหญ่ อ.ปากช่อง จ.นครราชสีมา





ผลของจุดด้านทานการหมุนต่อพฤติกรรมการแอ่นตัวมากของคานที่มีความยาวส่วนโค้งแปรเปลี่ยน
ได้ภายใต้แรงกระทำแบบจุด
Effect of Rotational Spring Joint on Large Deflections Behavior of Variable - Arc - Length Beam
Subjected to Point Load

มานะชัย สุวรรณ¹ และ บุญชัย ผึ้งไผ่งาม^{2*}

¹ภาควิชาวิศวกรรมโยธา คณะวิศวกรรมศาสตร์ มหาวิทยาลัยเทคโนโลยีราชมงคลธัญบุรี คลองหก คลองหลวง ปทุมธานี 12110

²Corresponding author: boonchai_p@rmutt.ac.th

บทคัดย่อ

บทความนี้นำเสนอการศึกษาของจุดด้านทานการหมุนต่อพฤติกรรมการแอ่นตัวมากของคานที่มีความยาวส่วนโค้งแปรเปลี่ยนได้ภายใต้แรงกระทำแบบจุด โดยที่ปลายด้านหนึ่งของคานเป็นจุดรองรับแบบหมุน ส่วนที่ปลายอีกด้านหนึ่งอยู่บนจุดรองรับที่เลื่อนได้โดยไร้แรงเสียดทาน ซึ่งมีจุดด้านทานการหมุนแบบสปริงอยู่ในตำแหน่งเดียวกับแรงกระทำ สมการครอบคลุมของปัญหาจะประกอบด้วยความสัมพันธ์ระหว่างโมเมนต์ตัดและความโค้ง ความสัมพันธ์ทางเรขาคณิตและสมการของจุดด้านทานการหมุนแบบสปริง ทำการหาค่าตอบเชิงตัวเลขของสมการโดยใช้ระเบียบวิธีการยิงเป้า ผลการศึกษาพบว่าแรงกระทำและความยาวส่วนโค้งของคานมีค่าที่เพิ่มขึ้นอย่างต่อเนื่องและมีพฤติกรรมเป็นแบบมีเสถียรภาพเท่านั้น โดยการเพิ่มค่าสตีเฟนของสปริงทำให้พฤติกรรมของคานมีค่าใกล้เคียงกับคานที่มีความยาวต่อเนื่องกัน

คำสำคัญ: การแอ่นตัวมาก, ความยาวส่วนโค้งแปรเปลี่ยนได้, วิธีการยิงเป้า

Abstract

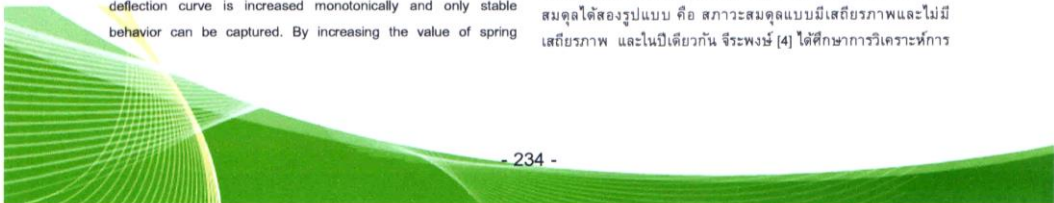
This paper presents the effect of rotational spring joint on large deflections behavior of variable - arc - length beam subjected to point load. One end is attached to the hinged support, while the other end is placed on the frictionless support. The rotational spring joint is located at the same position of the point load. The governing differential equations are formulated by the equilibrium equations, moment - curvature expression, and the geometric relations. Moreover, the equilibrium at the spring joint is taken into account. The shooting method is employed to compute the solutions. From the results, it is found that the load-deflection curve is increased monotonically and only stable behavior can be captured. By increasing the value of spring

stiffness, the behavior of the beam is similar to the single portion VAL beam.

Keywords: large deflections, variable - arc - length beam, shooting method

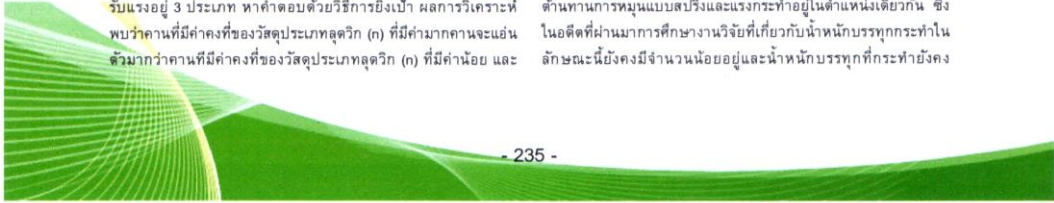
1. บทนำ

พฤติกรรมการแอ่นตัวมากของโครงสร้างนั้น เป็นปัญหาทางอิลาสติคาคาที่มีสมการครอบคลุมปัญหาที่มีความไร้เชิงเส้นสูง ซึ่งโดยทั่วไปวิธีการแก้ปัญหาในลักษณะนี้สามารถกระทำได้โดย 3 วิธีหลักๆ ดังนี้ วิธีอีลิปติกอินทิกรัล วิธียิงการเป้าและวิธีไฟไนต์เอลิเมนต์ จากการพัฒนาทฤษฎีการเคลื่อนที่ผ่านมามีผู้ที่ทำการศึกษาทางวิจัยที่เกี่ยวข้องกับปัญหาการแอ่นตัวมากของคานที่น่าสนใจไว้มากมาย โดยมีการศึกษาเกี่ยวกับคานที่มีความยาวส่วนโค้งแปรเปลี่ยนได้ภายใต้แรงกระทำในรูปแบบต่างๆ เช่น สุรพันธ์ [1] ได้ศึกษาการวิเคราะห์การแอ่นตัวมากของคานที่มีปลายเลื่อนได้อย่างอิสระ การวิเคราะห์แบ่งออกเป็น 3 กรณี ได้แก่กรณีแรงกระทำที่จุดกึ่งกลางคาน กรณีโมเมนต์ตัดกระทำที่จุดรองรับแบบข้อหมุนและกรณีโมเมนต์ตัดกระทำทั้งสองปลายโดยใช้วิธีอีลิปติกอินทิกรัล และนำผลที่ได้ไปเปรียบเทียบกับผลการวิเคราะห์แบบไฟไนต์เอลิเมนต์ พบว่าทั้งสองวิธีมีค่าที่ใกล้เคียงกัน ต่อมาในปี ค.ศ. 1994 Chucheepsakul และคณะ [2] ได้ศึกษาการแอ่นตัวมากของคานที่มีความยาวส่วนโค้งแปรเปลี่ยนได้ภายใต้โมเมนต์ตัดที่มีทิศทางตรงข้ามกันกระทำที่ปลายคานทั้งสองด้านและพิจารณาการแอ่นตัวของคานตามการเปลี่ยนแปลงของโมเมนต์ตัดที่ปลายคานทั้งสอง โดยใช้วิธีการยิงเป้าและวิธีอีลิปติกอินทิกรัล โดยผลที่ได้มีปรากฏว่าทั้งสองวิธีมีค่าที่ใกล้เคียงกัน เช่นเดียวกับ Chucheepsakul และคณะ [3] ได้ศึกษาการแอ่นตัวมากของคานที่มีความยาวส่วนโค้งแปรเปลี่ยนได้ภายใต้โมเมนต์ตัดกระทำที่ปลายคาน โดยใช้วิธีไฟไนต์เอลิเมนต์และวิธีอีลิปติกอินทิกรัล ทั้งสองวิธีให้ค่าที่ใกล้เคียงกันมาก และผลจากการวิเคราะห์ด้วยวิธีอีลิปติกอินทิกรัลพบว่าค่าโมเมนต์ค่าหนึ่งจะเกิดภาวะสมดุลได้สองรูปแบบ คือ สภาวะสมดุลแบบมีเสถียรภาพและไม่เสถียรภาพ และในปีเดียวกัน จีระพงษ์ [4] ได้ศึกษาการวิเคราะห์การ



แอมป์มากของคานที่มีความยาวส่วนโค้งของคานมีค่าไม่คงที่ โดยปลายข้างหนึ่งของคานเป็นจุดรองรับแบบข้อหมุน ส่วนอีกข้างหนึ่งพาดอยู่บนจุดรองรับไร้แรงเสียดทาน หน้าหนักบรรทุกที่กระทำบนคานแบ่งออกเป็น 4 กรณี ได้แก่ กรณีน้ำหนักบรรทุกแบบจุดกระทำที่ตำแหน่งใด ๆ กรณีโมเมนต์คดกระทำทั้งสองปลายในทิศทางตรงกันข้าม กรณีโมเมนต์คดกระทำทั้งสองปลายในทิศทางตรงกันข้ามและมีน้ำหนักบรรทุกแบบจุดกระทำที่ตำแหน่งใด ๆ และกรณีโมเมนต์คดกระทำทั้งสองปลายในทิศทางเดียวกัน ทำการแก้ปัญหาด้วยวิธีอิลิปติกอินทิกรัลจากการวิเคราะห์คานเมื่ออยู่ภายใต้น้ำหนักบรรทุกดังกล่าวสามารถหาค่าน้ำหนักบรรทุกวิกฤติและตำแหน่งสมมูลสถิตย์แบบเสถียรภาพและแบบไร้เสถียรภาพของคานได้ ต่อมาในปี ค.ศ. 1997 Wang และคณะ [5] ได้ศึกษาการแอมป์มากของคานที่มีความยาวส่วนโค้งแปรเปลี่ยนได้ภายใต้น้ำหนักบรรทุกแบบจุดกระทำ ณ ตำแหน่งใด ๆ ตามแนวแกนราบของคาน วิเคราะห์และหาค่าตอบด้วยวิธีการอิงเป้าและวิธีอิลิปติกอินทิกรัล ผลที่ได้มีค่าใกล้เคียงกัน โดยในบางงานวิจัยยังมีจุดรองรับที่แตกต่างกัน ทำให้พฤติกรรมของโครงสร้างมีความหลากหลาย ดังเช่นงานวิจัยของทินกร [6] ได้ศึกษาการวิเคราะห์การแอมป์มากของคานที่มีความยาวส่วนโค้งแปรเปลี่ยนได้ โดยคำนึงถึงผลการยึดรั้งและความเสียดทานของทั้งสองรับและผลของแรงเฉือน ซึ่งทำการศึกษากฎการรับแรง 3 กรณี ซึ่งคานมีจุดรองรับแบบข้อหมุนยึดด้วยสปริงต้านการหมุนแบบยึดหยุ่นเชิงเส้นที่ปลายข้างหนึ่ง ส่วนปลายคานอีกข้างหนึ่งพาดอยู่บนจุดรองรับแบบมีแรงเสียดทาน โดยใช้วิธีการอิงเป้าและวิธีอิลิปติกอินทิกรัล และในปี พ.ศ. 2542 (ค.ศ. 1999) Chucheepsakul และคณะ [7] ได้ศึกษาการแอมป์มากของคานที่มีความยาวส่วนโค้งแปรเปลี่ยนได้ภายใต้โมเมนต์คดกระทำที่ปลายคานในทิศทางเดียวกัน และทำการหาค่าตอบด้วยวิธีการอิงเป้าและวิธี อิลิปติกอินทิกรัล ผลจากการวิเคราะห์พบว่าเมื่อค่าสัดส่วนระหว่างโมเมนต์คดที่ปลายพาดผ่านจุดรองรับแบบไร้แรงเสียดทานพบว่าเมื่อค่า β มีค่าเพิ่มขึ้นค่าโมเมนต์วิกฤติจะมีค่าเพิ่มขึ้น ส่วนงานวิจัยของบุญชัย [8] ได้ศึกษาการแอมป์มากของคานที่มีความยาวส่วนโค้งแปรเปลี่ยนได้ภายใต้น้ำหนักบรรทุกแบบเอียงที่มีการเปลี่ยนแปลงทิศทางตามการเสียรูปของคาน ที่ปลายด้านหนึ่งของคานเป็นจุดรองรับแบบหมุน และอีกด้านหนึ่งของคานยอมให้มีการเคลื่อนที่ได้อย่างอิสระบนจุดรองรับแบบไร้แรงเสียดทาน หาค่าตอบด้วยวิธีอิลิปติกอินทิกรัลและวิธีการอิงเป้า ในปีต่อมา กอปรชัย [9] ได้ศึกษาวิธีการหาค่าตอบทางไฟไนต์เอลิเมนต์ของคานที่มีความยาวส่วนโค้งแปรเปลี่ยนได้โดยใช้ระบบพิกัดลากรางจ์ นำเสนอวิธีการวิเคราะห์การแอมป์มากของคานที่มีสมบัตีย้อนตัว และคานที่ทำการวิเคราะห์แบ่งออกได้เป็น 2 ประเภท แก้ปัญหาด้วยวิธีการทางไฟไนต์เอลิเมนต์และใช้วิธีการกระทำซ้ำของ Newton - Raphson เพื่อหาค่าตอบของสมการไร้เชิงเส้น ผลที่ได้นำมาตรวจสอบกับการวิเคราะห์ทางไฟไนต์เอลิเมนต์โดยใช้ระบบพิกัดออยเลอร์ พบว่ามีความถูกต้องใกล้เคียงกัน ในแต่ละงานวิจัยนั้นล้วนมีวิธีการศึกษาและวัสดุที่แตกต่างกันออกไปอย่างเช่นงานวิจัยของ นฤพนธ์ [10] ได้ศึกษาการแอมป์มากของคานที่ทำจากวัสดุแบบไม่เป็นเชิงเส้น โดยศึกษาภาวะรับแรงอยู่ 3 ประเภท หาค่าตอบด้วยวิธีการอิงเป้า ผลการวิเคราะห์พบว่าคานที่มีค่าคงที่ของวัสดุประเภทลูคลิก (n) ที่มีค่ามากจะแอมป์มากกว่าคานที่มีค่าคงที่ของวัสดุประเภทลูคลิก (n) ที่มีค่าน้อย และ

ต่อมาในปี ค.ศ. 2006 Phungpaingam และคณะ [11] ได้ศึกษาการแอมป์มากของคานอย่างง่ายที่มีความยาวส่วนโค้งแปรเปลี่ยนได้ภายใต้น้ำหนักบรรทุกที่เปลี่ยนแปลงตามการเสียรูปของคาน หาค่าตอบด้วยวิธีการอิงเป้าและวิธีอิลิปติกอินทิกรัล ในปีเดียวกัน Pulingem และคณะ [12] ได้ศึกษาการแอมป์มากของคานที่มีความยาวส่วนโค้งแปรเปลี่ยนได้ภายใต้น้ำหนักตัวเองกระจายอย่างสม่ำเสมอ การหาค่าตอบนั้นมี 3 วิธี คือ วิธีไฟไนต์เอลิเมนต์ วิธีการอิงเป้าและทฤษฎีของคานแบบเชิงเส้น ซึ่งพบว่าวิธีไฟไนต์เอลิเมนต์และวิธีการอิงเป้ามีการแอมป์มากที่จุดกึ่งกลางคานมากกว่าที่ได้จากทฤษฎีของคานแบบเชิงเส้น ต่อมาในปี พ.ศ. 2551 (ค.ศ. 2008) Athisakul และ Chucheepsakul [13] ได้ศึกษาการแอมป์มากของคานที่มีความยาวส่วนโค้งแปรเปลี่ยนได้ภายใต้น้ำหนักบรรทุกตัวเองกระจายอย่างสม่ำเสมอ หาค่าตอบด้วยวิธีไฟไนต์เอลิเมนต์และวิธีการอิงเป้า พบว่าการยกหรือลดระดับของจุดรองรับมีผลต่อค่าน้ำหนักตัวเองกระจายอย่างสม่ำเสมอ เมื่อทำการยกระดับจุดรองรับแบบไร้แรงเสียดทานค่าน้ำหนักตัวเองกระจายอย่างสม่ำเสมอ ณ สภาวะวิกฤติจะมีค่าลดลง กฤษณะชัย [14] ได้ศึกษาการวิเคราะห์การแอมป์มากของคานที่มีความยาวส่วนโค้งแปรเปลี่ยนได้วัสดุคุณสมบัติแบบไม่เป็นเชิงเส้น ภายใต้น้ำหนักบรรทุกแบบต่าง ๆ คานมีจุดรองรับเป็นจุดยึดหมุนที่ปลายข้างหนึ่ง ส่วนปลายคานอีกข้างหนึ่งจะพาดผ่านจุดรองรับที่ไม่มีแรงเสียดทาน ความยาวช่วงของคานจะคงที่ ส่วนความยาวส่วนโค้งของคานจะแปรเปลี่ยนตามน้ำหนักที่กระทำต่อคาน พิจารณาน้ำหนักบรรทุกที่กระทำต่อคานทั้งหมด 3 ลักษณะ โดยใช้ระเบียบวิธีการอิงเป้าในการหาค่าตอบ ในการศึกษาพฤติกรรมการโก่งเดาะนั้นยังสามารถใช้โปรแกรมในการช่วยแก้ไขปัญหาดังปรากฏในงานวิจัยของ สุนทร [15] ได้ศึกษาพฤติกรรมการโก่งเดาะของคานอย่างง่ายได้สภาพการยึดรั้งที่ปลาย โดยที่ปลายทั้งสองข้างหมุนได้ตามเงื่อนไขของจุดรองรับ กำหนดแรงอัดเข้ากระทำที่ปลายของคาน ทำการวิเคราะห์ปัญหาโดยใช้โปรแกรม ABAQUS ซึ่งเป็นโปรแกรมที่สร้างขึ้นโดยใช้ระเบียบวิธีไฟไนต์เอลิเมนต์ โดยนำผลที่ได้ไปตรวจสอบกับผลที่ได้จากการอิงเป้า และในปี พ.ศ. 2557 (ค.ศ. 2014) ณัฐรุ [16] ได้ศึกษาพฤติกรรมการโก่งเดาะของอีลาสติคคานที่มีความยาวส่วนโค้งแปรเปลี่ยนได้ โดยมีจุดหมุนแบบสปริงอยู่ในช่วงความยาวของอีลาสติคคาน ทำการหาค่าตอบด้วยวิธีการอิงเป้าและเปรียบเทียบรูปร่างของอีลาสติคคานที่ได้จากการคำนวณกับการทดลอง ผลที่ได้มีความสอดคล้องกันเป็นอย่างดี จากการทบทวนวรรณกรรมจะพบได้ว่าปัญหาของคานที่มีความยาวส่วนโค้งแปรเปลี่ยนได้ส่วนใหญ่จะศึกษาในรูปของความยาวส่วนโค้งที่ต่อเนื่องกันเป็นชิ้นเดียว แต่เนื่องจากเมื่อคานที่รับแรงกระทำเกิดการเสียรูปได้มากจึงอาจมีโอกาสที่คานเกิดจุดหักงอได้ ซึ่งจุดในลักษณะดังกล่าวไม่สามารถส่งถ่ายโมเมนต์ได้อย่างมีประสิทธิภาพ ดังนั้นงานวิจัยนี้จึงเป็นการศึกษาพฤติกรรมการแอมป์มากของคานที่มีความยาวส่วนโค้งแปรเปลี่ยนได้ภายใต้แรงกระทำแบบจุด โดยมีจุดต้านทานการหมุนแบบสปริงและแรงกระทำอยู่ในตำแหน่งเดียวกัน ซึ่งในอดีตที่ผ่านมาการศึกษางานวิจัยที่เกี่ยวกับน้ำหนักบรรทุกกระทำในลักษณะนี้ยังคงมีจำนวนน้อยอยู่และน้ำหนักบรรทุกที่กระทำยังคง



กระทำในรูปแบบเดิมๆ โดยที่ปลายด้านหนึ่งของคานารองรับด้วยจุดรองรับที่หมุนได้อย่างอิสระ ส่วนที่ปลายอีกด้านหนึ่งวางพาดอยู่บนจุดรองรับที่เลื่อนได้โดยไร้แรงเสียดทาน พร้อมทั้งปรับเปลี่ยนค่าสถิติฟิสิกส์ของสปริงเพื่อให้เกิดความต้านทานที่หลากหลาย ซึ่งในงานวิจัยนี้ได้พัฒนาแบบการวางตำแหน่งของสปริงและแรงกระทำมาจากงานวิจัยที่ [16] และภายใต้แรงกระทำดังกล่าวเมื่อคานเกิดการแอ่นตัว ความยาวส่วนโค้งทั้งหมดมีค่าไม่คง โดยจุดต้านทานการหมุนแบบสปริงจะทำหน้าที่ส่งถ่ายโมเมนต์คัตและแรงเฉือน โครงสร้างในลักษณะนี้นิยมใช้เป็นแบบจำลองในงานวิศวกรรมนอกชายฝั่งที่เกี่ยวข้องกับท่อส่งน้ำมันและท่อส่งก๊าซธรรมชาติ ซึ่งจำลองให้ด้านที่มีจุดรองรับแบบยึดหมุนเปรียบเป็นปลายของท่อส่งด้านที่ยึดติดกับแท่นที่ขุดเจาะได้ทะเล และด้านจุดรองรับแบบไร้แรงเสียดทานเปรียบเสมือนแท่นผลิตที่อยู่บนเรือเดินสมุทรที่ลอยอยู่ที่ระดับผิวน้ำที่สามารถเลื่อนได้ทำให้ความยาวส่วนโค้งแปรเปลี่ยนได้

2. ลักษณะของปัญหา

จากรูปที่ 1 โครงสร้างที่ทำการศึกษามีลักษณะเป็นคานช่วงเดียวที่มีความยาวส่วนโค้งแปรเปลี่ยนได้ และมีค่าความแข็งแรงของวัสดุต่อการคัต (Flexural Rigidity) เท่ากับ EI โดยที่ปลายด้านหนึ่งของคานวางอยู่บนจุดรองรับแบบข้อหมุน (ที่จุด A) ส่วนที่ปลายของคานอีกด้านหนึ่งวางพาดอยู่บนจุดรองรับแบบไร้แรงเสียดทาน (ที่จุด B) เมื่อคานเกิดการแอ่นตัวมากปลายคานด้านนี้สามารถเคลื่อนผ่านจุดรองรับได้อย่างอิสระ จุดรองรับทั้งสองมีระยะห่างกันเท่ากับ L และในคานมีจุดต้านทานการหมุนแบบสปริง (K) และแรงกระทำแบบจุด (P) กระทำ อยู่ภายใน (ที่จุด C) ซึ่งมีระยะห่างจากจุดรองรับด้าน A เท่ากับ αL ใดๆ และจากรูปที่ 2 เมื่อคานเกิดการเสียรูปที่ปลายด้าน A และ B ของคานหมุนไปเป็นมุม θ_A และ θ_B ตามลำดับ โดยที่มุมเหล่านี้วัดเทียบกับแนวราบ โดยที่ตำแหน่งของแรงกระทำ (P) ยังคงยึดติดกับตำแหน่งเดิม นั่นคือตำแหน่ง αL และหลังจากการเสียรูป ตำแหน่งของจุดต้านทานการหมุนแบบสปริงและตำแหน่งของแรงกระทำ ($\alpha L, 0$) จะเปลี่ยนตำแหน่งมาเป็น (x^*, y^*) โดยตำแหน่งที่เปลี่ยนไปเหล่านี้วัดจากปลายด้าน A ตามแนวราบและแนวตั้ง

เมื่อพิจารณาฝั่งอิสระของชิ้นส่วนของคาน ดังแสดงในรูปที่ 3 สามารถเขียนสมการของโมเมนต์คัตได้ดังนี้

$$M_1 = \left(\frac{Px^*}{L} \tan \theta_B y^* \right) + \left(\frac{P(1-x^*)}{L} x \right) \tag{1}$$

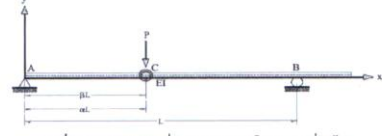
จากรูปที่ 4 ความสัมพันธ์ระหว่างโมเมนต์คัตและผลต่างของมุมที่จุดต้านทานการหมุนแบบสปริงที่เป็นเชิงเส้นแสดงดังนี้

$$M_1^* (\alpha) = \left(\frac{Px^*}{L} \tan \theta_B y_c \right) + \left(\frac{P(1-x^*)}{L} x_c \right) = K \Delta \theta \tag{2}$$

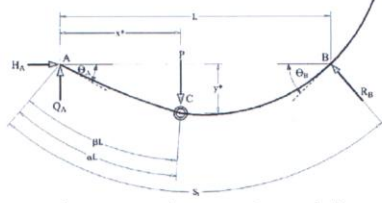
$$M_2^* (\alpha) = K \Delta \theta \tag{3}$$

โดยที่ $M_1^* (\alpha)$ = ค่าโมเมนต์คัตทางด้านซ้ายของจุดหมุนแบบสปริง

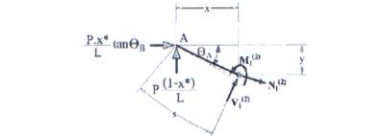
$M_2^* (\alpha)$ = ค่าโมเมนต์คัตทางด้านขวาของจุดหมุนแบบสปริง
 $\Delta \theta$ = ค่าผลต่างของมุม ณ ตำแหน่งสปริง (ที่จุด C)
 K = ค่าสถิติฟิสิกส์ของสปริง



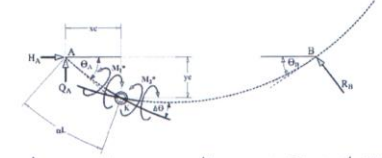
รูปที่ 1 รูปร่างของคานที่มีความยาวส่วนโค้งแปรเปลี่ยนได้ในสภาวะก่อนการเสียรูป



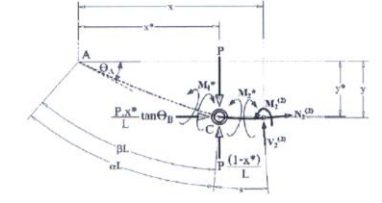
รูปที่ 2 รูปร่างของคานที่มีความยาวส่วนโค้งแปรเปลี่ยนได้ในสภาวะหลังการเสียรูป



รูปที่ 3 ฝั่งอิสระของชิ้นส่วนของคาน ช่วงพิจารณา $0 \leq s \leq \alpha L$



รูปที่ 4 รูปร่างการโก่งคดของคานที่มีความยาวส่วนโค้งแปรเปลี่ยนได้ที่มีจุดต้านทานการหมุนแบบสปริงอยู่ใน



รูปที่ 5 ฝั่งอิสระของชิ้นส่วนของคาน ช่วงพิจารณา $\alpha L \leq s \leq s_j$



เมื่อพิจารณาถึงอิสระของชิ้นส่วนย่อยของคาน ดังแสดงในรูปที่ 5 สามารถเขียนสมการของโมเมนต์ได้ดังนี้

$$M_2 = \left(\frac{Px^*}{L} \tan \theta_B (y - y^*) \right) + \left(\frac{P(1-x^*)}{L} (x - x^*) \right) - P(x - x^*) + K\Delta\theta \quad (4)$$

และจากสมการความสัมพันธ์ทางเรขาคณิตของออยเลอร์และเบอร์นูลลี

$$\frac{d\theta}{ds} = \frac{M_1}{EI} \quad (5)$$

$$\frac{dx}{ds} = \cos \theta \quad (6)$$

$$\frac{dy}{ds} = \sin \theta \quad (7)$$

สำหรับชิ้นส่วนคานในช่วง $0 \leq \bar{s} \leq \alpha$ นำสมการที่ (1) แทนลงในสมการที่ (5) และเขียนสมการที่ได้ให้อยู่ในรูปไร้หน่วยดังนี้

$$\frac{d\theta}{d\bar{s}} = \bar{M}_1 = \left[\bar{P}\bar{x}^* \tan \theta_B \bar{y} + \bar{P}(1-\bar{x}^*) \bar{x} \right] \quad (8)$$

สำหรับชิ้นส่วนคานในช่วง $\alpha \leq \bar{s} \leq \bar{s}_1$ นำสมการที่ (2) แทนลงในสมการที่ (5) และเขียนสมการที่ได้ให้อยู่ในรูปไร้หน่วยดังนี้

$$\frac{d\theta}{d\bar{s}} = \bar{M}_2 = \left[\bar{P}\bar{x}^* \tan \theta_B (\bar{y} - \bar{y}^*) + \bar{P}(1-\bar{x}^*)(\bar{x} - \bar{x}^*) - \bar{P}(\bar{x} - \bar{x}^*) + \bar{K}\Delta\theta \right] \quad (9)$$

โดยที่ตัวแปรต่างๆ ในระบบสมการอนุพันธ์ที่ได้จะต้องถูกเขียนให้อยู่ในรูปของตัวแปรไร้หน่วยเพื่อความสะดวกต่อการหาคำตอบเชิงตัวเลขและลดความผิดพลาดจากการคำนวณด้วยระเบียบวิธีการยิงเป้า ดังนี้

$$\bar{x} = \frac{x}{L}; \bar{y} = \frac{y}{L}; \bar{x}^* = \frac{x^*}{L}; \bar{y}^* = \frac{y^*}{L} \quad (10ก-ง)$$

$$\bar{s} = \frac{s}{L}; \bar{s}_1 = \frac{s_1}{L}; \bar{P} = \frac{PL^2}{EI}; \bar{I} = \frac{I}{L^4} \quad (10จ-ช)$$

$$\bar{M}_1 = \frac{M_1 L}{EI}; \bar{K} = \frac{KL}{EI} \quad (10ฉ-ง)$$

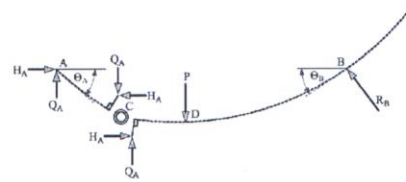
สมการที่ (8) และ (9) เป็นสมการอนุพันธ์ที่ใช้อธิบายชิ้นส่วนย่อยของคานที่อยู่ในรูปไร้หน่วย ดังนั้นหากต้องการพฤติกรรมทั้งหมดต้องทำการอินทิเกรตให้สอดคล้องกับเงื่อนไขขอบเขตของปัญหา (Boundary Conditions) ดังนี้

$$\theta(\bar{s}_1) = 0; \quad \theta(\bar{s}_1 = 1) = \theta_B \quad (11ก)$$

$$\bar{x}(0) = 0; \quad \bar{x}(\bar{s}_1) = 1 \quad (11ข)$$

$$\bar{y}(0) = 0; \quad \bar{y}(\bar{s}_1) = 0 \quad (11ค)$$

$$\bar{y}(\alpha) = \bar{y}^* \quad (11ง)$$



รูปที่ 6 พฤติกรรมหลังการโค้งตัวของคานจากแรงเงื่อน

$$\bar{y}(\alpha) = \bar{y}^* \quad (11ง)$$

$$\left(\bar{P}\bar{x}^* \tan \theta_B \bar{y}^* + (\bar{P}(1-\bar{x}^*) \bar{x}^*) \right) = \bar{K}\Delta\theta \quad (11จ)$$

3. วิธีการคำนวณ

จากระบบสมการครอบคลุมปัญหาในสมการที่ (8) และ (9) นั้น กระบวนการหาคำตอบของระบบสมการอนุพันธ์ที่อยู่ในรูปของตัวแปรไร้หน่วย สามารถกระทำได้โดยใช้ระเบียบวิธีการยิงเป้าร่วมด้วยระเบียบวิธีเชิงตัวเลขโดยใช้วิธีรุ่งเง - กูดดา อันดับ 4 และแก้ปัญหาด้วยวิธีการทำซ้ำของนิวตัน - ราฟสัน โดยมีขั้นตอนและวิธีการคำนวณเริ่มจากกำหนดค่าของตัวแปรควบคุมซึ่งกำหนดให้ใช้ค่าความยาวส่วนโค้งทั้งหมดของคาน (\bar{s}_1) เป็นตัวแปรควบคุม จากนั้นทำการกำหนดค่าตัวแปรของตำแหน่งสปริงและแรงกระทำ $\alpha = 0.25, 0.50, 0.75$ ค่าสตีฟเนสของสปริง $\bar{K} = 1, 10, 100$ และทำการประมาณค่าเริ่มต้นของตัวแปรที่ต้องการได้แก่ $\bar{P}, \theta_A, \theta_B, \bar{x}^*, \bar{y}^*, \Delta\theta$ โดยการอินทิเกรตสมการที่ (8) และ (9) จะต้องสอดคล้องกับเงื่อนไขขอบเขตที่กำหนดไว้ในสมการที่ (11ก - จ) ซึ่งใช้วิธีการทำซ้ำของนิวตัน - ราฟสันในการปรับแก้ค่าประมาณเริ่มต้นเพื่อให้สอดคล้องกับเงื่อนไขที่ต้องการแสดงไว้ในสมการที่ (12) โดยกำหนดค่าความคลาดเคลื่อนที่ยอมรับเท่ากับ 10^{-7}

$$\begin{aligned} \text{Min } \phi = & \left| \theta(\bar{s}_1=1) - \theta_B \right| + \left| \bar{x}(\bar{s}_1=1) - 1 \right| + \left| \bar{y}(\bar{s}_1=1) \right| \\ & \left| \bar{x}(\alpha) - \bar{x}^* \right| + \left| \bar{y}(\alpha) - \bar{y}^* \right| + \\ & \left| \left(\bar{P}\bar{x}^* \tan \theta_B \bar{y}^* + \right. \right. \\ & \left. \left. (\bar{P}(1-\bar{x}^*) \bar{x}^*) \right) - \bar{K}\Delta\theta \right| \quad (12) \end{aligned}$$

ภายหลังกระบวนการหาคำตอบโดยวิธีนิวตัน - ราฟสัน จะทำการปรับค่าความยาวส่วนโค้งทั้งหมดเพิ่มเป็น $\bar{s}_1 = \bar{s}_1 + \Delta\bar{s}_1$ และเริ่มกระบวนการหาคำตอบต่อไปโดยวิธีนิวตัน - ราฟสันต่อไป จนกระทั่งได้คำตอบที่สอดคล้องกับเงื่อนไขดังกล่าว

4. ผลการศึกษา

4.1 ตรวจสอบและเปรียบเทียบความถูกต้องของผลการคำนวณ

เพื่อให้เกิดความมั่นใจในแบบจำลองทางคณิตศาสตร์และโปรแกรมที่ถูกพัฒนาขึ้นมานั้น จำเป็นต้องมีการตรวจสอบความถูกต้องของคำตอบที่ได้ โดยเปรียบเทียบกับผลการคำนวณพฤติกรรมการแอ่นตัว

มากของคานที่มีความยาวส่วนโค้งแปรเปลี่ยนได้ที่มีความต่อเนื่องกัน (Single VAL Beam) จากตารางที่ 1, 2 และ 3 แสดงการเปรียบเทียบผลของคานที่มีค่าสลิปในสองสปริง $\bar{K} = 100$ กับคานที่มีความยาวต่อเนื่องกัน (Single VAL Beam) ในกรณีที่ตั้งค่าของสปริงและแรงกระทำที่มีค่าเท่ากับ $\alpha = 0.25, 0.50$ และ 0.75 พบว่าค่าตอบที่ได้มีค่าที่ใกล้เคียงกัน

4.2 พฤติกรรมการแอ่นตัวของคาน

เมื่อนำผลที่ได้มาเขียนเส้นโค้งการเบี่ยงเบนของแรง (Load - Deflection Curves) ดังแสดงในกราฟรูปที่ 7, 8 และ 9 แสดงความสัมพันธ์ระหว่างแรงกระทำ (\bar{P}) กับความยาวส่วนโค้ง (\bar{s}_i) เมื่อแปรผันค่า \bar{K} ตั้งแต่ 1 - 100 (ระบบจะไร้เสถียรภาพเมื่อกำหนดให้ $\bar{K} = 0$) และแปรผันค่า α ที่ระยะ 0.25, 0.50 และ 0.75 ตามลำดับ เริ่มแรกเมื่อทำการเพิ่มแรง \bar{P} ให้กับคาน ค่าของแรง \bar{P} จะเพิ่มขึ้นในขณะที่ความยาวส่วนโค้งทั้งหมด \bar{s}_i ก็เพิ่มขึ้นเช่นกันซึ่งเป็นการเพิ่มขึ้นอย่างต่อเนื่องโดยไม่พบจุดวิกฤต ดังกรณีที่ $\alpha = 0.25$ (รูปที่ 7) จะเห็นได้ว่าคานมีการแอ่นตัวเพิ่มขึ้นเมื่อแรงกระทำ \bar{P} มีค่าเพิ่มขึ้นลักษณะเช่นนี้ความชันของกราฟความสัมพันธ์มีค่าเป็นบวกเป็นการบ่งบอกถึงระบบที่มีเสถียรภาพ (สมดุลแบบมีเสถียรภาพ) และเมื่อทำการเพิ่มแรงอย่างต่อเนื่องคานจะเกิดการตั้งรับทำให้ความชันของกราฟมีค่าที่สูงมาก โดยที่การเปลี่ยนแปลงความยาวส่วนโค้งทั้งหมด \bar{s}_i ที่เพิ่มขึ้นเพียงเล็กน้อยทำให้เกิดการเปลี่ยนแปลงของแรงกระทำ \bar{P} ที่มีค่ามากจนกระทั่งไม่สามารถคำนวณผลได้อีกต่อไป พฤติกรรมในลักษณะดังกล่าวจะพบได้ในกรณีที่ $\alpha = 0.50$ และ 0.75 เช่นกัน ในขณะที่ผลกระทบของสลิปในสองสปริง จะพบว่าค่าสลิปในสองสปริงที่มีค่าน้อยส่งผลให้ระบบมีสลิปในตำแหน่งแรกแต่เมื่อระบบเกิดการยึดรับสลิปในสองคานจะมีค่าที่เพิ่มขึ้นอย่างรวดเร็ว และเมื่อสลิปในสองสปริงด้านทานการหมุนมีค่าที่เพิ่มขึ้นพฤติกรรมของคานจะสอดคล้องกับพฤติกรรมของคานที่มีความยาวต่อเนื่องกัน โดยที่ภาพรวมทั้งหมดของพฤติกรรมการแอ่นตัวของคานที่เกิดขึ้นในแต่ละกรณีได้แสดงไว้ในกราฟรูปที่ 10 ซึ่งจะเห็นได้ว่าตำแหน่งของน้ำหนักบรรทุกที่อยู่ใกล้จุดรองรับด้านใดด้านหนึ่งมีโอกาสเกิดการตั้งรับของคานสูงทำให้ความยาวส่วนโค้งทั้งหมดมีค่าน้อยเมื่อเทียบกับกรณีที่ทำน้ำหนักบรรทุกกระทำอยู่บริเวณกึ่งกลางคาน

จากกราฟในรูปที่ 11 (ก), (ข) และ (ค) แสดงรูปร่างการแอ่นตัวของคาน เมื่อกำหนดแรง $\bar{P} = 85.00$ โดยแปรผันค่า $\alpha = 0.25, 0.50$ และ 0.75 แปรผันค่า \bar{K} ตั้งแต่ 1, 10, 100 และคานที่มีความยาวต่อเนื่องกัน แสดงให้เห็นว่าเมื่อค่าสลิปในสองสปริงมีค่าน้อยพฤติกรรมการแอ่นตัวของคานจะแสดงให้เห็นถึงจุดด้านทานการหมุนที่ส่งถ่ายค่าโมเมนต์ตัดได้อย่างไม่สมบูรณ์เกิดเป็นจุดหักมุมที่ชัดเจน และเมื่อแปรผันค่าสลิปในสองสปริงให้มีค่าที่มากขึ้นคานจะมีพฤติกรรมการแอ่นตัวที่มีค่าใกล้เคียงและสอดคล้องกับคานที่มีความยาวต่อเนื่องกัน (Single VAL Beam) เมื่อมีแรงกระทำเท่ากัน โดยที่ตำแหน่งของแรงกระทำและสปริงจะยึดติดอยู่กับตำแหน่งเดิมเสมอ (จุดสีแดง) เมื่อความยาวส่วนโค้งเพิ่มขึ้นจนกระทั่งเกิดการตั้งรับทำให้ไม่สามารถเพิ่มความยาวส่วนโค้งต่อไปได้อีก

ตารางที่ 1 เปรียบเทียบผลของคานที่มีค่าสลิปในสองสปริง $\bar{K} = 100$ กับคานที่มีความยาวต่อเนื่องเป็นเนื้อเดียวกันในกรณีที่ $\alpha = 0.25$

\bar{s}_i	\bar{P}	
	$\bar{K} = 100$	Single VAL Beam
1.01	4.321650192	4.409671023
1.05	10.63373893	10.84232632
1.10	17.27220292	17.59072127
1.15	24.87137905	25.28286594
1.20	34.76164292	35.21786481
1.25	49.01572072	49.3495377
1.30	72.28738791	71.91857736
1.35	117.9757711	114.5448383
1.40	241.0491368	220.6758838
1.45	943.4067807	696.9470905

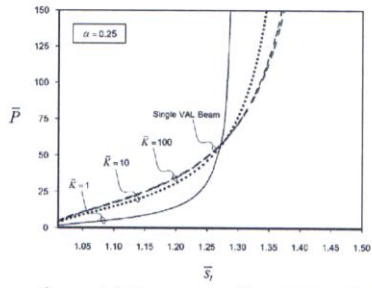
ตารางที่ 2 เปรียบเทียบผลของคานที่มีค่าสลิปในสองสปริง $\bar{K} = 100$ กับคานที่มีความยาวต่อเนื่องเป็นเนื้อเดียวกันในกรณีที่ $\alpha = 0.50$

\bar{s}_i	\bar{P}	
	$\bar{K} = 100$	Single VAL Beam
1.01	3.083749671	3.161682857
1.05	7.555342811	7.755345485
1.10	12.27298178	12.62728567
1.15	17.63375988	18.20109511
1.20	24.1035344	24.96819574
1.25	31.7564895	33.00451499
1.30	40.48230234	42.1846921
1.35	50.2543519	52.46491624
1.40	61.36941224	64.12878161
1.45	74.66404444	77.99859729
1.50	91.8801242	95.77984076
1.55	116.5778062	120.9010749
1.59	146.8291404	151.0734543

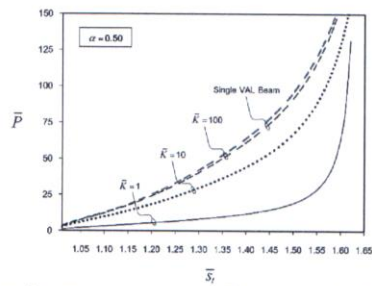
ตารางที่ 3 เปรียบเทียบผลของคานที่มีค่าสลิปในสองสปริง $\bar{K} = 100$ กับคานที่มีความยาวต่อเนื่องเป็นเนื้อเดียวกันในกรณีที่ $\alpha = 0.75$

\bar{s}_i	\bar{P}	
	$\bar{K} = 100$	Single VAL Beam
1.01	4.452420139	4.545317879
1.02	6.682036665	6.824257289
1.03	8.765256915	8.956912769
1.04	10.963970463	11.212823726
1.05	13.468919070	13.791143406
1.06	16.510548788	16.936258416
1.07	20.439477705	21.025807187
1.08	25.851343891	26.712011500
1.09	33.802669121	35.170909008
1.10	46.090005597	48.420668179
1.11	65.279771772	69.313976368
1.12	94.242764443	100.974842259

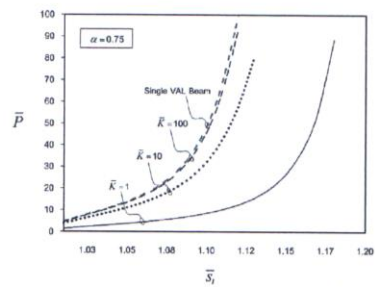




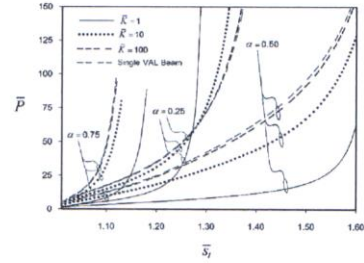
รูปที่ 7 ความสัมพันธ์ระหว่างแรงกระทำ \bar{P} กับความยาวส่วนโค้ง \bar{S}_i กรณีค่า $\alpha = 0.25$



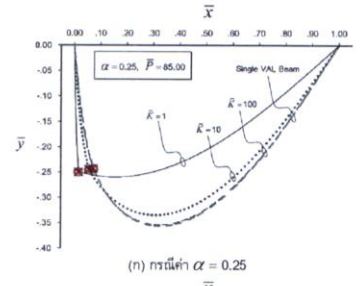
รูปที่ 8 ความสัมพันธ์ระหว่างแรงกระทำ \bar{P} กับความยาวส่วนโค้ง \bar{S}_i กรณีค่า $\alpha = 0.50$



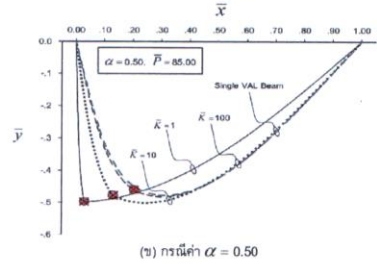
รูปที่ 9 ความสัมพันธ์ระหว่างแรงกระทำ \bar{P} กับความยาวส่วนโค้ง \bar{S}_i กรณีค่า $\alpha = 0.75$



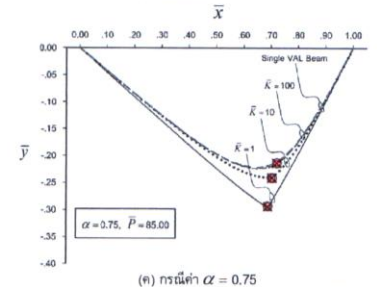
รูปที่ 10 ความสัมพันธ์ระหว่างแรงกระทำ \bar{P} กับความยาวส่วนโค้ง \bar{S}_i กรณีค่า $\bar{K} = 1, 10, 100$ และ $\alpha = 0.25, 0.5, 0.75$



(ก) กรณีค่า $\alpha = 0.25$



(ข) กรณีค่า $\alpha = 0.50$



(ค) กรณีค่า $\alpha = 0.75$

รูปที่ 11 รูปร่างการแอ่นตัวของคาน เมื่อขนาดของแรงกระทำ $\bar{P} = 85.00$ (ก) $\alpha = 0.25$, (ข) $\alpha = 0.50$, (ค) $\alpha = 0.75$



5. สรุปผลการศึกษา

งานวิจัยนี้นำเสนอผลของจุดด้านทานการหมุนต่อพฤติกรรมการแอ่นตัวมากของคานที่มีความยาวส่วนโค้งแปรเปลี่ยนได้ภายใต้แรงกระทำแบบจุด พบว่าแรงกระทำและความยาวส่วนโค้งของคานจะมีค่าที่เพิ่มขึ้นอย่างต่อเนื่องเพียงครั้งเดียวและมีสภาวะสมดุลเป็นแบบมีเสถียรภาพเท่านั้น ซึ่งเมื่อตำแหน่งของสปริงและแรงกระทำ (α) มีค่าเข้าใกล้ปลายคานด้านจุดรองรับที่เลื่อนได้โดยไร้แรงเสียดทานจะส่งผลให้คานเกิดการตั้งรับขึ้น และในกรณีที่ปรับเปลี่ยนค่าสลิปในของสปริงให้มีค่า $K = 100$ เมื่อนำเส้นกราฟมาเปรียบเทียบกับเส้นกราฟกรณีคานที่มีความยาวต่อเนื่องกัน (Single VAL Beam) ปรากฏว่าเส้นกราฟที่ได้มีค่าที่ใกล้เคียงกัน

กิตติกรรมประกาศ

ผู้เขียนขอขอบคุณกองทุนวิจัยมหาวิทยาลัยเทคโนโลยีราชมงคลธัญบุรี ที่สนับสนุนงานวิจัยนี้ งบประมาณปี 2559

เอกสารอ้างอิง

- [1] สุรพันธ์ บุญเจริญ (2536). การวิเคราะห์การแอ่นตัวมากของคานที่มีปลายเลื่อนได้อย่างอิสระ โดยวิธีอีลิปติกอินทิกรัล. *วิทยานิพนธ์ปริญญาวิทยาศาสตรมหาบัณฑิต สาขาวิชาวิศวกรรมโยธา คณะวิศวกรรมศาสตร์ มหาวิทยาลัยเทคโนโลยีพระจอมเกล้าธนบุรี*, หน้า 1 - 103.
- [2] Chuchepsakul, S., Buncharoen, S. and Wang, C.M. (1994). Large deflection of beams under moment gradient. *ASCE Journal of the Engineering Mechanics*, 120, pp. 1848-1860.
- [3] Chuchepsakul, S., Buncharoen, S. and Huang, T. (1995). Elastica of simple variable - arc - length beam subjected to end moment. *ASCE Journal of the Engineering Mechanics*, 121, pp. 767-772.
- [4] จีระพงษ์ เทพพิทักษ์ (2538). การวิเคราะห์การแอ่นตัวมากของคานช่วงเดียวที่มีความยาวส่วนโค้งแปรเปลี่ยนได้ ภายใต้หน้าหนักบรรทุกแบบต่างๆ. *วิทยานิพนธ์ปริญญาวิทยาศาสตรมหาบัณฑิต สาขาวิชาวิศวกรรมโยธา คณะวิศวกรรมศาสตร์ มหาวิทยาลัยเทคโนโลยีพระจอมเกล้าธนบุรี*, หน้า 1 - 168.
- [5] Wang, C.M., Lam, K.Y., He, X.Q. and Chuchepsakul, S. (1997). Large deflection of an end supported beam subjected to a point load. *International Journal of Non-Linear Mechanics*, 32, pp. 63-72.
- [6] ทินกร มนต์ประภัสสร (2540). การวิเคราะห์การแอ่นตัวมากของคานที่มีความยาวส่วนโค้งแปรเปลี่ยนได้โดยคำนึงถึงผลของการยึดรับและความเสียดทานของที่รองรับและผลของแรงเฉือน. *วิทยานิพนธ์ปริญญาวิทยาศาสตรมหาบัณฑิต สาขาวิชาวิศวกรรมโยธา คณะวิศวกรรมศาสตร์ มหาวิทยาลัยเทคโนโลยีพระจอมเกล้าธนบุรี*, หน้า 1 - 130.
- [7] Chuchepsakul, S., Wang, C.M., He, X.Q. and Monprapussong, T. (1999). Double curvature bending of variable-arc-length elastics. *ASME Journal of Applied Mechanics*, 66, pp. 87-94.
- [8] บุญชัย ผิงไผ่งาม (2544). การแอ่นตัวมากของคานที่มีความยาวส่วนโค้งแปรเปลี่ยนได้ภายใต้หน้าหนักบรรทุกแบบเอียงที่เปลี่ยนแปลงทิศทางตามการเสียดรูป. *วิทยานิพนธ์ปริญญาวิทยาศาสตรมหาบัณฑิต สาขาวิชาวิศวกรรมโยธา คณะวิศวกรรมศาสตร์ มหาวิทยาลัยเทคโนโลยีพระจอมเกล้าธนบุรี*, หน้า 1 - 91.
- [9] กอปรชัย ศิริตระกูลมั่งคั่ง (2545). การหาค่าคอบทงไฟโนดเอลิเมนต์ของคานที่มีความยาวส่วนโค้งแปรเปลี่ยนได้โดยใช้ระบบพิกัดลากรางจ์. *วิทยานิพนธ์ปริญญาวิทยาศาสตรมหาบัณฑิต สาขาวิชาวิศวกรรมโยธา คณะวิศวกรรมศาสตร์ มหาวิทยาลัยเทคโนโลยีพระจอมเกล้าธนบุรี*, หน้า 1 - 106.
- [10] นฤพนธ์ ศิลปาภากุล (2548). การแอ่นตัวมากของคานที่ทาจากวัสดุแบบไม่เชิงเส้น. *วิทยานิพนธ์ปริญญาวิทยาศาสตรมหาบัณฑิต สาขาวิชาวิศวกรรมโยธา คณะวิศวกรรมศาสตร์ มหาวิทยาลัยเทคโนโลยีพระจอมเกล้าธนบุรี*, หน้า 1 - 71.
- [11] Phungpaingam, B., Chuchepsakul, S. and Wang, C.M. (2006). Postbuckling of beam subjected to intermediate follower force. *ASCE Journal of Engineering Mechanics*, 132, pp. 16-25.
- [12] Pulgern, T., Halling, M.W., Chuchepsakul, S. and Poovarodom, P. (2006). On the free vibrations of variable - arc - length beam : analytical and experimental. *ASCE Journal of Structural Engineering*, 132, pp. 772-778.
- [13] Athisakul, C. and Chuchepsakul, S. (2008). Effect of inclination on bending of variable-arc-length beam subjected to uniform self - weight. *Engineering Structures*, 30, pp. 902-908.
- [14] กฤษณะชัย จันทรวง (2554). การแอ่นตัวมากของคานช่วงเดียวที่ทาจากวัสดุแบบไม่เป็นเชิงเส้น ภายใต้หน้าหนักบรรทุกแบบต่างๆ. *วิทยานิพนธ์ปริญญาวิทยาศาสตรมหาบัณฑิต สาขาวิชาวิศวกรรมโยธา คณะวิศวกรรมศาสตร์ มหาวิทยาลัยเทคโนโลยีพระจอมเกล้าธนบุรี*, หน้า 1 - 149.
- [15] สุนทร เกียรติคงศักดิ์ และสมชาย ชูชีพสกุล (2548). พฤติกรรมหลังการโก่งเดาะของคานอย่างง่ายใต้สภาพการยึดรับที่ปลาย. *วิทยานิพนธ์ปริญญาวิทยาศาสตรมหาบัณฑิต สาขาวิชาวิศวกรรมโยธา คณะวิศวกรรมศาสตร์ มหาวิทยาลัยเทคโนโลยีพระจอมเกล้าธนบุรี*, หน้า 1 - 116.
- [16] ณัฐมี พิษียุทธ์ (2557). พฤติกรรมการโก่งเดาะของอีลาสติคคาที่มีความยาวส่วนโค้งแปรเปลี่ยนได้ โดยมีจุดหมุนแบบสปริงอยู่ภายในช่วงความยาวของอีลาสติคคา. *วิทยานิพนธ์ปริญญาวิทยาศาสตรมหาบัณฑิต สาขาวิชาวิศวกรรมโยธา คณะวิศวกรรมศาสตร์ มหาวิทยาลัยเทคโนโลยีราชมงคลธัญบุรี*, หน้า 1 - 111.

ประวัติผู้เขียน

ชื่อ - สกุล	นายมานะชัย สุวรรณ
วัน เดือน ปีเกิด	6 พฤษภาคม 2524
ที่อยู่	25 หมู่ที่ 9 ซอยบ้านปรก 22/2 ถนนสมุทรสงคราม - บางแพ ตำบลบ้านปรก อำเภอเมืองฯ จังหวัดสมุทรสงคราม 75000
ประวัติการศึกษา	ปริญญาตรี คณะวิศวกรรมศาสตรบัณฑิต สาขาวิศวกรรมโยธา มหาวิทยาลัยเอเชียอาคเนย์
ประวัติการทำงาน	นายช่างโยธา สังกัดฝ่าย/กอง ส่วนโยธา ชื่อหน่วยงาน องค์การบริหารส่วนตำบลดอนตะโก จังหวัดราชบุรี
พ.ศ. 2548 ถึง พ.ศ. 2550	วิศวกรโยธาชำนาญการ สังกัดฝ่าย/กอง ฝ่ายก่อสร้างและซ่อมบำรุง กองช่าง ชื่อหน่วยงาน องค์การบริหารส่วนจังหวัดสมุทรสงคราม
พ.ศ. 2548 ถึง ปัจจุบัน	08 - 3036 - 6648 toy_obj_civil13@hotmail.com
เบอร์โทรศัพท์	
อีเมล	

